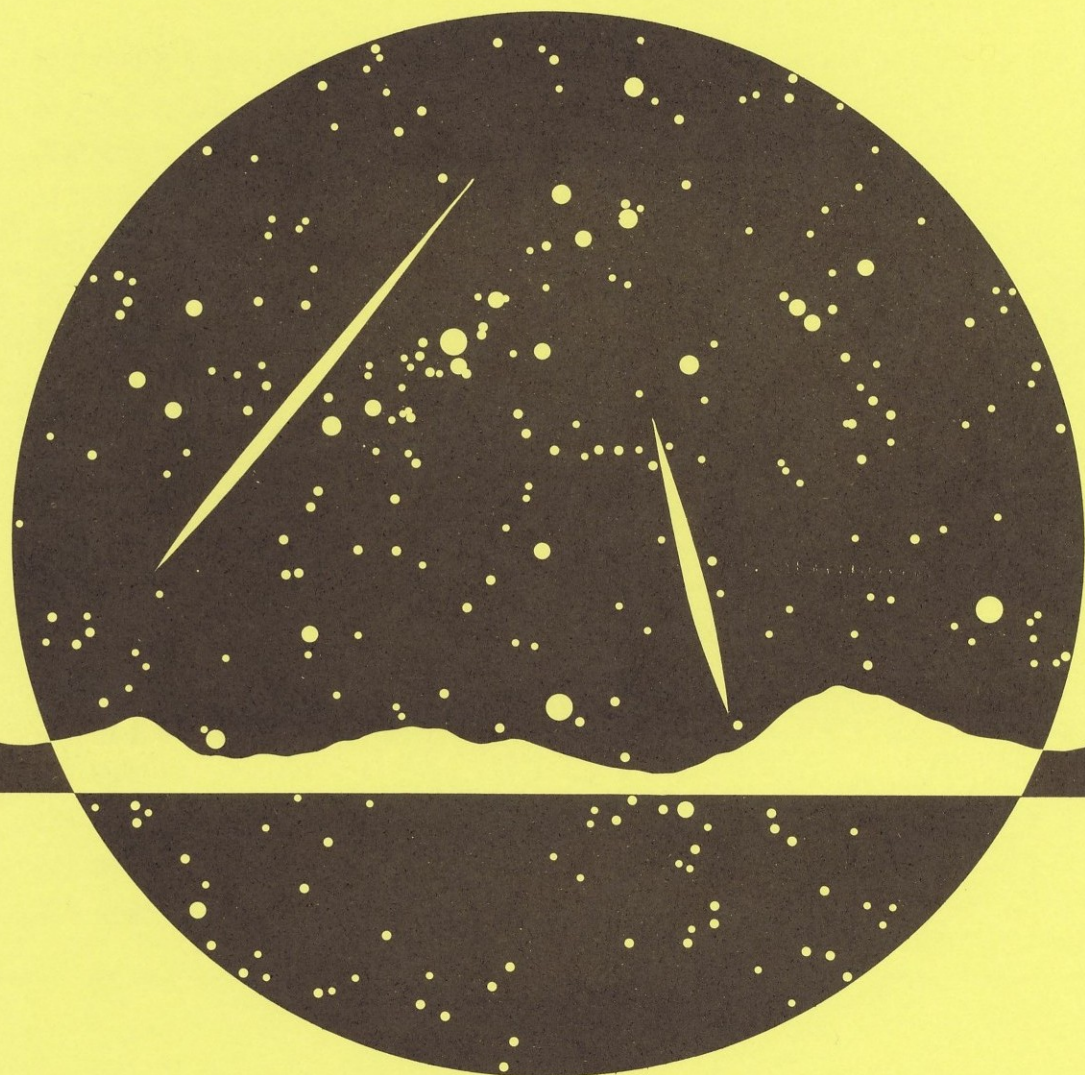


流星物理七三十一資料集 下

第50回記念



流星物理セミナー資料集 ～第50回記念～

目次

流星物理セミナー50回に寄せて (長沢工)	上	2
MSSことはじめ (小笠原雅弘)		4
流星物理セミナーと私の流星研究 (重野好彦) / (大西洋)		6
MSS雑感 (寺田充)		8
MSS活動状況		9
1) 解析法		26
2) 観測		74
3) 軌道計算		137
4) 空間密度	下	2
5) スペクトル		30
6) 軌道計算の精度		56
7) 痕		76
8) 観測機器		96
9) 隕石落下シミュレーション		112
10) 測光		128
11) 豆まき現象		143
12) 輻射点		156
13) 電波		168
14) 構造		175
15) 発光		180

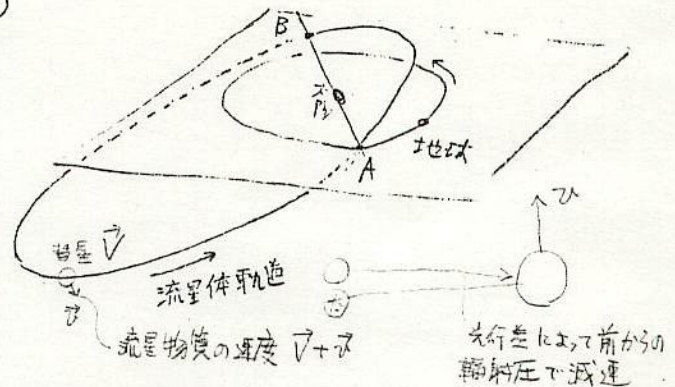
空間密度

Cumulative flux (空間質量分布)、彗星核からのダストの放出理論、そして光度関数と身近なものから、ダストの運動に至るまで、奥の深い分野です。

母彗星回帰と光度関数との関係など興味ある問題がまだ未解決です。

太陽系空間を運動する流星物質に作用する力

- 1) 太陽引力 (これだけだと2体問題)
- 2) 惑星, 衛星などの引力 (摂動力)
- 3) 光圧
- 4) 太陽風の圧力
- 5) ホインテック, ロバートソン効果
- 6) ヤークスキー, ラジエフスキー効果
- 7) その他のガス物質, 粒子等との衝突



ここで、りだりを考えて他の力を無視したとき、流星物質の運動はどうなるか、元来輻射点にどんな影響を与えるかを考える。

- 流星体の軌道は楕円 (双曲線のものは無視), 同じ軌道でくり返して回る
- 流星として観測できたものは、以前にも全く同じ位置を通った。
- 流星体の軌道面上に太陽がある。
- 地球軌道面上にも太陽がある。 } 両者の軌道面は太陽を含む直線上で交わる。
(はじめから同一平面にある場合は別)
- 流星体の軌道と地球軌道の交叉 あるいは接近するときは、1ヶ所か 2ヶ所
(A) (B)
- 地球がA点で流星群にぶつかったとすれば、それはA点で母彗星が放出した粒子の可能性が高い。 他の点で放出した粒子がA点を通る可能性は小さい。
 { 母彗星の軌道面内で粒子が運動するから、どの点で放出した粒子でもAを通る可能性はある。異なる軌道面を運動する粒子のときは、Aを通る可能性のあるのはBで放出した粒子だけ

結局 Aを通る粒子には3種ある

- 1) A点で彗星が放出したあらゆる粒子
- 2) 彗星軌道のどの点からでもよく、軌道面内でAを通るような条件で放出された粒子
- 3) B点で放出されて、軌道面に含まれてもよく、Aを通るような条件で放出された粒子

1)の粒子は、いろいろの方向に運動するのがあり、輻射点の一枚の面を作り作る

2)の粒子は、彗星軌道面上に分布するので、天球上のある大円上に、1列に輻射点がある。

3)のものは現象にはほとんど考えなくてよい

問題 ① 輻射点の分布は、彗星軌道平面上に多くなっていくか?

② 散在流星で、他の彗星の軌道平面上を運動しているのはどのくらいあるか? Aを通るいい形で分離されたものである可能性は?

A点で分離した粒子が流星群を作るときは

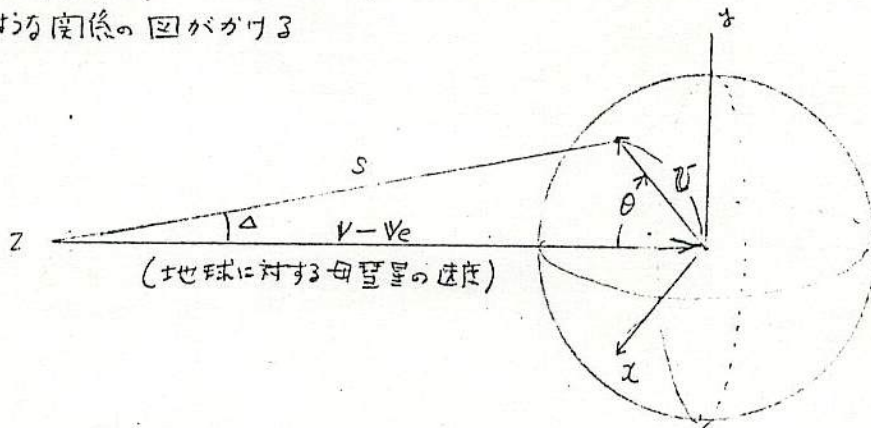
A点の { 彗星の速度を V
地球の速度を V_e

彗星から流星体の分離する速度を U とすると

空間に対する流星体の速度は $V+U$

地球 " " $V-V_e+U$

∴ 母彗星から 1 定の速度 U で 等方的に 流星体が分離していくものと仮定すると
次のような図の図がわかる



U の速度で母彗星から分離した粒子は 母彗星の速度ベクトルと Δ の角度の差を θ と
入射してくる。つまり Δ がこの流星の輻射点のすれとなる

U があらゆる方向にひとしい割合でおけるとすると

$$\text{平均的な輻射点のすれ} = \frac{1}{4\pi} \int_0^{2\pi} \int_0^{\pi} \Delta \sin\theta d\theta d\phi$$

$$\text{輻射点のすれの標準偏差} = \left(\frac{1}{4\pi} \int_0^{2\pi} \int_0^{\pi} \Delta^2 \sin\theta d\theta d\phi \right)^{\frac{1}{2}}$$

よって $\frac{127}{|V-V_e|} = t$ とおく ($t < 1$ であろうと考える)

$$S = \sqrt{1 - 2t \cos\theta + t^2}$$

$$\sin\Delta = \frac{t \sin\theta}{S} = \frac{t \sin\theta}{\sqrt{1 - 2t \cos\theta + t^2}} \quad \cos\theta = x \text{ とおくと}$$

$$= \sqrt{1-x^2} \frac{t}{\sqrt{1-2tx+t^2}}$$

$$= \sqrt{1-x^2} t \sum_{n=0}^{\infty} P_n(x) t^n \quad \Delta = \sin^{-1} \left(\sqrt{1-x^2} \cdot t \sum_{n=0}^{\infty} P_n(x) t^n \right)$$

Δ の平均 $\frac{\pi}{4}t + O(t^3)$

Δ^2 の平均 $\frac{4}{3}t^2 + \frac{4}{45}t^4 + O(t^6)$

σ $\frac{2}{\sqrt{3}}t + \frac{\sqrt{3}}{45}t^3 + \dots O(t^5)$

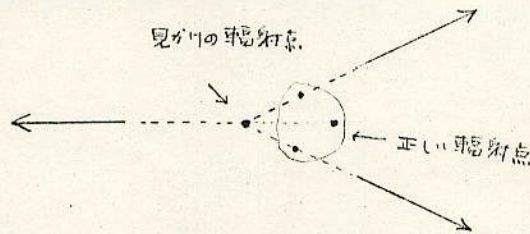
観測で σ が (あるいは平均の Δ, Δ^2 が) 得られれば t が得られ、質量から放出される粒子速度が得られる。せいぜい 2 km/s である。 $v \text{ (km/s)}$

たこえは σ	$t = \frac{v}{\sqrt{3}}$	いぶき v_e 43.1 km/s	ヘルゼス 60.2 km/s	LL 71.7 km/s	ふたご 36.2 km/s
0.5°	0.00756	0.33	0.45	0.54	0.27
1°	0.01511	0.65	0.91	1.08	0.55
1.5°	0.02267	0.98	1.36	1.63	0.82
2°	0.03023	1.30	1.82	2.17	1.09

問題

① 輻射点の位置を標準偏差であらわすのは妥当か? たこえは "すれの平均" といった方がよいのではないか。

② 見かけの径路の延長の交点として輻射点を求めるのは正しいのか? 次のようなことはないか? 一点写真のデータから求めた輻射点の位置には補正が必要ではないか?



周期の変化

母質量から添星体が放出されたとき、その周期はどのくらい変るか?

基本関係 ① $\frac{1}{a} = \frac{2}{r} - \frac{v^2}{\mu}$

② $\frac{a^3}{T^2} = \frac{\mu}{4\pi^2}$

$\mu = G(M_\odot + m) \approx GM_\odot$
 $= 1.32718 \times 10^{15} \text{ m}^3 \text{ s}^{-2}$

地球との交点で粒子が放出されたとき
 そのとき $r = r_\odot$

$r_\odot = 1.49600 \times 10^6 \text{ m}$

==から $T = \frac{2\pi\mu}{\left(\frac{2\mu}{r_\odot} - v^2\right)^{\frac{3}{2}}}$

(1 恒星年 = 3.15581496×10^7 秒)

具体的に v と T の関係と計算すると

$v \text{ (km/s)}$	32	33	34	35	36	37	38	39	40	41	42	42.123
$T \text{ (年)}$	1.3	1.5	1.7	2.1	2.5	3.2	4.4	6.5	11.5	29.3	798.8	∞

↑ ふたご
 ↑↑ おおしやま
 ↑ いぶき
 ↑↑ LL おおしやま
 ↑ ヘルゼ

し群、ペルセウス群、みずがめ群などは 速度が僅かに変化するため 同期の大きな変化を生ずる。例えば、ペルセウス群の母彗星は 同期 120年 / 天文単位の $\pm 32^\circ$ $V = 41.69 \text{ km/s}$ であるが、仮に 1 km/s の速度で粒子が分離すると、その速度は $40.69 \text{ km/s} \sim 42.69 \text{ km/s}$ のあいだに5%はばり、同期は $20.45 \text{ 年} \sim \infty$ の間に分布する (二重曲線軌道の流星群ができる)

つまり、地球軌道との交点で1回流星物質を分離したとすると、その粒子は、早いもので20年後にその点へもどってき、その後と長期にわたって徐々にその点へもどってくる。結局、毎年出現する流星群を生じるには、地球軌道との交点で1回たり粒子を母彗星にはきかせる必要、母彗星が長期にわたって流星物質を吐き出さなければならない。

短同期の流星群は、(例えば、ふたご群)、速度の変化による同期の変化は小さいが、全同期が小さいので、数同期のうちには流星物質はいつでも母彗星を分離した点を通るようになると思われ、やはり短同期の母彗星活動で長期にわたる流星群ができるものと考えられる。

母彗星からどのぐらいの大きさの物質が分離するか

母彗星核の半径 R 、平均密度 D 、質量 M とし、表面付近のガス密度 N 、そのガスが V の速度で放射状に流れ出ているものとする。

分離した物質を球で近似し、半径 r 、密度 d 、質量 m とする

$$\text{分離球の断面積 } A = \pi r^2$$

そこへ衝突するガス分子数は、単位面積、単位時間あたり VN 個

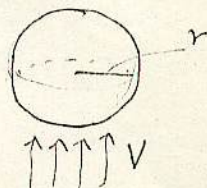
ガス分子1個の質量を σ とし、弾性衝突するものとする

$$\text{その間の運動質量変化 (= 力) は } \pi r^2 \sigma V^2 N$$

(平面のときはその2倍)

$$= \sigma A V^2 N$$

$$\text{一方母彗星の引力による力は } G \frac{Mm}{R^2}$$



したがって、分離球が上向きにうける力は

$$\sigma A V^2 N - G \frac{Mm}{R^2}$$

この正負により分離するかどうかが決まる

ここで分離する最大の大きさを見出すため

$$R = 1 \text{ km}$$

$$D = 2 \text{ g/cm}^3 \rightarrow M = 8.37758 \times 10^{15} \text{ g}$$

$$V = 500 \text{ m/s}$$

$$N = 10^{13} / \text{cm}^3$$

$$\sigma = 2.9915 \times 10^{-23} \text{ g (KE 仮定)}$$

$$\text{とすると、上式を0とする値として } \frac{m}{A} \sim 13.37995 \text{ (g/cm}^2\text{)}$$

$$\frac{m}{A} = \frac{4}{3} r d \text{ であるから } d = 1 \text{ g/cm}^3 \text{ とし } r \sim 10.03 \text{ cm}$$

半径 10cm 以下のものは分離する = できる。

(このモデルでの脱出速度は 105.7 cm/s)

Cometary Dust in the Type II Tails

小笠原 雅弘 · 菊地 祥一郎
(M. Ogasahara) (S. Kikuchi)

Cometに見られるType IIの尾は、そのスペクトルの特徴から小さな dust によるものと考えられている。核から放出されたダストの運動は Bessel & Bredichin によって解かれた。Size の小さなダストは太陽の輻射圧 (光圧ともいう) をうけて運動する。その量を太陽重力 F_G で規格化した値を β とする。

$$\beta = \frac{F_r}{F_G} \dots\dots\dots (1)$$

β の値は最近数多くの彗星について調べられた。その範囲を Table I に示す。Anti-Tail と呼ばれる尾の観測された彗星では相当小さな β 値のみみられる。 β の上限は 2.5 を越えないようだ。

一般に β は、

$$\beta = [FAQ_{pr}/c] / [GM_{\odot}/R^2] \dots\dots\dots (2)$$

$$\sim 5.7 \times 10^{-5} Q_{pr}/\rho s$$

A : cross section

ρ : particle's density

s : radius

R : distance from the Sun

で現わされる。radiation pressure coefficient

Q_{pr} は、

$$Q_{pr} = \frac{1}{F} \int_0^{\infty} F(\lambda) Q_{pr}(s, \lambda) d\lambda \dots\dots\dots (3)$$

$$(\because F = \int_0^{\infty} F(\lambda) d\lambda)$$

$F(\lambda)$: monochromatic solar flux

と現わされる。(Sotar et al. 1977)

このようにして様々な物質について β の値を計算した結果を Fig-1 にまとめる。

Table.1	β
1744	~ 2.5
1858 VI	~ 2.5
1957 III	0.01 ~ 1
1957 V	
1965 VIII	0.1 ~ 2.5 (基部) 0.5 ~ 1.0 (尾部)
1969 z	~ 2.0
1973 f	0.005 $\sim 1.5?$
1975 m	~ 2.5
1975 p	0.002 $\sim 0.1?$

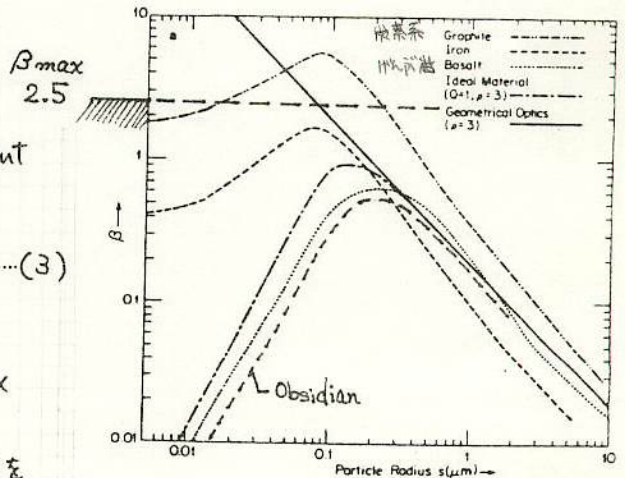


Fig.1 Radiation pressure β as a function of particle size. (Burns et al. (1979))

$\beta = 0$ ならば核と同時に回っている?
核から徐々に離れる。

石ばと

黒っぽい graphite は $\beta_{max} = 7$ に
達するので、彗星の尾には含まれていないの
だろうが。しかし Iron まで $\beta_{max} = 1.8$
程度で β が $1.8 \sim 2.5$ の範囲にある
尾を説明することはできない。

β が 2.5 を越える Size が $0.3 \sim 0.02 \mu\text{m}$
のグラファイトは彗星の尾にあまり含まれて
いないと考えはよいのだが、-----

Fig-1 4 Anti-Tail 中に見られる
 $\beta \sim 0.002$ なる粒子は Size が $10 \mu\text{m}$
をこえる粒子 (流星になるような) であるこ
がわかる。

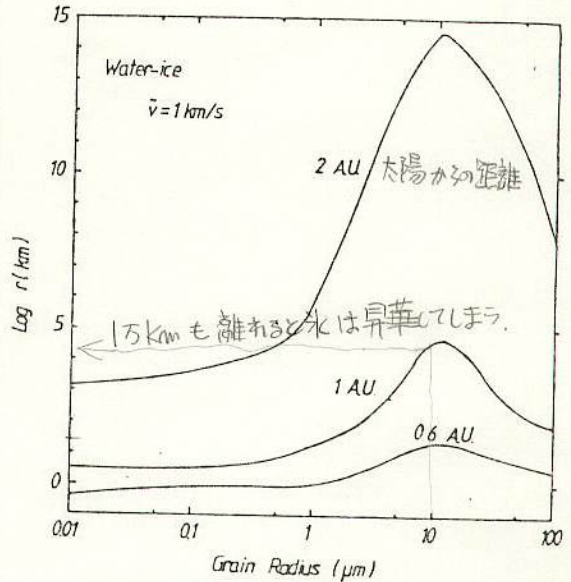
◆ ICE

彗星核は Whipple の提唱した icy conglomerate であることがいろいろ観測
から確かめられている。では Type II の尾に Ice の粒はないだろうか。Fig-2 を
見てもらいたい。(向井, 1980)。核から 1 km/s で放出された様々な Size の Ice
が昇華するまでの距離をあらわしている。雄大な尾のみえる 1 AU 以内では、 10^5 km
(10^8 km) 程度しか Ice が存在できていることがわかる。我々が観測するような
核から $10^6 \sim 10^7 \text{ km}$ 離れた所では全く Ice は存在できないのである。

流星体の中にも Ice が存在している可能性はないことになる。(流星体は
よく 1.0 AU 以内) ドライアイスだと木星軌道付近で昇華してしまう。

◆ 各彗星についての Type II の Tail は、星の手帖冬号に「マコンによる天文
計算 II —— 彗星の尾 —— 」として掲載予定。

Fig. 2 Life of Ice



1980. Nov. 10

彗星核から放出されたダストの運動

星の広場 菊地祥一郎

ダストには、太陽の重力 F_G と太陽の光圧 F_L のふたつの力が働くものとする。

ダストの半径を a 、質量 m 、密度 ρ 、太陽までの距離を r 、 r における太陽光強度を E 、太陽の質量を M 、万有引力定数 G 、光速度を c とおく。

光圧 F_L は、

$$F_L = \frac{k \cdot E \cdot \pi a^2}{c} = \frac{KE_0}{cr^2} \pi a^2 \quad (k: \text{比例定数})$$

断面積 (球形と考える)

重力 F_G は、

$$F_G = -\frac{GMm}{r^2} = -\frac{GM}{r^2} \cdot \frac{4}{3} \pi \rho a^3$$

ここで F_L, F_G は共に $1/r^2$ に比例している。距離 r にかかわらず、光圧の重力に対する比 β が一定であることを示している。

$$\beta = \left| \frac{F_L}{F_G} \right| = \frac{3KE_0}{4cGM\rho a}$$

半径 a が小さいほど、 β が大きくなることかわかる。

ダストの運動方程式は、 X をその位置ベクトルとすると、

$$\begin{aligned} m \cdot \frac{d^2 X}{dt^2} &= F_G + F_L = \left(-\frac{GMm}{X^2} + \beta \frac{GMm}{X^2} \right) X \\ &= \left(-\frac{G(1-\beta)Mm}{X^2} \right) X \end{aligned}$$

$G(1-\beta)$ を万有引力定数で置き換えると惑星の運動方程式と同じ形になる。すなわちダストは二次曲線軌道をかき、従って、ダストの β と、ダスト放出時の

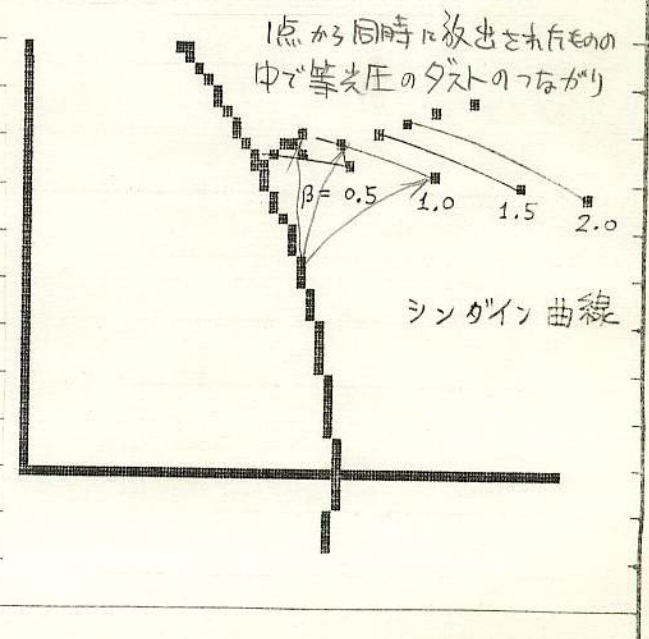
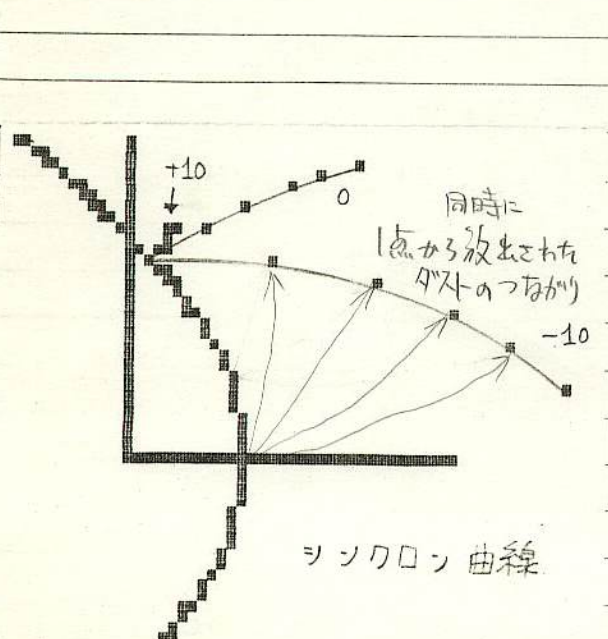
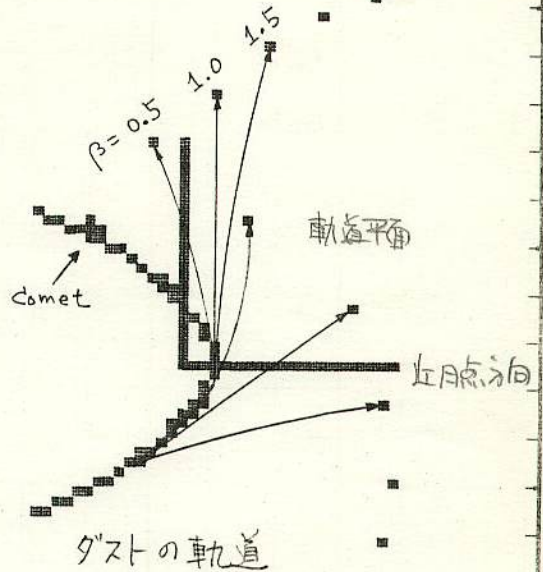
位置と、その時の彗星の軌道速度ベクトルがわかれば、ダストの軌道を決定することが出来る。以下、具体的な彗星を例にとったダストの運動図を示す。

ダストの放出日は、近日点からの日数で $-10, 0, +10$ の三点。

光圧比は、 $0.5, 1.0, 1.5, 2.0, 2.5$ で、近日点通過 20日後の位置を求めた。

シンクロン、シンダイン曲線の差異に注意。

- (右) Kohoutek (1973 XII), $\beta: 0.142$
- (下) Mrkos (1957 V), $\beta: 0.355$
- (右下) Donati (1858 IV), $\beta: 0.578$



参考文献) 小関高明, 西岡公彦 彗星のダストの尾の研究 I
東京学芸大附属中学校研究紀要 18号

15th MSS 1981 May. 17

Cumulative flux

小笠原 雅弘

14th MSSで報告した mag → mass 換算式を用いて. Perseids, Geminids, Quadrantids について. 日大天文研の眼視光度観測データをそれぞれ質量の関数に直したものを求めて他の観測と比較を試みた.

光度開数補正係数

Cumulative flux of three Meteor Streams

Per (1975-1980 year Total-673)

mag.	cum. No	Log N"	Log m
-3	9	0.9542	-0.5103
-2	20	1.4624	-0.9028
-1	37	1.8195	-1.2954
0	132.0	2.1206	-1.6880
1	251.9	2.4012	-2.0806
2	439.4	2.6429	-2.4731
3	742.3	2.8706	-2.8657

質量
 $\text{Log } N'' = -0.79075 \times \text{Log } m + 0.7040$

Gem (1972-1979 year Total-5366)

明大80
 テー9
 面積積
 12
 40
 118
 394.2

-3	9.0	0.9542	0.5867
-2	39.0	1.5911	0.0950
-1	140.0	2.1461	-0.3967
0	463.0	2.6656	-0.8841
1	1368.8	3.1363	-1.3801
2	3206.8	3.5061	-1.8718
3	6297.9	3.7992	-2.3635

$\text{Log } N'' = -0.96997 \times \text{Log } m + 1.6815$

Qua (1979 year Total-502)

-3	5.0	0.6990	-0.4045
-2	13.0	1.1139	-0.8962
-1	37.0	1.5682	-1.3841
0	70.0	1.8451	-1.8729
1	129.6	2.1126	-2.3645
2	294.6	2.4692	-2.8570
3	747.2	2.8734	-3.3468

$\text{Log } N'' = -0.71222 \times \text{Log } m + 0.47613$

Ref. Quadrantids mag-mass equation (12 data)

質量と光度の式 $\text{Log } M = -0.48996 \times m - 1.87447$

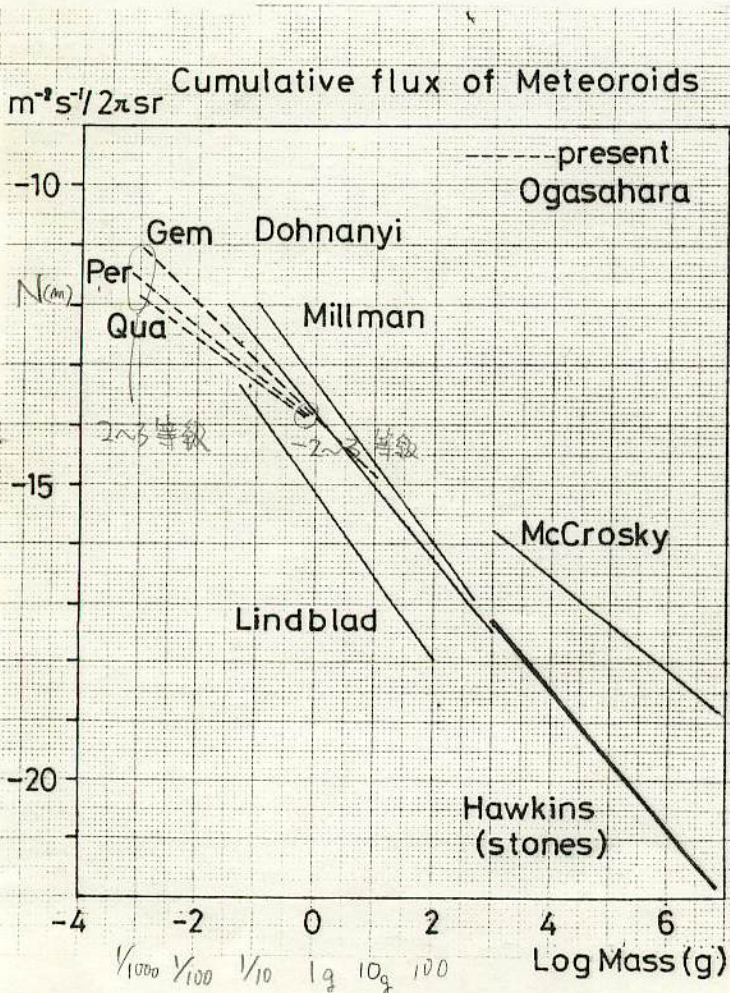
14th MSS 小笠原 光度と質量の式参照

さまざまな研究者が主に散在流星の観測から定めた値をまとめる。

name	質量範囲 mass range	flux 範囲 log flux	α
Dohnanyi (1966)	3 ~ -1.5	-17.5 ~ -12	-1.22
McCrosky (1968)	7 ~ 3	-18.9 ~ -15.8	-0.62
Hawkins (1963) (Stony Meteorites)	8 ~ 3	-23.2 ~ -17.3	-1.18
Millman et. ()	2.7 ~ -1	-17 ~ -12	-1.35
Lindblad ()	2 ~ -1.3	-18 ~ -13.4	-1.39
Ogasahara (present work)	Gem 0 ~ -3	-14 ~ -11.09	-0.79
	Per 0 ~ -3	-11.62	-0.97
	Qua 0 ~ -3	-11.87	-0.71

log m = 0 (lg) $1 \times 10^{-14} \text{ m}^{-2} \text{ s}^{-1}$ に normalize

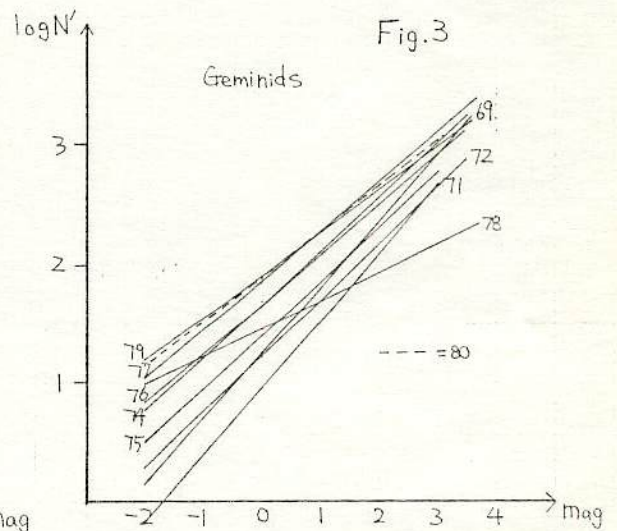
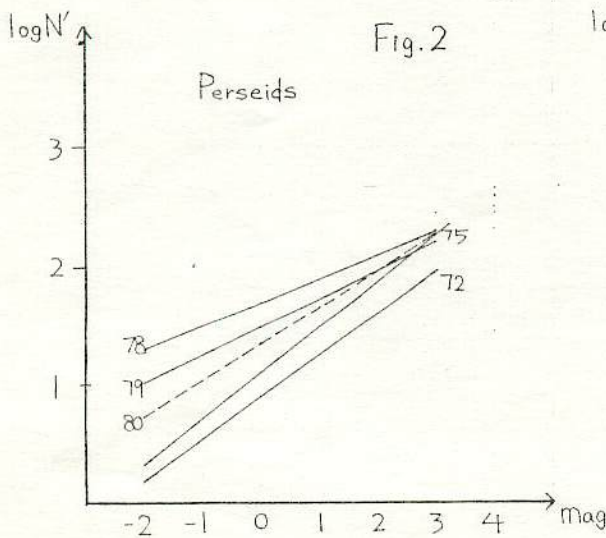
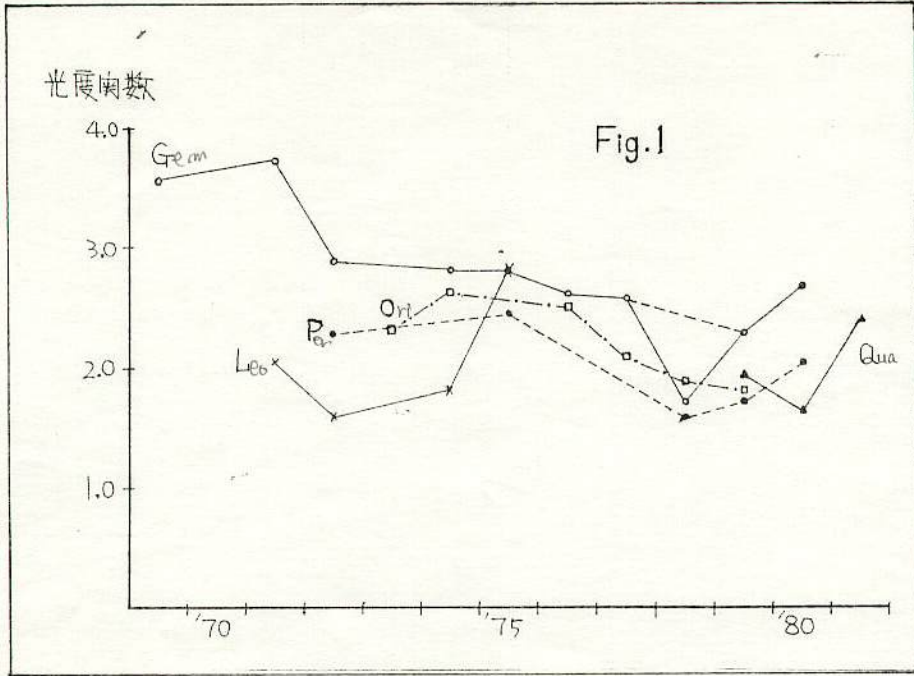
* Cumulative flux
 $N(m) = Am^\alpha$



として、 α の値とfluxを比較した。
 Per, Gem, Quaの眼視観測から求めた値は、McCrosky (1968)の火球データに近う。
 Dohnanyi, Millman, Lindbladなどの α は-1より大きく、暗い流星がずいぶん多いことなるべどうだろうか。
 Fig. 1にCumulative fluxを図示した。

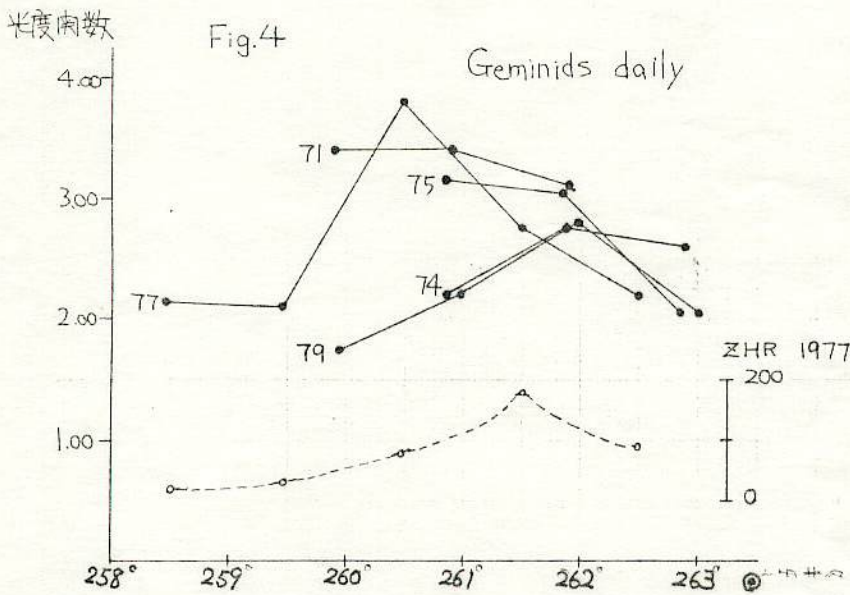
流星群の光度関数 (初報)

第15回 MSS '81-May-17
日本大学天文学研究会



Geminids total 8097 (1969~1980)

月条件	年	総数	Mag	回帰直線	光度南数
	1969	624	-2~3	$\log N' = 0.55M + 1.25$	$3.55 = 10^{0.55}$ 傾き
◎	1971	368	-2~3	$\log N' = 0.57M + 0.93$	3.72
◎	1972	367	-2~3	$\log N' = 0.46M + 1.23$	2.88
◎	1974	1039	-2~3	$\log N' = 0.45M + 1.64$	2.82
△	1975	622	-1~3	$\log N' = 0.45M + 1.39$	2.82
X	1976	861	-2~3	$\log N' = 0.42M + 1.65$	2.63
◎	1977	1564	-2~3	$\log N' = 0.41M + 1.84$	2.57
XX	1978	270	-2~3	$\log N' = 0.24M + 1.45$	1.74
△	1979	1385	-2~3	$\log N' = 0.36M + 1.89$	2.29
◎	1980	997	-2~3	$\log N' = 0.43M + 1.68$	2.69



Reference :

- ・流星観測ガイドブック (日流研)
- ・研究報告誌 第1~6号 日天文研
- ・流星の軌道計算と物理 長谷川一郎
- ・主要流星群の光度南数 下田力 '79流星会議
- ・太陽系内小天体シンポジウム集録 東京天文台

物理的寿命から見た流星群母彗星.

月惑星研究会 長谷川 均

1. Comet - Life Time

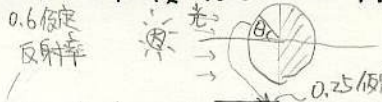
A. 力学的寿命 惑星の引力により太陽系外へ放り出されるまで. (惑星との衝突)

B. 物理的寿命 揮発性物質の蒸発, dust の放出によつての mass loss.

どちらも太陽系の寿命と比較して短かすぎる. 供給源が必要.

2. 蒸発モデル.

Comet は天然純度 100% の H₂O ICE の球と考える. <dust は無視>



$$\begin{cases} [(1-A) \times S / R^2] \cos \theta = \sigma T^4 + L(T) \times \dot{E} & \dots\dots\dots (1) \\ \dot{E} = P (\mu / \pi R' T)^{1/2} & \dots\dots\dots (2) \end{cases}$$

zzz $L(T) = 12420 - 4.8T$

$$\log P = -2445.5646/T + 8.2312 \log T - 0.0167706T + 1.20514 \times 10^{-5} T^2 - 6.757169$$

A: アルベド, S: Solar constant, R: 日心距離, L: 潜熱
E: 蒸発率, P: 蒸気圧, μ: 分子量, R': 気体定数

(1), (2) の連立方程式を解くことにより, 任意の R に対する T と E を計算する事ができる.

参考としてドライアイス (CO₂) の場合は.

$$\begin{cases} \log P = -1367.3/T + 9.9082 & T > 138K \\ \log P = -1275.6/T + 0.00683T + 8.307 & T < 138K \\ L(T) = 12160 + 0.5T - 0.033T^2 \end{cases}$$

$\cos \theta = 0.25$ とする. isothermal な model とする. comet の自転は非常に速いものとする. 自転軸の傾きは. 軌道面に対し垂直とする.

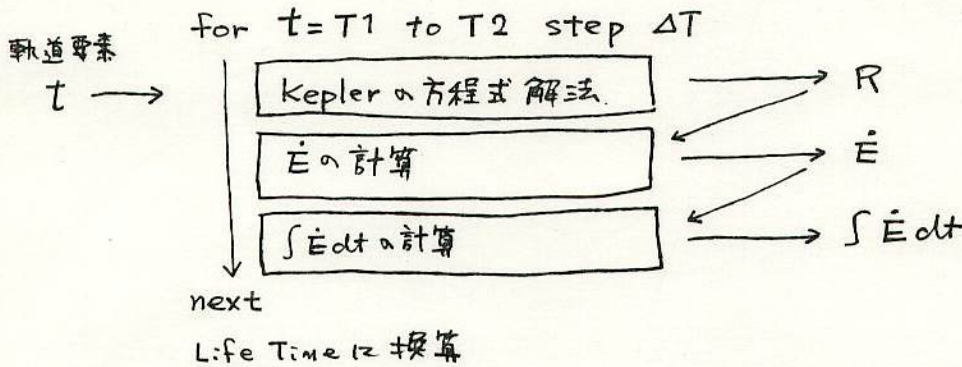
自転軸を傾けた場合. 蒸発は. 大きくなる. 15

3. Life Time を求める

様々な軌道^道に対して、 \dot{E} が無視できる程度の R まで近日点から E まで積分する。

$$\text{total evaporation} = \int_{t=t_1}^{t=t_2} \dot{E} dt$$

アルゴリズム



Comet の直径は 1 km, $\rho = 0.5 \text{ g/cm}^3$ 均質として、公転回数 τ , Life Time を求めた。 ($\Delta T = 1 \text{ day}$)

object	a (A.U.)	e	q (A.U.)	P (y)	τ	Life-Time (y) (年)
P/ENCKE (= Tau?)	2.217	0.8472	0.3389	3.3	386	1290
Gem 群	1.4	0.896	0.142	1.6	193	309 (年)
IS 小惑星群	2.9	0.661	0.978	5	1620	8100
Per 群	18.0	0.947	0.951	120	1090	131000
ICARUS	1.08	0.827	0.187	1.12	216	243

4. 結論

- Gem 群の母彗星の寿命は非常に短く、すでに消滅してしまっており、A-A 型小惑星になってしまった可能性がある。
- A-A 型小惑星の ICARUS はさらに短い寿命で、Gem 群の母彗星のほうから進化した可能性がある。A-A 型小惑星は、Comet 起源か？
- 今後 軌道の進化 (力学的寿命) と連立させて考えて行く必要がある。

reference COWAN, J.J. & A'HEARN, M.F. (1979) Moon & Planet = 21, 155-171.

以上上の計算は、すべて NEC PC-8001, N-BASIC の単精度によるものである。

真の光度関数と見かけの光度関数の関係 2/st MSS

長沢 工

1 光度関数

ある期間にある範囲の観測で、 M 等の流星の数が N 個であったとする
(より厳密には M 等と $M+dM$ 等の間の流星数が NdM 個)、このとき $N \propto M$
の関数として

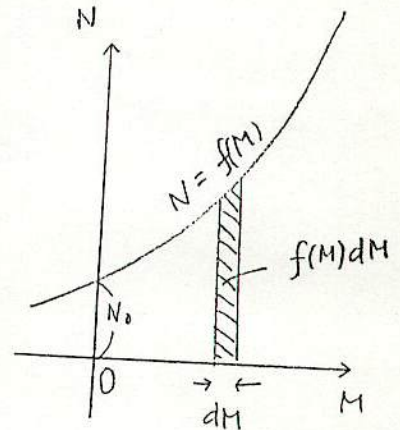
$$N = f(M) \quad \dots \dots (1)$$

と書くとする。この関数 $f(M)$ が光度関数である
流星の観測では、経験的に

$$f(M) = N_0 \gamma^M \quad (N_0, \gamma \text{ は定数}) \quad \dots \dots (2)$$

という形で近似できることがわがっている。ここで γ さえ
決めれば、光度関数の形はきまってしもうので、
(厳密には正しい表現ではないが、習慣的に)

定数 γ のことを光度関数ということが多い。



2 真の光度関数と見かけの光度関数

流星の絶対等級 (天頂で高さ100 km のところに出現したと仮定したときの
等級) で考えた光度関数が真の光度関数、見かけの等級をそのまゝ使
つて考えたものが見かけの光度関数である。

本当に知りたいものは真の光度関数であるが、観測した流星をひとつ
ひとつ絶対等級に換算することは現実には不可能である。統計的なデータと
してあつたことで、見かけの光度関数を真の光度関数に換算することができ
るだろうか。

3 仮定条件

換算のためにつぎの条件を仮定する

- 地表は平面とし、流星はすべて一定の高さ h のところに出現
- 天頂距離 Z のところでは、大気減光のため $k \sec Z$ だけ等級が増す
- それぞれの明るさの流星は観測範囲に一樣の分布でやってくる

(k : は場合によつて異なる値をもちが、考えている期間内では一定とする)

4 絶対等級 M とみかけの等級 m の関係

a. 大気減光による等級増加

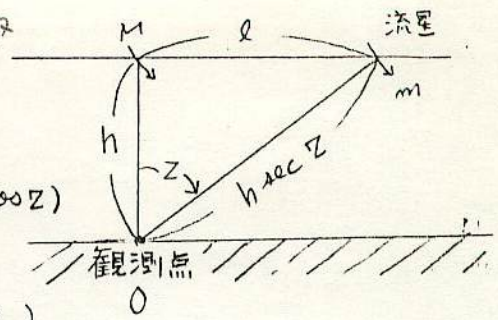
$k \sec Z$
天頂を出たときの吸収

b. 距離による等級増加

距離 $\sec Z$ 倍,

光量 $1/\sec^2 Z$ 倍

等級増加 $-2.5 \log(1/\sec^2 Z) = -5 \log(\cos Z)$



1Eがって

$$m = M + k \sec Z - 5 \log(\cos Z) \dots (3)$$

Z を定めれば、そこに出現した流星はどれも一定等級だけ変化する \Rightarrow となり光度関数 γ の値 そのものに変化はない。

5 見かけの光度関数

小さな中の dZ を考え、天頂距離が Z と $Z+dZ$ の間にはさまれるリング状の部分と高さ h の平面上に考える

このリングの面積 S は

$$S = 2\pi l d\ell = 2\pi h^2 \frac{\sin Z}{\cos^3 Z} dZ \dots (4)$$

$$(\because l = h \tan Z)$$

真の光度関数を γ とすると、ある期間に単位面積にやってくる M 等の流星数は $N_0 \gamma^M$ である。上記のリング内にやってくる M 等の流星数 $n(Z) dZ$ は

$$n(Z) dZ = 2\pi h^2 N_0 \gamma^M \frac{\sin Z}{\cos^3 Z} dZ \dots (5)$$

この流星はすべて (3) の関係で m 等に見える。 M を m で書き直して

$$n(Z) dZ = 2\pi h^2 N_0 \gamma^{[m - k \sec Z + 5 \log(\cos Z)]} \frac{\sin Z}{\cos^3 Z} dZ \dots (6)$$

これは天頂距離が Z と $Z+dZ$ の間にある m 等の流星の数である

m 等の流星の総数 $N(m)$ は (6) と Z につき 0° から 90° まで積分すればよく

$$N(m) = \int_0^{90^\circ} n(Z) dZ = \left\{ 2\pi h^2 N_0 \int_0^{90^\circ} \gamma^{[-k \sec Z + 5 \log(\cos Z)]} \frac{\sin Z}{\cos^3 Z} dZ \right\} \gamma^m \dots (7)$$

γ, k の値がきまつていれば (7) の {} 内は定数、(7) は見かけの光度関数も真の光度関数と同じ γ であることを示している。

6 見かけの光度の決め方について

流星の明るさを光電素子などを使って絶対的に測定するなら (3) 式は正しい, しかし眼視観測では, 周囲の恒星の明るさと比較して流星の等級を決めることが多い.

この場合には, たとえば大きな天頂距離で暗い流星が見えたとする, 周囲の恒星もまた大気減光で暗く見えている, 見かけは暗くても, 近所の1等星と同じ明るさなら, その流星は1等と判定される.

この場合には大気減光の影響は恒星とキャンセルされる (たがって天頂距離 Z における絶対等級 M と見かけ等級 m は

$$m = M - 5 \log(\sec Z) \quad \dots (8)$$

だけであらわされる, これは (3) 式で $k=0$ とおいたものと同じである (たがって, 見かけの光度関数の形は (7) 式で $k=0$ とおいた特殊例となるだけである, 真の光度関数とみかけの光度関数はやはり変らないといってもよい.

7 明るさによって流星の出現高度がちがう場合

流星の出現高度が一定というはじめの仮定のひとつを変更して, 明るさによって出現高度に系統的な差のある場合を考えてみる. 一番ありそうなのは, 明るい流星は暗い流星より出現高度が低い という場合である.

簡単な例として, 絶対等級 M の流星は $h(1 + cM)$ の高さに出現するという仮定をしてみる. ($c > 0$ で明るいほど出現高度は低いことになる)

途中経過は省略するが, 前とほぼ同様に考え, c についての補正項などを無視すると 光度関数は

$$\gamma \left(1 - \frac{5c}{2.170}\right)$$

で近似できることがわかる. $\ln 10 = 2.3026 \dots$ であるから

$$\gamma(1 - 2.170c) \quad c = 0.02 \text{ とすると } r \rightarrow r^{0.96} \quad \begin{cases} 0 \text{ mag} \rightarrow 100 \text{ km} \\ 1 \quad \quad \quad 10^2 \\ 2 \quad \quad \quad 10^4 \end{cases}$$

である. $c > 0$ では, 見かけの光度関数は真の光度関数より小さくなる.

— 第2報 光度関数の経年変化 —
年

5. Per・Gem 群の光度関数の経年変化

日大天文研の光度関数データを表3及び図9~10に示す。日大天文研の場合は、暗い流星であってもあまり個数の低下が見られないが、明大天文部のデータと比較するため計算等級は $-2 \sim 1 \text{ mag}$ を使用した。

光度関数の経年変化は図11~12より、両観測者共に年々減少する傾向にあることがわかる。特に78~9年の月の条件の悪い年にはかなり小さな値となっている。またPer・Gem群共に10年で約5から約2に急激な変化を示しているが、これはやはり空の状態の悪化による影響で暗い流星が見えにくくなったためと考えられる。

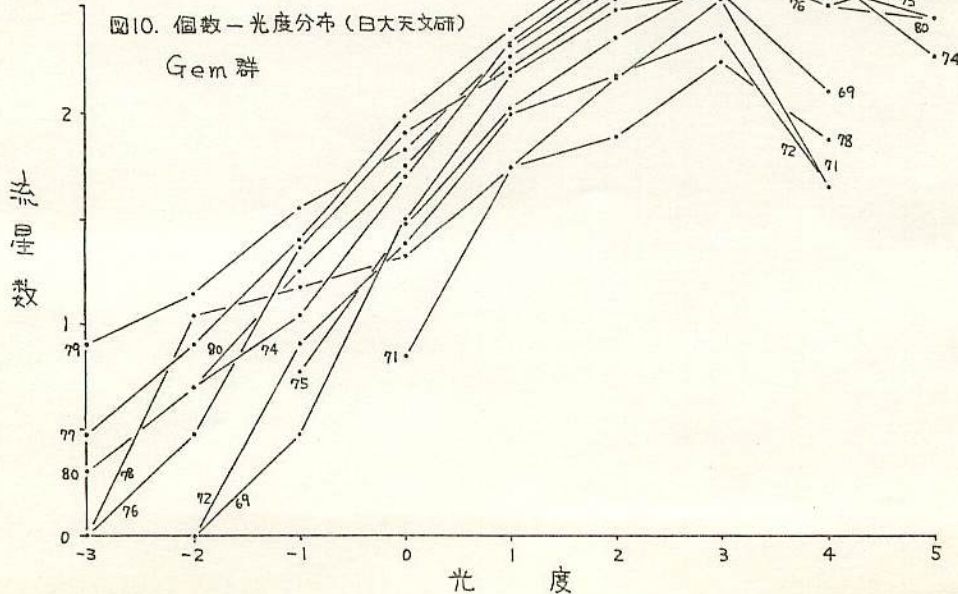
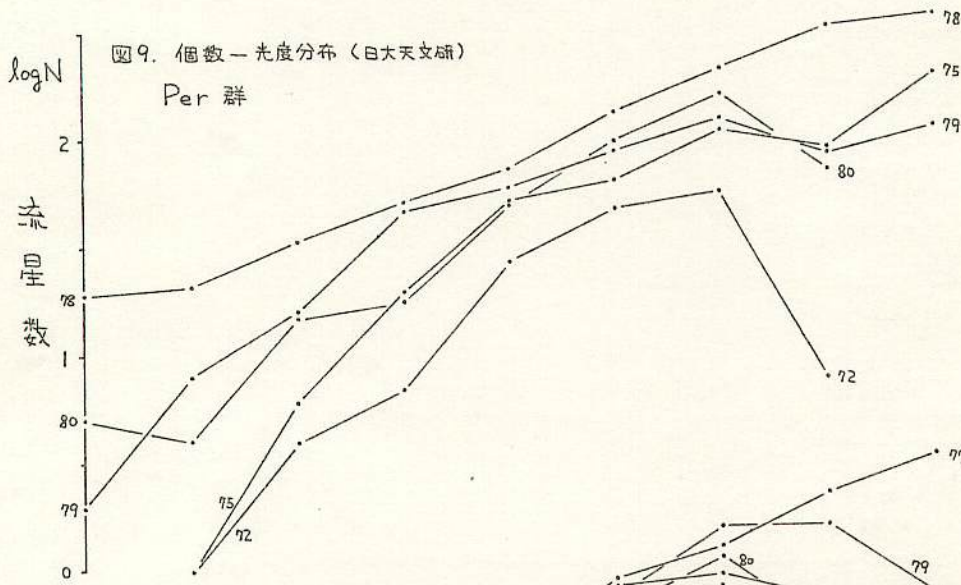
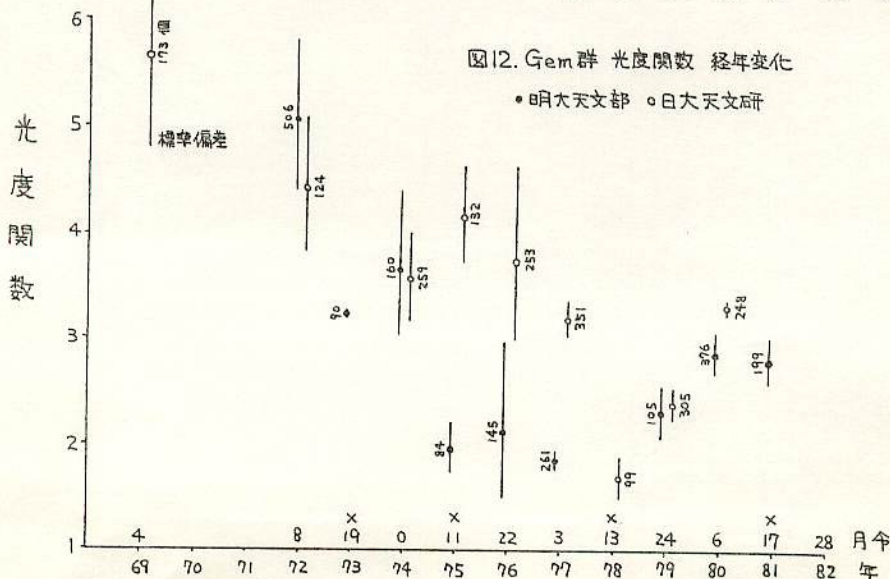
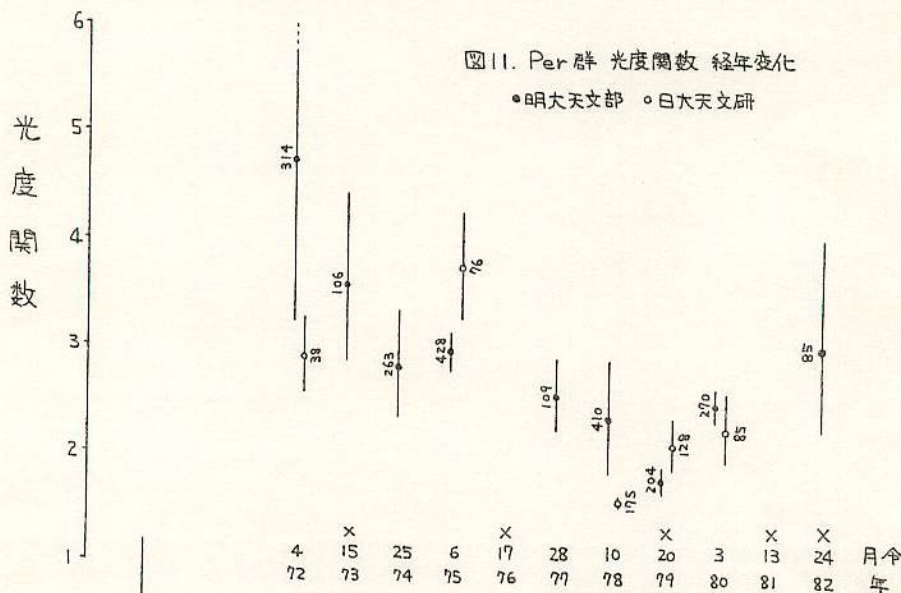


表3. 光度関数 (日大天文研)

$\log_{10} N = a + bM$ σ_b : bの標準偏差 10^b : 光度関数

年	Per 群					Gem 群						
	計算等級	計算個数	a	b	σ_b	10^b	計算等級	計算個数	a	b	σ_b	10^b
69							-2~-1	173	1.41	0.75	0.07	5.66
72	-2~-1	38	0.95	0.46	0.05	2.87	"	124	1.39	0.64	0.06	4.41
74							"	259	1.71	0.55	0.05	3.55
75	"	76	1.23	0.57	0.06	3.70	-1~-1	132	1.42	0.62	0.05	4.14
76							-2~-1	253	1.77	0.57	0.09	3.72
77							"	351	1.91	0.50	0.025	3.16
78	"	175	1.70	0.18	0.007	1.52	"	49	1.43	0.23	0.05	1.68
79	"	128	1.55	0.31	0.05	2.05	"	305	1.90	0.37	0.027	2.37
80	"	85	1.36	0.34	0.06	2.19	"	248	1.75	0.52	0.010	3.29
明大 82	-1~-1	85	1.33	0.47	0.13	2.96	明大 81	199	1.67	0.44	0.04	2.78

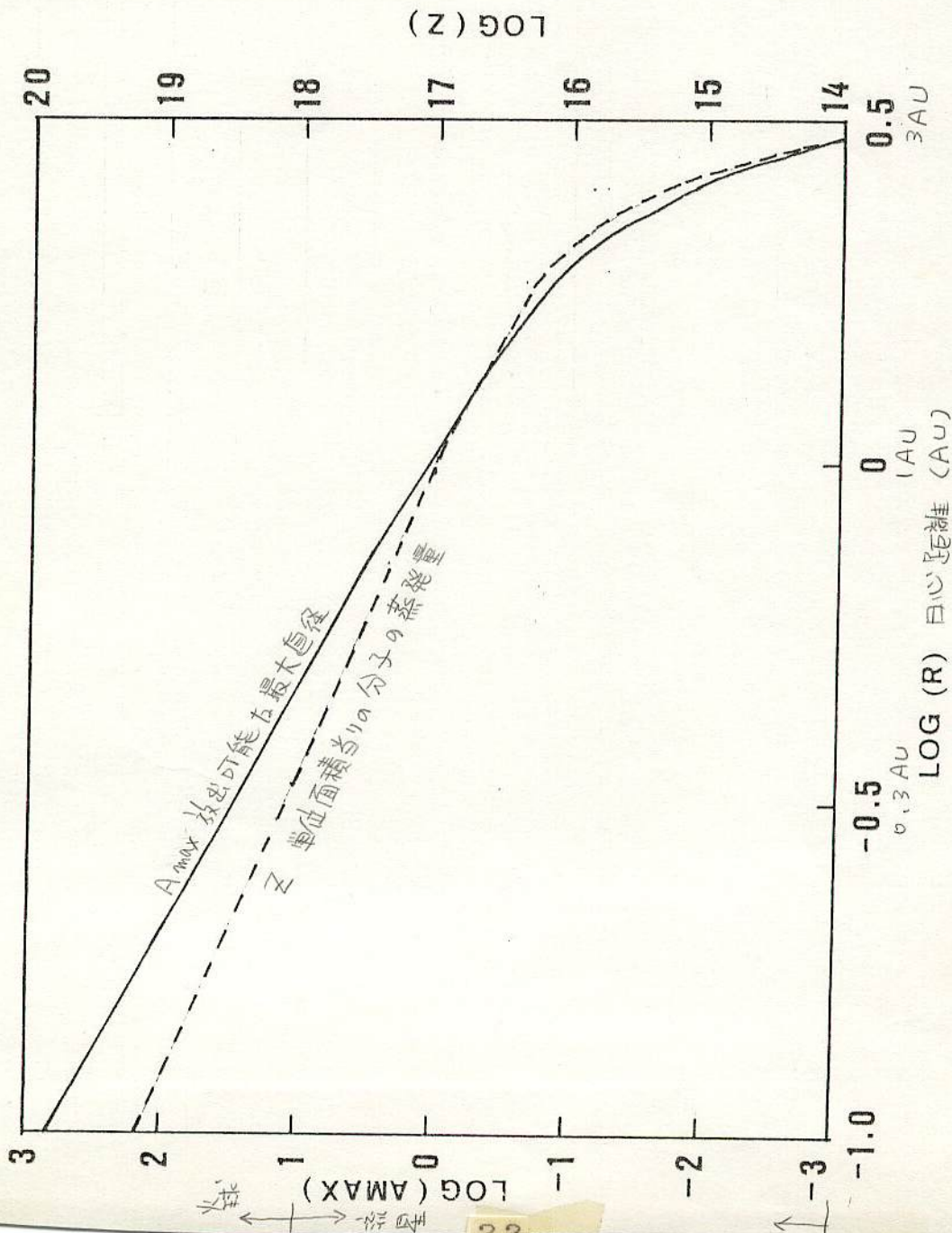


(4)は、可視と赤外のPIRが等しい時に±5%の精度で(3)式が満足する。Z₀は1.AUでの蒸発量(mol·cm⁻²·s⁻¹) R₀=2.8AU, m=2.15, n=5.09, k=4.61 (Z₀の値はDelsemme, 1972に於ける)とする。Z₀として1×10¹⁷ mol·cm⁻²·s⁻¹を用いる。

uについては、Whipple (1980)が観測から求めた

$$u = 0.535 R^{-0.6} \text{ km} \cdot \text{s}^{-1} \quad (0.6 - 7.4 \text{ A.U. の Obs. 値}) \quad (5)$$

を用いる。以上の値を用いて R_{cut} = 2×10⁵cm, M_{cut} = 6×10¹⁶g (ρ_{cut} = 1.79 g/cm³) の彗星について計算してみた。



Evolution of short period comets to Apollo-Amor objects.

月惑星研究会 長谷川 均

81年9月6日の流星物理セミナーで彗星の静かな物理的崩壊について計算し、短周期彗星からアポロ・アモール型小惑星への進化の可能性を述べた。その中の一例で、ふたご座流星群の母天体はすでにアポロ・アモール型小惑星に進化してしまったか、又は揮発性物質をすべて失って消滅してしまったのではないかと述べた。最近になって赤外線天文衛星 IRAS からこのふたご座流星群の母天体と思われる小惑星を発見した。軌道要素がふたご座流星群のものと同様似ていることがわかった。この小惑星は、軌道の特徴からアポロ・アモール型小惑星に分類される。しかし毎年多量の流星を見せにくることから、また揮発性物質をわずかながら残していることも考えられる。

今回は、前の彗星核の物理的寿命の計算をさらに一般的な軌道について行なってみた。計算のモデルは、前のものと全く同じである。ここには新しく書く。

$$\begin{cases} [(1-A)S/R^2] \cos \theta = \sigma T^4 + L(T) \dot{E} \\ \dot{E} = P(\mu/\kappa R'T)^{1/2} \end{cases} \dots\dots (1)$$

$$L(T) = 12420 - 4.8T$$

$$\log P = -2445.5646/T + 8.2312 \log T - 0.0167706T + 1.20514 \times 10^{-5} T^2 - 6.757169$$

A: アルベド, S: 太陽定数, R: 日心距離, L: 潜熱, E: 蒸発率

P: 蒸気圧, μ: 分子量, R': 気体定数。

とする。彗星核を $\rho = 0.5 \text{ g/cm}^3$ の純粋な H_2O の氷として、半径は 1 km とした。

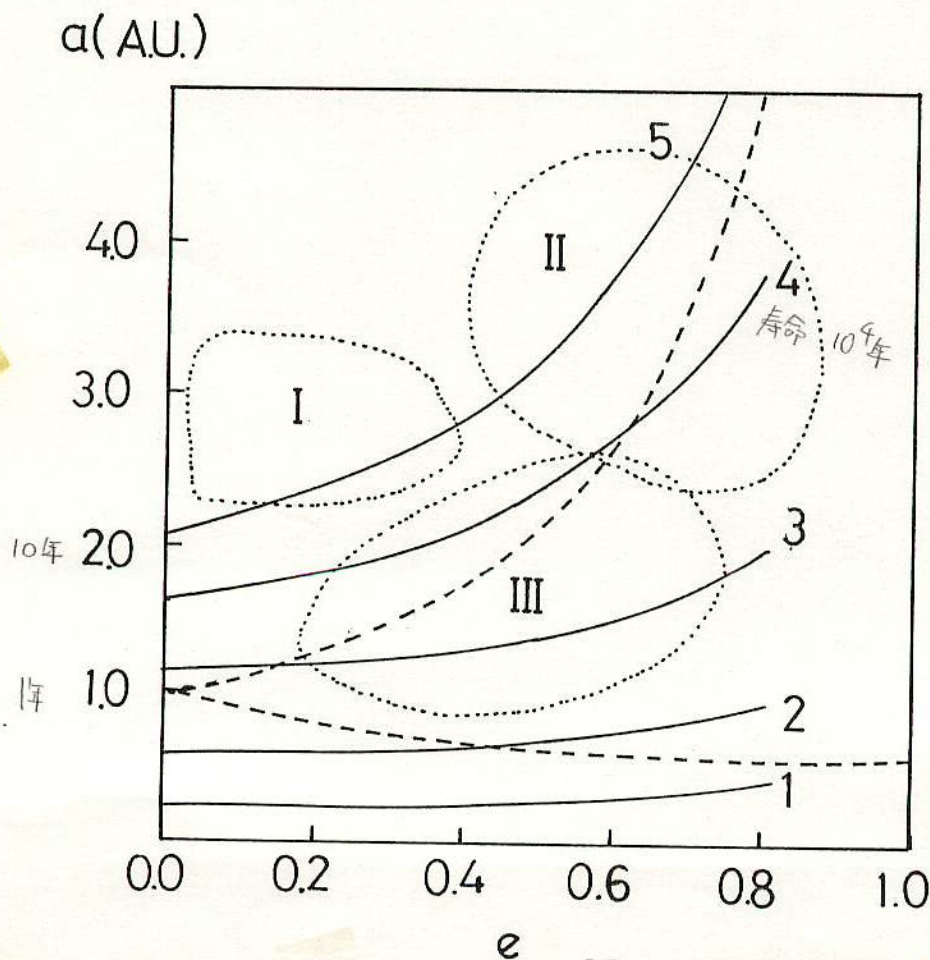
(1) から得られる蒸発率を1公転で積分して1公転あたりの質量減少率を求め寿命を算出した。アルベド 0.6 としその寿命を $u-e$ タイプグラフに示したものが Fig. 1 である。グラフの中の数字は対数で表わした

慧星核の寿命である。図中の I, II, III はそれぞれ、おおよそついでに

- I ... マインヘルト小惑星
- II ... 短周期慧星
- III ... アポロー-アモール型小惑星

を表わす。図より アポロー-アモール型小惑星は、寿命が 10^4 年以下の領域に存在する。又、アポロー-アモール天体の領域に慧星が存在しないのは軌道の進化の過程で、寿命が 10^4 年以下のときでは慧星としては存在できなくなるのであろう。ふたご座流星群の母天体 1983 TB は、また、流星物質を軌道付近に残して 1132 とから慧星から小惑星に作りかえた天体ではないだろうか？

Fig.1 a-e タイアグラム



散在流星数変化のモデル計算

34 MSS
1984:12:9

長沢 工

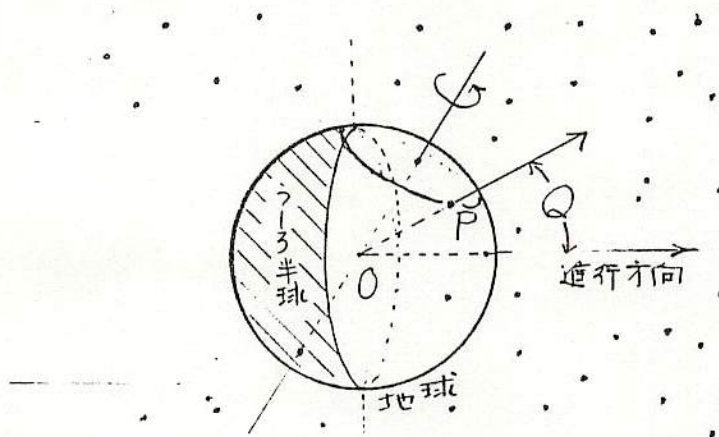
散在流星はいつもほぼきまった数の出現をするのかというと、決してそうではない。そこにはある程度の規則的変化がある。モデル計算でその変化を考えてみる。

1 静止モデル

このモデルは

- (a) 散在流星の物質がほぼ一様密度で空間に静止しているものとする。
- (b) 地球がその中を通過するとき衝突するときを流星出現とする。
- (c) 地球の引力を無視し、幾何学的な衝突だけを考える。

この場合、地球の進行方向にある半球にだけ流星が出現する。しかし、その位置によって単位面積当りの流星数が違う。



観測点の鉛面上を向いたベクトル } のなす角 : Q
 地球進行の向きベクトル
 地球の進行の速度 : v_0 (km/h)
 流星物質の存在密度 : ρ (個/ km^3)

すると、観測点の単位面積に対する流星出現数 m は

$$\begin{cases} 0^\circ \leq Q \leq 90^\circ & \text{のとき} & m = \rho v_0 \cos Q \\ 90^\circ < Q \leq 180^\circ & \text{のとき} & m = 0 \end{cases}$$

である。この $\cos Q$ が出現数の変化を決めることになる。ここで

観測点の緯度 : φ

観測点の経度 : λ (東経を正とする)

観測時の恒星時: Θ
 そのときの太陽黄経: λ_s
 地球軌道の黄道傾斜角: ϵ

とすると

$$\cos Q = \cos \varphi (\cos \Theta \sin \lambda_s - \sin \Theta \cos \epsilon \cos \lambda_s) - \sin \varphi \sin \epsilon \cos \lambda_s$$

となる。これによつて、時刻 t とすれば、このモデルに対する流星出現数は計算できる。

しかし、この式はわかりにくいので書き直してやる

視太陽の赤経: α_s
 視太陽時 (視太陽の時角 + 180°): t

とすると

$$\Theta = \alpha_s + t - 180^\circ$$

であり、また λ_s と α_s の間には

$$\tan \alpha_s = \cos \epsilon \tan \lambda_s$$

の関係がある。この二つの式で Θ と α_s と t に書き直し、さらに α_s と λ_s に書き直す。結果を $\sin \epsilon$ で展開して

$$\begin{aligned} \cos Q &= \cos \varphi \sin t - \sin \epsilon \cos \lambda_s \sin \varphi \\ &\quad - \frac{1}{2} \sin^2 \epsilon \cos \varphi \cos \lambda_s (\cos \lambda_s \sin t + 2 \sin \lambda_s \cos t) \\ &\quad - \frac{1}{8} \sin^4 \epsilon \cos \varphi \cos \lambda_s [(1 + 3 \sin^2 \lambda_s) \sin t + 4 \sin^3 \lambda_s \cos t] \\ &\quad - \dots \end{aligned}$$

となる。 $\sin^2 \epsilon$ 以上の高次項を無視して考えれば、特定の観測点では

(1) λ_s と一定と考えれば $\cos Q = \cos \varphi \sin t - \text{定数}$

これは $t = 90^\circ$ (6時) で極大になる ... 夜明け

(2) t と一定と考えれば $\cos Q = \text{定数} - \sin \epsilon \cos \lambda_s \sin \varphi$

北半球では $\sin \varphi$ は正であり

$\cos \lambda_s$ が極大 (春分) のとき ... $\cos Q$ は極小
 $\cos \lambda_s$ が極小 (秋分) のとき ... $\cos Q$ は極大

となる

さらに、初項だけを考えれば

(3) φ が増加するにつれて $\cos Q$ は減少 ... 高緯度で流星数減少

という一般的関係がみちみちる。 27

2 等速運動モデル

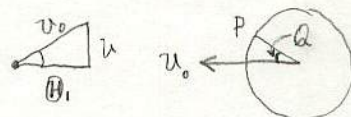
静止モデルでは地球進行のうしろ側の半球には全く流星が出現しない。その欠点を補うため、つぎの等速運動のモデルを考える。

- (a) 流星物質は同様にほぼ一様密度で存在する。
 (b) すべての流星物質は等しい速度 v で直線運動をしている。
 (c) 運動の向きは全くランダムでどの向きに進行している割合も等しいものとする。
 (d) 相互衝突は考えない

このモデルに対する出現数の計算はかなり面倒である。ここでは結果だけを示す。

CASE 1 $v < v_0$ のとき

$$v/v_0 = \sin \theta_1 \text{ で } \theta_1 \text{ を定義して}$$



$$\left\{ \begin{array}{ll} 0^\circ \leq Q \leq 90^\circ - \theta_1 & \text{のとき} \\ 90^\circ - \theta_1 < Q \leq 90^\circ + \theta_1 & \text{のとき} \\ 90^\circ + \theta_1 < Q \leq 180^\circ & \text{のとき} \end{array} \right.$$

$$n = P v_0 \cos Q$$

$$n = \frac{P v_0^2}{4v} \left(\cos Q + \frac{v}{v_0} \right)^2$$

$$n = 0$$

CASE 2 $v > v_0$ のとき

Q の値にかかわらず

$$n = \frac{P v_0^2}{4v} \left(\cos Q + \frac{v}{v_0} \right)^2$$

この結果からこのモデルでは進行のうしろ側にもある程度の流星が出現することがわかる。

なお、流星物質の軌道長半径 a が

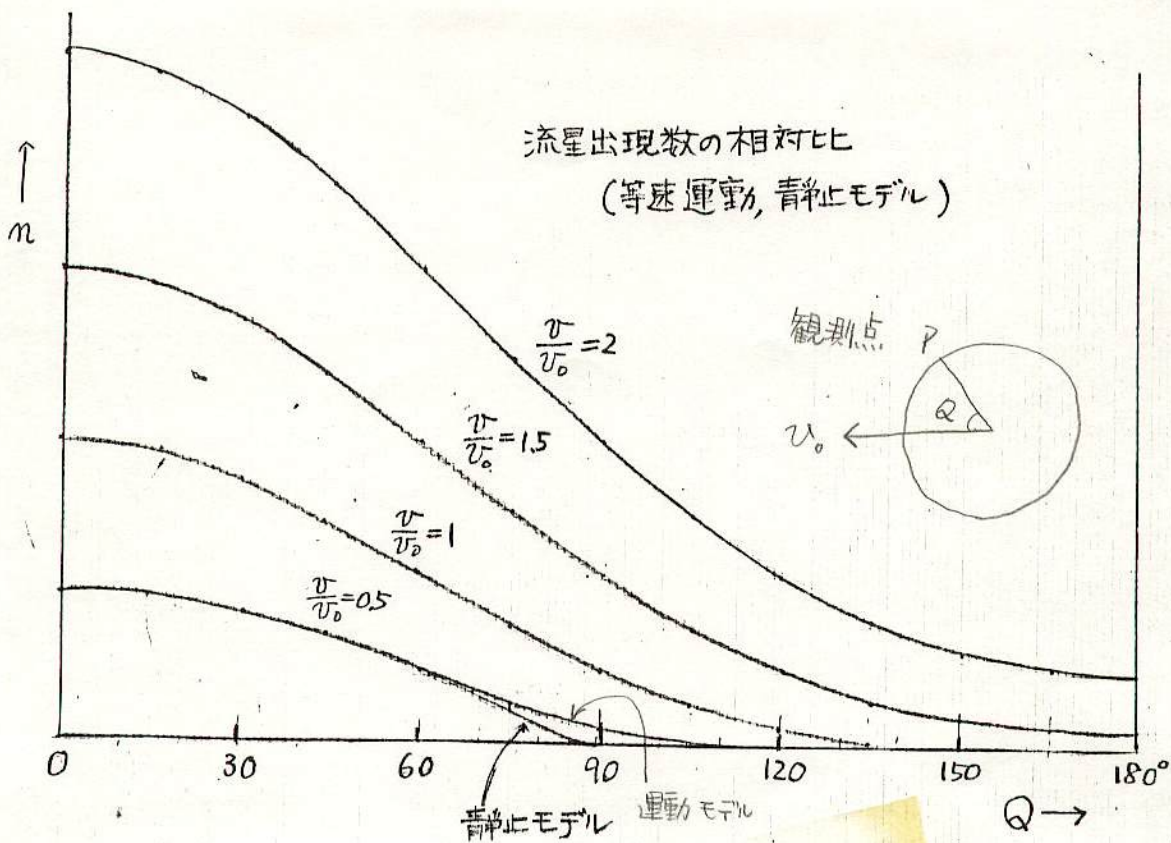
$$a < 1 \text{ A.U. なら } v < v_0$$

$$a > 1 \text{ A.U. なら } v > v_0$$

である。だからといってそれぞれの場合に上の結果が現実になりたつわけではない。モデルの条件が現実の散在流星のものとは一致していないからである。

3 より一般的なモデル

現実の流星物質はすべてが太陽を焦点とする2次曲線の軌道上を運動していると原則的には考えてよい。したがって、もともとよいモデルは現実の散在流星と軌道分布の状況をほぼ一致させたような流星物質のモデルである。



しかし、散在流星の軌道分布は現在信用できるデータが十分ではない、
 ために、何らかの軌道情報を含むモデルに対して流星出現数を計算し
 ておくことが、いまの段階で望まれる。

ただ、この種の計算はかなり面倒で、その上わかりやすい結論を出す
 ことがむずかしい。私は目下、 a, e を定数とし、そのほかの軌道要素
 はあらゆる角度にまんべんなく分布しているという形のモデルに対する
 計算をしているが、はっきりした結論に到達している。ここではそうした
 モデルに対する計算が望まれることを指摘するだけとする。

スペクトル

この分野はM S Sの初期に発表が多かった。

観測で得られた流星スペクトルの輝線の同定、有効励起温度の決定、組成比の決定などが行われた。

また、流星物質の組成等を仮定し、流星スペクトルを予測することも行われた。

Spectroscopic Identifications of 6 Shower Meteors
M. Ogawara (A.U. Meteor Sect.)

1978 Oct. 8

(1) Nihon Univ. No. 7601

1976, Dec. 12 00^h08^m47^s

-1.5 mag. Spor.

HSIR (0-56) Pandol-10min

No.	λ (Å) measured	λ (Å) identified	multiplet No.	Remarks
1	* 5890	5890	1 Na	Strong.
2	* 6347	6347	2 Si II	
	測定値	予想の波長値		

(2) Nihon Univ. No. 7702

1977 Dec. 14 02^h41^m21^s

-2 mag. Geminid

HSIR Pandol-12min.

No.	λ (Å) measured	λ (Å) identified	multiplet No.	Remarks
1		3749	20 Fe	Strong
		3758	21 Fe	
2	3775	3775	73 Fe	
3	* 3860	3860	4 Fe	
4		3873	20 Fe	
		3878	20 Fe	
5		3900	4 Fe	
		3907	4 Fe	
6	3940	3934	1 Ca II	
7	3975	3968	1 Ca II	
8	4005	4005	43 Fe	
9	* 4046	4046	43 Fe	Strong
10	4060	4064	43 Fe	

(4) Nihon Univ. No. 7804

1978 Aug. 14 02^h13^m10^s
Perseid.

HSIR

Pandol-10min

No.	λ (Å) measured	λ (Å) identified	multiplet No.	Remarks
1	5450	5453	15 Fe	
2	* 5890	5890	1 Na	Strong
3	6120	6150 6160	5 Na 10 O	
4	* 6350	6347	2 Si II	Strong
5	~ 7450	7442	3 N	

(5) Tokyo Science Univ. ④

1977 Dec. 13 23^h47^m52^s
Geminid

Tri X

No.	λ (Å) measured	λ (Å) identified	multiplet No.	Remarks
1	3810	3800	21 Fe	
2	* 3860	3860	4 Fe	Strong
3	3930	3930 3934	4 Fe 1 Ca II	
4	4190	4187	152 Fe	
5	4310	4308	42 Fe	
6	* 5170	5170	2 Mg	Strong.
7	5540	5528 5531	9 Mg 38 Co	
8	* 5890	5890	1 Na	Strong.
9	6250	6253 6347	N ₂ 1st ⁺ 2 Si II?	

(6) Tokyo Science Univ. (6)

1977 Dec. 15 00^h36^m15^s

β Gem (?)

Tri X

No	λ (Å) measured	λ (Å) identified	multiplet No.	Remarks
1	* 3860	3860	4 Fe	
2	4170	4173	19 Fe	
3	* 5170	5170	2 Mg	
4	* 5890	5890	1 Na	

References

G. A. Harvey (1973)

Spectral Analysis of Four Meteors

NASA SP-319 p. 103 - 129

P. M. Hillman ^{et.} (1973)

*Image-Orthicon Spectra of Geminids
in 1969*

NASA SP-319 p. 147 - 151

K. Nagasawa (1971)

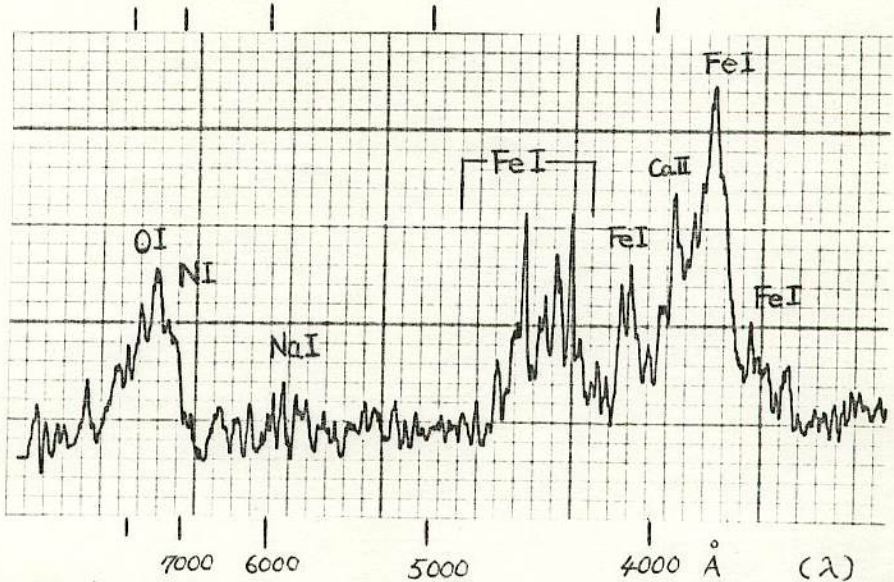
A Meteor Spectrum in the Infrared Region

Tokyo Astronomical Bulletin, Second Series

no. 213 p. 2512

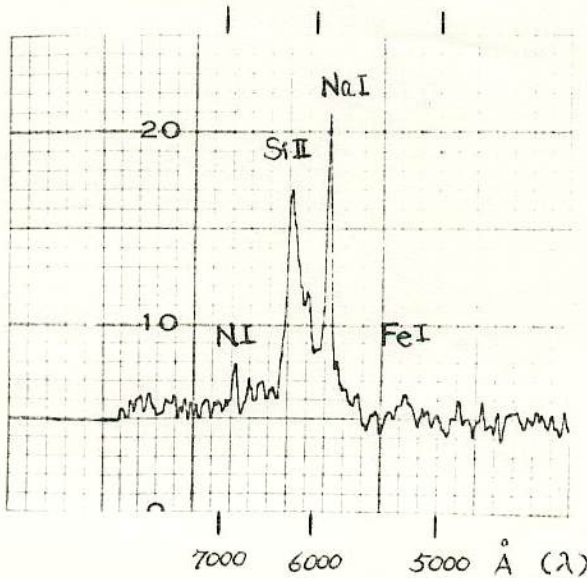
Microphototrace of two IR Meteor Spectrum
Nihon Univ. Astron. Soci.

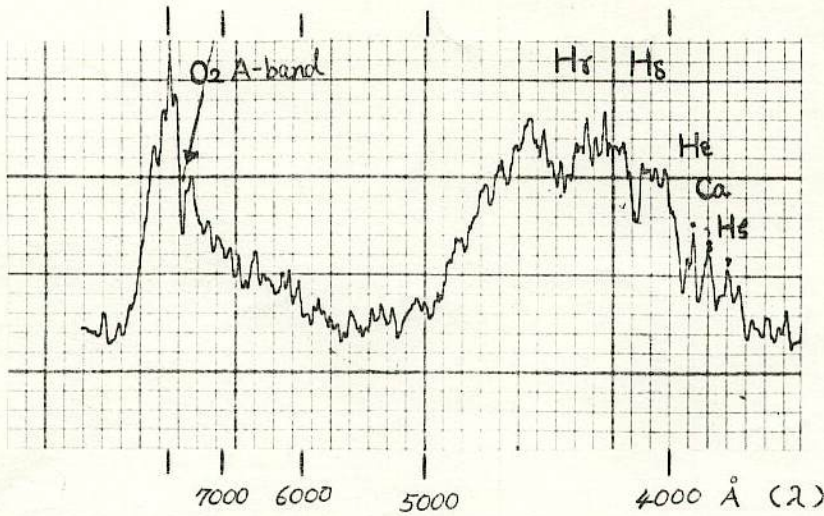
Geminid 1977 Dec. 14 02h41m21s -2mag. HSIR



Perseid 1978 Aug. 14 02h13m10s

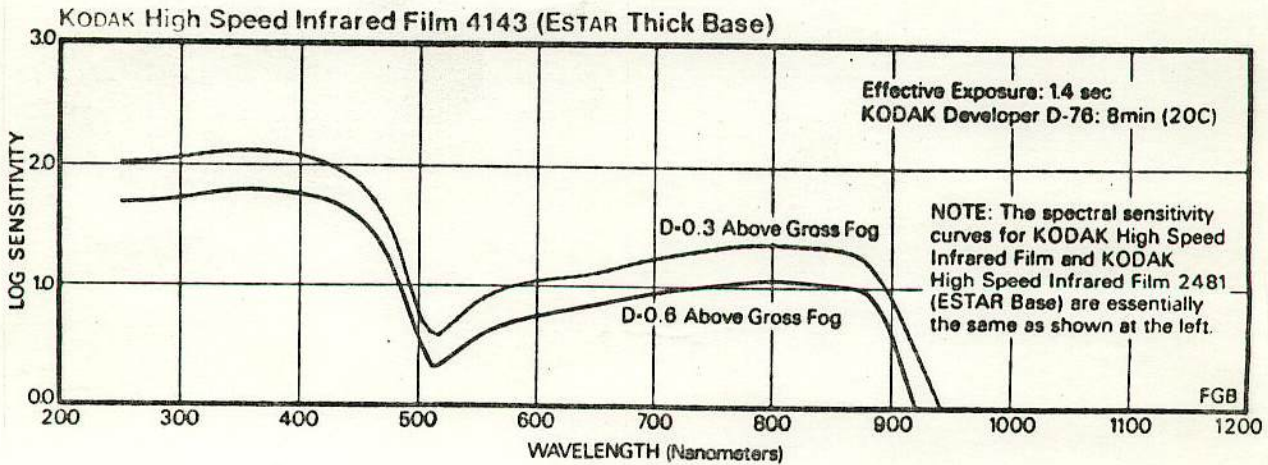
HSIR





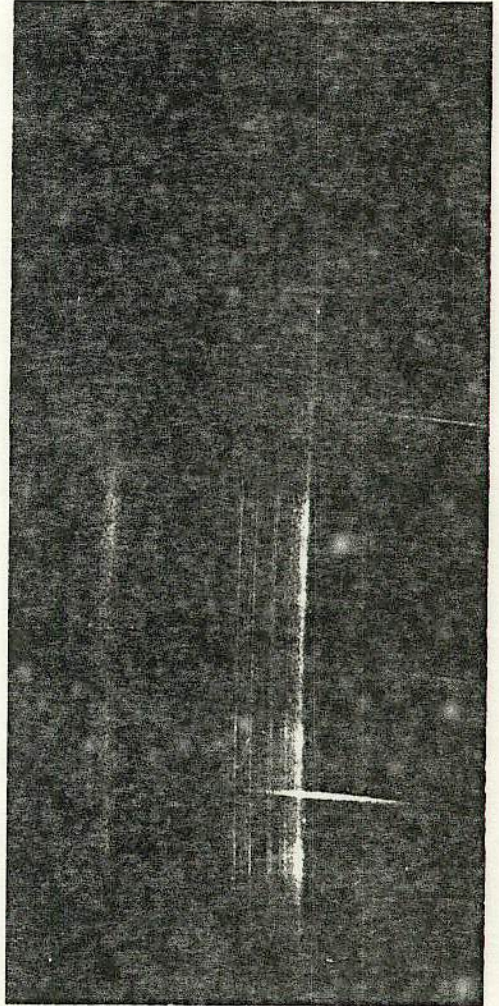
(Kodak Plates and Films DXP-159)

Fig-1 HSIR Spectral Sensitivity



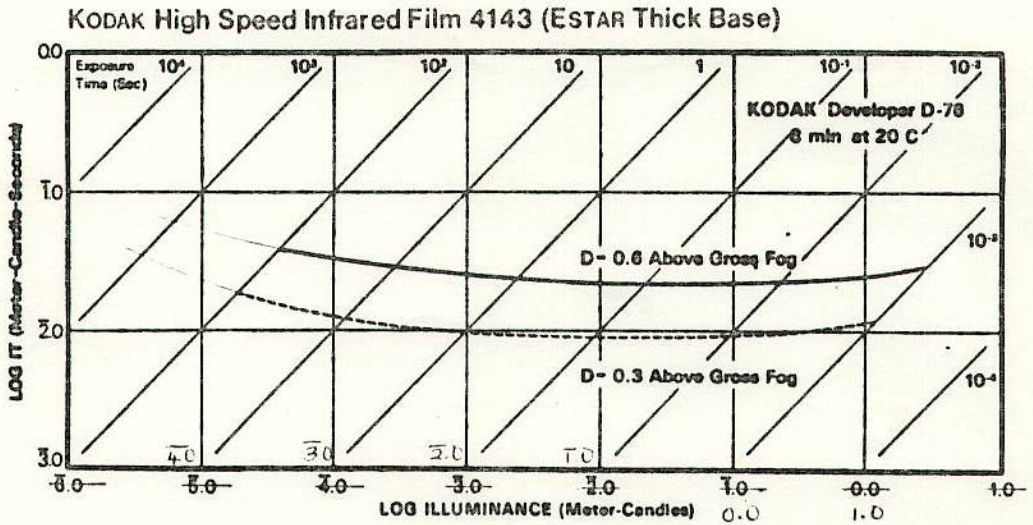
Geminid Meteor
Infra-red Spectrum
No.7703 1977 Dec.14 02:41:21
-2mag EK High Speed
Infra-red film
Pandol 20°C 12min
TS 30° objective prism
Asahi pentax SP
f 50mm
Mitake Station, Tokyo

Nihon Univ. Astronomical
Society (AUU)



(Kodak Plates and Films DKP-159)

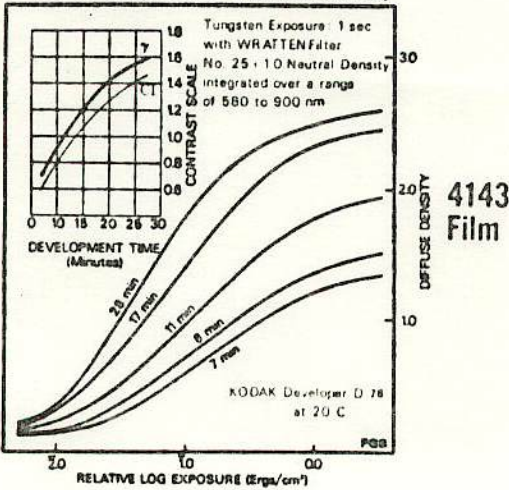
Fig-2 HSIR Reciprocity-Law Failure



HSIR

Fig-3 H-D Characteristic Curve

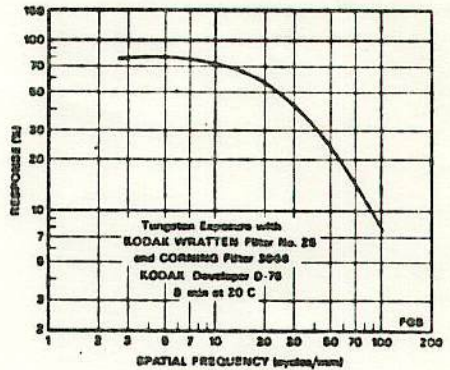
KODAK High Speed Infrared Film 4143 (ESTAR Thick Base)



HSIR

Fig-4 MTF Curve.

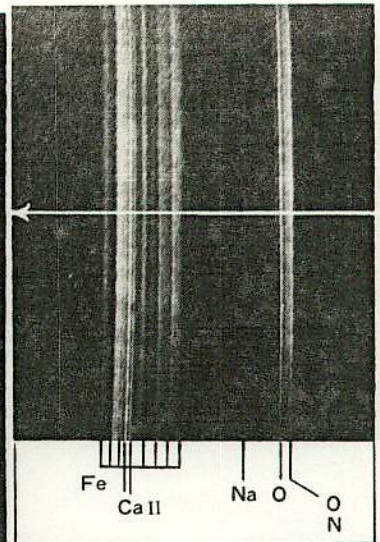
KODAK High Speed Infrared Film 4143 (ESTAR Thick Base)



とらえた！ ふたご群の赤外スペクトル

撮影 東海大学天文学宇宙同好会
解析 流星物理セミナー 小笠原雅弘

【写真右】 東海大学湘南天文台撮影 データ：1979年12月15日23^h30^m ~ 39^m (露出9分) アサヒペンタック SPF (f = 50mm · F1.4) スハイスピードインフラレッド D-19 20°C (5分) フィルターなし 高橋製分光プリズム使用。矢印はマイクロフォトメータの測定位置



撮影のようす

1979年のふたご群は、連日好天に恵まれ多くの流星が観測された。特に極大後に、明るい火球がいくつかみられた。関東地区では KPM (関東写真流星ネットワーク) を中心に、10カ所以上で写真による同時観測が行なわれ、現在続々とデータが集ま

りつつある。その詳細なまとめは後日にゆずろう。

大学天文連盟流星分科会でも、加盟8サークルが南関東各地で行った観測で、12月15日、23時35分35秒に、-4等の火球がながれ、神奈川県平塚市の湘南天文台で観測していた、東海大学天文学宇宙同好会のスペクトルカメラによって、この火球の赤外スペクトルが得られた(写真1)。

【第1表】 波長同定表

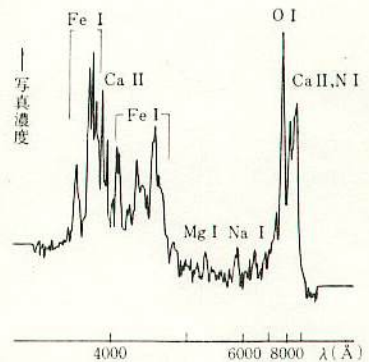
No.	測定値*	測定波長	同定波長	原子	備考
1	48	3760	3746	5Fe	}
			3749	5Fe	
			3759	21Fe	
2	71	**3860	—	4Fe	}
3	77	3870	3873	20Fe	
			3879	4Fe	}
			3900	4Fe	
4	84	3900	3900	1CaII	}
5	91	**3934	—	1CaII	
6	99	**3968	—	1CaII	}
7	104	4000	4005	43Fe	
8	111	4010	4010	72Fe	}
9	113	4050	4046	43Fe	
10	123	4110	4101	18Fe	}
11	136	4200	4202	3Fe	
12	142	4230	4234	152Fe	}
13	148	4280	4272	42Fe	
14	159	4380	4376	2Fe	}
15	166	4420	4427	2Fe	
16	170	4450	4455	4Ca	}
			4462	2Fe	
17	240	5200	5167	2Mg	}
			5172		
			5173		
18	278	**5890	—	1Na	}
19	330	7520	7442	3N	
			7468	1O	}
20	338	**7774	—		
21	347	~8400	8446	4O	}
22	356	~8800	8662	2CaII	
			8542		
			8680	1N	

* マイクロフォトメータによる測定値
** 分散曲線の基準に用いた輝線
S—強い輝線

測定と解析の結果

マイクロフォトメーターを用いて、40倍でトレースした結果が第1図である。このなかの強い輝線を、ハーベイ(1973)のリストと比較して何本か定め、それらを基準として分散曲線をつくり、波長を同定したのが第1表で、22本の輝線が数えられた。

3860, 4202, 4376ÅのFeや、3934, 3963ÅのCaII, 7774ÅのOなどが強く、本誌1月号p. 36, S7702の流星スペクトルと、たいへんよく一致している。赤外マークと∞マークの中間にピントを合わせたので、可視部~赤外にかけてピントがよく、4本の輝線(NとOとみられる)が赤外部で認められる。



【第1図】 マイクロフォトメータによるトレース

カナダのミルマン、ハリディ(1961)らは論文のなかで、「現在まで、赤外部に輝線が見られたのは速い流星(速度60 km/s)だけで、ふたご群(35 km/s)や、小惑星的な(13 km/s)おそい流星では、赤外部に輝線が見られなかった」と結論している。

しかし、1月号で紹介したS7702, S7703, そしてこのスペクトルによって、ふたご群程度のおそい流星でも、赤外部に窒素や酸素の強い輝線の存在することが確実となり、流星の物理を考えるうえで、大きな発見といえよう。

● 標題の写真は、電気通信大学天文同好会が撮影した同時流星。データ：12月15日 23^h30^m ~ 23^h40^m。マミヤ。f35mm F2.8絞り開放。トライX。自動追尾。

7th MSS

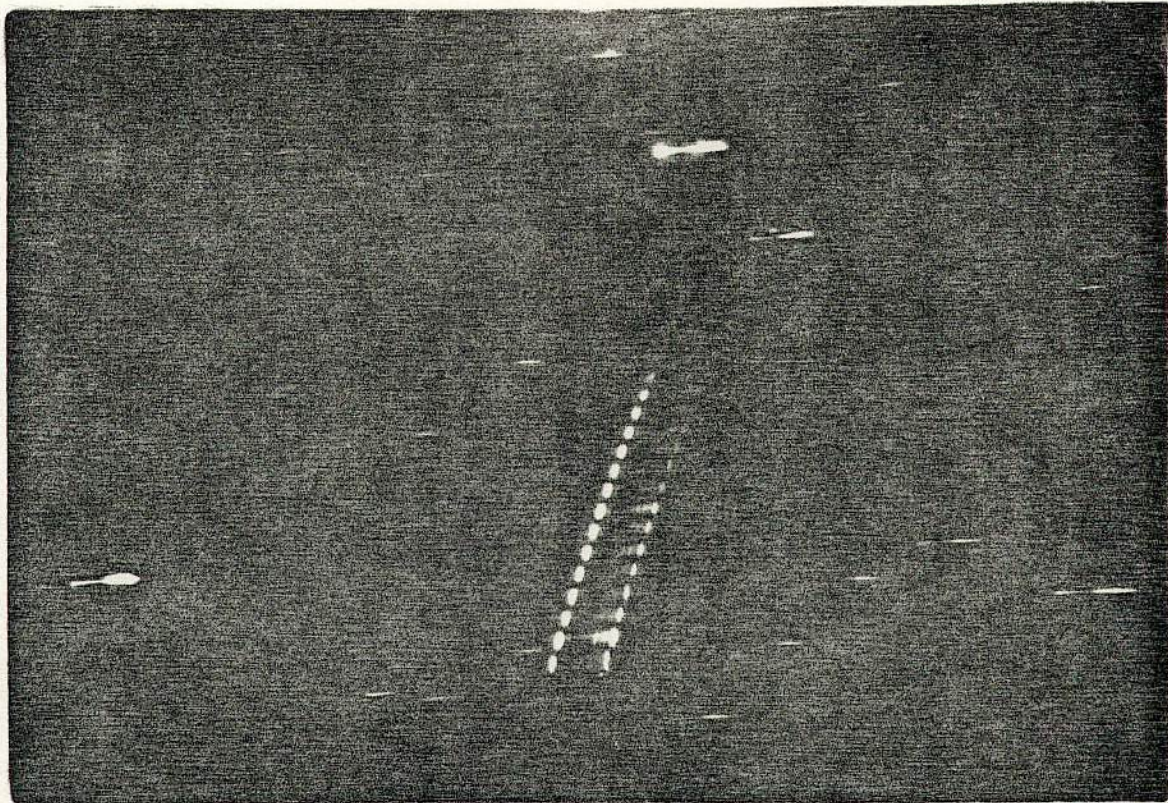
7th MSS

Leo 群のスパウトIV.

~ 流星物理セミナー ~

1980: 1.20 (A)

理大天研



~ 流星の経路 ~

1979年 11月 19日

27^h 23^m 26^s

Leo 群

野田 { 139.915
35.920

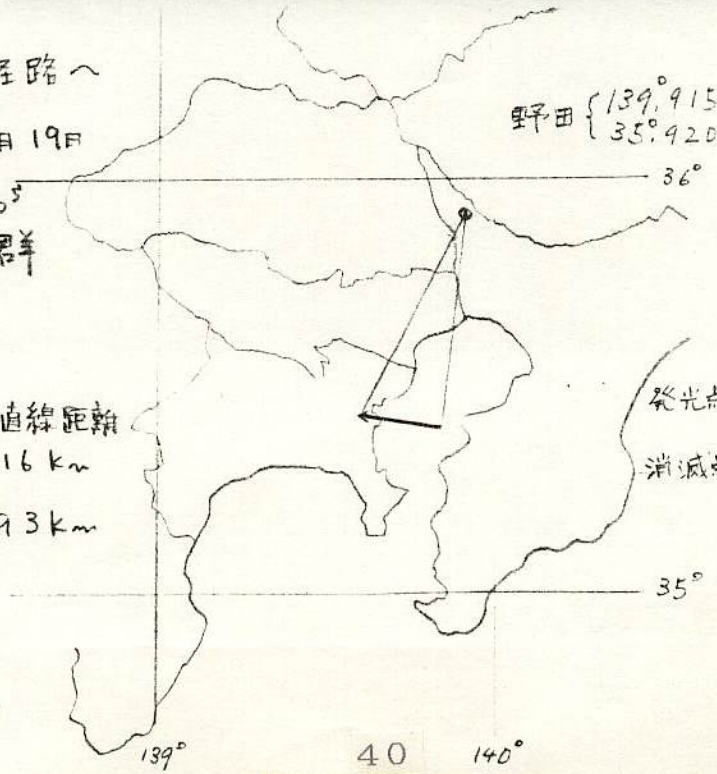
流星の直線距離

{ 発光点 116 km

{ 消滅点 93 km

発光点 { 139.84
35.41 : 101.6 km

消滅点 { 139.61
35.45 : 72.6 km



NO.	コンパレータ- 読取り値	計算 (1) 波長(Å)	計算 (2) 波長(Å)	固定 波長(Å)	元素	M.J.P. NO.	所起 I値(eV)	log(A)	D = log(I)	I
1	49.739		3696						35.8	8.39
2	49.779	3716	[*] 3719.94	3719.94	Fe I	5			38.0	9.27
3	49.796		3730	3727.62	Fe I	21			40.0	10.14
4	49.851		3765	3763.79	Fe I	21			39.0	9.69
5	49.898		3796	3795.00	Fe I	21			47.4	14.13
6	49.912		3805	⇒ 3799.55	Fe I	21			46.0	13.27
				3805.34	Fe I	608				
7	49.942		3826	⇒ 3827.82	Fe I	45	4.77	0.52	51.0	16.61
				3824.44	Fe I	4	3.32	-1.21		
				3820.43	Fe I	20	4.09	0.24		
				3825.88	Fe I	20	4.14	0.29		
8	49.996		3865	3865.52	Fe I	20	4.21	-0.81	54.3	19.26
9	50.028		3888	⇒ 3887.05	Fe I	20	4.09	-1.03	57.2	21.93
				3888.51	Fe I	45	4.79	-0.40		
10	50.049		3905	3905.53	Si I	3	5.06	0.05	58.0	22.73
				3906.48	Fe I	4	3.27	-1.90		
				3902.94	Fe I	45	4.37	-0.24		
11	50.086	[*] 3933.66	[*] 3933.66	3933.66	Ca II	1	3.14	0.140	59.2	23.99
12	50.116		3958	3961.53	Al I	1	3.13	-0.514	54.9	19.78
				3968.47	Ca II	1	3.11	-0.162		
13	50.175		4008	4005.25	Fe I	43	4.63	-0.37	42.0	11.09
				4007.27	Fe I	277				
				4009.72	Fe I	72	5.29	-0.71	42.6	11.39
14	50.223		4051	4058.93	Mn I	5	5.21	0.26	42.6	11.39
15	50.255		4080	4082.94	Mn I	5	5.19	0.25	45.1	12.74
				4083.63	Mn I	5	5.18	0.24		
16	50.278		4102	4100.75	Fe I	18	3.86		46.5	13.57
17	50.309		4133	4132.06	Fe I	43	4.59	-0.48	45.8	13.15
18	50.338		4162	4172.75	Fe I	19	3.91		45.9	13.21
19	50.378		4204	4202.03	Fe I	42	4.42	-0.55	42.6	11.39
20	50.409		4238	4235.94	Fe I	152	5.33	-0.09	42.2	11.19
21	50.439	4275	[*] 4271.76	4271.76	Fe I	42	4.37	0.02	42.0	11.09
22	50.463		4300	4299.24	Fe I	152	5.29	-0.13	44.0	12.13
				4307.91	Fe I	42	4.42	0.09		

NO.	ミクロン- 読み取り値	計算 (1) 波長 (Å)	計算 (2) 波長 (Å)	同定 波長 (Å)	元素	Map. no.	励起 状態 (eV)	log(gf)	D = log($\frac{I}{I_0}$)	I
23	50.505		4330	4351.77	Ca I	22	3.86	-0.25	39.0	9.69
				4352.74	Fe I	71	5.05	-0.55		
24	50.545	* 4404.8		4404.8	Fe I	41	4.35	-0.00	51.3	16.80
25	50.550		4412	4415.12	Fe I	41	4.40	-0.43	40.0	10.14
26	50.559		4423	4422.6	Fe I				40.0	10.14
27	50.627	4515		4517.53	Fe I					
28	50.704	4631								
29	50.724	4662								
30	51.238	* 5892.0	* 5889.953 5895.923	5892.0	Na I	1	2.10 2.09	0.117 -0.184	43.5	11.86
31	51.339	6320.8		6347	Si II	2	10.03	0.255	41.5	10.97
				6371	Si II	2	10.02	-0.094	42.0	
32	51.435	6840.6								
33	51.542	7613.2		7772~5	O I					
34	51.582	8025.7		8222~	O I					

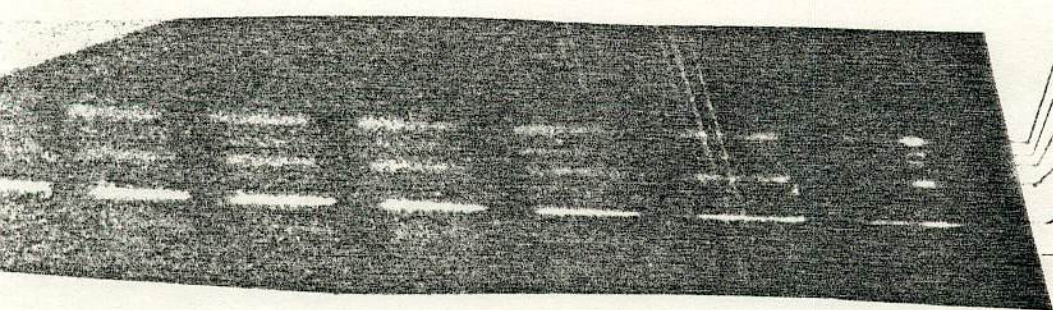
*の波長は、同定の際仮定した波長である。

I は、補正前の相対的明るさ。

NO. は フォトメータの NO. に 対応した。

《グレーティングによる赤外スペクトル》

この流星はグレーティングにおいても撮られていた。そして、その流星スペクトルは「流星にむかう」にある赤外スペクトルとまったく同じ光線線が出ている。(しかし、非常に残念なことにカメラのトラブルによってこのデータは多重露出になってしまっており、これより直接濃度を測ることはできない)。



- Ca II 8662
- Ca II 8542
- O I 8446~7
- O I 8222~33
- O I 7772~45
- NI 7442~68

流星とそのスペクトル

長沢 エ (東京大学地震研究所)

K. Nagasawa

ABSTRACT

Meteors and their spectra : The research of meteors made rapid progress through some large scale observation projects. They are The Arizona Expedition, The Harvard Photographic Meteor Programme, The Prairie Meteorites Network and The NASA LRC Faint Meteor Spectral Patrol. As the results of these observations, the following understandings about the origin, structure and composition of meteoroids are obtained.

- (1) Most of Meteoroids and meteorites have their origins in the solar system.
- (2) The meteoroids generated from comets are generally light, porous and fragile, while meteorites are dense, compact and hard.
- (3) The composition of the meteoroids became gradually clear by the analysis of meteor spectra. Although several papers have been published, the quantitative results are not always satisfactory. It seems especially important to find the way which estimates the amount of silicon in meteoroids.

1. はじめに

ここでは、流星物質の起源、構造、組成について、今までの研究の大略を述べ、さらに、現在わかっていること、問題点などについても述べる。

流星を理解するには、日常の研究の積み重ねが重要であることは勿論であるが、過去の例では、いくつかの大規模な流星観測プロジェクトが行われたのを契機として、そこで得られた観測データを土台に、飛躍的に理解が進むということが多かった。今までに実施された、この種のプロジェクトとしては、たとえば、次の4つを挙げることができる。

1931~33年 The Arizona Meteor Expedition ---- 肉眼による大規模な流星観測で、流星の速度決定に特に努力がなされた。

1952年~ The Harvard Photographic Meteor Programme ---- スーパー・シュミット・カメラによる、4等級までの流星の写真観測。

1963~75年 The Prairie Meteorites Network ---- 隕石発見を主目的とした、自動カメラによる火球観測システム。

1968年~ The NASA LRC Faint Meteor Spectral Patrol ---- 特別設計の明る

い分光カメラによる、流星スペクトル撮影。

これらのプロジェクトを簡単に紹介しながら、流星の問題について述べていく。

2. 流星物質の起源

2.1 大要

流星群が彗星と関係をもつことは以前から推定され、流星物質は彗星を母体として生まれることはかなり前から想像されていた。しかし、彗星との関連が直接にははっきりしない散在流星も多く、流星一般の起源は必ずしも明確であるとはいえなかった。

流星物質が生まれた場所としては、大別して次の3つが考えられる。

A. 地球あるいはその近く

B. 太陽系内

C. 太陽系外

これを区別するには、地球に突入する前の流星物質の軌道を知ればよい。もし流星物質が地球起源なら、それは地球を焦点とする楕円軌道であろうし、太陽系内に起源をもつなら、太陽を焦点とする楕円軌道であろう。そして太陽系外起源なら、太陽を焦点とする双曲線軌道または双曲線軌道であるはずである。実際に観測できるのは地球近くでの接触軌道だけであること、いろいろの摂動力が作用していることを考えれば、この分類は厳密に個々の流星物質の起源を示すとはいえないが、極端に長いタイム・スケールを考慮するのでなければ、統計的には、この結論が容認できるものと思われる。現実には軌道を決めるには、離れた2点からの観測をもとに、流星物質の位置、速度を決定するだけで十分である。実際には、流星速度を精度よく決めるのが困難で、そのためにいろいろの努力がなされた。

2.2 The Arizona Meteor Expeditionの結果

この観測では、10回/sで振動する鏡面(Rocking Mirror System)にうつした流星の反射像を眼視で観測することによって、流星の速度決定を試みた。その結果

流星の半数以上は、太陽を焦点とする双曲線軌道をもつ

ことが結論された(Öpik 1934)。つまり、太陽系外に起源をもつ流星が多いということである。しかし、この速度決定はかなりの系統誤差を含んでいて、この結論が誤りであったことが、このあとわかってくる。

2.3 The Harvard Photographic Meteor Programmeの結果

このプロジェクトでは、4等級の流星まで撮影できる、スーパー・シュミット・カメラを使用して、写真による流星観測を組織的に実施した。このカメラは、 $f:0.65$, $\phi:31\text{cm}$ 視野 $55^\circ \times 55^\circ$ 、回転シャッターを装備し、流星像を一定の時間間隔で切断することにより、速度決定の精度向上を意図していた。有効に撮影できる流星はいわゆる眼視域の普通の流星で、その質量は $10^{-3} \sim 10^8$ 程度のものであると考えられる。

このカメラによって撮影された流星は数万個に達したが、その中から413個を選んで、精密な解析処理を行なった結果、次の軌道が求められた(Jacchia, Whipple, 1961)

太陽を焦点とする楕円軌道 403

〃 双曲線軌道 2

太陽を焦点とする双曲線軌道 7

その他 1

放射物, 双曲線軌道をもつ9個の流星のうち8個までが, 観測誤差の多少大きいものであった。このことから, 次のことが結論された。

双曲線軌道の流星は, 存在するにしても1%以下。軌道が確実に双曲線であるという流星は発見できなかった。

なお, 上記の流星には, 母彗星が既知である群流星が268個含まれていたが, その速度は, いずれも母彗星にほぼ等しいことも確認され, 群流星物質が彗星から生じたことは, 一層確実であると考えられるようになった。後にも述べるが, 流星スペクトルで, CN, OHなどの分子による放射も見出されたことは, 流星物質が彗星起源であることを, 成分的に傍証するものと思われる。こうして, 流星物質の起源の問題は, 一応の解決をみた。

2.4 The Prairie Meteorites Networkの結果

この観測プログラムは, スミソニアン天体物理研究所がNASAの支援によって実施したもので, 新しい隕石を発見することを第一の目的とし, アメリカ中央部に16ヶ所の観測所を設置, それぞれに4台の自動カメラを置いて, 火球を監視するものであった。このシステムは1963年開始以来12年間稼働, 1970年にLost city隕石を発見している。このカメラで有効に観測できる火球の質量は, $10^2 \sim 10^6$ g程度と考えられる。

このネットワークは, 群流星を別にして, 約2700の流星, 火球を, 2ヶ所以上の観測所で同時に写真撮影した。そのうち, 発光継続時間が3秒以上の明るい火球334個の軌道リストが発表されている (McCrosky, Shao, Posen, 1976)。そこでは,

楕円軌道 323

放射線軌道 3

双曲線軌道 8

が決定されている。速度決定誤差が約2%であること, 求められた軌道の離心率が最大でも1.07であることを考えると, この場合も, 確実に双曲線軌道のものであるかどうかは疑問であり, この質量範囲でも, 太陽系内起源の物質が大部分であることが証明されたとと思われる。

なお, 隕石となったもの, また隕石の発見はできなかったが, 隕石状の緊密な構造をもつと考えられるものは, 軌道の離心率が小さく, 円に近い軌道を描いていることが認められた。これは, 群流星の場合とは違って, 隕石が, 小惑星に類似したものであると考えさせるひとつの証拠となっている。

3. 流星物質の構造

3.1 大要

ここで考えるものは, 流星物質の具体的な構造ではなく, 大ざっぱに考えた構造である。たとえば, 緻密な石状のものか, 石でも軽石のように多孔質のものであるか。あるいは, もっとこわれやすい, 乾いた土くれのようなものか, さらに, 形も変形しやすい綿くずのようなものか, その程度のことを考えようというのである。

構造の見当をつけるには、密度を知ることが第一歩となる。流星物質の密度は、流星が大気中を通過する経路に沿つての速さや明るさを解析することで知ることができる。その大略の筋道は次のようである。

流星の明るさは、流星物質の質量減少に比例すると考えられ、適当な比例係数を与えることができれば、経路に沿って明るさを積分することで大気突入前の質量がわかり、また、経路各点においての質量も知ることができ。一方、大気抵抗による流星の減速は、大気密度および流星物質の飛行方向の断面積に關係する。減速は観測できるので、大気の密度を既知とすれば、流星物質の断面積、つまり大きさがわかる。こうして、流星物質の質量と大きさから、密度の推定が可能となる。

このような密度の推定方法は、抵抗係数など、いくつかの不確定な数値を使用するので、計算する人の考えかたによつて、その結果はかなりのばらつきができる。しかし、相対的に密度の大小を決めるには非常に有効である。また、観測、拾集された隕石によるデータを使って係数を決定するといった方法によつて、最近では、絶対的にも、その結果の信頼性が高まってきている。

3.2 The Harvard Photographic Meteor Programmeの結果 (Jacchia 他 1967)

精密解析を行つた43個の流星から得られた流星物質の平均密度は、 0.26 g cm^{-3} であり、想像されていたものよりかなり小さい値であつた。しかし、そのばらつきはやや大きく、流星群によつて、系統的に密度に差の認められる場合もあり、たとえば、「ふたご群」の流星では、平均密度は約 1 g cm^{-3} にも達した。また、流星軌道の大きさと密度との間に相関も認められている (Verniani 1969)。また、密度が 3 g cm^{-3} を超える隕石的な流星も1個だけ含まれていた。

一方、流星が発光中、その経路途中で何回も増光する場合がしばしばあり、これは、流星物質がこわれて、瞬間的に実効的な断面積が増加したためと推測される。したがつて、流星物質は、もろく、さわめてこわれやすいものと想像される。その結果、流星物質のモデルとして、ダスト状のものが、さわめて弱い力で結合している、ダストボールが考えられるようになった。

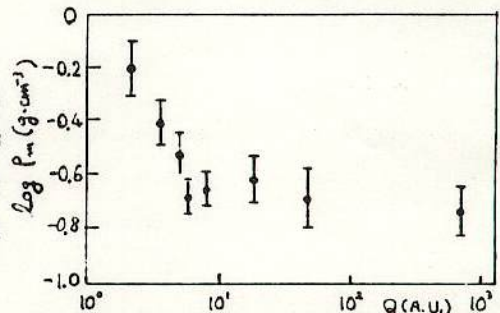


図1 軌道の遠日点距離Qと流星物質の密度ρ

これは、たとえばススのようなものであるかもしれない。結論として、

通常の流星をつくっている物質は、平均して $0.2 \sim 0.3 \text{ g cm}^{-3}$ の密度をもつ、もろく、こわれやすいものである

ということができよう。

3.3 The Prairie Meteorites Networkの結果

このプロジェクトでは、対象となる流星物質の質量範囲が、上記のスーパー・シュミット・カメラによる流星撮影プログラムに比べてずっと大きいため、ダストボールとは考えることができない高密度の物質の割合が多くなっている。Ceplecha, McCrosky (1976)によると、高密度の物質は2種に分類できて、密度が、

$\rho > 3 \text{ g cm}^{-3}$ のもの

$\rho \sim 2 \text{ g cm}^{-3}$ のもの

があるという。前者はコンドライト、後者は炭素質コンドライトに相当するものと推測される。炭素質コンドライトと考えられるものは、落下時に大気中で非常に明るく輝やくが途中の質量減少がはげしく、よほどの好条件に恵まれないと、現実に隕石として地上まで達することはできない。コンドライトと推定されるものは、これに比べると明るさの変化がゆるやかで、発光継続時間が長く、発光の末端高度が低いという特徴がある。そして、炭素質コンドライトよりは、隕石として地表にまで到達する確率が大きい。

3. 4 流星物質の分類

以上に述べたような観測結果をもとにして、Ceplecha (1977) は、下に示した流星物質の分類を行なった。

表 1 Meteoroid Populations

		Super-Schmidt $10^{-3} \sim 10 \text{ g}$	Small Camera $10^1 \sim 10^3 \text{ g}$	P-N fireball $10^2 \sim 10^6 \text{ g}$	Assumed density	Composition
Asteroidal	I	< 1 %	5 %	32 %	3.7 g cm^{-3}	Ordinary Chondrites
	A II	54	37	37	2.1	Carbonaceous Chondrites
	B	6	7	—	1	dense cometary material
	C_1 III _A	9	16	9	0.6	} regular cometary material
	C_2 III _{Ac}	31	30	9	0.6	
	D III _B	< 1	5	13	0.2	Soft cometary material

C_1 : short period, ecliptic concentration.

C_2 : long period, random.

この表で、Bに分類されているものは、「ふたご群」の流星物質に対応し、また、DあるいはIII_Bと分類されたものは、1946年のジャコビニ群で観測された、特別に低密度の流星物質を示している。なお、Vermiani (1969) によると、この分類表で与えている C_1 , C_2 , Dの密度の見積りは過大で

C_1, C_2 : $0.2 \sim 0.3 \text{ g cm}^{-3}$

D : $< 0.01 \text{ g cm}^{-3}$

であるという。

こうしたことから考えると、彗星起源と考えられる流星物質でも、必ずしも一律な密度構造をもつものではないことがわかる。流星物質の密度は、軌道の大きさ、あるいは母彗星の年齢と、かなり相関があるらしい。たとえば、上記分類表のDで示されているジャコビニ群の流星物質は、非常に若い彗星から生じたものと考えられている。また、ごく少数ではあるが、群流星のほかに、一般のものとは異なる差をもって密度の高い流星が観測されることがある。これは、彗星核の中心部分にさらに核構造があり、そこから生まれたものではないかという想像もされている。さらに、小規模の流星群ではあるが、ある一群の流星群の物質が、ほとんどすべてコンドライトではないだろうかと思われるような観測結果

も出はじめていて、流星物質の密度、構造については、解決を要する問題がいくつも残されている。

4. 流星物質の組成

4.1 概要

流星物質の組成は、たとえば、次のような方法で、直接、あるいは間接に求められている。

隕石

スカイラブ、U2などにより高空で採取した微粒子 } 直接に化学分析
深海底堆積物から採取した流星塵、宇宙塵

流星スペクトルの解析

ここでは、流星スペクトルの解析を中心に述べる。

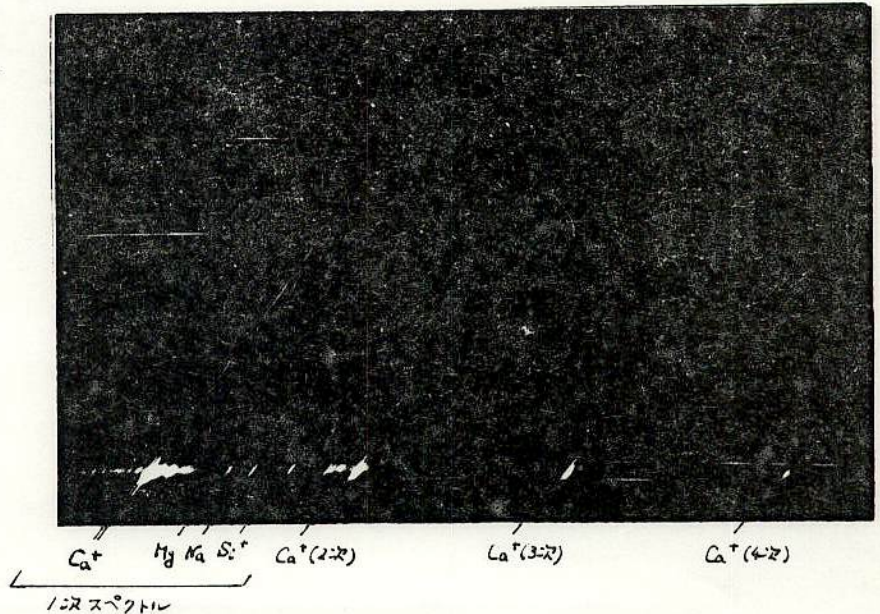
4.2 流星の分光観測

流星の分光観測とは、今のところ、流星の分光写真撮影とほとんど同義である。これは、カナダの Millman、チェコの Cepicka などによって精力的に実施され、質のよい流星スペクトルも得られて、いくつかの解析結果が発表されている。ソビエトでも流星の分光観測を実施しているとのことであるが、結果の発表は少ない。日本では、1963年以降、東京天文台平観測所を中心として、活発な流星群の出現時に観測をつづけ、今までに約100個の流星スペクトルを得ている。

流星のスペクトルは、ほとんどすべてが金属の輝線から構成されていて、Na, Ca, Feなどが特徴的にあらわれる。スペクトル写真は、下に示すように、一見、光の平行線として撮影され、急激に増光した部分で、たくさんの輝線があらわれる。近赤外帯まで感度のあるフィルムを使用すれば、O, Nなどのガスの輝線も見ることができるといえる。

図2

流星スペクトル



現在までの観測を総合して、流星スペクトルからは、下記の表に示した原子、イオン、分子が同定されている。

表2 流星スペクトル中の原子、イオン、分子

	Atom			Ion			Molecule		
確 認	H	N	O	N ⁺	O ⁺		N ₂	OH	CN
	Na	Mg	Al	Mg ⁺	Si ⁺	Ca ⁺			
	Si	Ca	Ti	Ti ⁺	Fe ⁺	Sr ⁺			
	Cr	Mn	Fe						
	Co	Ni							
可 能 性	Li	K	Ba				FeO	CH	

4.3 The NASA LRC Faint Meteor Spectral Patrol (Harvey, 1971)

NASAは、特別設計の無スリット流星スペクトルカメラを開発し、1968年から、ニューメキシコで、組織的な流星のスペクトル観測を開始した。このカメラは全部で20台あまりあり、機能の異なるいくつかのタイプがあるが、 f 0.83~1.3、 ϕ 12.5~20cmのもので、一台の視野直径が21°、全部のカメラで、高度35°以上のほぼ全天をカバーしている。分散は、カメラにより1800~123Å/mmである。このシステムでは、0等より明るい流星が視野に入ると、0.1秒で開く特殊の光電シャッターを使用している。

このプロジェクトでは、最初の2年間で319個の流星スペクトル撮影に成功している。これは、カメラ一台あたり40時間の観測で1個の流星スペクトルを撮影した割合と等しい。東京天文台が100個の流星スペクトルを得るのに15年を要したことを考えると、これは画期的な能率である。

4.4 スペクトル解析による流星物質の組成

今までの流星スペクトル解析による流星物質の組成比は、たとえば次のようである。まず、上記のNASAのプロジェクトによる結果は(Harvey 1973)。

表3 流星の組成

	Sporadic	Taurid	Geminid	Perseid	Leonid
Fe	28	28	28	28	28
Ni	4.1	3.4	3.7		
Mn	0.50	0.01	0.01	0.01	
Cr	0.06	0.01	0.01	0.03	
Ca	(0.32)	0.82	0.62	4.9	2.1
Mg	(36)	6.9	1.9	1.8	4.9
Na	(2.6)	0.19	0.17	0.22	1.3

この表は、Feを28として、他の元素の相対存在比を示している。()で示したものは、や

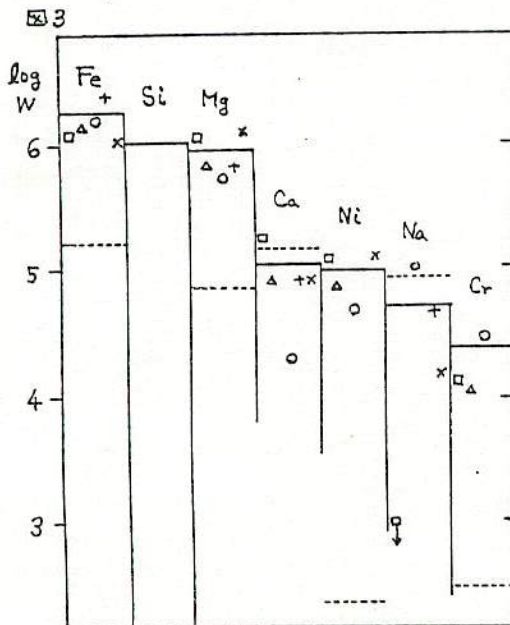
や古い励起断面積のデータを使った結果である。

また, Millman (1972), Nagasawa (1978)による組成比は次のようである

	Millman		Nagasawa	
	Gracobimid	Persoid	Leonid	
Fe	29.3 ± 0.5	25	28	28
Mn				0.01
Co			426	129
Ca	1.2 ± 0.1	5.0	0.03	0.02
Mg	13.2 ± 0.6	14.5	305	99
Na	1.3 ± 0.1	0.5	0.12	—

Millmanの結果は、合計を45となるようにしてある。Nagasawaの結果はFeを28として表記してあるが、数値のバラツキが大きく、まだ問題がある。

このようにして得られた流星物質の組成比を、関係のありそうな他の各種の組成比と比較すると、Millman (1977)によると、次の図のようになる。



The relative abundances, by weight, of seven element commonly found in cometary meteoroids. Values are plotted as log weight and normalized to Si at 6.00. Since Si Values for meteor spectra are not available, normalization in this case was to the mean of Fe and Mg.

- Solar system, Cameron, 1973, also true for carbonaceous chondrites, type C1.
- earth's crust, Ahrens, 1965.
- micrometeoroid, Brownlee et al. 1967.
- △ microcrater residue, Brownlee et al. 1974.
- E-region ions, Goldberg and Aikin, 1973.
- + 12 meteor spectra, Millman, 1972.
- x 4 meteor spectra, Harvey, 1973.

4.5 流星スペクトルの解析法と問題点

現在の流星スペクトルの解析法は、研究者によって細部にはいろいろと差があるが、大筋はほぼ同様である。それは、スペクトルの強度分布から実効的な励起温度を求め、その温度に対する局部熱平衡を仮定して、スペクトルのそれぞれの輝線の強度から、各元素の存在比を求めていくものである。しかし、この方法にはいろいろと問題がある。その最大のもは、この方法では、Siの組成比の計算ができないことである。もし、この方法で強引にSiの量を計算すると、現実とかけはなれた非常に大きな値が得られてしまうからである。これは、流星スペクトルに現われるSi⁺の輝線(6347, 6371A)の励起ポテンシャル

が10eV以上の大きい値であるにもかかわらず、この輝線が相対的に非常に明るいことに原因している。この輝線の同定に誤りがないとすれば、計算法に問題があるか、あるいはSiの励起に何か特別のメカニズムが働いているかのどちらかであろう。いずれにしても、Siの定量のできない計算法は、その他の元素に対しても、どの程度正しい値を与えているのか、うたがわしい。

流星の発光は、熱せられた流星物質そのものによるのではなく、進行していく流星物質がそのあとに残していった、流星から気化した物質と大気との混合した、流星プラズマからである。その状態を正しく知るためには、流星物質からの気化、解離、励起、電離、大気中への拡散など、いろいろの過程を知らなければならない。しかし、現在の流星発光過程についての理解は、まだまだ十分のものとはいえない。流星の組成を正しく計算するためには、発光メカニズムを正しく解明することがぜひとも必要であり、その面の研究も、今後、大いに望まれる。

5. 結論と問題点

いままでの説明をもとに、流星物質の起源、構造、組成についての理解をまとめると、次のようになる。

起源---- 軌道からみて、流星物質は、太陽系内に起源をもつものが大部分である。しかし、双曲線軌道をもつ流星物質があるか、ないかについては、いずれとも断定できない。そして

通常の流星、特に群流星---- 軌道、組成からみて、彗星から生まれた。隕石、あるいは隕石状の堅い物質---- 軌道からみて小惑星的。

という形に分けて考えるのが、一応妥当であろう。

構造---- 先に表に分類したように、各種のものがある。特に彗星起源と考えられるものは、密度が小さく、多孔質の、もろいものと考えられる。一方、質量の大きいものでは、密度がそれぞれ、 3.7 g cm^{-3} 、 2.1 g cm^{-3} 程度と考えられる。コンドライト、炭素質コンドライトと推定されるものの割合が増えてくる。

組成---- 流星スペクトルの解析から、定性的には、かなりの元素の存在がわかっていいる。元素の存在比を定量的に求める試みは、かなり成功をしているが、まだ十分のものではなく、特にSiの存在比をどのように決めるかについては、問題が残されている。また、構成鉱物が何であるかという点は、全く手つかずの状態である。今後、発光メカニズムの解明とあわせて、流星物質の組成に関して、一段の研究が望まれる。

参考文献

Cepplecha, Z. and McCrosky, R.E., 1976, Center for Astrophysics, Reprint Series No. 442.

Cepplecha, Z., 1977, in "Comets, Asteroids, Meteorites-Interrelations, Evolution and Origins", p143.

Harvey, G.A., 1971, NASA Technical Note D-6298, 1.

Harvey, G.A., 1973, J. Geophys. Res. 78, 3913.

Jacchia, L.G. and Whipple, F.L., 1961, Smithsonian Contrib. Astrophys., 4, 97.

Jacchia, L.G., Verniani, F. and Briggs, R.E., 1967, Smithsonian Contrib. Astrophys.,
10, 1.

McCrosky, R.E., Shao, C.Y. and Posen, A., 1976, Center for Astrophysics, Reprint
Series No. 665.

Millman, P.M., 1972, in "From Plasma to Planet", Nobel Symposium 21, p157.

Millman, P.M., 1977, in "Comets, Asteroids, Meteorites-Interrelations, Evolution
and Origins" P.127.

Nagasawa, K., 1978, Ann. Tokyo Astr. Obs., 2nd series 16, 157.

Opik, E.J., 1934, Circ. Harv. Coll. Obs. No. 391.

Verniani, F., 1969, Space Science Reviews 10, 230.

討 論

田村: 流星のスペクトルというものは、地球大気による影響を受けているのではないが、つまり、地球大気起源の Atom Ion と、流星起源のものとの区別がはっきりしないのではないか。

長沢: その通りである。近赤外域では、酸素、窒素などの輝線がみられるが、厳密には、その起源が、大気、流星のどちらであるかを確定することはできない。しかし、現在は、これらの輝線は、一応、大気によるものと解釈している。

田鍋: 流星の組成表では、ペルセウス群のカルシウム組成比が、他の群に比べて異常に大きい。母彗星に何か特徴的な違いがあるのか。

長沢: ペルセウス群の流星のスペクトルは、カルシウムの輝線が非常に特徴的であって、それが表の結果にあらわれたものと思う。しかし、これを母彗星の違いによると結論するのは、今のところ無理ではないだろうか。ペルセウス群のように高速の流星では、その速度の影響によつてカルシウム輝線が強くあらわれるが、その速度の影響をきちんと補正する解析法がまだできにくいいためといった方がいだろう。

菊池: 流星スペクトルから求められた組成と隕石の組成との関係はどうか。

長沢: 解析から得られた主要成分は、あの種のコンドライト隕石と、大まかには一致しているといえる。ただ、隕石にはたくさんある成分で、流星からは検出されていないものも多い。それは、流星スペクトルでは、観測域長域(3700~9000Å)内に輝線をもつ元素しかとらえることができないためである。また、今の解析法では、珪素の定量ができるので、これと隕石のものと比較することができない。酸素も、大気酸素の影響を大きく受けるので、比較は困難である。

1. 基本式

$$I = \frac{N_0}{N_i} \frac{1}{B_i(\lambda_e)} \frac{2\pi e^2 R g_i f_i}{m \lambda^3} \exp(-\lambda_i / R T_e)$$

2. 補正

- プラールリング → $I_{\lambda} = I \cdot F \cdot \exp\{-\frac{(\lambda - \lambda_0)^2}{p^2}\}$
- ブレンド → $\sum I_{\lambda}$
- 分光感度 → 2次回帰分析

3. 問題点

- Siの相対数
- Ca I, Ca II の電離度

4. 器械

Canon CX-1

RAM 96 K
ミミ 70ppm
320 K x 3
FDOS
BASIC

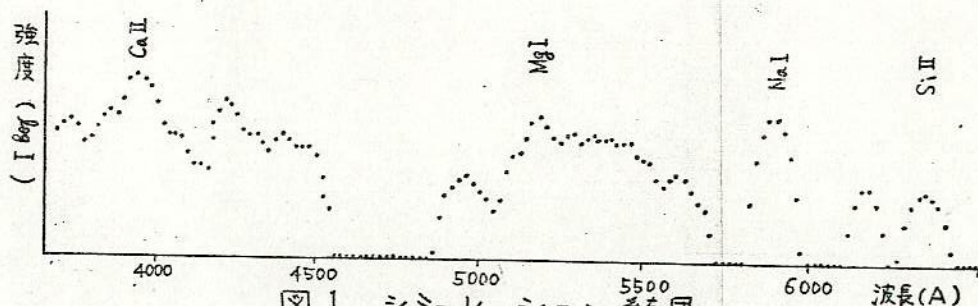


図1 シミュレーション結果

Gen流星
45°プリズム
Tri-X ⇒

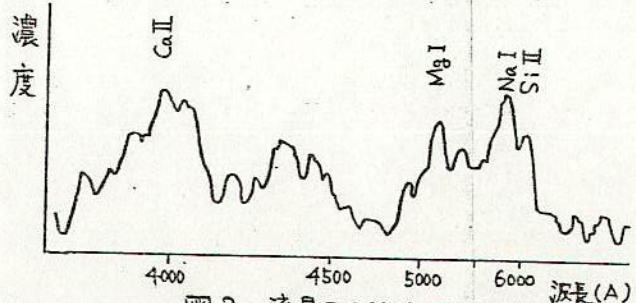


図2 流星スペクトルマイクロフotメーター スキャン

```
***SIMULATION PROGRAM SSP1*****BUNJI BUNJI*****
          effective temperature Tem = 3200
*partition function calculation*
element Fe I Ca I Ca II Mg I Na I Si I Si II
log B(Te) 1.3702 0.016466 0.20322 0 0.28116 0.5453 0.8236 5.161
B(Te) 23.46 1.0306 2.0106 0 1.9211 0.6166
< Atomic abundance >
element Fe I Ca I Ca II Mg I Na I Si I Si II
data 1 1 0.23 0.71 0.00025 0.00025 0.00025 0.00025
data/Fe 1 0.23 0.71 0.00025 0.00025 0.00025 0.00025
< Ionization >
element Fe I Ca I Ca II Mg I Na I Si I Si II
multi No. 0.003770192 0.2262295 3.47 0.00025 0.00025 0.00025 0.00025
(Ce I)
  0 22418.47 3732.567 3.26 -1.27
  8 23281.7 3722.584 3.4 -1.22
  9 5273.46 3731.123 3.32 -0.97
  9 39291.96 3748.254 3.4 -0.96
  4 4432.03 3824.444 3.23 -1.17
  4 17773.4 3825.913 3.22 -0.95
  49 1542.754 4022.246 4.63 -0.27
  49 13253.2 4045.615 4.53 0.43
  43 7450.817 4262.597 4.59 0.27
  43 5091.481 4071.74 4.63 0.17
  42 1250.19 4132.06 4.59 -0.46
  42 1894.743 4232.021 4.42 -0.25
  42 1671.696 4220.719 4.42 -0.34
  42 7984.496 4271.704 4.57 0.02
  42 1139.777 4224.128 4.35 -0.83
  42 7635.308 4207.506 4.42 0.09
  42 3904.533 4225.765 4.43 -0.14
  41 172.3625 4237.045 4.4 -1.37
  41 4529.157 4233.847 4.29 -0.32
  41 7474.196 4204.722 4.29 -0.61
  2 2217.663 4427.312 2.64 -2.89
  2 1814.05 4461.624 2.85 -2.03
  2 2180.092 4492.171 2.65 -0.89
  318 126.4742 4920.509 5.22 -0.09
  318 319.8663 4527.603 3.29 0.56
  318 78.82364 5026.126 5.29 -0.33
  218 4.056391 5204.221 3.23 -0.29
  1 2418.352 5110.414 2.41 -2.34
  27 2621.35 5167.491 3.67 -1
  27 7.629627 5225.601 5.6 -0.8
  27 3168.687 5227.192 3.91 -0.84
  253 7.107919 5223.479 5.62 -0.6
  15 12429.2 5269.541 5.2 -1.32
  37 1929.948 5270.23 3.54 -0.99
  15 3611.372 5328.042 3.23 -1.4
  37 786.2264 5328.534 3.67 -1.5
  15 6321.607 5371.452 3.23 -1.52
  15 3112.169 5397.131 3.2 -1.52
  15 3170.751 5426.778 3.27 -1.8
  15 1407.874 5434.327 3.25 -1.23
  15 2969.337 5446.92 3.25 -1.85
  15 1816.377 5429.613 3.27 -2.03
  15 661.6266 5427.519 3.25 -2.49
  15 795.9228 5506.782 3.23 -2.44
  686 9.403782 5569.625 5.62 -0.6
  686 17.62899 5772.849 5.6 -0.36
  686 4.109028 5876.037 6.53 -0.25
  686 32.0229 5896.753 3.56 -0.14
  686 170.2147 5815.622 5.32 0.21
  168 31.95225 5826.926 5.23 -0.15
  168 58.24548 6216.222 4.4 -1.56
<Ca I, Ca II>
  1 302581.9 3926.664 3.14 0.14
  1 1636431 3926.47 3.14 0.14
  2 220820.8 4225.782 2.92 0.23
  21 132.9325 5229.757 4.72 0.21
  21 72.77357 5234.468 4.72 -0.08
  21 50.90025 5590.487 4.71 -0.22
  20 26.64711 6163.025 4.51 -0.23
  20 106.7199 6169.229 4.52 -0.07
<Mg I>
  2 5952.581 5167.222 5.09 -0.857
  2 17797.3 5172.664 5.06 -0.39
  9 25685.29 5183.608 5.09 -0.129
  9 57.22451 5228.409 6.56 -0.48
<Na I>
  1 41755.94 5089.053 2.1 0.117
  1 21981.73 5205.923 2.09 -0.164
  3 0.9609916 6134.225 4.1 -1.56
  3 1.113208 6160.747 4.1 -1.261
<Si II>
  2 77.08163 6347.091 10.02 0.255
  2 37.03964 6371.329 10.02 -0.074
```

表1. 基礎データ

流星のスペクトルについて

日大文理 佐々木 道治

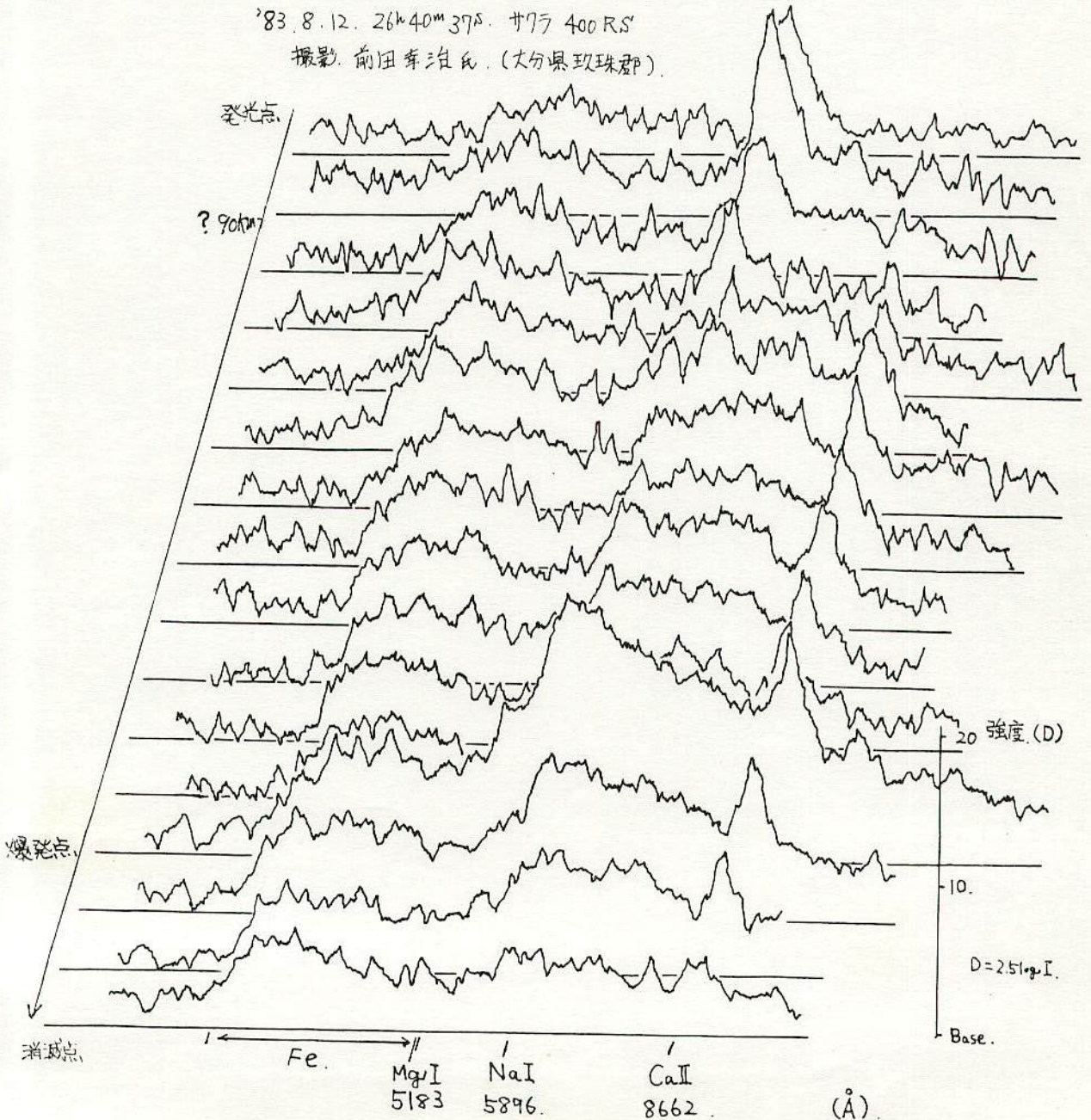
カラーネガの流星の波長測定を行ってみた。発光点付近において、NaI (5896) の発光が著しい。カラーネガのため、CaII (8662) が写っている。しかし、ネガ上においては、補色にあるので、実際は、4チャートほど多くない。また、測定に用いたマイクロフォトメータは、赤い光に感じないので、カラーネガの測定には向かないし、カラーの場合、フィルムの感光波長が、シアン・マゼンタ・レッドの3つにまたがるので、定量的な解析には向かない。

今回は、トレースを、発光点から、順にならば、高度による発光物質の違いを見てみた。

※、今後、流星スペクトルの撮影には、白黒フィルムを用いて、必ず光学クサビ(ウェッジ)を焼き込んで下さい。

'83. 8. 12. 26h 40m 37s. カラ 400 RS

撮影 前田幸治氏 (大分県玖珠郡)



軌道計算の精度

軌道計算が最小自乗法によって行われるようになると、その精度（誤差の見積り）
についての話題が登場した。

現在までのところ、輻射点の分散を求める話を中心となっている。

軌道計算の精度

保科 顕一

・最初に

現在、35mm版のカメラで数多く、流星写真が撮影され、軌道が計算されているが、その流星が、多点観測もされ、分光もされた精度の良い物なのか、はたまた、全然写っていないのかかわからない様な物なのか、さっぱりわからず、統計的処理ができません。
この場では、理論は長くなるので解説しませんが、その軌道計算の精度を求めた結果について考察してみます。

・果たして4点観測は3点観測より精度が良いのだろうか？

直観的には、精度は良くなるはずですが、しかし個々の観測の誤差が多いと一概には言いきれません。

計算例 KPM 8203 の輻射点の分散 (Fig-1)

4点観測: 長軸	122.3"	短軸	102.9"	軸方向	-75.7°
3 "	262.0"		603.7"		-52.6°
2 "	133.1"		302.3"		-51.5°

KPM 8203 の対地軌道の分散 (Fig-2)

4点観測: 長軸	72.39 km	短軸	13.23 km	軸方向	-74.4°
3 "	101.3		34.59		-41.9
2 "	24.74		2.097		-78.9

1. 4点観測は3点観測よりは、明らかに精度が良い

2. 3点観測は2点観測より精度が劣るように見える。

これは、理論によるものである。2点観測の分散は、個々の大円極の分散の結果に与える影響を計算しているため、個々の大円極が充分それなりに精度良く求められている場合は小さくなる。しかし、3点の場合は、大円極の相互の誤差が大きいため結果としては大きな分散を持つ

・果たして乾板定数法の誤差は、切断点の誤差を表すのだろうか？

乾板定数法の誤差は、測定誤差(種々雑多な影響を含む)を表すはずですが、比較星の精度の劣るものと、とてしまえば、どうなるのか...

計算例 乾板定数法の分散 (Fig-3) 標準偏差

観測者1 (4): 長軸	34.68"	短軸	0.1989"	軸方向	0.5°
2 (5):	25.73"		14.15"		55.2°
3 (5):	22.55"		5.251"		-61.8°
4 (8):	20.85"		10.85"		-68.7°

比較星数

大円極の分散 (Fig-4)

観測者1 (6): 長軸	1963"	短軸	2329"	軸方向	34.2°
2 (8):	1015"		46.33"		-9.9°
3 (4):	529.5"		57.49"		54.4°
4 (2):	127.7"		7.891"		-81.0°

切断点数

1. 乾板定数法の分散が、大円極に与える影響はほとんどない。

観測者4の場合、乾板定数の誤差からの伝達を計算しているが、他に比べて格段的に小さい

2. 乾板定数法で極度に歪んだ分散は、大円極に与える影響が大きい
観測者1では、極度に歪んだ分散が見られるが、これは切断点の決定に大く影響しているため、大円極も極度に歪む。

・終りに

1. 2点観測では、対地軌道の決定の不確かさは、実際は、20kmを超えるであろう
3点観測の短軸方向の分散が25kmであることから推定して、2点観測ではもっと大きな誤差が考えられる。

2. 35mm版の撮影による、測定精度は充分である。
大円極の分散が対地軌道に与える影響は考えているよりずっと小さい。これは各観測者がそれぞれに充分正しい測定をしているが、余りに流星が小さな現象であるために、相互の誤差は大まかになってしまう

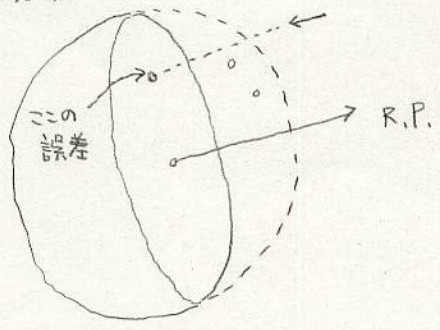
3. 切断点が無いからと言って、発光点と消滅点を測るのは、良くない
他の観測者との比較ができなくなる

・まとめ

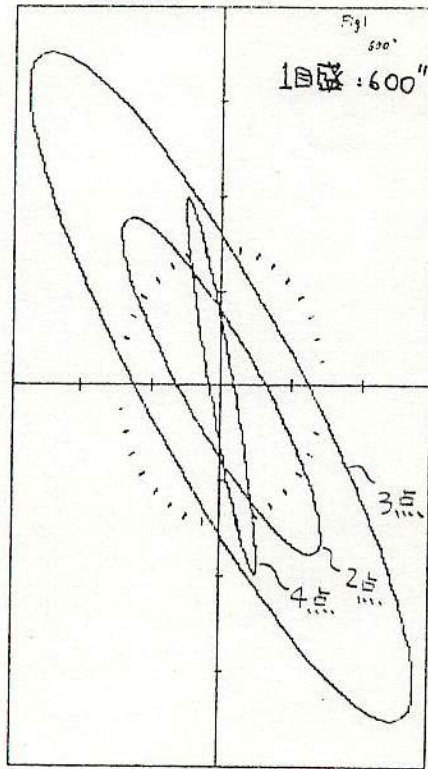
今後の観測は、より多点多点で流星を観測するべきであると考えられる。観測精度は現状で満足できるが、2点観測では、どうなのかさっぱりわからない。しかしこれは10年たってもどうにもならないだろうから、2点は2点観測だけで評価し、特に精密を要する場合には、せむしも多点多点で処理したい

対地軌道の分散

$$\begin{pmatrix} x \\ y \\ z \end{pmatrix} = R \begin{pmatrix} l \\ m \\ n \end{pmatrix} + \begin{pmatrix} x_0 \\ y_0 \\ z_0 \end{pmatrix}$$

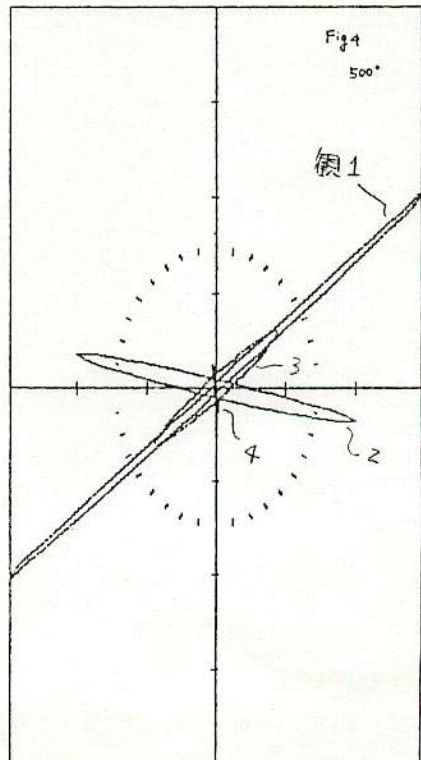
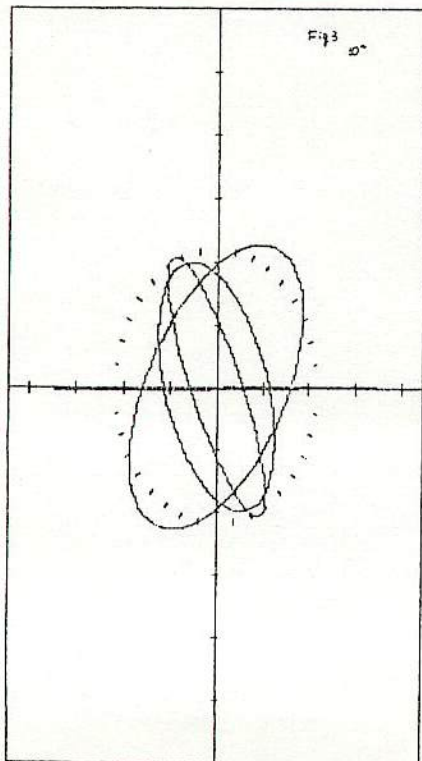
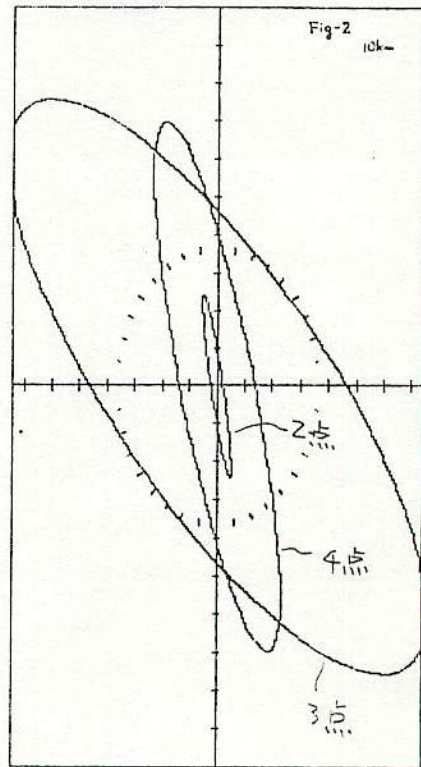


軌道計算の分散



対地軌道の分散

3



流星輻射点の位置精度

東大地震研究所 長沢 工

1. はじめに

ひとつの流星をたくさん場所から撮影した写真があると、そこからその流星の輻射点を求めることができる。このとき、もっとも確からしい輻射点の位置を求めるだけでなく、その位置精度もあわせて知りたいことが多い。しかし、その計算法をきちんと述べたものはいりまでになかった。ここではその計算の方法を示す。

2. 問題の設定

上記の問題は結局のところ、位置精度がわかっている点在天球上にたくさん存在するとき、そのすべての点になるべく近接して通るようなひとつの大円を考え、その大円の極の位置精度を求めるという問題に帰着する。そこで問題をつぎのように与えることができる。

球面上でほぼひとつの大円に沿って、 r 個の点 P_1, P_2, \dots, P_r がある。ここで点 P_k のもっとも確からしい位置は $P_{k0}(l_k, m_k, n_k)$ で与えられ、 $\sigma_x^2, \sigma_y^2, \sigma_z^2$ の分散で示される位置の不確かさがある。ただしその不確かさは球の大きさに比べて十分に小さいものとする。問題は、これらのすべての点になるべく近接して通る大円を考え、その極を Q とするとき、もっとも確からしい Q の位置 $Q_0(L_0, M_0, N_0)$ を求めること、また Q の位置の不確かさを示す分散のパラメーター $\sigma_x^2, \sigma_y^2, \sigma_z^2$ を求めることである。

3 考え方

(1) Q_0 の位置を求める方針

P_1, P_2, \dots, P_r に近接するひとつの大円に対し、その大円を含んで dh の中を帯状の区域を考える。そして点 P_k がこの帯の中にある確率を $\phi_k dh$ とする。このとき P_1, P_2, \dots, P_r の点がすべてこの帯の中にある確率は

$$\phi(dh)^r = \phi_1 \phi_2 \dots \phi_r (dh)^r$$

である。したがってこの確率を極大にする大円が上記の条件を満たす大円で、その極 Q_0 が求める極の位置になる。つまりここでは

$$\phi = \phi_1 \phi_2 \dots \phi_r$$

を極大にする条件を求めることが必要になる。

(2) Qの分散を求める方針

Qの存在する付近の球面の小領域を平面で近似し、 Q_0 を原点として直交座標軸 x, y を設定されているものとする。

Qの分布が2次元正規分布で、その分散が $\sigma_x^2, \sigma_y^2, \sigma_{xy}$ であるとする。図1のように、 x 軸正の向きから ξ の角をなし、 Q_0 から ε の距離にある点 Q の確率密度 f は

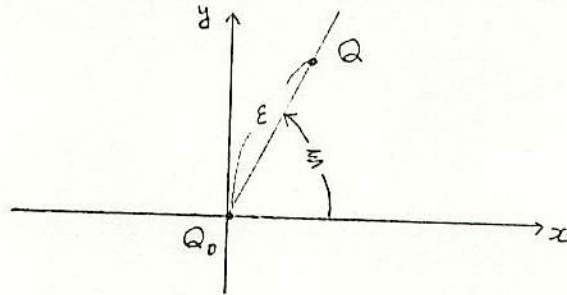


図 1

$$f = \frac{1}{2\pi\sqrt{\sigma_x^2\sigma_y^2 - \sigma_{xy}^2}} \exp\left[-\frac{1}{2} \left(\frac{\sigma_y^2 \cos^2 \xi - 2\sigma_{xy} \cos \xi \sin \xi + \sigma_x^2 \sin^2 \xi}{\sigma_x^2\sigma_y^2 - \sigma_{xy}^2} \right) \varepsilon^2 \right] \dots$$

の形に書くことができた。こゝの $\sigma_x^2, \sigma_y^2, \sigma_{xy}$ の3個を未知数と考えれば、適当な3つの条件からこれを求めることができる。よって、 Q_0 をとりまく都合のよい3方向に対する確率密度がわかれば、その分散は計算できる。つまり、適当な3方向での確率密度を求めることがこの計算の要点である。

4. 座標軸の設定

計算を進めていくために、こゝで扱う座標系を決めておく。球は天球と考え、その中心を O とし、赤経 0° 、赤緯 0° の点を X 、赤経 6° 、赤緯 0° の点を Y 、北極を Z とし、直交座標軸 XYZ をとる。球面上の点の位置はこの直交軸に対する方向余弦 (l, m, n) の形で示すことにする。

つぎに、球面上の点の分散を表示するために、考えているそれぞれの点 P に対して、ローカル座標 x, y を決めておく。 P のもっとも確からしい位置を P_0 とし、その

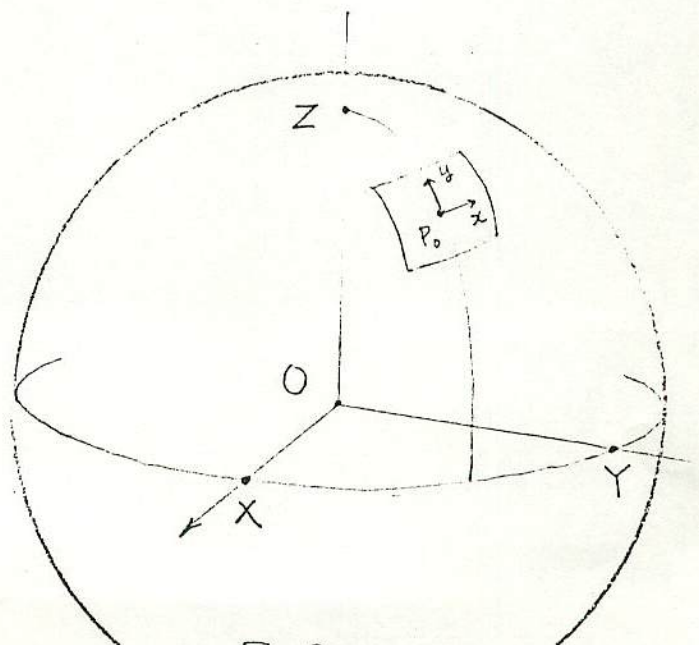


図 2

周囲の小領域を平面で近似することにする。
 P_0 を原点とし、天球の外側からみて右手系となるように直交座標系 x, y, z をとる。このとき、図3のように y 軸が球面上の赤経線 P_0Z に一致するようにし、赤経の増す向きを y 軸の正の向きとする。

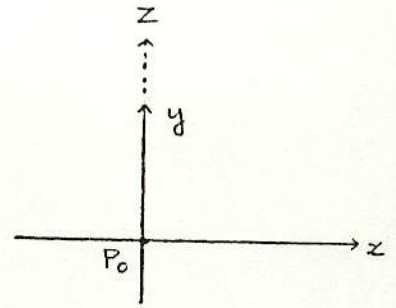


図3

このようにとった座標系を点 P のローカル座標と呼び、 P の分散はこの座標系について表記することに決める。ローカル座標は、位置に不確かさのある球面上の点のそれぞれに設定できる。

5. 確率密度 p_R の計算

3節の考え方にしたがって、ここで $P = P_1 P_2 \dots P_R$ を考える。そのためにはまず、確率密度 p_R を求めるなければならない。

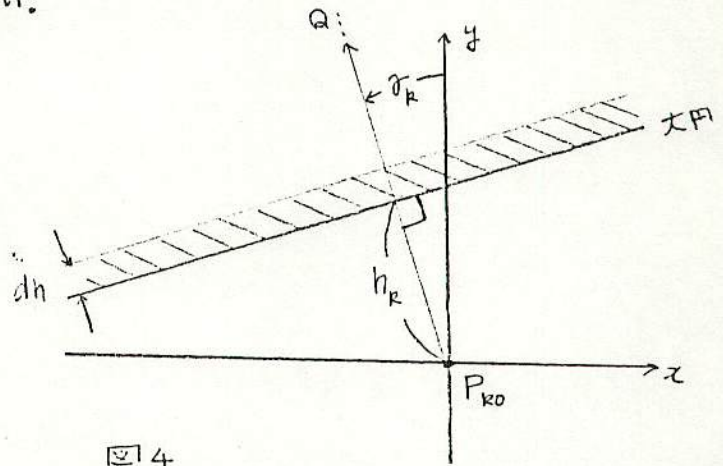


図4

ある大円を考え、その極を $Q(L, M, N)$ とする。このとき、 Q を極とする大円と点 P_{k0} との位置関係が、この付近を平面と見なして図4のようであるとする。点 P_{k0} と大円との距離を h_k 、大円と直交して Q に向かう向きがローカル座標の y 軸となる角を σ_R とする。 P_R の位置の不確かさが2次元正規見分布であるならば P_R がこの dh の中の帯の領域内にある確率は

$$p_R dh = \frac{1}{\sqrt{2\pi} \sigma_R} \exp\left(-\frac{h_R^2}{2\sigma_R^2}\right) dh \quad \dots\dots (2)$$

である。ただし σ_R^2 は点 P_R の $P_{k0}Q$ 方向に対する分散で

$$\sigma_R^2 = (\sigma_x^2)_k \cos^2 \sigma_R - 2(\sigma_{xy})_k \cos \sigma_R \sin \sigma_R + (\sigma_y^2)_k \sin^2 \sigma_R \quad \dots\dots (3)$$

である。

(2)式の計算をするには δ_R, h_R の値を知らなくてはならない。 δ_R を y 軸正の向きから反時計回りに測るとすると、

$$\left. \begin{aligned} \cos \delta_R &= \frac{1}{\Gamma_R \sqrt{l_R^2 + m_R^2}} \left\{ m_R(m_R N - m_R M) - l_R(m_R L - l_R N) \right\} \\ \sin \delta_R &= \frac{-1}{\Gamma_R \sqrt{l_R^2 + m_R^2}} (l_R M - m_R L) \end{aligned} \right\} \dots\dots (4)$$

である、ただし

$$\left. \begin{aligned} \Gamma_R^2 &= (m_R N - m_R M)^2 + (m_R L - l_R N)^2 + (l_R M - m_R L)^2 \\ \Gamma_R &> 0 \end{aligned} \right\} \dots\dots (5)$$

とする。これによつて σ_R^2 の計算ができる。

一方 h_R であるが、考えている小範囲では $h_R = \sin h_R$ としようから

$$h_R^2 = \sin^2 h_R = (l_R L + m_R M + m_R N)^2 \dots\dots (6)$$

とて求めることができる。

以上をまとめ、確率密度 P_R は

$$\left\{ \begin{aligned} P_R &= \frac{1}{\sqrt{2\pi} \sigma_R} \exp\left(-\frac{h_R^2}{2\sigma_R^2}\right) \\ \sigma_R^2 &= (\sigma_x^2)_R \cos^2 \delta_R - 2(\sigma_{xy})_R \cos \delta_R \sin \delta_R + (\sigma_y^2)_R \sin^2 \delta_R \\ h_R^2 &= (l_R L + m_R M + m_R N)^2 \end{aligned} \right.$$

で計算できる。ただし、以後の計算に必要なのは h_R^2/σ_R^2 だけであり、 h_R の値そのものは不要である。

6. もっとも確からしい極位置の計算

ここで 3 節の条件を満たす、大円の極のもっとも確からしい位置 $Q_0(L_0, M_0, N_0)$ の求め方を考える。すでに示した方針から、考えるとは

$$P = P_1 P_2 \dots P_r$$

の極大値を与える条件である。この P は (2)式から

$$P = \frac{1}{(2\pi)^{r/2} \sigma_1 \sigma_2 \dots \sigma_r} \exp\left[-\frac{1}{2}\left(\frac{h_1^2}{\sigma_1^2} + \frac{h_2^2}{\sigma_2^2} + \dots + \frac{h_r^2}{\sigma_r^2}\right)\right] \dots\dots (7)$$

になる。

ここで極の方向余弦 (L, M, N) をいろいろに変化させて、 P が極大になる場合を考えればよいのである。しかし、 (L, M, N) は σ_k, h_k の両方に含まれているので、直接に P の極大を与えるものを発見するのは難かしい。そこでつぎの手順で逐次近似の計算をするのがよい。

- (1) 適当な方法 (たとえばなるべく離れた2点だけを使うなど) で近似的な極位置を求める。これを仮に (L_1, M_1, N_1) とする。そしてこれをより正しい位置へ改良することを試みる。
- (2) ここで、極位置を僅かに移動したとしても、それぞれの点の σ_k の値はあまり大きく変化しない。そこで (L_1, M_1, N_1) から計算した σ_k の値はこの移動では変化しないものとして固定しておく。 h_k に含まれている (L, M, N) だけを少し変化させて P をより大きくする方向余弦を求める。これを (L_2, M_2, N_2) とする。
- (3) 得られた (L_2, M_2, N_2) において σ_k の値を計算し直して再び固定する。そしてまた (L_2, M_2, N_2) を少し変化させ、 P をさらに大きくする (L_3, M_3, N_3) を求める。
- (4) この手順を繰返し、必要精度のところで (L, M, N) が変化しなくなったら計算を打ち切る。そのときの値を極のもっとも正確からしい位置の方向余弦 (L_0, M_0, N_0) とする。

この逐次近似法では、繰返し計算のたびに σ_k を固定しているから、それぞれのステップでは

$$S = \sum_k \frac{h_k^2}{\sigma_k^2} = \sum_k \frac{1}{\sigma_k^2} (l_k L + m_k M + n_k N)^2 \quad \dots (8)$$

をより小さくする (L, M, N) を求めていることになる。 L, M, N の間には

$$L^2 + M^2 + N^2 = 1 \quad \dots (9)$$

の関係があって、独立なのは2つだけである。そこで、上の近似をするには、つぎの形式で計算を進めるのが便利である。まず、

$$\left. \begin{aligned} L_{i+1} &= L_i + \delta L \\ M_{i+1} &= M_i + \delta M \\ N_{i+1} &= N_i + \delta N \end{aligned} \right\} \quad \dots (10)$$

とおいて (L_i, M_i, N_i) の補正値 $\delta L, \delta M, \delta N$ を求めることになる。これは $\delta L, \delta M, \delta N$ および g を未知数とする方程式

$$\left. \begin{aligned} [ll] \delta L + [lm] \delta M + [ln] \delta N + L_i g &= -\{[ll] L_i + [lm] M_i + [ln] N_i\} \\ [lm] \delta L + [mm] \delta M + [mn] \delta N + M_i g &= -\{[lm] L_i + [mm] M_i + [mn] N_i\} \\ [ln] \delta L + [mn] \delta M + [nn] \delta N + N_i g &= -\{[ln] L_i + [mn] M_i + [nn] N_i\} \\ L_i \delta L + M_i \delta M + N_i \delta N &= 0 \end{aligned} \right\} \quad \dots (11)$$

を解くこと得られる。ただし

$$\begin{aligned}
 [ll] &= \sum_k \frac{l_k^2}{\sigma_k^2} & [mm] &= \sum_k \frac{m_k m_k}{\sigma_k^2} \\
 [mm] &= \sum_k \frac{m_k^2}{\sigma_k^2} & [ln] &= \sum_k \frac{l_k m_k}{\sigma_k^2} \\
 [mn] &= \sum_k \frac{n_k^2}{\sigma_k^2} & [lm] &= \sum_k \frac{l_k m_k}{\sigma_k^2}
 \end{aligned}
 \quad \dots (12)$$

とある。

7. 極位置の分散計算 — 準備 —

極位置の分散を計算するためには、こゝでいくつかの予備計算をしておく

(1) $Q_0(L_0, M_0, N_0)$ が決定できたとき
 Q_0 と X とを結ぶ大円上で Q_0 から X の方へ ε だけ離れた点を $Q(L, M, N)$ とする。このとき

$$\left. \begin{aligned}
 L &= L_0 \cos \varepsilon + \sqrt{1-L_0^2} \sin \varepsilon \\
 M &= M_0 \cos \varepsilon - \frac{L_0 M_0}{\sqrt{1-L_0^2}} \sin \varepsilon \\
 N &= N_0 \cos \varepsilon - \frac{L_0 N_0}{\sqrt{1-L_0^2}} \sin \varepsilon
 \end{aligned} \right\} \dots (13)$$

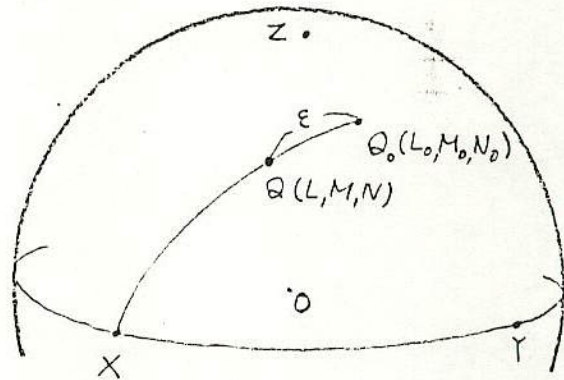


図 5

である。こゝを微分して $\varepsilon=0$ とおいた関係から

$$\left. \begin{aligned}
 \left(\frac{\partial L}{\partial \varepsilon} \right)_{\varepsilon=0} &= \sqrt{1-L_0^2} \\
 \left(\frac{\partial M}{\partial \varepsilon} \right)_{\varepsilon=0} &= -\frac{L_0 M_0}{\sqrt{1-L_0^2}} \\
 \left(\frac{\partial N}{\partial \varepsilon} \right)_{\varepsilon=0} &= -\frac{L_0 N_0}{\sqrt{1-L_0^2}}
 \end{aligned} \right\} \dots (14)$$

$$\left. \begin{aligned}
 \left(\frac{\partial^2 L}{\partial \varepsilon^2} \right)_{\varepsilon=0} &= -L_0 \\
 \left(\frac{\partial^2 M}{\partial \varepsilon^2} \right)_{\varepsilon=0} &= -M_0 \\
 \left(\frac{\partial^2 N}{\partial \varepsilon^2} \right)_{\varepsilon=0} &= -N_0
 \end{aligned} \right\} \dots (15)$$

が計算できる。(14), (15) 式が 予備計算の 2 つの関係である。

(2) つぎに Q のローカル座標系 x, y を考え

大円 $Q_0 X$ が x 軸と与える角 ξ とすると (反時計回りを測る),

$$\left. \begin{aligned} \cos^2 \xi &= \frac{M_0^2}{(1-L_0^2)(1-N_0^2)} \\ \sin^2 \xi &= \frac{L_0^2 N_0^2}{(1-L_0^2)(1-N_0^2)} \\ \cos \xi \sin \xi &= \frac{L_0 M_0 N_0}{(1-L_0^2)(1-N_0^2)} \end{aligned} \right\} \dots (16)$$

である。(16)式が予備計算の式2の関係である。

8. 極位置の分散

これだけ準備をすませてから、極 Q の分散を計算する。

いま極 Q は x, y 上

$$S = \sum_k \frac{h_k^2}{\sigma_k^2} = \frac{h_1^2}{\sigma_1^2} + \frac{h_2^2}{\sigma_2^2} + \dots + \frac{h_r^2}{\sigma_r^2} \dots (17)$$

を考える。また Q が Q_0 に一致したときの S の値を S_0 とする。つまり

$$S_0 = \sum_k \frac{(L_0 L_{0k} + m_k M_0 + n_k N_0)^2}{\sigma_k^2} \dots (18)$$

である。

ここで Q が Q_0 から大円 $Q_0 X$ に沿って小さい量 ε だけ移動したとする。このとき S は δS だけ増加し

$$S = S_0 + \delta S \dots (19)$$

になったとする。(17)式の形から考えると、これは Q に極が存在する確率密度が Q_0 の点に比べて $\exp(-\frac{1}{2}\delta S)$ 倍になったことを意味する (ε が小さいのでここでは σ_k は固定して考えている)。

一方、一般の関係式 (1) から考えるとこの倍率は

$$\exp \left[-\frac{1}{2} \left(\frac{\sigma_y^2 \cos^2 \xi - 2\sigma_{xy} \cos \xi \sin \xi + \sigma_x^2 \sin^2 \xi}{\sigma_x^2 \sigma_y^2 - \sigma_{xy}^2} \right) \varepsilon^2 \right]$$

となるべきものである ($\sigma_x^2, \sigma_y^2, \sigma_{xy}$ は極の分散)。この比較から

$$\left(\frac{\sigma_y^2 \cos^2 \xi - 2\sigma_{xy} \cos \xi \sin \xi + \sigma_x^2 \sin^2 \xi}{\sigma_x^2 \sigma_y^2 - \sigma_{xy}^2} \right) \varepsilon^2 = \delta S \dots (20)$$

の関係が得られる。

ここで右辺の δS を具体的に求めることを考える。

ε が小さい量であるから、 δS は S の Taylor 展開により、 ε の 2 次項まで考えて

$$\delta S = \left(\frac{\partial S}{\partial \varepsilon} \right)_{\varepsilon=0} \varepsilon + \frac{1}{2} \left(\frac{\partial^2 S}{\partial \varepsilon^2} \right)_{\varepsilon=0} \varepsilon^2 \quad \dots (21)$$

の形に書ける。しかし S_0 は S の極小値であるため $\left(\frac{\partial S}{\partial \varepsilon} \right)_{\varepsilon=0} = 0$ であり

$$\delta S = \frac{1}{2} \left(\frac{\partial^2 S}{\partial \varepsilon^2} \right)_{\varepsilon=0} \varepsilon^2 \quad \dots (22)$$

となる。これを計算するため

$$S = \sum_k \frac{(l_k L + m_k M + n_k N)^2}{\sigma_k^2}$$

から微分を実行してみる。ただしここで σ_k は定数としてとりあつかう。計算の結果

$$\frac{\partial^2 S}{\partial \varepsilon^2} = \sum_k \frac{2}{\sigma_k^2} \left\{ \left(l_k \frac{\partial L}{\partial \varepsilon} + m_k \frac{\partial M}{\partial \varepsilon} + n_k \frac{\partial N}{\partial \varepsilon} \right)^2 + (l_k L + m_k M + n_k N) \left(l_k \frac{\partial^2 L}{\partial \varepsilon^2} + m_k \frac{\partial^2 M}{\partial \varepsilon^2} + n_k \frac{\partial^2 N}{\partial \varepsilon^2} \right) \right\}$$

となる。こゝへ準備しておいた (14), (15) 式の関係を使えば、

$$\left(\frac{\partial^2 S}{\partial \varepsilon^2} \right)_{\varepsilon=0} = 2 \left[\sum_k \frac{\{ l_k - L_0 (l_k L_0 + m_k M_0 + n_k N_0) \}^2}{\sigma_k^2 (1 - L_0^2)} - S_0 \right] \quad \dots (23)$$

の結果が得られる。

計算をわかりやすくするため

$$\left. \begin{aligned} \delta_x^2 &= \frac{\sigma_y^2}{\sigma_x^2 \sigma_y^2 - \sigma_{xy}^2} \\ \delta_{xy} &= \frac{-\sigma_{xy}}{\sigma_x^2 \sigma_y^2 - \sigma_{xy}^2} \\ \delta_y^2 &= \frac{\sigma_x^2}{\sigma_x^2 \sigma_y^2 - \sigma_{xy}^2} \end{aligned} \right\} \quad \dots (24)$$

のおまかせをすれば、(20) 式の関係は (22), (24) 式により

$$\delta_x^2 \cos^2 \xi + 2 \delta_{xy} \cos \xi \sin \xi + \delta_y^2 \sin^2 \xi = \sum_k \frac{\{ l_k - L_0 (l_k L_0 + m_k M_0 + n_k N_0) \}^2}{\sigma_k^2 (1 - L_0^2)} - S_0 \quad \dots (25)$$

となる。ここで $\cos^2 \xi$, $\cos \xi \sin \xi$, $\sin^2 \xi$ はさき準備した (16) 式で与えてある。

こゝで得られた (25) 式は、 Q は Q_0 から大円 $Q_0 X$ に沿って小さい量 ε だけ移動したところから導くことができる。この移動が $Q_0 Y$, $Q_0 Z$ の向きに動かすことによってもほぼ同様の関係が得られて、

$$\left. \begin{aligned} \delta_x^2 \cos^2 \eta + 2\delta_{xy} \cos \eta \sin \eta + \delta_y^2 \sin^2 \eta &= \sum_R \frac{\{m_R - M_0(l_R L_0 + m_R M_0 + n_R N_0)\}^2}{\sigma_R^2 (1 - M_0^2)} - S_0 \\ \delta_y^2 &= \sum_R \frac{\{m_R - N_0(l_R L_0 + m_R M_0 + n_R N_0)\}^2}{\sigma_R^2 (1 - N_0^2)} - S_0 \end{aligned} \right\} \dots (26)$$

よって 式(26)

$$\left. \begin{aligned} \cos^2 \eta &= \frac{L_0^2}{(1 - M_0^2)(1 - N_0^2)} \\ \sin^2 \eta &= \frac{M_0^2 N_0^2}{(1 - M_0^2)(1 - N_0^2)} \\ \cos \eta \sin \eta &= \frac{-L_0 M_0 N_0}{(1 - M_0^2)(1 - N_0^2)} \end{aligned} \right\} \dots (27)$$

である。

こゝで得た (25), (26) の 3つの式は $\delta_x^2, \delta_{xy}, \delta_y^2$ の三元連立方程式であり、こゝから $\delta_x^2, \delta_{xy}, \delta_y^2$ を求めることができる。これを $\sigma_x^2, \sigma_{xy}, \sigma_y^2$ に換算すれば、

$$\left. \begin{aligned} \sigma_x^2 &= \frac{\delta_y^2}{\delta_x^2 \delta_y^2 - \delta_{xy}^2} \\ \sigma_{xy} &= \frac{-\delta_{xy}}{\delta_x^2 \delta_y^2 - \delta_{xy}^2} \\ \sigma_y^2 &= \frac{\delta_x^2}{\delta_x^2 \delta_y^2 - \delta_{xy}^2} \end{aligned} \right\} \dots (28)$$

の関係を使えばよい。これによって極Qの位置の分散を求めることができる。

9. 計算法のまとめ

(1) もっとも確からしい極位置の計算

a. 近似極位置 (L_1, M_1, N_1) の計算

仮に 2点 $(l_1, m_1, n_1), (l_r, m_r, n_r)$ から計算するとすれば

$$a = m_1 n_r - n_1 m_r$$

$$b = n_1 l_r - l_1 n_r$$

$$c = l_1 m_r - m_1 l_r$$

よって

$$L_1 = a/T$$

$$M_1 = b/T$$

$$N_1 = c/T$$

式(28)

$$\Gamma^2 = a^2 + b^2 + c^2 \quad \text{で } \Gamma > 0$$

(b) 仮の極座標 (L_i, M_i, N_i) に対する h_k^2 / σ_k^2 の計算

$$h_k^2 = (l_k L_i + m_k M_i + n_k N_i)^2$$

$$\sigma_k^2 = (\sigma_x^2)_k \cos^2 \delta_k - 2(\sigma_{xy})_k \cos \delta_k \sin \delta_k + (\sigma_y^2)_k \sin^2 \delta_k$$

ただし

$$\left\{ \begin{aligned} \cos \delta_k &= \frac{1}{\Gamma_k \sqrt{l_k^2 + m_k^2}} \{ m_k (m_k N_i - n_k M_i) - l_k (m_k L_i - l_k N_i) \} \\ \sin \delta_k &= \frac{-1}{\Gamma_k \sqrt{l_k^2 + m_k^2}} (l_k M_i - m_k L_i) \\ \Gamma_k^2 &= (m_k N_i - n_k M_i)^2 + (n_k L_i - l_k N_i)^2 + (l_k M_i - m_k L_i)^2 \\ \Gamma_k &> 0 \end{aligned} \right.$$

(c) (L_i, M_i, N_i) に対する補正值 $\delta L, \delta M, \delta N$ の計算
未知数 g を加えて

$$\left\{ \begin{aligned} [ll] \delta L + [lm] \delta M + [ln] \delta N + L_i g &= -\{ [ll] L_i + [lm] M_i + [ln] N_i \} \\ [lm] \delta L + [mm] \delta M + [mn] \delta N + M_i g &= -\{ [lm] L_i + [mm] M_i + [mn] N_i \} \\ [ln] \delta L + [mn] \delta M + [nn] \delta N + N_i g &= -\{ [ln] L_i + [mn] M_i + [nn] N_i \} \\ L_i \delta L + M_i \delta M + N_i \delta N &= 0 \end{aligned} \right.$$

の四元連立方程式を解けばよい。ただし

$$[ll] = \sum_k \frac{l_k^2}{\sigma_k^2}$$

$$[mm] = \sum_k \frac{m_k^2}{\sigma_k^2}$$

$$[nn] = \sum_k \frac{n_k^2}{\sigma_k^2}$$

$$[ln] = \sum_k \frac{l_k n_k}{\sigma_k^2}$$

$$[lm] = \sum_k \frac{l_k m_k}{\sigma_k^2}$$

$$[lm] = \sum_k \frac{l_k m_k}{\sigma_k^2}$$

である。

(d) 繰り返し近似

近似を違めるたびに新しい (L_i, M_i, N_i) によって σ_k の値を計算し直す。
必要精度で $\delta L = \delta M = \delta N = 0$ となるとき計算を打ち切る。

(2) 極位置の分散の計算

得られたものも確かからしい極位置を $Q_0(L_0, M_0, N_0)$ とする。

(a) $\delta_x^2, \delta_{xy}, \delta_y^2$ に関する連立方程式は

$$\left\{ \begin{aligned} \bar{\sigma}_x^2 \cos^2 \xi + 2\bar{\sigma}_{xy} \cos \xi \sin \xi + \bar{\sigma}_y^2 \sin^2 \xi &= \sum_K \frac{\{l_K - L_0(l_{R_0} L_0 + m_{R_0} M_0 + n_{R_0} N_0)\}^2}{\sigma_K^2 (1 - L_0^2)} - S_0 \\ \bar{\sigma}_x^2 \cos^2 \eta + 2\bar{\sigma}_{xy} \cos \eta \sin \eta + \bar{\sigma}_y^2 \sin^2 \eta &= \sum_K \frac{\{m_K - M_0(l_{R_0} L_0 + m_{R_0} M_0 + n_{R_0} N_0)\}^2}{\sigma_K^2 (1 - M_0^2)} - S_0 \\ \bar{\sigma}_y^2 &= \sum_K \frac{\{n_K - N_0(l_{R_0} L_0 + m_{R_0} M_0 + n_{R_0} N_0)\}^2}{\sigma_K^2 (1 - N_0^2)} - S_0 \end{aligned} \right.$$

である。これから $\bar{\sigma}_x^2, \bar{\sigma}_{xy}, \bar{\sigma}_y^2$ が求められる。ただし

$$\left\{ \begin{aligned} \cos^2 \xi &= \frac{M_0^2}{(1 - L_0^2)(1 - N_0^2)} & \cos^2 \eta &= \frac{L_0^2}{(1 - M_0^2)(1 - N_0^2)} \\ \cos \xi \sin \xi &= \frac{L_0 M_0 N_0}{(1 - L_0^2)(1 - N_0^2)} & \cos \eta \sin \eta &= \frac{-L_0 M_0 N_0}{(1 - M_0^2)(1 - N_0^2)} \\ \sin^2 \xi &= \frac{L_0^2 N_0^2}{(1 - L_0^2)(1 - N_0^2)} & \sin^2 \eta &= \frac{M_0^2 N_0^2}{(1 - M_0^2)(1 - N_0^2)} \end{aligned} \right.$$

である

(b) $\sigma_x^2, \sigma_{xy}, \sigma_y^2$ の換算

$$\left\{ \begin{aligned} \sigma_x^2 &= \frac{\bar{\sigma}_y^2}{\bar{\sigma}_x^2 \bar{\sigma}_y^2 - \bar{\sigma}_{xy}^2} \\ \sigma_{xy} &= \frac{-\bar{\sigma}_{xy}}{\bar{\sigma}_x^2 \bar{\sigma}_y^2 - \bar{\sigma}_{xy}^2} \\ \sigma_y^2 &= \frac{\bar{\sigma}_x^2}{\bar{\sigma}_x^2 \bar{\sigma}_y^2 - \bar{\sigma}_{xy}^2} \end{aligned} \right.$$

10. 与えられた点が2点だけの場合の分散

この場合、大抵はこの2点のそれぞれ重心からいっしょを通ることを明らかに

$$l_K L_0 + m_K M_0 + n_K N_0 = 0 \quad (K=1, 2)$$

とすると、以下が分散の計算はすなわち簡単になる

$$\left. \begin{aligned} M_0^2 \bar{\sigma}_x^2 + 2L_0 M_0 N_0 \bar{\sigma}_{xy} + L_0^2 N_0^2 \bar{\sigma}_y^2 &= (1 - N_0^2) \sum_K \frac{l_K^2}{\sigma_K^2} \\ L_0^2 \bar{\sigma}_x^2 - 2L_0 M_0 N_0 \bar{\sigma}_{xy} + M_0^2 N_0^2 \bar{\sigma}_y^2 &= (1 - N_0^2) \sum_K \frac{m_K^2}{\sigma_K^2} \\ \bar{\sigma}_y^2 &= \frac{1}{1 - N_0^2} \sum_K \frac{n_K^2}{\sigma_K^2} \end{aligned} \right\} \dots (29)$$

の形になる。==から

$$\left. \begin{aligned} \delta_y^2 &= \frac{1}{1-N_0^2} \sum_R \frac{m_R^2}{\sigma_R^2} \\ \delta_x^2 &= \sum_R \frac{1}{\sigma_R^2} - \delta_y^2 \\ \delta_{xy} &= \frac{1}{2L_0M_0N_0} \left\{ L_0^2 \delta_x^2 + M_0^2 N_0^2 \delta_y^2 - (1-N_0^2) \sum_R \frac{m_R^2}{\sigma_R^2} \right\} \end{aligned} \right\} \dots (30)$$

となる。 $\sigma_x^2, \sigma_{xy}, \sigma_y^2$ への換算は前と同じである。

11. 輻射点の位置および分散の計算

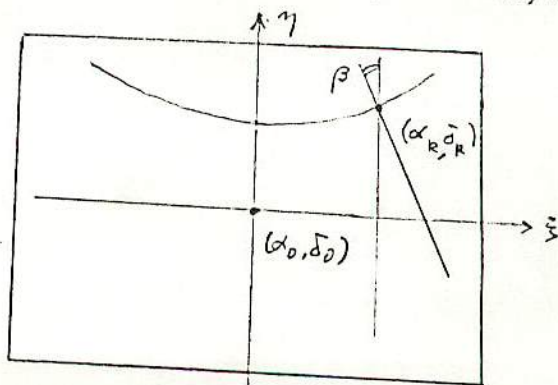
(1) ある流星写真を整約するため、流星経路上の何点かの位置を測定したとする。フィルム整約によって、その測定が標準座標の ξ, η 方向に対して、 $\sigma_\xi^2, \sigma_\eta^2, \sigma_{\xi\eta}$ の分散であることがわかったとすると、流星経路上の測定点のローカル座標系に於ける分散 $(\sigma_x^2)_k, (\sigma_y^2)_k, (\sigma_{xy})_k$ はつぎの関係式で計算できる。

$$\left. \begin{aligned} (\sigma_x^2)_k &= \sigma_\xi^2 \cos^2 \beta + 2\sigma_{\xi\eta} \cos \beta \sin \beta + \sigma_\eta^2 \sin^2 \beta \\ (\sigma_y^2)_k &= \sigma_\xi^2 \sin^2 \beta - 2\sigma_{\xi\eta} \cos \beta \sin \beta + \sigma_\eta^2 \cos^2 \beta \\ (\sigma_{xy})_k &= (\sigma_\eta^2 - \sigma_\xi^2) \cos \beta \sin \beta + \sigma_{\xi\eta} (\cos^2 \beta - \sin^2 \beta) \end{aligned} \right\} \dots (31)$$

ただし β は測定点の赤経線が標準座標の η 軸となす角で (天球の外側から見て、 η 軸から反時計回りに測る)。

$$\left. \begin{aligned} \cos \beta &= \frac{\cos(\alpha_k - \alpha_0)}{\sqrt{\cos^2(\alpha_k - \alpha_0) + \sin^2 \delta_0 \sin^2(\alpha_k - \alpha_0)}} \\ \sin \beta &= \frac{\sin \delta_0 \sin(\alpha_k - \alpha_0)}{\sqrt{\cos^2(\alpha_k - \alpha_0) + \sin^2 \delta_0 \sin^2(\alpha_k - \alpha_0)}} \end{aligned} \right\} \dots (32)$$

である。 (α_0, δ_0) はフィルム中心の赤経、赤緯、 (α_k, δ_k) は測定点の赤経、赤緯である。



これによって測定点のそれぞれの位置と分散を知ることができれば、いよほどに述べた方式で、この流星経路大円の極の位置 Θ およびその分散 $\sigma_x^2, \sigma_y^2, \sigma_{xy}$ を求めることができる。

(2) 同一流星を n ヶ所で写真撮影したものとすれば、上記の計算によって、それぞれの経路大円の極とその分散が得られる。これらの極に対して上記の計算方式を n 回適用し、すべての経路大円の極になるべく近接する大円の極の位置およびその分散を求める。これが流星の輻射点 (あるいは進行点) の位置と分散である。

12. 計算实例

ここでは、テレビ観測による「ふたご群」の例を示す。モニターテレビ上の測定であるため、写真に比べて分散は非常に大きい。2点共TVカメラ同時流星

(1) 野辺山における観測、経路上 8 点の測定

$$\text{測定画面の分散} \left\{ \begin{array}{l} \sigma_x^2 = 274521. \\ \sigma_y^2 = 9939. \\ \sigma_{xy} = -10511. \end{array} \right. \left. \begin{array}{l} \text{単位は } (")^2 \\ \text{(角度秒の 2乗)} \end{array} \right.$$

経路上の点

α	δ	σ_x^2	σ_y^2	σ_{xy}
163.9933	36.9876	274328	10132	-12711
164.8544	36.8784	4094	0366	-14946
165.5901	36.8116	3864	0596	-16854
166.5763	36.6980	3512	0948	-19408
167.6544	36.5257	3069	1391	-22195
168.7671	36.2211	2549	1911	-25068
169.6394	36.1359	2097	2363	-27316
170.4244	35.9276	271655	12805	-29337

経路大円の極の位置は

$$\left\{ \begin{array}{l} \alpha = -31.9299 \\ \delta = 51.8859 \end{array} \right. \quad \left(\begin{array}{l} \sigma_x, \sigma_y \text{ は 流星経路大円の長さの 2乗} \\ \sigma_{xy} \text{ は 方向の 2乗} \end{array} \right)$$

極位置の分散は

$$\left\{ \begin{array}{l} \sigma_x^2 = 1639991 \quad (")^2 \\ \sigma_y^2 = 123510 \quad (")^2 \\ \sigma_{xy} = 446722 \quad (")^2 \end{array} \right. \left\{ \begin{array}{l} \sigma_u = 1327.3 \\ \sigma_v = 41.2 \\ \sigma = 15.2 \end{array} \right.$$

(2) 陸平における観測 経路上 17 点の測定

$$\text{測定画面の分散} \left\{ \begin{array}{l} \sigma_x^2 = 10677. \quad (")^2 \\ \sigma_y^2 = 85677 \quad (")^2 \\ \sigma_{xy} = -23521 \quad (")^2 \end{array} \right.$$

経路上の各点の位置, 分散は省略して

$$\text{経路大円の極の位置は} \begin{cases} \alpha = -3^{\circ}.2699 \\ \delta = 33.8859 \end{cases}$$

$$\text{極位置の分散は} \begin{cases} \sigma_x^2 = 20566220 & (")^2 \\ \sigma_y^2 = 15929893 & (")^2 \\ \sigma_{xy} = -18096160 & (")^2 \end{cases} \begin{cases} \sigma_u = 6040."9 \\ \sigma_v = 63."4 \\ \theta = -41."4 \end{cases}$$

(3) 輻射点の位置, 分散

上に計算した 2 点の位置, 分散から

$$\text{輻射点位置} \begin{cases} \alpha = 111^{\circ}.9028 \\ \delta = 32.3469 \end{cases}$$

$$\text{輻射点の分散} \begin{cases} \sigma_x^2 = 5140130 \\ \sigma_y^2 = 2878591 \\ \sigma_{xy} = 3378318 \end{cases}$$

なお, 輻射点位置の誤差楕円は

$$\begin{cases} \sigma_u = 2751."71 \\ \sigma_v = 668."45 \\ \theta = 35^{\circ}.75 \end{cases}$$

になる。

この計算で, 堂平観測の経路大円の極の精度が悪いのは, 経路の短いためであり, 一般に, 輻射点を精度よく求めるには, 長経路の流星を使うのがよいことがわかる。

13. 補足

(1) 大円には 2 つの極がある。一方を $Q(L_0, M_0, N_0)$ とすると, 他方は $Q'(-L_0, -M_0, -N_0)$ である。ここで Q の精度が $\sigma_x^2, \sigma_y^2, \sigma_{xy}$ と求まったとすれば, Q' の精度は共分散 σ_{xy} だけが符号が変わって, $\sigma_x^2, \sigma_y^2, -\sigma_{xy}$ になる。

(2) 同じ 2 つの大円に沿っている流星経路上で, 測定点の数を増やしていくとする。このとき, 経路の全長を一定として, 両端の点は変えず, その間にはさまる点を多くするものとする。この場合は, 測定点の数が m 倍になると, 経路大円の極の分散はおよそ $1/m$ になる。

東大地震研究所 長沢 工

1) フィルム整約の際の測定点の位置の分散

中心星の座標 (α_0, δ_0)

比較星 i に対して

星表から計算した標準座標 (ξ_i, η_i)

測定位置 (ξ'_i, η'_i) とフィルム整約結果から計算した標準座標 (ξ'_i, η'_i)

このとき

$$\Delta \xi_i = \xi'_i - \xi_i$$

$$\Delta \eta_i = \eta'_i - \eta_i$$

よって、このフィルム全体の測定位置の分散を $(\sigma_{\xi\xi})_0, (\sigma_{\xi\eta})_0, (\sigma_{\eta\eta})_0$ とすると

$$(\sigma_{\xi\xi})_0 = \frac{1}{r-2} \sum_{i=1}^r (\Delta \xi_i)^2$$

$$(\sigma_{\xi\eta})_0 = \frac{1}{r-2} \sum_{i=1}^r (\Delta \xi_i \cdot \Delta \eta_i)$$

$$(\sigma_{\eta\eta})_0 = \frac{1}{r-2} \sum_{i=1}^r (\Delta \eta_i)^2$$

r は中心星を除く比較星の数

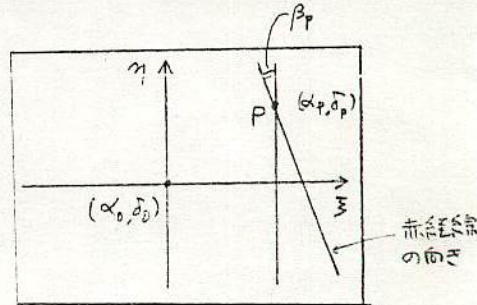
流星上の測定点でも、この程度の分散が期待される。この分散を、中心星の (α, δ) 方向ではなく、測定点の (α, δ) 方向の分散に換算する

測定点の座標を (α_p, δ_p) とすると

右の図から

$$\cos \beta_i = \frac{\cos(\alpha_p - \alpha_0)}{\sqrt{\cos^2(\alpha_p - \alpha_0) + \sin^2 \delta_p \sin^2(\alpha_p - \alpha_0)}}$$

$$\sin \beta_i = \frac{\sin \delta_0 \sin(\alpha_p - \alpha_0)}{\sqrt{\cos^2(\alpha_p - \alpha_0) + \sin^2 \delta_p \sin^2(\alpha_p - \alpha_0)}}$$



これにより、点Pの分散は

$$\begin{pmatrix} (\sigma_{\xi\xi})_p & (\sigma_{\xi\eta})_p \\ (\sigma_{\xi\eta})_p & (\sigma_{\eta\eta})_p \end{pmatrix} = \begin{pmatrix} \cos \beta_i & \sin \beta_i \\ -\sin \beta_i & \cos \beta_i \end{pmatrix} \begin{pmatrix} (\sigma_{\xi\xi})_0 & (\sigma_{\xi\eta})_0 \\ (\sigma_{\xi\eta})_0 & (\sigma_{\eta\eta})_0 \end{pmatrix} \begin{pmatrix} \cos \beta_i & -\sin \beta_i \\ \sin \beta_i & \cos \beta_i \end{pmatrix}$$

となる。

2) 流星軌道大円の極の位置と分散

流星経路上の点 P_1, P_2, \dots, P_r の位置を測定し、点 P_i のつとつと確からしい位置を方向余弦で (l_i, m_i, n_i) 、その点の分散を $(\sigma_{\xi\xi})_i, (\sigma_{\eta\eta})_i, (\sigma_{\zeta\zeta})_i$ とする。このときこの経路大円の極 Q の位置を方向余弦で (L, M, N) 、分散を $\Sigma_{\xi\xi}, \Sigma_{\eta\eta}, \Sigma_{\zeta\zeta}$ とする。

このとき (L, M, N) は

$$S = \sum_i \frac{1}{\sigma_i^2} (l_i L + m_i M + n_i N)^2$$

を最小にする条件から決まる。ただし

$$\begin{cases} \sigma_i^2 = (\sigma_{\xi\xi})_i \sin^2 \delta_i - 2(\sigma_{\xi\eta})_i \cos \delta_i \sin \delta_i + (\sigma_{\eta\eta})_i \cos^2 \delta_i \\ \cos \delta_i = \frac{1}{T_i \sqrt{1-m_i^2}} \{ m_i (m_i N - m_i M) - l_i (m_i L - l_i N) \} \\ \sin \delta_i = -\frac{1}{T_i \sqrt{1-m_i^2}} (l_i M - m_i L) \\ T_i = \{ (m_i N - m_i M)^2 + (m_i L - l_i N)^2 + (l_i M - m_i L)^2 \}^{1/2} \end{cases}$$

である。 (L, M, N) を実際に計算するには逐次近似が必要である。

(L, M, N) が得られたとき Q の分散はつぎの関係で計算できる。

$$\begin{pmatrix} \Sigma_{xx} & \Sigma_{xy} \\ \Sigma_{xy} & \Sigma_{yy} \end{pmatrix} = \begin{pmatrix} \delta_{xx} & \delta_{xy} \\ \delta_{xy} & \delta_{yy} \end{pmatrix}^{-1} = \mathbb{D}^{-1}$$

$$\mathbb{D} = \sum_i \frac{1}{\sigma_i^2} \mathbb{B}_i^T (A A^T - \mathbb{L} \mathbb{L}^T) \mathbb{B}_i$$

ただし

$$\mathbb{B}_i = \begin{pmatrix} l_i & 0 \\ m_i & 0 \\ n_i & 0 \\ 0 & l_i \\ 0 & m_i \\ 0 & n_i \end{pmatrix} \quad \mathbb{L} = \begin{pmatrix} L & 0 \\ M & 0 \\ N & 0 \\ 0 & L \\ 0 & M \\ 0 & N \end{pmatrix} \quad A = \begin{pmatrix} -\sin A \\ \cos A \\ 0 \\ -\sin D \cos A \\ -\sin D \sin A \\ \cos D \end{pmatrix}$$

$$\begin{cases} L = \cos D \cos A \\ M = \cos D \sin A \\ N = \sin D \end{cases}$$

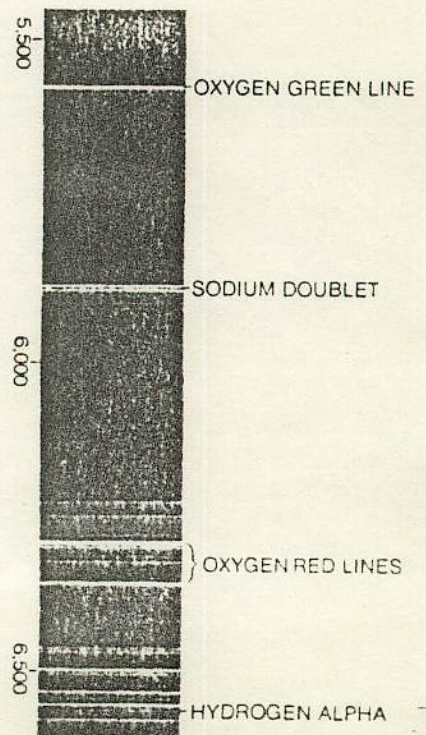
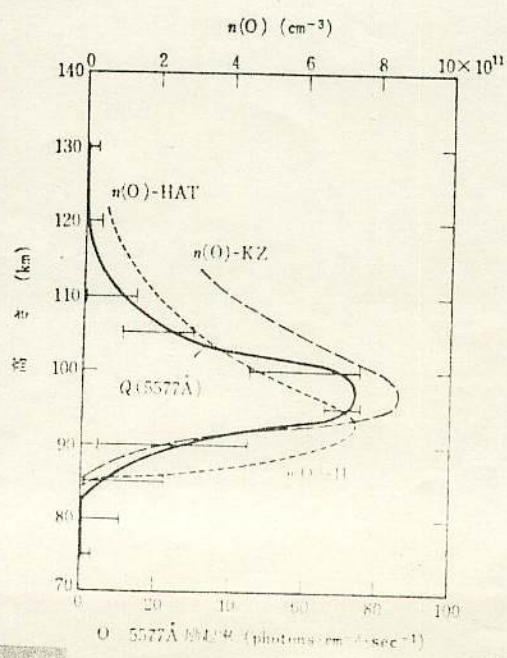
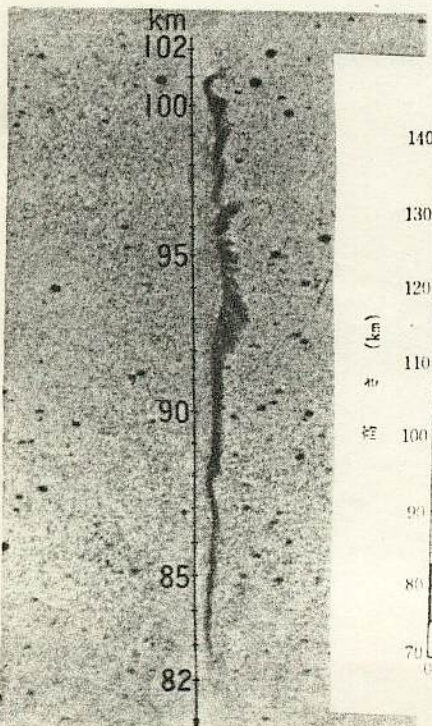
である。

痕

流星痕の正体はまだわかっていません。あんなに美しい現象のことがわからないなんてくやしい！ 流星本体以上にきまぐれなうえに、すぐにうすく広がってしまうので微細構造やスペクトルがなかなかとらえられないのでしかたありません。発光理論にしても、それらしい候補はあるものの、ひとつにはしぼりきれっていません。おかげで、痕の話になるたびに議論白熱。われわれの目が黒いうちになんとか痕のなぞを解きあかしたいものです。

夜天光と流星痕

赤外域の発光について超高層大気や夜天光に関して調べていくうちに夜天光と、流星痕との間に興味深い関連があることがわかった。夜天光はそのほとんどが地球大気発光現象であり、その発光元素もよくわかっていて、最も強く光る元素はOI 5577Åであり、またNaD線もよく光る。OI 5577Åの励起機構は3体衝突($O+O+O \rightarrow O_2+O^*$)とされておりその励起率はO原子密度に大きく影響される下のグラフはロケット観測によるOの励起率と密度で高度82程度より下では大気密度が濃いため禁制遷移であるOI 5577は発光しなくなる。またNaD線も非常によく似たグラフとなる。写真の痕は流星自体は60km以下まで飛んだ火球であるが痕は82km程度で消えている(天文が1077年10)これはOI 5577が励起しなくなる高度とよく一致している。流星が通過すると N_2, O_2 を解離して赤外域の光線NIやOIを出すとしてN, O原子が残る。このO原子が3体衝突をして光るOI 5577Åが痕の主な発光元素と考えることはできるだろうか。もしNaD線等他の元素も光るならば、O原子密度がまず関係してくるのではないか??



流星痕 (Meteor Train)

小笠原 雅弘
Masahiro Ogasahara

流星痕については長い間、その正体が不明とされてきたが、最近 Baggeley による Na の emission についてはこの理論計算がなされている。Na (5890 Å), O (5577 Å) などの大気光データと痕の観測的事実を組み合わせで検討を試みる。Fig. (a) は質量 10g の Perseid としたモデル計算を行った結果の光度曲線 (= mass loss) が手田 (1980) の計算である。(b) はこれより調べられた 6 例の痕の高度分布を示す。(c) は Hughes (1959) によるまとめられたスーパーショットによる痕の継続点 (persistent points) を示している。我々の観測する痕は 90~100km に多いとわかる。継続点の平均高度は、 $94.3 \pm$ 標準偏差 5.8 km である。(d) 図の Rocket による Na の高度分布の max 94 km と全く一致しているのは興味深い。

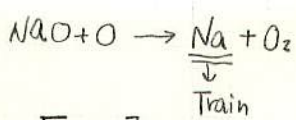
一方 (e) 図はもうひとつの痕の候補である OI (3F) 5577 Å の発光高度を調べたところ、Na に比べ 5~6 km 高いとわかった。(f) 図の大気光の Rocket Data とよく一致している。

O の 3 体衝突反応を考慮してあり、 $3O(^3P) \rightarrow O_2^* + O(^1D, ^1S) \dots$ (1). その放射率

$$Q(z) \text{ は } Q(z) = \frac{k_{57} \cdot A(^1S - ^1D)}{A(^1S - ^1D) + A(^1S - ^3P) + k_{ed} n(H, z)} n^3(O, z) \dots (2)$$

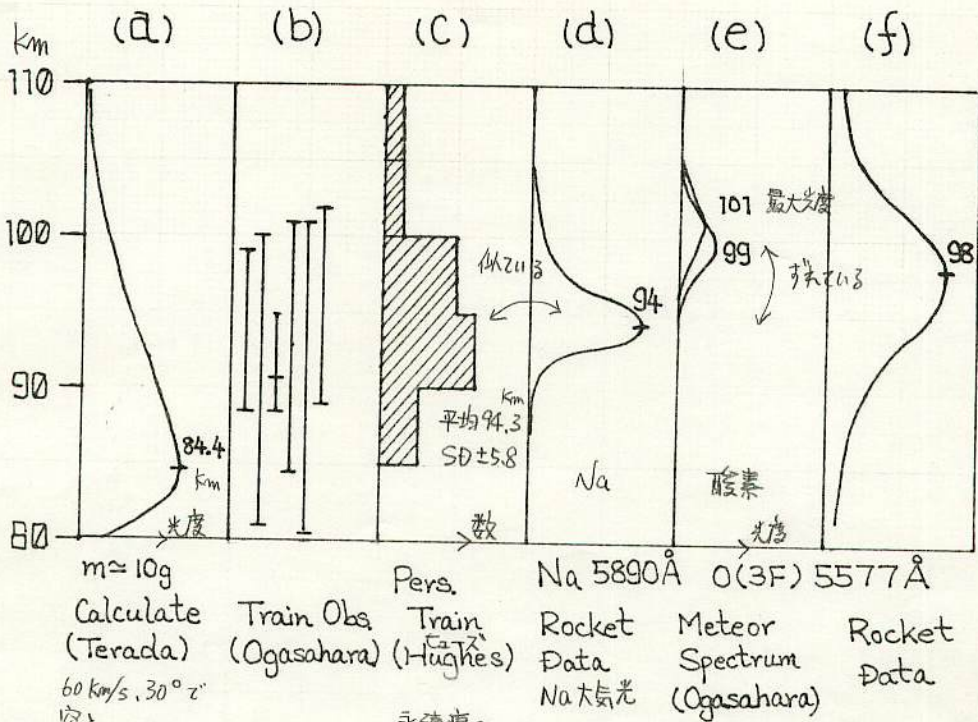
$n(O)$ とは Keneshea, Zimmerman (1970) の値を用い、quencher として大気分子と meteor から粒子 (Fe) を仮定し、 $Fe(z=58)$ とし column $\gamma \approx 10$ cm 程度と考えると、(e) の O (5577 Å) のスプラウの高度分布をよく表わす。したがって O 5577 Å の max は 98~100 km である。痕の高度分布とは一致があり、説明可能なものがあるといえる。したがって観測的事実としては痕を Na とみるのが妥当であろう。

上記痕が Na であるとして継続点の平均高度 94.3 km とはよく一致すると思われる。



(流星速度と出現高度は強い相関がある。
" " と痕の高度は弱い " "

Fig. 1



$m \approx 10g$
 Calculate (Terada) $60 \text{ km/s}, 30^\circ \text{Z}$
 突入
 Train Obs (Ogasahara)
 Pers. Train (Hughes)
 Na 5890 Å Rocket Data Na 大気光
 O(3F) 5577 Å Meteor Spectrum (Ogasahara)
 Rocket Data

UV700にまよめ2のみと。

1. Material
2. Deactivated material
3. Atmospheric density (mean free pass, diffusion)
4. Wind Shear

ほとんどの場合、Fig. 1(a)~(c) を比べた場合、material の max と、痕の persistent

points は 10km もの差がある。この原因は何に？。100km での mean free pass $\approx 1.63 \times 10^{-1} \text{ m}$

ほどに対し、85km での $1.02 \times 10^{-2} \text{ m}$ と 10 倍も遠いので衝突確率が高くなるので。Za かつ Z₀

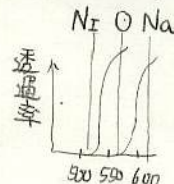
が働いて、痕が継続できるのは何に？。

80~120km の Wind Shear を流星風レター-のレター-でみよ。短時間(数十分~)

でも大規模変動がある。平均すると $30 \sim 100 \text{ s}^{-1}$ の風が吹いていて、東西流が卓越している。大気潮汐。

内部重力波はほとんど影響がある。

理大の痕対策 7/14-054, 058, 7/14- 友しの3台カメラ。



1982.10.22-23 03R14m 頃の大流星の痕の様子

時刻: 流星発生後 10.5~15.5 頃

器械: ニコン 9x35 73° 双眼鏡

場所: 筑波山

No.

19
h m ~ h m (J.S.T.)
Plot Time h m

Weather _____

Transparency _____

Seeing _____

P=

B₀= ΔL₀=

L₀= L₀'=

	g	f	R
N			
S			
Total			

Faculae E W

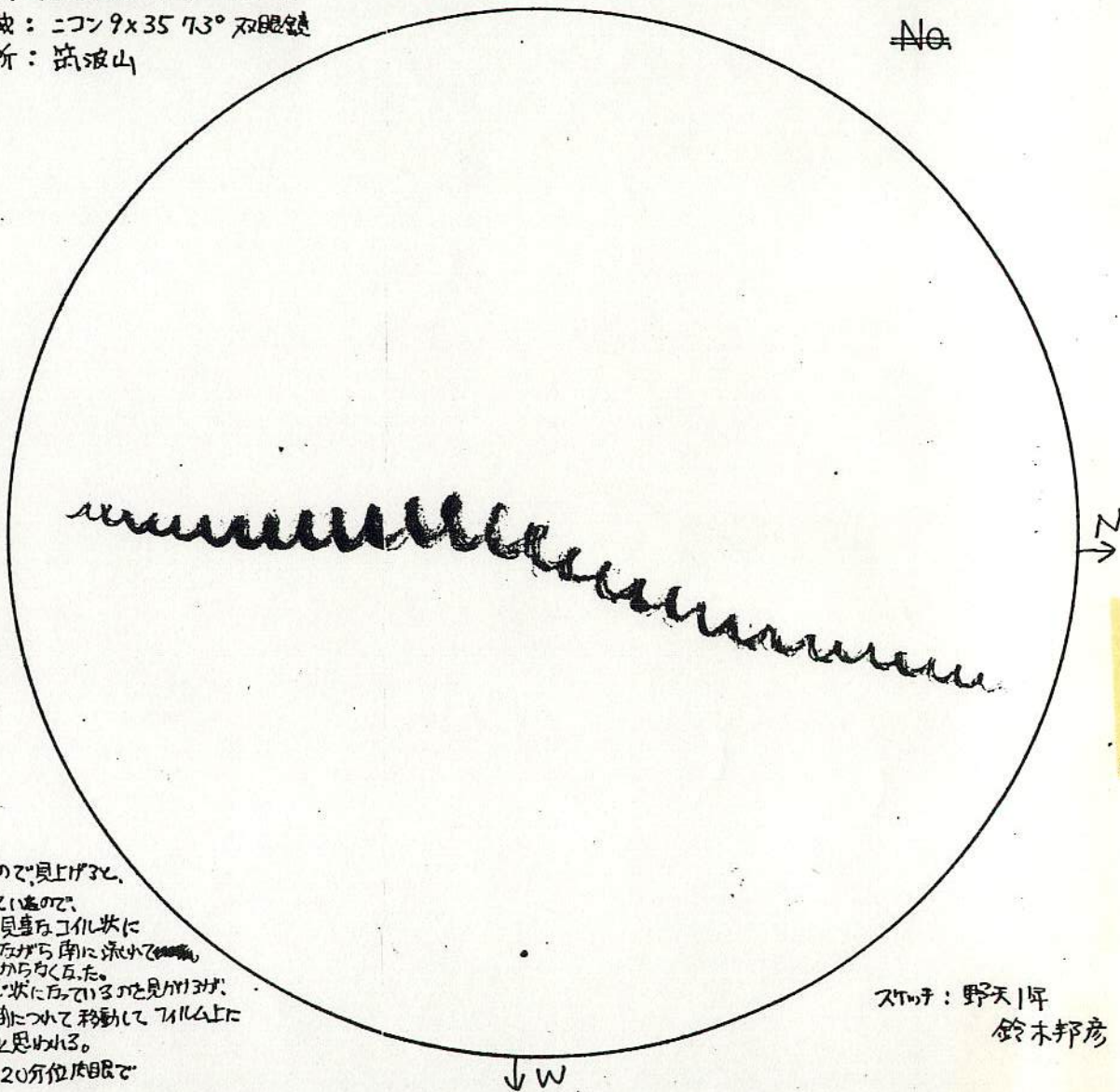
Telescope

(Refr.) D= mm f= mm
(Refl.)

Remarks

Xモ. カイト撮影中、空が急に明るくなったので見上げると、
牡羊座付近に流星痕が明るく輝いていたので、
あけて双眼鏡でその様子を見たら、見事なコイル状に
見えた。痕はほとんど水平な方向に流れて
いき、1分後位には殆どコイル状はわからなくなった。
よく痕の写真を撮ると見ると、このコイル状になっているかを見かけず、
これは、このおなじコイル状のものが時間について移動してフィルム上に
あの様に写し出されたものではなにかと思われ。痕はその後もほとんど水平な方向に
見えた。

Observer



スキャナ: 野天1号
鈴木邦彦

痕の色の眼視観測及び

from 田口泰雄 (信州大)

4色写真撮影

DATE 6

表1. 各群流星の痕の色 (田口泰雄 によるもの)

年月	流星群 *は色変り流星	各群の特徴 ⁽¹⁾	痕の色 ⁽²⁾	観測地 (観測地)	各群の 地心速度 ⁽³⁾	流星の色(等級) (観測人は-2等)
1966 Aug.	←Aqr δ	緩	緑	大阪・東大阪	41 km/sec	BW (4以上)
1968 Nov.	←Leo	甚速, 痕	赤	東京, 聖蹟 八雲	71.6	R
1973 May Aug.	←Aqr η ←Per	速, 痕 "	黄(紫明) 黄	大阪, 花園 松本, 聖取山	66.6 60.5	BW BW
1976 Oct.	←Ori	速, 痕	黄	美しヶ原	67.5	BW
1977 Aug. Oct. Nov. Dec.	←Per ←Ori ←Leo ←Umi	速, 痕 " 甚速, 痕 緩	オレンジ 青 赤 赤	戸院 松本市岡田 " "	60.5 67.5 71.6 34.1	BW BW R R
1978 May Ag.	←Aqr η ←Per	速, 痕 "	オレンジ オレンジ→緑	松本市岡田 美しヶ原	66.6 60.5	O BW
1979 Jan May Jul Aug.	←Dra ←Aqr η ←Aqr δ * ←Per 分岐 ←Per (1) ←Per * (2) ←Ca P	速 速, 痕 緩 速, 痕 " " 緩	黄 オレンジ 黄(短痕型) オレンジ 緑 オレンジ 黄	松本市岡田 " " 美しヶ原 聖山 " " 美しヶ原	41 66.6 43.7 (4) 56.5 60.5 " 23.5 67.5	Y O Y (-3) BW BW R (-3) Y BW
1979 Oct.	←Ori	速, 痕	黄	美しヶ原	67.5	BW

Clan

1979 Nov Dec	←And ←Tau ←Cet ←Leo ←Gem ←Cyg
1980 Apr Aug Oct Nov Dec	←Lyr ←Vir ←Per ←Ori ←Leo ←Gem
1981 Jan May Aug " " Oct Nov Dec	←Dra ←Aqr η ←Per ←Per * ←Cyg ←Ori ←Tau ←Leo ←Gem
1982 JAN May Aug Oct Nov Dec	←Dra ←Aqr η ←Aqr η * (6) ←Per ←Per * ←Ori * (1) ←Leo ←Gem ←Aur

←Ori 82' 10月27日 27R 14m 54s 出現, 流星痕の分光.

カメラとフィルムの Re-2475. フィルターなし

② " Y48

③ " R60

④ High Speed 1/75 R70
Lott

①~④ 同時に 出現後 19s後~49s後, 79s後~109s後

139s後~ 169s後 4撮影 81

緩	オレンジ	葉しぐら		Y
"	青	"		O
"	緑灰色	"		O?
甚速, 痕	赤	松本市園田	71.6	R
"	黄	松本市園田	36.3	BW
"	はた色	"		Y
速	オレンジ	松本市園田	48	O
緩・大球	ピンク	"		"
速・痕	緑	聖山	60.5	BW
"	黄	龍川大	67.5	"
甚速, 痕	赤	松本市園田	71.6	R
緩	黄	"	36.3	BW
速	黄	大阪, 東大阪	41	Y
速・痕	オレンジ	松本市園田	66.6	O
"	緑	聖山	60.5	BW
"	オレンジ	松本市園田	"	R
系緩	黄(短痕)	聖山	"	Y
速・痕	黄	信大	67.5	BW
系緩	赤	"		?
甚速, 痕	赤	松本市園田	71.6	R
緩	黄	"	36.3	BW
速	黄	松本市園田	41	YW
速・痕	オレンジ	大峰	66.6	O
"	緑	"	"	G
"	黄緑	聖山	60.5	YW
"	オレンジ	松本市園田	"	R or Pink
"	ヤマブナ色	"	67.5	Y
"	赤か, 色	"	"	O
甚速, 痕	赤	"	71.6	R
緩	黄+赤(短痕)	"	36.3	BW
"	オレンジ(短痕)	"		O

Clan

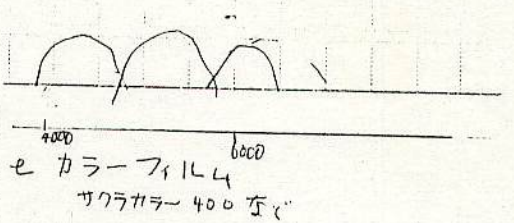
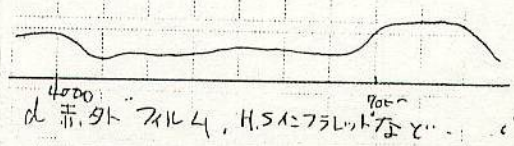
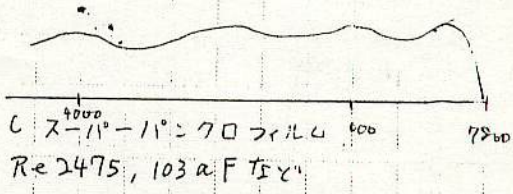
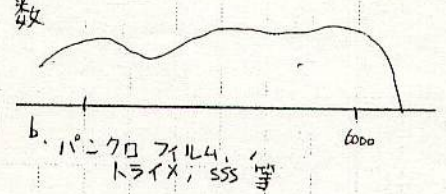
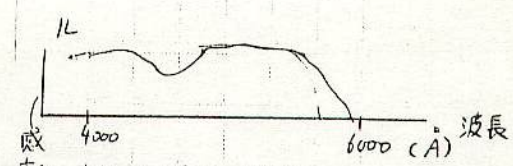
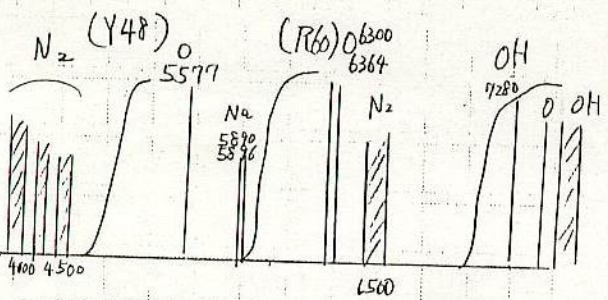


図2. 各フィルムの特性

83' 1月9日

流星痕の4色分光の報告



予想される流星痕の輝線



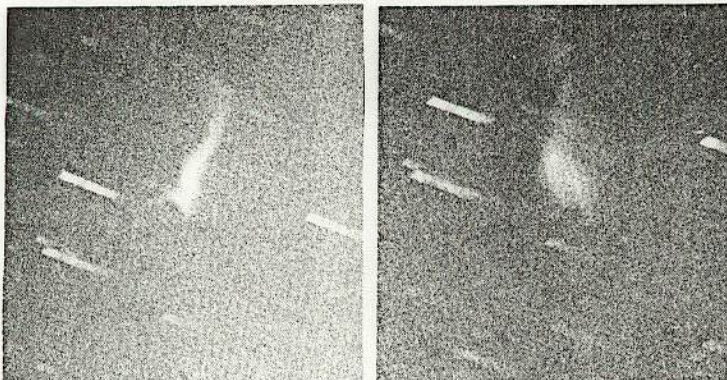
去る10月23日午前3時14分47秒、埼玉県秩父市上空にマイナス5等のオリオン群の火球が流れました。この火球を日本大学天文学研究会（東京都五日市町）、電気通信大学の4連カメラが捕え、また東京理科大学天文研究会（千葉県野田市）は、流星のスペクトル写真の撮影に成功しました。

活発だった'82オリオン群の活動

大学天文連盟流星分科会では、10月14/15~25/26の計12日間協定観測を組みましたが、悪天候のため、20/21~22/23の3日間しか観測できませんでした。第1図は各校のCHR（1時間修正流星出現数）のグラフです。極大は20/21、CHRで30前後とかなり活発で'80年の月明の観測と比較しても、オリオン群の活動は年々活発になってきているようです。母彗星と考えられる、ハレー彗星の回帰と何らかの関連があるのでしょうか。そうであれば流星物質が、彗星回帰以前にすでに戻ってきている可能性も考えられます。

軌道計算の実際

撮影された火球の写真1は、コンパレーター、引伸機などによって切断点や比較星の座標を測定します。比較



【写真2】火球の痕のスペクトル写真。(左)03^h15^m、(右)03^h17^m。東京理科大学天文研究部（野田市）

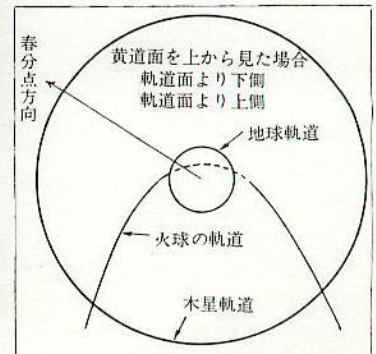


星の位置は、SAO星表などによって調べ、種々のデータをカードパンチし大型計算機にかけます。

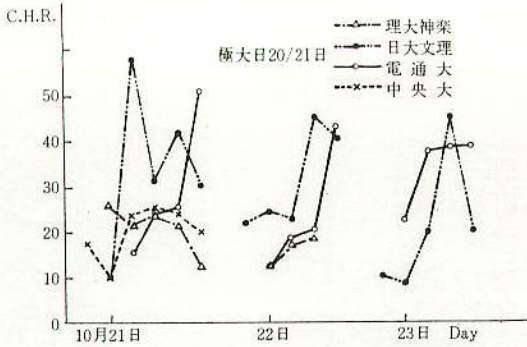
計算には、東京理科大学天文部の Meteor 4 というプログラムを使用しました。第2図は、発光点と消滅点の位置を地図上にプロットしたものです。火球が、秩父の上空から北西の方向に流れたことがよくわかります。輻射点は $\alpha=94^{\circ}.421$ 、 $\delta=+16^{\circ}.958$ でオリオン群の火球に間違いのないことを示しています。

つぎに対地速度を調べてみると、各切断点における速度はかなりのばらつきがあります。これを直線近似して火球の速度を決定します。この火球の平均速度は69.21 km/secと、平均的なオリオン群の観測速度66 km/secに比べて多少速いという感じです。日心軌道の計算にあたっては、天頂引力、日周光行差その他の補正を行い計算します。計算結果とともに軌道図が第3図のように出力されます。

また第1表の計算結果を見てわかることは、離心率 e が1.0651と双曲線軌道になっていることです。本当に双曲線軌道であるかは、現段階でははっきりと断言でき



【第3図】太陽を中心とした火球の軌道図



【第1図】各校のCHRの変化(極大日20/21日)

ませんが、回転シャッターの速度やその他の要因を考察し再度計算する必要があると思います。

貴重な流星痕のスペクトル写真

この火球の痕のスペクトル(写真3)を3枚連続で捕まえました(そのうちの2枚)。痕のスペクトル写真はまったく前例がなく、たいへん重要なデータです。痕についての多点での観測があれば、対地軌道計算と同じ要領で、移動から火球の流れた付近の大気の動きを計算することができます。

眼視観測によれば、オレンジ色の痕が数分~数十分にわたり観測されているので、他にもかならず痕の撮影に成功しているのではないかと思います。

流星の写真測光

写真の濃度から火球の明るさを求めるもので、変光星等の写真測光と原理的にはまったく同じです。測定には、日大天文学研究会(文理)のネガを研究室のマイク

【第1表】軌道計算の結果

出現時刻=1982年10月22日27^h24^m4

観測者	東経(度)	北緯(度)	海拔(m)
日大天文研(五日市)	139.19222	35.72883	260.0
電通大(正丸)	139.18500	35.93583	300.0

視幅射点位置 $\alpha=94^\circ.421$, $\delta=16^\circ.958$

—対地軌道—

No.	東経(度)	地理学的緯度	地心緯度	高度
1	139.201	35.59.05	35.8020	128.59
29	138.55.81	36.7.45	35.9417	81.77

切断点高度の減少(平均)=1.37(km)
大気減速補正速度=66.22(km/sec)

真幅射点位置 $\alpha=94^\circ.416$, $\delta=16^\circ.848$
地心速度=68.24(km/sec) 視-真幅射点距離=0.14(度)
方位角=329.78 高度=68.52(km)

—火球の軌道要素—

$R=0.9950054$ (A.U.)	$V=43.39$ (km/s)
$Q=28.57$ (DEG.)	$i=166.31$ (DEG.)
$a=8.94$ (A.U.)	$e=1.0651$
$K=1.453$	$P=26.73$ (YEAR)
$\omega=78.78$ (DEG.)	$q=0.582$ (A.U.)

R: 天文単位, V: 日心速度, q : 昇交点黄経,
i: 軌道傾斜角, a : 軌道長半径, e : 離心率,
K: ホイッパルのK条件 ($0 < K < 1$: 惑星起源,
 $K < 1$: 彗星起源) P: 周期, ω : 近日点引数,
 q : 近日点距離, 対地軌道のNoは切断点を示す。



【第2図】発光点、消滅点の位置

ロ・フォトメーターで測光しました。ここで問題になるのは、ネガの周辺部と中央部で周辺減光によってベースの濃度が異なり、爆発部分の濃度がマイクロ・フォトメーターでトレースできないことやハレーションのために、きわめて測光がむずかしいということです。とりあえず、H-D 特性曲線を延長し、だいたいの明るさを求めてみました。

したがって、今後の整約法はいろいろ考えなくてはならないと思います。

また爆発時には、マイナス6等を上回っているようです。爆発時には、流星物質がフラグメンテーションを起こし、一気に燃えつきってしまったのではないかと思います。それに伴う見かけの速度減少もうかがえます。

火球の解析に必要な観測報告

軌道計算については、第1図からもわかるように、みこみ角が小さいので決定には多少の誤差が含まれていると思います。二点ではなく多点での計算を行い、より正確な軌道を決定したいと思います。写真測光においても、測光質量を求め火球の直径、密度、またスペクトルから成分についても求めて行きたいと思っています。

'82年は好条件の流星群がかなりありましたが、悪天候のために満足な観測が出来なかったかわりに、偶然にもこのような火球を観測することができました。オリオン群は見かけの速度も速く、写真では写りにくい対象であり、母彗星と考えられるハレー彗星の回帰が1986年であることから、この火球についての多面的な解析が必要です。この火球について何か観測された方は、ぜひ下記までご連絡ください。

大学天文連盟流星分科会

〒154 世田谷区豪徳寺1-52-12

佐々木 道治 Tel 03-420-5040

KPM 関東写真流星ネットワーク

〒183 府中市清水ケ丘2-27-8 光荘1号

二見 広志 Tel 0423-62-5311 (呼出し)

※タイトルの写真は、埼玉県正丸峠で撮影された大火球。

撮影: 電気通信大学. オリンパスOM2, f50mm F1.8

12月 MSS 流星物理セミナー

24 S.58.1.9.

24th MSS 1983 Jan. 9

最近の大气光観測から

小笠原 雅弘

流星痕の成因を考えるうえで大气光のデータは欠かせない。
(高橋, 1983) 昭和57年宇宙観測シンポジウム(宇宙研)で報告
されたデータのなかから流星にとっても関連の深い Na, OH,
O (5577Å) について紹介する。

[I] Na (内海・広野, 1982)

九州大の色素ライダー(レーザーパルスを上空に発射して、その散乱
光をとらえて高層大气の状態を調べるもの)による、80-100km
ナトリウム層の観測から、1981 Aug. 13 ペルセウス群極大時期に
平常の2~3倍のナトリウムの増加がみられた。fig-1

この現象は1978, 79年にもみられた(長沢他 1979)
この時期、かなり多量の流星が大气中にとびこんで激的なナトリウム層
を形成したと考えられる。

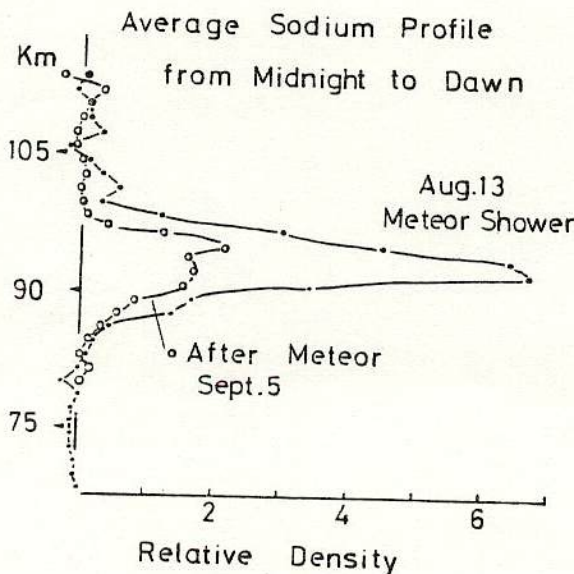


fig-1

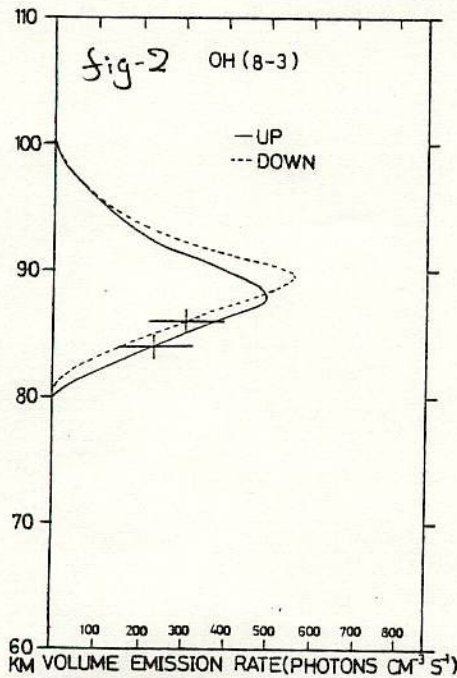
流星 shower の後、90 km 付近の
Na 濃度が高くなる。

真夜中から夜明けまでの平均のナトリウム層のプロファイルで、●が流星雨時で、○は、その
後の9月5日のもの。

〔II〕 OH マイネルバンド (中村、高野 1982)

1981 Aug. 24 21h00m JST 内ノ浦 KSC より打ち上げた S-310-10号機に搭載した測光装置により得られたOHの強度プロフィールを fig-2 に示す。最大発光率高度は 90 ± 2 km

Zimmerman et al (1981) の O_3, H の分布データから求めた理論値 $85 \sim 86$ km よりかなり高いことが指摘されている。

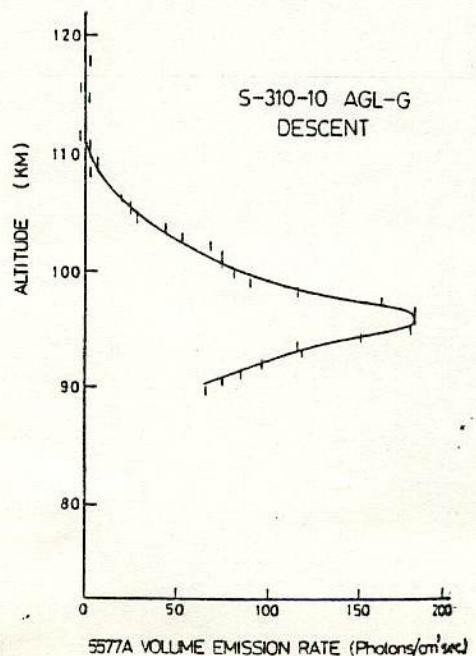
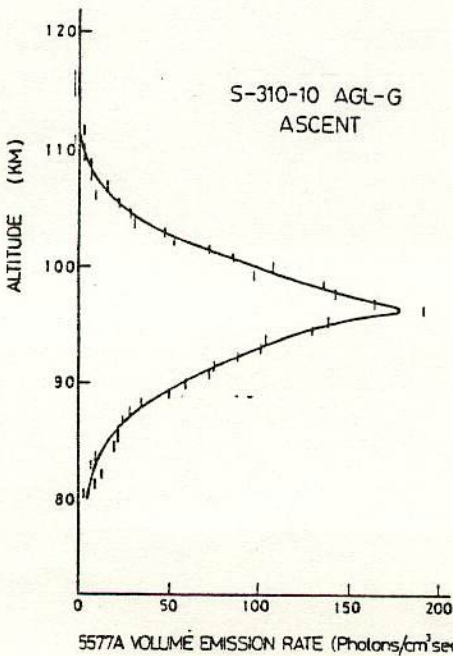


〔III〕 O(5577A)

S-310-10号機に同時に搭載された東京天文台グループによるデータ 5577Aの発光率ピークは96kmであった。

fig-3

fig-3
O(5577A)



高感度ネガカラーと赤外フィルムによる分類

☆☆観測の背景☆☆

ペルセウス群の流星の性質がかわってきていると指摘され始めたのが、くわしい年ははっきりわからないが1980年代の前半。一般に青白い流星と言われていたペルセウス群の中に暖色系(黄, オレンジ, 赤, ピンクなど)のものがあると指摘された。

また、年、地域により流星の色が変る。(田口) 赤っぽい、ゆっくり流れる、ペルセウス群とは異った性質を持つ流星の存在(1982年ころから?)なども指摘された。

色の変化については、エルチチョン火山の噴火により大気中に放出されたダストの影響による(1984, 佐野高校)とか、流星の発光する大気の状態の変化が関係する(田口)などの説明がなされている。

また、この流星の性質については、増光のパターンなどによりいくつかのタイプに分類する試みがなされている。(田口ほか)

そして、こうした特異流星の近年の増加から、これから母すい星が回帰する。あるいは、すい星がこわれている可能性があるという予想が発表された。(1985, 流星会議, 田口)

☆☆目的☆☆

今まで、ペルセウス群の流星をいくつかのタイプに分ける試みは、写真で得られた流星と、その眼視からの観察によるものが主であった。

今回は、これらに加えて、ある特定の波長で流星をとらえた場合に、さらに細かい分類ができるのではないかという予想で流星のタイプ分けを目的とした。たとえば、同じ色のつべりした流星でも赤外域で増光の違いがないか、など。

また、本来ならスペクトルを観測して、色がわりをおこさせている元素が何であるのか調べたかったのであるが、そこまではできなかった。

☆☆方法☆☆

カラーフィルム(フジHR1600)と赤外フィルム(コダック、ハイスピードインフ・ラレッド)+R60フィルターの二連で、同写野を写す。

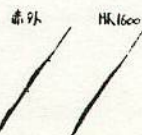
レンズは、多くの流星を写すには広角レンズの方がよいが、増光のパターン・色をみるためには、焦点距離の長いレンズの方が望ましく、結局、その両方を満足させるということから、f 50mmのレンズを使用することにした。

この方法については、ペルセウス群の観測の予備テストをかねて、1985年3月のコト×群で全く同じ方法を試みてみた。その結果、1枚のみであったが流星をとらえることができた。

- 記載 -

等級は眼視で0等。HR1600で写された流星は全体に赤で末端近くで1回の増光がみとめられる。それに対して赤外フィルムで写された写真では増光が末端近くと、経路のまん中あたりの2



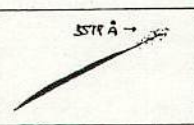

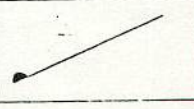
赤外 HK1600



回めとめられる。

このコト群の結果から、実際にカラーフィルムと赤外フィルムで異った流星の像を得られることがわかった。

1985. 田口によって分類されたペルセウス群はつぎの通りである。

type I いわゆるペルセウス群とされてきた、増光の著しいものである。その発光点あたりで5577Åの緑色がでる。	
type II 発光点あたりに5577Åの緑色があらわれる。高密度の、核からの流星ではないかとされているもの。末端にかけてなめらかな増光。	
type III 全体に緑色 (1983. 1985.) で、5577Åの緑色がでる。増光はtype IIと同じだが色が異なる。←赤外で写さない	
type IV ゆっくり流れるのっぺりしたタイプで、5577Åの緑色がない。核からの高密度のもの。	
type V 最後に増光 (爆発?) して終る特異なもの。5577Åの光はみられない。	

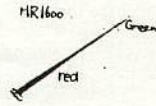
注
1986は
type I, II,
IV, Vで
このような色
変わり流星
が全体の50%

☆☆結果☆☆

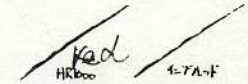
《 》は田口注

湯の丸 (8/10~14), 松本市岡田 (7/16, 8/15, 16, 18.) の観測で得られた写真は次の通りである。

A. 1985. 7. 16. 2h09m25s出現 type II
-2等。ペルセウス群の分枝群と思われるもの。赤い流星で発光点付近で緑色。はやい。インフラレッドはこのとき使用していない。



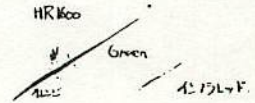
B. 1985. 8. 13. 3h13m43s出現 ?
0等。全体に赤で4回の増光がある。短痕はみられなく、写真にも5577Åと思われる緑色はない。



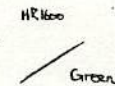
C. 1985. 8. 14. 0h55m56s ?
1等。ペルセウス群の分枝と思われるが像が淡くて分類不能。

《タイプI・SiとOか?》

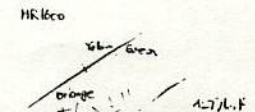
D. 1985. 8. 14. 0h50m01s出現 type I
1等。写真で緑→オレンジに見える典型的な色がり流星。インフラレッドではオレンジ色の部分のみがすかに写っている。



E. 1985. 8. 14. 1h26m32s出現 type III
1等。ゆっくり。全体に緑色。短痕が残る。ポワッとした感じの流星。インフラレッドの方には写っていない。



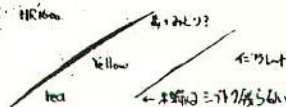
F. 1985. 8. 15. 1h22m44s出現 type II
-1等。色がわり (緑→黄→オレンジ)。インフラレッドでは緑色の部分は写っていない。



黄色とオレンジ色の色界あたりでインフラレッドの方に増光のピークがある。

《Si?》

G. 1985. 8. 15. 1h36m13s type II
 -1等。(緑?) → 黄色 → 赤の色がわり。 ゆっくりで、短痕
 が残る。



☆☆考察...?☆☆

今回の観測では、分類するというほどの数の流星をとらえることができず、赤外とカラーの組合せでの分類はできるまでに至らなかった。

Bの流星については、全体に激しい増光がみられるが、全体に赤で、短痕がなく、type Iのような緑色の光は全くない。増光のみをみるとtype Iだが、以上のようなことから、type Iとは考えにくい。したがってI~Vのどれにも属さない新しいタイプのものと考えられそうである。すなわち、増光の著しい、短痕を残さない、5577Aの光がみられない流星である。(これも密度の大きい核流星?)

からの

☆☆今後の方針☆☆

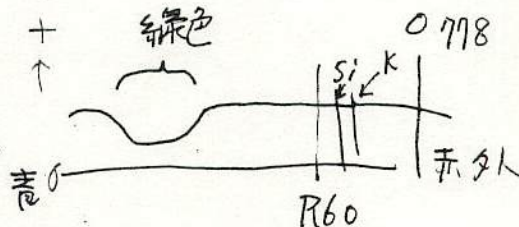
赤外域あたりの光をとり出して区別するという方法では、同じような色の流星を相対的に区別することはできるかもしれないが、年による流星の色がわりというものがあるとなれば、絶対的なタイプ分けの基準にはなり得ない。もし、次回、ある特定の波長に注目するとすれば、5577Aの緑色あたりがいいかもしれない。この波長は、短痕の主要なスペクトルとされているもので、色がわりの年変化にそれほど左右されることがないと思われる。(痕の出やすい年、出にくい年の差は出るが...)

また、増光のパターンにより流星が分類できたとしたら、そのパターンの流星が年によりどんな色に見えるかということで、スペクトルの同時を得られればよいのではないかと思う。

(注2) 栗原氏はこの他トライ赤外, カラー・トライ赤外を多数写している。

(注3) by 田口

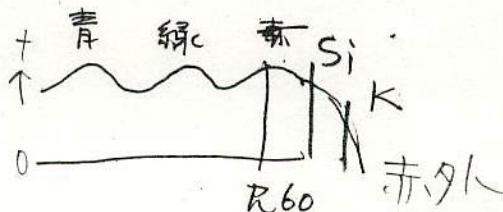
インフラレッドは⇒
 の感度で緑は写らない



(注) カラーはとなる

HR1600 ⇒

インフラに写る光輝線は



Si (635nm) — 大

K (658nm) — 中

Ca (赤外) — 小

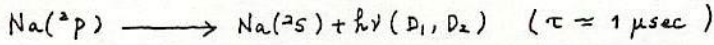
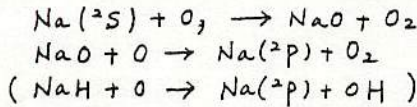
O (778) — 大

トライにはKは写らず

またO(778)は速い流星のみ。年によってかなり変化。 89

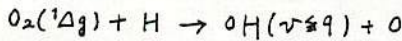
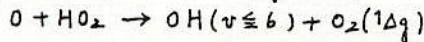
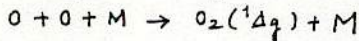
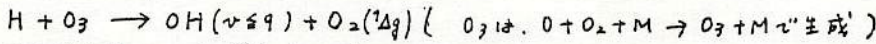
流星痕の発光メカニズムを考へるには、簡単なモデルを次に通りである。

(1) Na (発光色: オレンジ, 発光層: 90-95 km)



τ : 転移確率の逆数

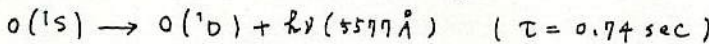
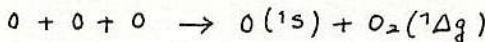
(2) OH Meinel 帯 (発光波長: $5500 \text{ \AA} - 4.4 \mu\text{m}$, 発光層 85-95 km)



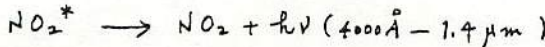
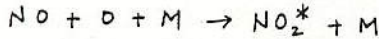
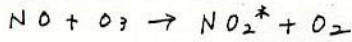
(6-1) バンド (6495 \AA , $\tau = 3 \text{ min}$), (7-2) バンド (6862 \AA , $\tau = 1 \text{ min}$), (8-3) バンド (7275 \AA , $\tau = 26 \text{ sec}$)

(8-2) バンド (5886 \AA , $\tau = 3 \text{ min}$), (9-3) バンド (6256 \AA , $\tau = 1 \text{ min}$), etc.

(3) OI オ-ドラ線 (発光波長: 5577 \AA , 発光層 95-105 km)



(4) NO₂ 連続光 (発光波長: $4000 \text{ \AA} - 1.4 \mu\text{m}$, 発光層 90-110 km)



定量的な評価は、これから試みられておりである。1982年10月の流星痕の色からすると、

Na と OH の可能性が強い。

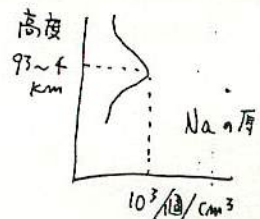
流星痕の問題点

観測データ

- | | |
|---------------|--|
| 1. 発光機構 | 1. 発光色 オレンジ or 赤 (Liller & Whipple (1954)) に白色 |
| 2. " の持続機構 | 2. 緑黄 → 緑白色 (Hughes (1975)) |
| 3. " の高度領域一定 | 2. 発光持続 $< 1 \mu\text{sec} \sim > 1 \text{h}$ |
| 4. 有痕率と流星群の一致 | 3. 発光高度 $94.3 \pm 5.8 \text{ km}$ |
| | 4. 有痕率 Oriver 55% Per. Ori. Leo |

高い振動状態に励起され

1. 発光時間の長いことを考えると、空気分子との化学反応による発光だと考えざるを得ない。
2. 流星物質中には (Fe_2SiO_4 , FeSiO_3) 等 O が多く、仮定としては 50% 程度ではないか。
3. O が少ないと仮定して Na, OH 等 O を含むものはないか。



24-MSS

Date

No.

前略

いくつか

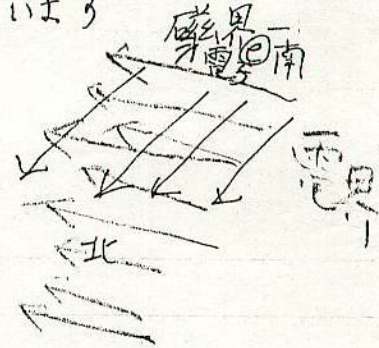
流星痕と永続痕について思いあたる
ことがありますので、御報告します。

まず、永続痕のエネルギーですが、これは流星痕
がらせん形をした、電離した大気が地球の
磁場内を高層大気の風によって流される。

つまり、コイルが磁場内で運動することにより、
電気エネルギーが生じるからではないでしょうか。
フレミングの右手の法則

また、痕の発生についても、地球磁場に対し
垂直な電界があればよいと思います

高層大気中に右図のように
磁界に対し垂直な電界が存在
するとした時、流星物質が突入し
その径路にそって、大気が励起し
た後、電子がらせんを描いて



上の方へ（右ネジの進む向き、同封資料
図2）逃げる。つまり、らせんを描いて、下方に電流
が流れる。そうすると、磁界がでま
拡散をおさえる（右図）

また、電離、励起した、らせん状（コイル状）
の大気が発光したものが痕であろうと
思われます。初期は流星物質の突入
の運動エネルギーの一部で発光する。



その成分は大気だから、オーロラと同じ成分

Date

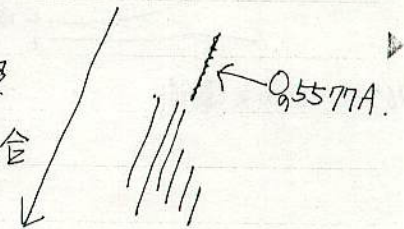
No.

(N_2^+ の 4200 Å 付近の青色の帯状のスペクトル, 5000 Å 付近の NO の帯スペクトル O の 5577 Å の禁制線, Na の D 線 5893 Å, O の 6300 Å, N_2 の 6500 Å 付近の帯スペクトル, OH の 7280 Å 等) で, まず O の 5577 が強く発光。その後風によって流され, 電流が生じ, その電気エネルギーが発光のエネルギーに変わる。そのため, 自己誘導も生じるのではないのでしょうか。そして, 状態の変化が永續痕の色変化になるのではないで。

また, 痕の拡散を妨害する磁気線は, ^{周囲の}大気の電子密度によって変化し, 10, 11月には磁気線が弱くなるので分裂する。(資料図5, 図4, 図3) さらに風も磁気線を含めた運動の可能性も考えられます。

回転シャッターの切れ目に見える光跡はスペクトルから Ca, Mg, Fe 等が発しているのがわかっていますが, まず, これが電波を反射させるのではないのでしょうか。その後らせん形 (= コイル状) の痕が電波を反射するのではないかと思われま。これは拡散ではなく, やや時間をあいてから痕かでき(= 大気が励起, 発光する) からではないかと思ひます。(天ガ, 79年10月号加藤進, 流星レター, p76.77) また, 永續痕は大気の電離が続くため, FM の反射も続くのではないのでしょうか。

また, スペクトルでもカラーでも O の 5577 の輝線が ^{高速の}流星の径路の初めの部分に写っている場合



もありますが, これが曲っていたり, ボヤけているのは, 高い部分で流星が発光せず, 痕だけ光っているのではないかと思ひます。

これならば, 「月天 83. 11月号」のよいどれ流星, 「流星と火球と隕石と」の P27 の流星も説明できると思ひます。

さらに, 流星の発光にも, 大気の電子密度, 磁界, 電界が関係すると

すれば、年による、流星や痕の色の变化も説明できます。
 ex(天が、天象、78, 80, 83のVPerのカラー写真参照)

また同じ群でも光度変化やFMのエコーのパターンが^{年より}変わつてもおかしくはないと思います。また、分枝群^{の活動の変化}や、幅射点

の地平線に近い時の水切り流星と呼ばれる流星も磁界、電界を含めた、大気への突入角度の変化で説明できるのではないのでしょうか。その場合、地球の^大電子密度、磁界、電界を左右するのは太陽の活動ではないかと思ひます。この考えはどうでしょうか？間違ひや考え違ひ等が含まれているとすればどこなのか、御教えいただければ幸いです。 草々

PS また、この考えは、これでよいか、⁸²Orion大流星の痕で調べてみます。私は、82.11月の大天連の時には、この考えがあるのですが、スケッチ(らせん状)を見て、右ネジ状でないと思ひ、ほぼ1年近く、この理由がわからず悩んでいました。しかし、と、土のスケッチですし、望遠鏡で見たか、双眼鏡で見たのかを確かめておけばよかったと後悔しています。御一笑に付していただければ"幸いです。この考えが成り立つならば、スペースシャトルのオーロラ実験にもらせん形(コイル状)が見られるのではないのでしょうか。

また、今だから言えますが、信大でも、奇妙な流星を記録しているのですが、大部分は名けのわからないものとして、データもろくにとられず、記録も散逸してしまっています。私が信大に長く留ったのもこの記録を残しておきたかったからです。

重野好彦様

田口泰雄

PS9 PS 私の個人的都合により4月から1年間、観測ができません。後のことは工学部の佐藤君にまかせ、土55の寓家に戻ります。

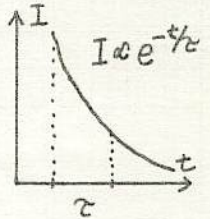
化学反応としての永続痕

32nd M.S.S. 1984. 7/22

大西 洋

1. 流星痕と流星痕たらしめる要因

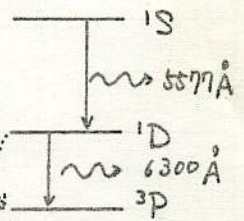
流星本体: $\sim 10^4 K$ のプラズマによる. 原子あるいはイオンの許容遷移. したがって, 寿命では $\mu s \sim ns$ で非常に短い.



1) わけの "短痕": ms 程度の寿命? 弱い永続痕との識別の問題. 酸素原子 (OI) による禁制線か?

O I: $\lambda = 5577 \text{ \AA}$, $\tau = 0.74 \text{ sec}$ (緑)

$\lambda = 6300 \text{ \AA}$, $\tau = 110 \text{ sec}$ (赤) X



τ が長いと, 今度は衝突による消滅・消光が効く.

他の原子との衝突によりエネルギー

しかし, 大体は指数関数型強度減衰とするだろう. 特に, 光としてエネルギーを出さない

永続痕: 非常に長寿命 $\sim \text{hour}$. 単純な指数関数型減衰としてい

なり. どのようにして光るのか??

2. 励起化学種の供給

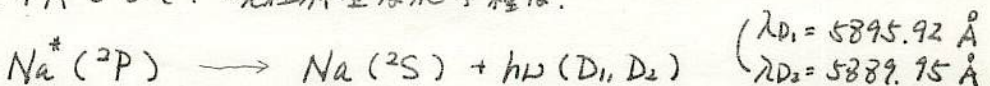
おしなべて, 発光は高励起化学種 A^* から, より低い励起種 A の遷移によって起こる.



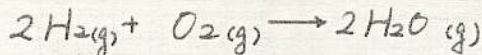
ゆえに, 効率のよい (消光されにくく) 発光を継続して行うためには, 流星本体が通過した後に何らかの方法で A^* が供給されること望ましい. \longrightarrow 化学反応の必要性

永続痕の A^* として, 現在有望な化学種は,

(高橋 文雄 1983)*



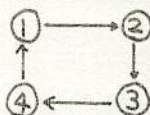
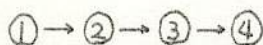
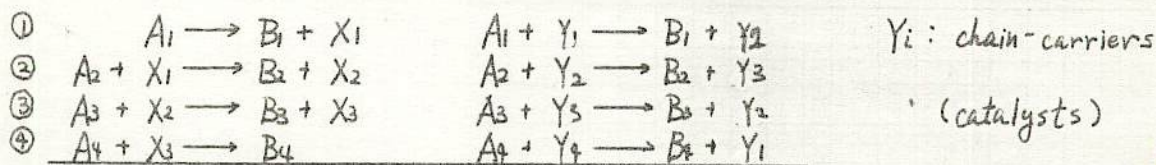
3. 素反応のくみだて.



例之ば. このような一見単純な反応でも. 数百の素反応が互いに関係して進行しており. 現在でも完全には解明されてはいない.

典型的なくみだて方の例として次のようなものがある.

i) Open-Sequences ii) Closed-Sequences = chain reaction



① ~ ④ のどこかで発光できる励起種ができて. 永続痕となっていく?

i) の場合. 流星体からの供給物質 (impact) は A₁ で. 励起種の収率は A₁ に対して 1 以下.

ii) の場合には. 条件が適当ならば収率は非常に大きくなる可能性がある. しかも. 流星体からの供給物質が ~~A₁~~ Y₁ であれば. 再生によって反応の継続時間も長くなるはずである. (定量的検討は次回)

4. 拡散の影響

i), ii) のどちらにせよ. 反応の進行には複数の化学種の衝突を必要とするから. 流星プラズマの密度に大きく影響される.

しかし. 長次 (1980)** によれば. プラズマ密度の減少は非常に速く. MS のうすに. 大気密度と同程度となってしまう.

観測機器

写真、TV、グレーティング、液晶板、四連など、いずれもアマチュアらしい考え方で、より良い観測をめざしています。中にはとうとうこれを発売する人まで出ています。

自動流星カメラ用 インターバルタイマーの製作

第6回 流星物理セミナー 1979.11.11

明治大学天文部 OB 重野 好孝

仕様 動作 時間間隔 ΔT だけスイッチが ON となり、 $\Delta T'$ だけスイッチが OFF となる動作が繰り返される装置。 ΔT : 4m59s / 9m59s / 19m59s / 29m59s。 $\Delta T'$: 全ての ΔT に対して一律に 1s。

出力 スwitch が ON のとき出力端子間の電圧は、AC 100V 及び DC 6V。

精度 日差: 0.1 ~ 0.2 s。

使用目的 24mm 広角レンズを使用し火球のパトロール、輻射点の計算等。

ミルタのセンサースイッチとは

本装置に 自動フィルム巻き上げ装置のあるカメラであること。

適したカメラ シャッターは電子式のものがよい。電子式シャッターは電気接点の ON/OFF によってシャッターを動作させているので、その電気接点をインターバルタイマーで制御してやればよい。電気接点が外から操作できない構造のカメラの場合は、シャッター用の電池の代りにインターバルタイマーで制御された電源を使えばよい。(著者はこの方法を使用している)

ここで機種によってはシャッターが B (バルブ) のときだけ機械式になるものがある。通常の B 撮影 (例えば屋野写真撮影など) のときには、電子式シャッターではどんどん電気を消費してしまい、ついには電池が切れてシャッターが閉じてしまうことになる。これを改善するために上記の機構になっているのだが、本目的に使用する場合には大変都合が悪い。

機械式シャッターのカメラの場合はモータードライブに電気接点があり、しかも B が使えるものがよい。

機械式シャッターでシャッターボタン以外では動作しないカメラの場合は、シャッターボタンを押してくれる電気仕掛の装置を作らねばならない。

この構造は?

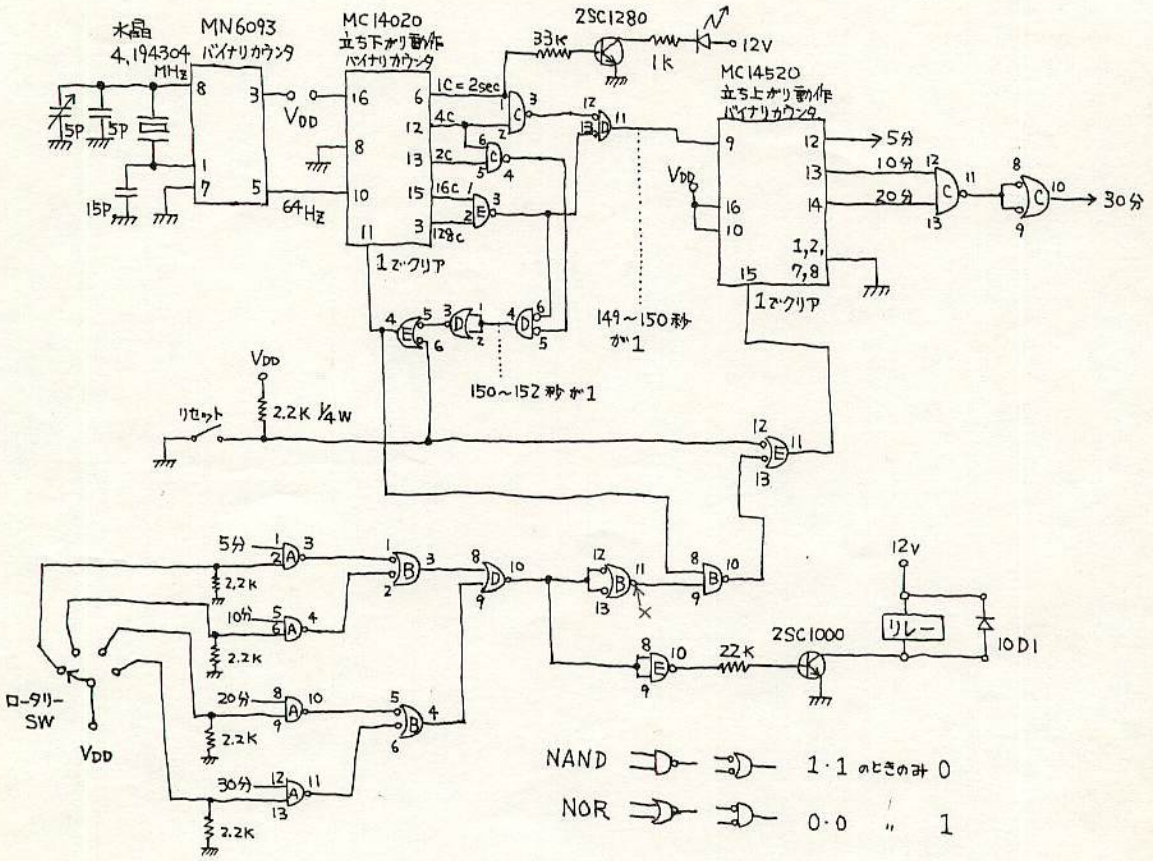
参考文献 デジタル回路設計スタディ、CQ出版社

費用 15000円程度

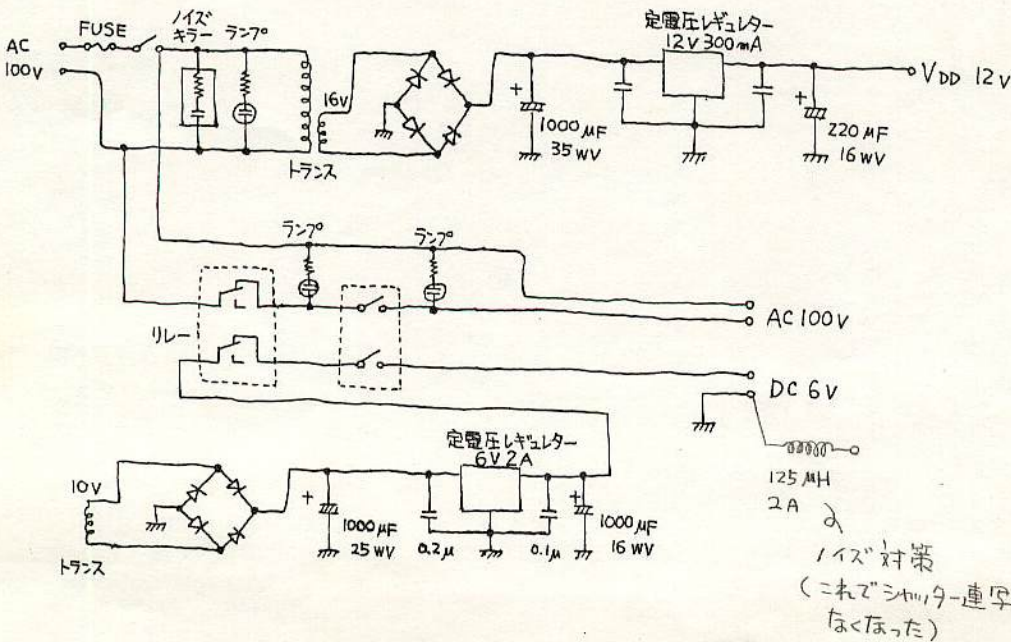
スイッチが ON になったときシャッターが連続して2~3回連写してしまうが対策は無いものか、

インターバルタイマー 全回路

タイマー部回路



電源部回路



ホログラフィック・グレーティング*1 <原理・作り方>

1. はじめに

流星のスペクトル写真をとるには「グレーティング」かプリズムが必要ですが、市販品はいまだ高価です。そこで、市販と比べれば「効率の点で不利ですが」、大学程の設備のある所では自由な仕様のものが手軽に作れるホログラフィック・グレーティングに目をつけ、流星用に実際に作ってみました。

2. ホログラフィック・グレーティング

市販のグレーティングは平面ガラス板にダイヤモンド・カッターで平行縞を1mm当り100~3000本も切ったものから作られたプリカですが、作るのが大変で非常に高価なものです。しかし原理は簡単です(図1)

10x10cmで3000本/mm aものは2~3週間かかる。

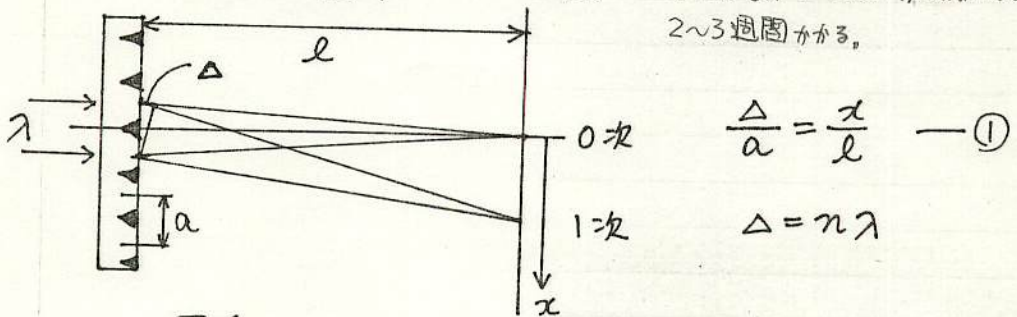
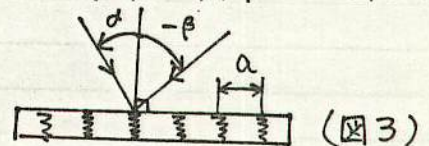
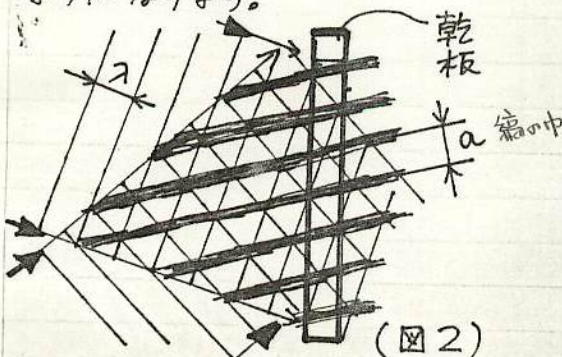


図1

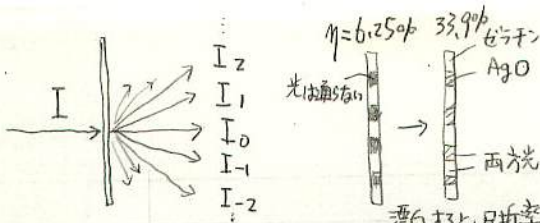
ここで「ホログラフィック・グレーティング」というのは、この平行縞を切るかわりに、レーザー光という干渉性の良い光で干渉縞を作り、それを高分解能の乾板(3000本/mm)に記録したものです。作り方は非常に簡単で図2のようになります。



$$a = \frac{\lambda}{\sin\alpha - \sin\beta}$$

λ はレーザーの波長。

*1ホログラフィック・グレーティングのホログラフィックは立体写真で有名なホログラフィーから来ています。



馬込 伸貴 7-13-80

3. 回折効率

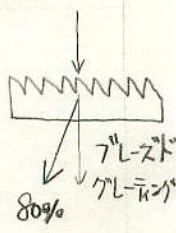
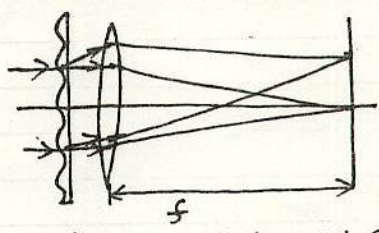
$$\eta = \frac{I_1}{I} \times 100\%$$

グレーティングの良さを評価する値として入射光強度に対する1次回折光強度の比をとります。ホログラフィックですと格子の形が \sin になるため、理論最大値があり、振幅型で 6.25%、位相型で 33.9%です。一方、機械切りではカッターだけで 80% も可能です。*2

ただ 偏光を入れたら

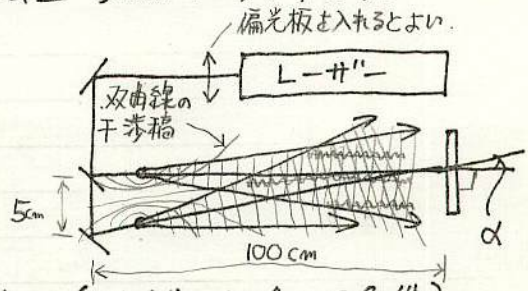
4. グレーティングの設計

35mm カメラに 50mm のレンズを付け、流星が中心に飛んだ時土埃が全部撮影できることを考えます。フィルムの短い方が 24mm ですので①式から $l=f$ として、 $f \times \frac{\lambda}{a} < x = 12 \text{ mm}$, $\lambda_{\text{max}} = 800 \text{ nm}$ より、 $a = 3.33 \mu$, 300本/mm となります。余裕をとり $a = 4 \mu$, 250本/mm にしました。これより、400nm~800nm がフィルム上 5mm にうつります。



5. グレーティングの製作

レーザーは He-Ne で $\lambda = 632.8 \text{ nm}$
 乾板は アグファ 10E75
 光学系のセッティングは $\alpha = 9.1^\circ$, $\beta = 0^\circ$ にとります。(これが $a = 4 \mu$ の条件)



現像は D-19, 20°C, 5分, あとは普通と同じで、水洗後、フェリシアニ化カリウム (25g/l) で漂白。(現像で回折効率も変る) 注意としては、光路長, 偏光, 振動, 乾板のうらおそ など。分けた2光線が乾板までの距離を同じにする。

6. おわりに

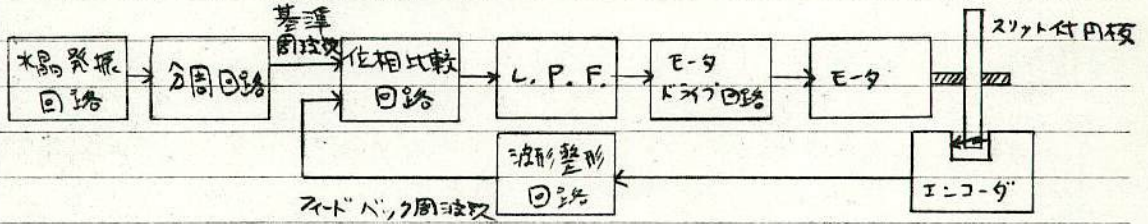
ホログラフィック・グレーティングは設計に近い 252本/mm で、25% の回折効率のものが作れました。これは大学の設備があれば作ることができまので、在学中の人はぜひ研究の対象として良いものをつくり、多くのスペクトル・カメラを動かしてほしいものです。

*2. ホログラフィックでもブレースド・グレーティングは可能ですが大変むずかしいものです。

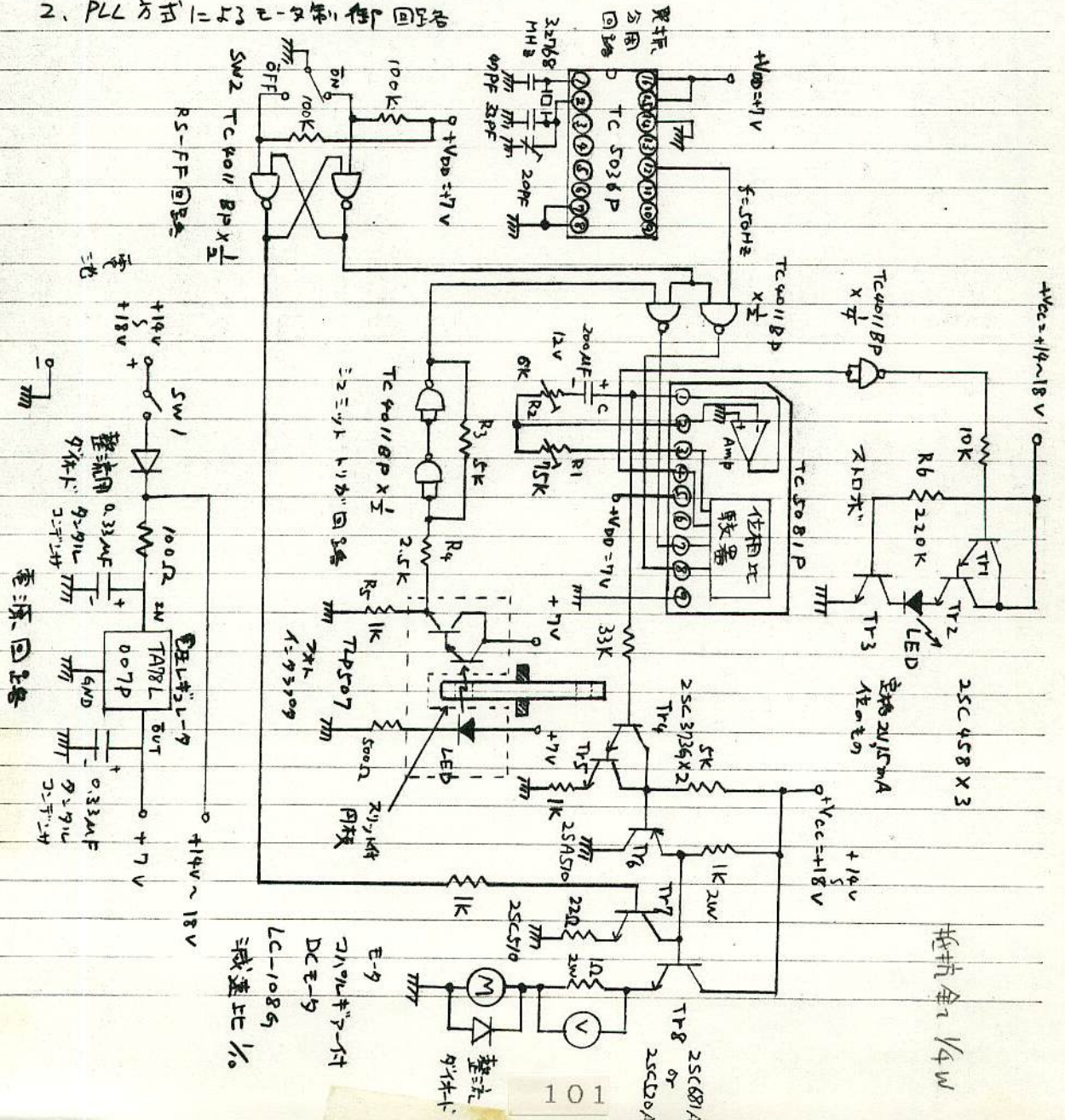
PLL方式によるE-タ制御回路の回線図、シャッタへの利用

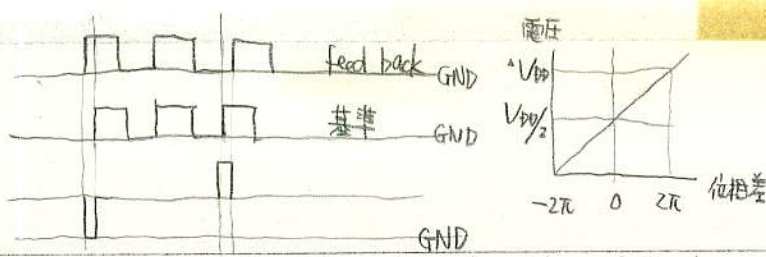
加藤 隆之

1. PLL方式によるE-タ制御回路のブロック図



2. PLL方式によるE-タ制御回路各

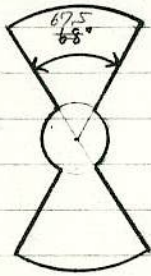




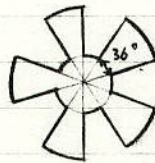
No. _____

- Remark
- ① L.P.F. の R_1, R_2, C はエータによる調整が必要
 - ② 発振回路はトランジスタを調整して目的の基準周波数が得られるようにする
 - ③ フォトインタラプタのフォトトランジスタの部分の負荷抵抗 R_5 の値は、基準周波数が 50 Hz の時のもので、基準周波数による調整が必要(周波数が高くなる程、抵抗値は小さくする必要がある)
 - ④ ストロブの回路の抵抗 R_6 は、LED に流れる電流を制限するため LED の定格による調整が必要
 - ⑤ T_8 は、エータをドライブする Power Tr. で、エータの直流抵抗による、変える必要がある。

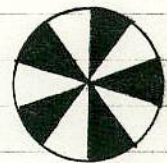
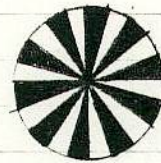
3. シャッター板、スリット付円板、ストロボスコープ



シャッター板



スリット付
円板



(i) 蛍光灯と兼用 (ii) ストロブ専用
ストロボスコープ

シャッター板、スリット付円板、ストロボスコープは上図に示すとおりである。このスリットを用いるとエータの回転数は、10r.p.s. となる。上図のシャッター板と組み合わせると、開閉比 = 5:3 となり、切断数/sec. = 20 となる。切断数/sec. を変える方法としては、(i) シャッター板の羽根の枚数を変える、(ii) スリットの枚数を変える (iii) 基準周波数を変える 等が考えられるが、(ii), (iii) の場合は、回路に於て調整を要する必要がある。System 全体の調整が十分に行なわれていれば、回転シャッターの回転率は、1回転=1分±数百分の1回転程度となると思われ、回転シャッターとしては、十分な精度を有しているといえる。回転シャッターの精度を上げる方法として、(i) スリット付円板の精度を上げる、(ii) スリット数を増加させる 等が考えられるが、(i) は、特に重要である。ストロボスコープとしては上図に示すような2種類のものを考えることができた。いずれもストロボ光のみ使用する場合は、基準周波数を変えても使用できるが、その場合、(i) のストロボスコープは、蛍光灯と兼用でなく、上図よりかきよりにストロボスコープの黒の部分とスリットの部分のパターンは、(ii) の場合は、一致し、(i) の場合は、スリット数の2倍となる。スリット数を変えた場合は、ストロボスコープのパターンも変える必要がある。この場合も、上図のように (ii) のタイプのストロボスコープでは、スリットと一致させ (i) のタイプでは、スリットの2倍の黒い部分になるようにすればよい。

流星の写真観測には回転シャッターが不可欠です。しかしその製作には手間がかかるために、あまり普及していません。

そこでまとめて製作し、販売することにしました。そのため四連カメラの加工を引き受けてくれる板金屋さんを捜していましたが、ようやく業者を見つけることができました。

夏のPerに間合うように四連カメラを受注生産したいと思います。仕様及び注文方法は以下の通りです。

[仕様]

適用カメラ、レンズ：35mmフィルムカメラ、50mm標準レンズ

プリズム使用：高橋プリズム（厚さ4cm）を付けた状態で取り付けられる様に、
φ6.5の穴が5つ開けてあります。（回転シャッターの軸受部分をはずし、羽根を裏返しにして軸受を取り付ければ、さらに2cm浮かすことができます）

取り付け架台：高橋システム架台、五藤マークX（詳しくは設計図参照）

チョッパー：2枚羽根、50,60切断/秒(50,60Hzに同期)

モーター：ヒステリシス・シクロトラス・モーター(商用電源AC100V(50,60Hz)を使用)

出力3W、電流0.2A、トルク200gcm、ギヤー無し(ダイレクト・ドライブ)

オリエンタルモーター社製、型番2HK3A-A、価格6,700円

リアクション・シクロトラス・モーター(型番2SK4GN-A(4W))にギヤーヘッドを付ければ、
低速化できます。（ねじ穴の位置は、2HK3A-Aと変わりません）

板金加工：長瀬工業株式会社（横浜市港北区）

その他：カメラ取り付け用1/4インチねじが付属として付いています。

完成品ですので、購入してすぐ使用できます。

お届け日：1988年8月8日（ただし7月末までに注文の方）。売れ残った場合には、在庫販売をします。

注意：回転シャッターが高速で回ります。十分注意して取り扱って下さい。

備考：注文が少ないときには、板金加工にイニシャルコストがかかるため、
製造中止もしくは値上げする場合があります。

[注文方法]

下記の住所まで直接送金して下さるか、または銀行に振り込んで下さい。銀行振込の場合は、別途ハガキ等で注文の旨をご連絡下さい。入金をもって注文とします。

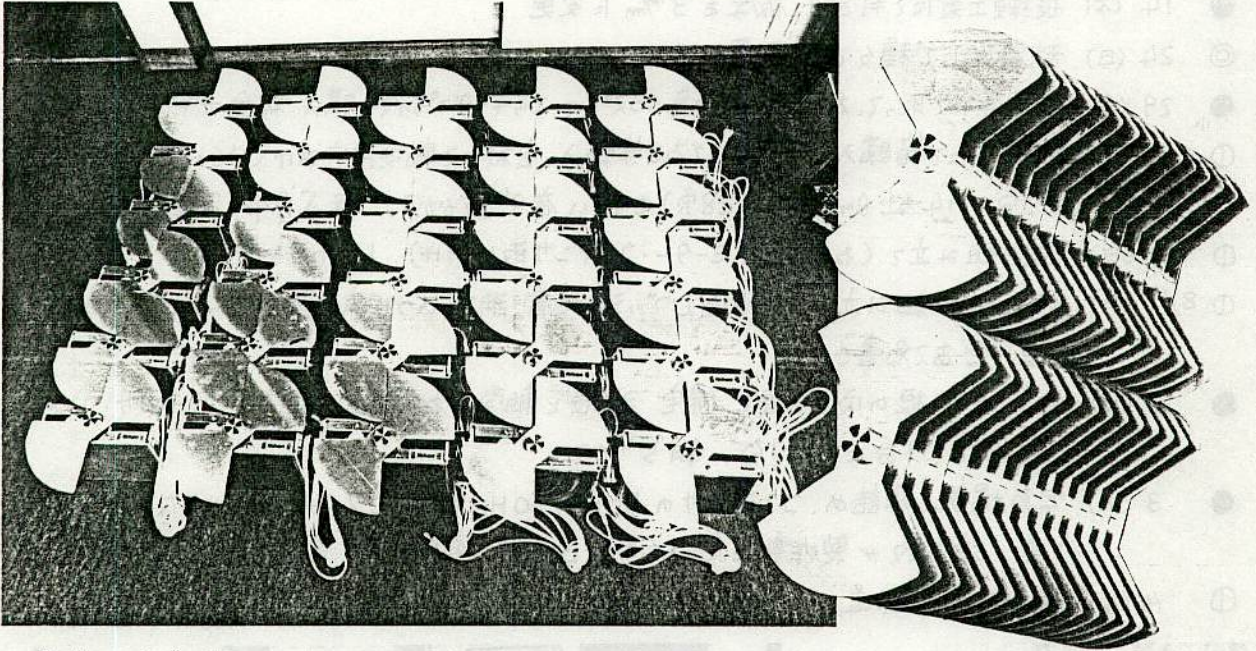
価格 20,000円 + 送料 1,000円

銀行口座：三菱銀行元住吉支店 普通預金 254-4255816

—— 四連カメラ製作記 ——

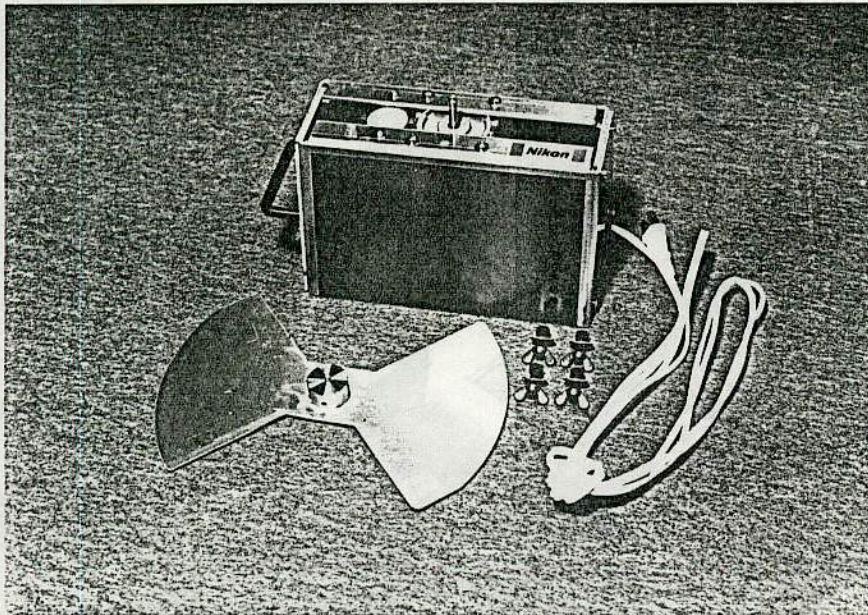
重野好孝

昨年の「DC-AC インバータ」に引き続き、夏休み工作シリーズの第2段として今年は、「四連カメラ」の製作を行いました。以下は四連カメラ製作の記録です。



「購入全部品」

M3 ボルト 10mm 100ヶ、ナット 100ヶ、平座金 200ヶ、バネ座金 100ヶ、M4 ボルト 8mm 150ヶ、15mm 420ヶ、20mm 120ヶ、ナット 420ヶ、平座金 1240ヶ、バネ座金 360ヶ、六角穴付き止ねじ 8mm 30ヶ、六角棒スパナ(ハックスキー) 30本、M5 平座金 120ヶ、1/4インチ六角穴付きボルト 20mm 200ヶ、蝶ナット 200ヶ、平座金 400ヶ、M8 蝶ナット 60ヶ、平座金 60ヶ、100Vプラグ付きコード白 3m 30本、φ10 コード通し



グッシユ 30ヶ、軸受用アルミ7まみ φ29 穴径φ6 30ヶ、取てアルミ黒幅 80mm M4 ねじ付き 30本、

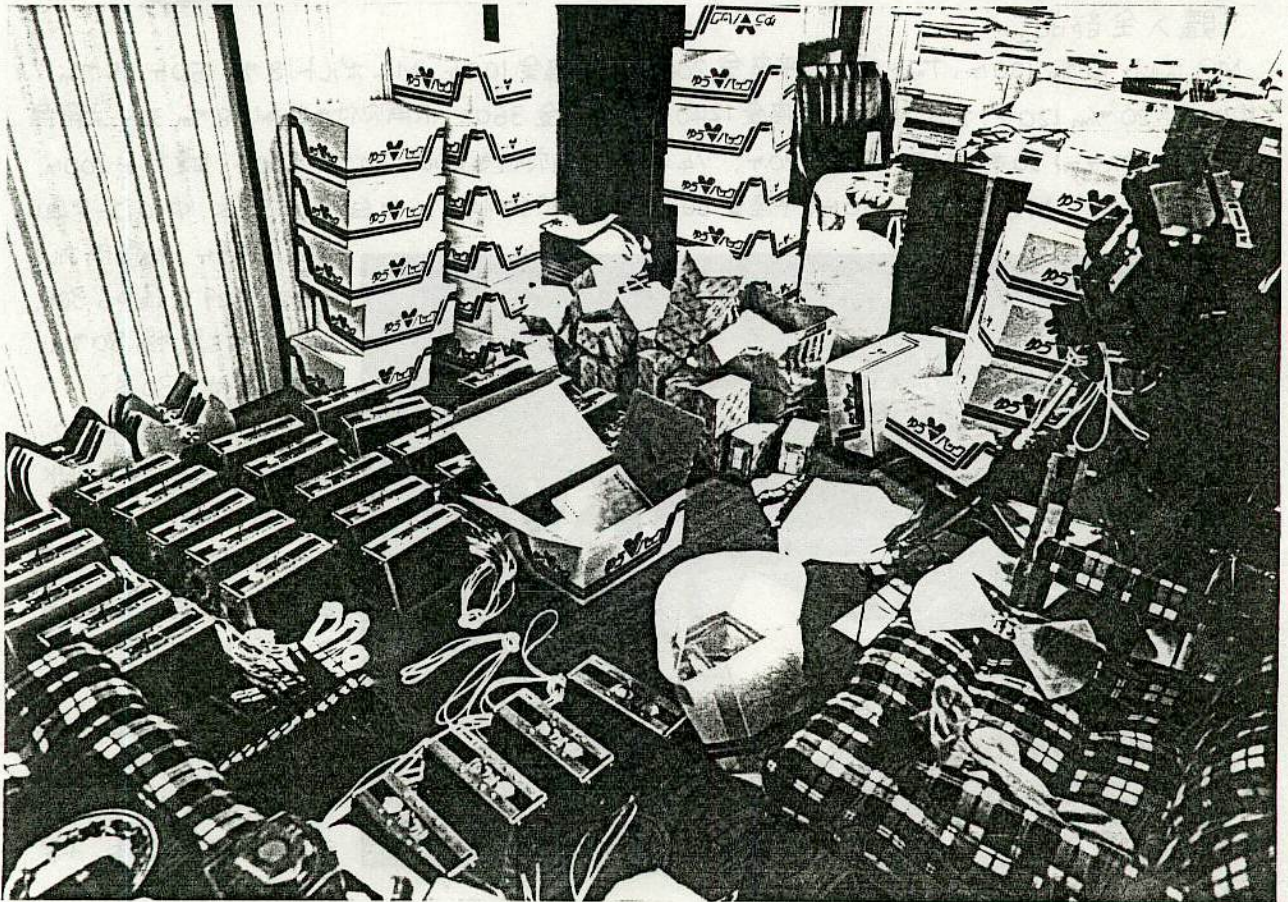
オリエンタル・ヒステリシス・シンクロタス・モーター・2HK 3A-A 30台

アルミ板 ボタキ- 3mm厚 2ピース 30台、回転シャッター アルミ 1mm厚 2枚羽根 30枚

その他、φ3.2ドリル、φ6.0ドリル、M4タッブセット、つや消し黒スプレー2本、エッチングプライマー2本、ドライバー ……

- ① 6/15 (木) 板金加工を長瀬工業に決定
- ② 26 (日) 「四連カメラ」パンフレット作成
- ③ 7/2 (土) 有限要素法による構造解析を行い、板厚2mmではたわみが大きいことがある
- ④ 5 (火) スカイウォーカー誌に広告掲載
- ⑤ 6 (水) マークX用に取り付け部分改良
- ⑥ 14 (木) 長瀬工業にて打合せ、板厚を3mmに変更
- ⑦ 24 (日) 秋葉原にて種々の部品買い出し
- ⑧ 29 (金) 秋葉原にて取っねじ、渋谷東急インズにてエッチングプライマー購入、板金ポニー入手
- ⑨ 30 (土) 郵便局にて箱購入、秋葉原にてねじ等購入、会社にて軸受用穴あけ(φ6×32穴、φ3.2×128穴、M4ねじタップ立て×128穴)を行い夜9時までかかる、夜8Aqr 早真観劇
- ⑩ 31 (日) 四連組み立て(ねじ止め、モーター・コンデンサ取り付け) 1台につき15分
- ⑪ 8/1 (月) 残り10台組み立て、コード通し、グリス接着、羽根のつや消し黒スプレー(エッチング後)、郵便小包おて名書き
- ⑫ 2 (火) 会社で羽根の穴あけ直し、帰宅 羽根と軸受のねじ止め、モーター・コンデンサ・コードのインダ付け、1台につき7分、朝5時まで
- ⑬ 3 (水) 早真撮影、箱詰め、コンデンサの50Hz/60Hz切換えスイッチがじやまなので、取り除き作業、注文数が製作数を越えたため、送り先の変更作業、朝4時まで
- ⑭ 4 (木) 箱の封印、郵送 …………… 9~10月に増産決定!!

1988.9.2.金 終



流星の出現時刻の撮影

関戸信雄、渡辺朝雄

1・はじめに

流星の写真観測において最も大きな問題点は、流星の出現時刻の観測だけは眼視等に頼らざるを得ず、観測精度に限界が有るばかりでなく、観測者の疲労も大変大きいと言うことです。この問題を解決するため、特殊な符号に従って開閉する電子シャッターを用いて流星の写真を撮影することにより、流星の軌跡に直接、時刻を示す符号を写し込む方式を開発しました。これにより、流星の発光点や、消滅点の時刻を0・1秒以下の確度で求めることも可能です。

2・出現時刻測定の重要性

流星の写真を撮影することにより、その流星の見かけの出現位置が正確に判ります。また、流星の見かけの明るさ（等級）も判ります。互いに離れた2か所以上の地点で同じ流星を撮影すれば、その流星の真の出現位置が判ります。また、写真撮影に際し、回転シャッターをカメラレンズの前で回転させながら撮影すれば、フィルム上の流星の軌跡は等速で切断され、これにより流星の見かけの落下速度が判ります。実際に回転シャッターを用いて流星の写真を撮影した例を写真1に示します。2か所以上の地点で同時に同じ流星を撮影する場合、いずれか1か所以上の地点で回転シャッターを用いることにより、その流星の真の出現位置と共に真の落下速度を求めることが出来ます。

もし、その流星の出現時刻が判ったとすると、その流星の日心軌道が判り、その流星の基になった粒子が太陽系内をどのような軌道を描いて旅してきたかが判り、流星の研究に大変役に立つ情報を提供してくれます。我々の地球は毎秒約30 Kmの高速で太陽の回りを公転しています。一方の流星物質は地球とは別の軌道を描いて太陽の回りを巡っていますので、出現時刻の測定が1秒違うと軌道の計算誤差は何十Kmにもなってしまいます。この為、流星の観測において、流星の出現時刻の観測がきわめて重要であるにもかかわらず、よい観測法がなく、出現時刻の観測だけは眼視に頼ってきたのが現状です（タイムマークを入れる方法も結局は眼視によって行っていることとなります。）。

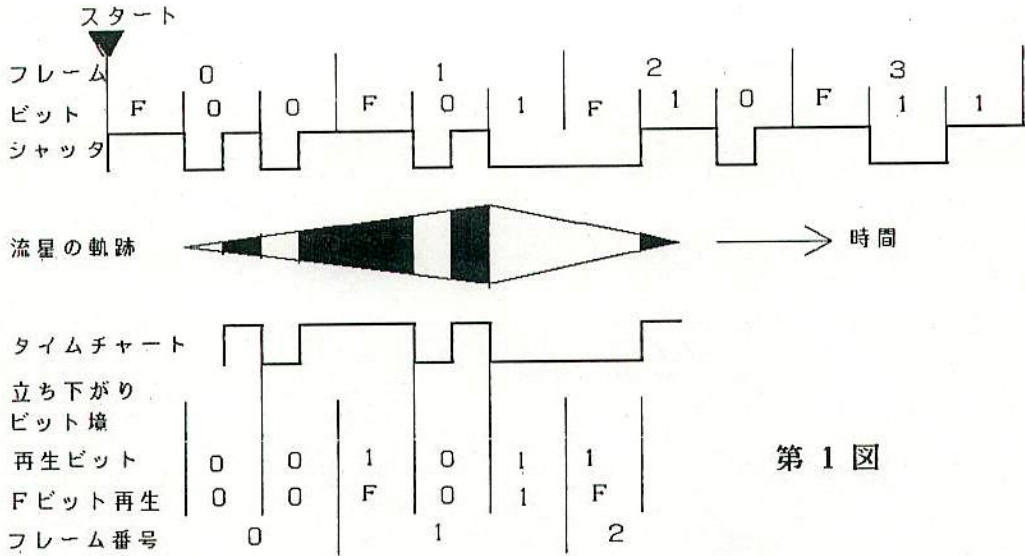
3・出現時刻の撮影

回転シャッターを用いて流星を撮影するとフィルム上の流星の軌跡に流星の見かけの落下速度が写し込まれることはすでに述べた通りです。この場合は、流星の軌跡が時間的に等間隔に切断されています。

回転シャッター方式に代わり、時刻に関係した何等かの符号を流星の軌跡に書き込めば、流星の出現時刻を知ることが出来るはずで、これを実現したものを写真2に示します。これは、流星の代わりに遠方にある光点を赤道儀を高速で回転しながら、カメラレンズの前においた液晶からなる電子シャッターを特殊な符号に従って開閉しながら撮影したものです。詳しい測定原理については後ほど説明しますが、この写真から光点が矢印で示した点を25h40m19.1sに通過したことが正確に判ります。また、回転シャッターを用いた場合と同様に光点の移動速度（流星の落下速度）も判ります。この場合、赤道儀を手で回したため大きな回転むらを生じているのが明確に判ります。

4・測定原理

まず、符号の作り方を説明します。第1図を見てください。電子シャッターを図のシャッターと書かれた符号に従って開閉します。図の上の部分がシャッターが開いている時を、また下の部分がシャッターが閉じている時を示します。これはデジタル伝送で用いられるCMI符号と言うものを応用したものです。



第 1 図

この符号列は、図のビットと書かれた、時間的に等間隔に区切られた部分の組合せから出来ています。これらの各ビットは後ほど説明するように、0、1又はフレーム (F) の3種類の内の1つに該当します。これらのビットがある数だけまとまってフレームを構成します。図の場合、説明を判り易くするため、1フレームが3ビットからなる場合を示します。

フレームビットにより各フレームの境界が示されます。各フレーム中のフレームビットを除く残りのビット (この場合は2ビット) により2進数でそのフレームの番号、即ちフレーム番号を示します。フレーム番号は最初 (装置のスタートボタンを押したとき) が0で、以後1つつ増加します。フレーム番号は、0は00、1は01、2は10そして3は11のように示されます。この結果、フレーム番号はスタートからの経過時間に比例することが判ります。また、フレーム内の各ビットの区切りは更に細かい時刻の区切りを示します。

さて、これら0、1及びフレームの3種のビットは次のようにして区別されます。

ビット0は、ビットの中間点で立ち上がります (シャッターが開く)。

ビット1は、自分より1つ前のビット1に対し極性を反転します。即ち、1つ前のビット1がシャッター開なら自分は閉、1つ前がシャッター閉なら開の様になります。この場合、1つ前のビット1と自分との間に介在するビット0には関係しません。

フレームビットFは、それ自身ビット1ですが、通常のビット1と異なり、自分より1つ前のビット1と同極性です。これによって、ビット1とフレームビットとが区別されます。

さて、この様な符号にしたがって開閉する電子シャッターを用いて流星を撮影中に、たまたま図示の時刻に流星が出現したとします。すると、シャッターが開いている間だけ、つまり図の塗りつぶされた部分のみ、流星の軌跡がフィルムに写ります (流星の軌跡)。

この様にして撮影された流星の軌跡は、軌跡が1フレーム以上写っていれば、次のようにして解析することが出来ます。

図のタイムチャートは流星の軌跡に対応して作られたもので、その流星を撮影したときのシャッターの動きを表しています。

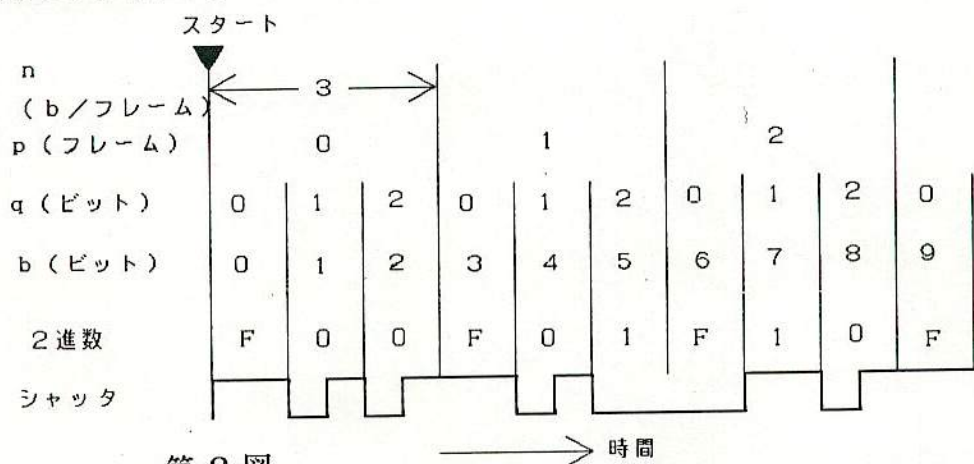
タイムチャートの立ち下がり、即ちシャッターが閉じる瞬間にマークをいれます。これは、前記のビットとビットの境目を示します。なぜならば、ビットの間での変化はビット0の時生ずる立ち上がりのみだからです (立ち下がり)。

立ち下がりのマークから内挿及び外挿によって残りのビットとビットの境界をマークします。後は、各ビットを解析し、0か1か又はフレームビットFかを決定します。

ビットの中央で立ち上がっているものはビット0です。残りは一応ビット1とします。ビット1の内、自分と1つ前のビット1と同極性のものをフレームビットFとします。また、自分より1つ前のビット1は撮影されていないが、1フレームのビット数（この場合は3ビット）から言ってフレームの先頭にあるものもフレームビットとします。

最後に、各フレームの先頭にあるフレームビットに続く残りのビット列（この場合は2ビット）からそのフレームのフレーム番号を読み取ります。ただし、フレームビットに続く1フレームが一部しか撮影されていない場合は、代わりに前のフレームの終わりの部分のビット列を使います。ただし、前のフレームのフレーム番号は自分のフレーム番号より1つ小さいことに注意する必要があります。

これで、流星の軌跡の各部分が、シャッターをスタートさせてから何秒経過してから撮影されたものであるかが判ります。



第2図

次に、フレーム番号とフレーム内の各ビットの位置から、シャッターをスタートさせてからの経過時間を求める方法を説明します。第2図を見てください。図はこれまでの説明と同様に1フレームが3ビットからなる場合につき、各部の経過時間を求めるための説明図です。

nは1フレーム当りのビット数 (nビット/フレーム)、pはフレーム番号、qは各フレーム内での各ビットのビット番号、bは各ビットがスタートから数えて何ビット目にあるかを示す数字です。ビットは0から順に1、2、・・・と数えます。

すると、スタートから第pフレームの第qビット目の始まりはスタートから

$$b = p * n + q \quad \text{ビット目にあります。}$$

各ビットの繰り返し速度をf (ビット/秒) とすると、bビット目の始まりは、シャッターのスタートから b/f 秒経過しています。

フィルム上の軌跡が解析できるためには流星の軌跡が1フレーム以上撮影される必要がありますが、言い替えると、1フレームの継続時間が流星の発光時間より短いことを要します。即ち、流星の発光時間をt (秒) とすると

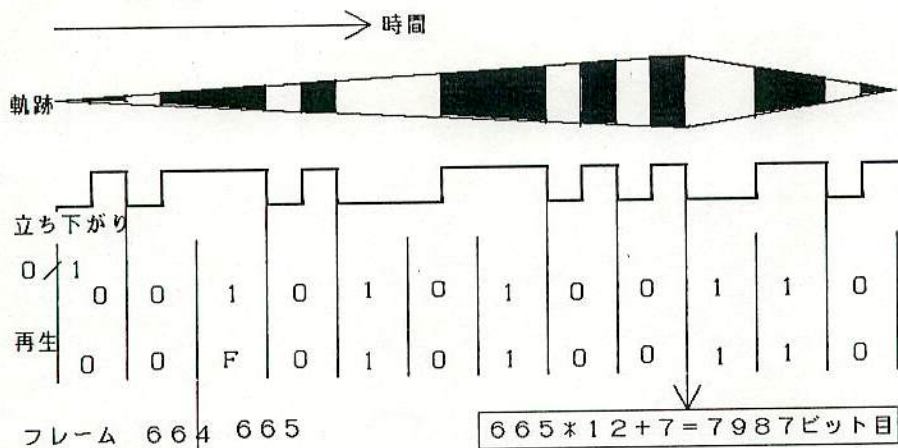
$$t \geq n/f \quad \text{でなければなりません。}$$

また、カメラのシャッターを開けている間 (露出時間内) に同じフレーム番号が2度以上現れると解析を行う上で混乱を生じますので、露出時間をT (秒) として

$$T = \lfloor n / f * 2^{n-1} \rfloor$$

を満足するようになければなりません。

以上のように t 及び T の式を満足させる様に f 及び n を定めることにより実際の流星の観測を行うことができます。



第3図

$n = 12$ の例

第3図は $n = 12$ ビットの場合を示します。前に説明した方法により解析を行い0、1及びFを再生させます。この場合自分より1つ前のビット1と同極性のビット1は写っていませんが、全部で12ビット写っている内の最も前にあるビット1をフレームビットとします。ここでは1フレームの最後の2ビットが写っていないので前のフレームの最後の2ビットを代わりに用います。この場合前のフレームのビットは00なので、これに1を加え01として自分のフレームの最後に付け加えます。この結果、図の矢印の位置がスタートから7987ビット目の始まりであることが判ります。

詳しい説明は省略しますが、軌跡が1フレームと1ビット以上写っていれば、軌跡を逆向きにたどると矛盾を生じ間違いであることが判ります。

表1 f 及び n の決定と観測対象

No	ビット レート f (b/s)	ビット 数 n (b/fr)	フレー ム t (s/fr)	露出可 時間 T	移動天体の 種類と速度	$f=50\text{mm}$ での フィルム上の寸法	
						mm/ halh bit	mm/ frame
0	・5	12	24	13h39m	見掛 .25d/s の衛星	.22	5.26
1	10	10	1	8h32s	見掛 5d/s の流星	.22	4.37
2	20	11	・55	9m23s	見掛 20d/s の流星	.44	9.72
3	25	12	・48	16m23s	見掛 20d/s の流星	.35	8.46
4	25	17	・68	12h22m	見掛 20d/s の火球	.35	12.10

↑
切斷数/sec
に相当

(温度を 25°C に保てる)

表1にfとnの種類の組合せにより色々な観測対称の撮影に適することが示されています。流星の観測ばかりでなく人工天体の撮影等も行えます。

5・装置の構成

ワンチップ・マイクロコンピュータを用い、内蔵のタイマーによる割り込み処理によって符号を発生させ、液晶からなる電子シャッターを駆動させました。写真3に電子シャッターを取り付けたカメラを、また、写真4に駆動装置を示します。シャッターの透過率は約40パーセントですので高感度フィルムを用いれば流星の撮影を行うことが可能です。

ディップスイッチによってf及びnを変えられる様にし、別に設けたスタートボタンを押してスタート時刻を標準時に同期させます。

また、液晶の動作を正常に保つためと結露の防止を兼ねて、液晶の温度を適温に保つ様、抵抗器とサーミスタを用いマイクロコンピュータにより温度制御を行いました。

6・観測

装置が完成してからまだ日が浅く、まだ本格的な観測のチャンスに恵まれていません。そこで遠方の光点を疑似流星として、赤道儀を高速で回転させながら撮影したものが前に説明した写真2に示すものです。これによって、この方式が流星の出現時刻の撮影に極めて有効であることが示されたと思います。

7・今後の課題

実際の流星の撮影を行い流星の日心軌道の計算を行うことは言うまでも有りません。多数の液晶を並列に接続して用いることは容易なので、4連カメラ等を構成することが可能です。本装置を多数の観測地に設置して観測を行えば、流星の軌道計算の確度を大幅に向上させることが出来ます。特に、希にしか出現しない火球の自動パトロールを行うには強力な武器となるでしょう。

ハードウェア的には、液晶の透過率を向上させることが望ましく、これには偏光板を用いないタイプの液晶を用いるのが良いでしょう。



写真3

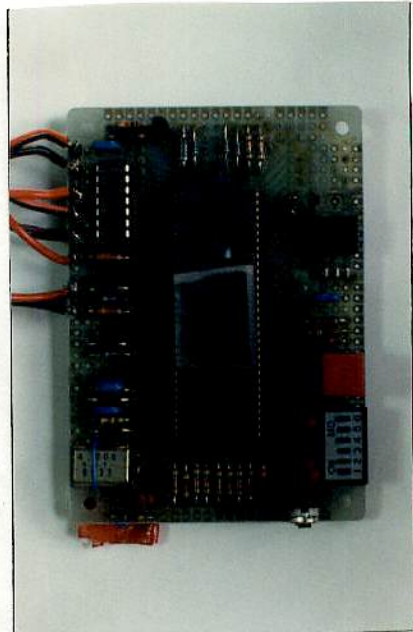


写真4

隕石落下シミュレーション

大気圏に突入した流星物質は、大気の抵抗と地球の引力をうけて落下し、摩擦によって暖められ、蒸発してゆきます。この過程を計算機で再現しようという試みを隕石落下シミュレーションとよびます。はじめは、観測にかかった大火球の経路を延長して隕石の落下地点を推定し隕石を回収することをめざしていましたが、最近ではどのような条件をみたした火球なら隕石として地表まで到達できるのかを判定できるまでに進歩しました。ついには、この手法を応用して火星での流星現象を考える人もでるしまつです。

流星の光度変化

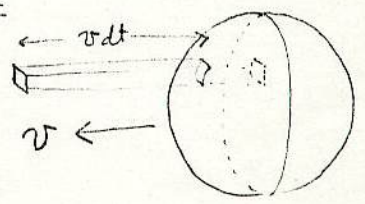
8th MSS

長沢 エ

わかりやすいように、ここでは、流星体は、平均密度 ρ_m の、コンパクトな球として考え、一定の速度 v で直線で進行するものとしておく。(球でない、一般の形に対しては、係数がやや複雑になるが、同様の結果がみちびかれる)
 流星体は、はじめの半径が r_0 で、天頂角 Z で大気に突入、時刻 t_e に高さ h_e の点で消滅したものとす。

(1) 摩擦の深さは、衝突大気の相対運動エネルギーに比例する

流星体の単位断面積に対して、時間 dt のあいだに衝突する大気は、その点の大気密度を ρ とす。



体積: $v dt$, 質量: $\rho v dt$
 運動エネルギー: $\frac{1}{2} \rho v^3 dt$

その間に df の深さだけ摩擦したとすると

$$5 \rho_m df = \frac{1}{2} \Lambda \rho v^3 dt$$

$$df = \frac{\Lambda}{25 \rho_m} \rho v^3 dt = \sigma \rho v^3 dt \dots (1)$$

- ζ : 気化熱 (1g の流星体と気化する熱エネルギー) $\sim 10^8 \sim 10^9 \text{ erg/g}$
- Λ : 熱伝達係数 ~ 0.02
- $\sigma = \frac{\Lambda}{25 \rho_m}$

ここで df の摩擦が流星体の半径を ds だけ減らしたとすると、この時点の球の半径を r とすると、摩擦量を等しいとおくと

$$\pi r^2 df = 4\pi r^2 ds \rightarrow df = 4 ds \dots (2)$$

$$f = 4s \dots (3)$$

半径を s だけ減らさねば、その4倍の摩擦の深さが必要。

(2) 発光のエネルギーは単位時間に摩擦する質量に比例する

dt の間に減少する質量 $-dm$ は、断面積 $F \times df \times \rho_m$ である。

ここで df を書き直すために少し細工をする。(式(1)まで)

まず、大気は静力学的平衡を仮定する \Rightarrow 高さ h のところの密度 ρ は

$$\rho = \rho_0 e^{-\frac{h}{a}} \dots (4)$$

ρ_0 : 地表の大気密度

a : スケールハイト $\sim 6 \sim 8 \text{ km}$

次に h と t の関係を求めて、 df を書き直してみる。

時刻 t_e に高さ h_e であるから 左の図から

$$v(t_e - t) \cos Z = h - h_e \quad \dots (5)$$

$$\begin{cases} -v \cos Z dt = dh \\ v dt = -\sec Z \cdot dh \end{cases} \quad \dots (6)$$

したがって (1) は

$$\begin{aligned} df &= \sigma v^3 \rho_0 e^{-\frac{h}{a}} dt \\ &= -\sigma v^2 \sec Z \rho_0 e^{-\frac{h}{a}} dh \quad \dots (7) \end{aligned}$$

積分して、全部の摩擦の源さ f は

$$f = a \sigma v^2 \sec Z \rho_0 e^{-\frac{h}{a}} \quad \dots (8)$$

(7), (8) および (6) から

$$df = -\frac{1}{a} f dh = \frac{1}{a} f v \cos Z dt \quad \dots (9)$$

ここで 質量減少 dm が書けて、 $F \times df \times P_m$ は

$$-dm = \underbrace{\pi r^2}_{\text{断面積}} \underbrace{P_m}_{\text{密度}} \underbrace{\frac{1}{a} f v \cos Z dt}_{df} = \frac{\pi P_m v \cos Z}{a} r^2 f dt \quad \dots (10)$$

したがって、はじめの半径が r_0 であるから

$$r = r_0 - s = r_0 (1 - x), \quad x = \frac{s}{r_0} \quad \dots (11)$$

また (3) により $f = 4s^2$ (10) 式は 次のようになる

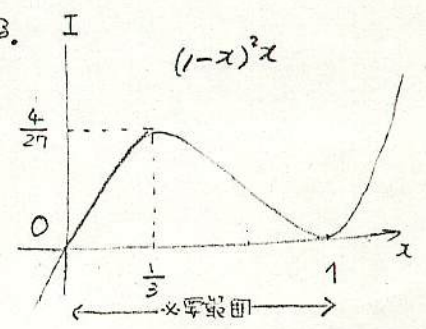
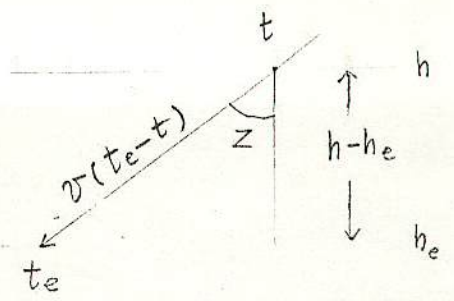
$$-dm = \underbrace{\frac{4\pi P_m v \cos Z}{a} r_0^3}_{\text{定数 } Q \text{ とおす}} (1-x)^2 x dt$$

$$\therefore -\frac{dm}{dt} = Q (1-x)^2 x \quad \dots (12)$$

したがって 発光エネルギー I は $(1-x)^2 x$ に比例して変る。

$$x = \frac{1}{3} \text{ で 極大 } (1-x)x = \frac{4}{27}$$

(半径が $\frac{2}{3}$ になったときで最も明るくなる)



(1), (2) の仮定によって明るさの変化を書くことができた

(11) 式は、半径の減少によって明るさがどう変るかを示す式であり、時間によって (つまり経路に沿って) の変化を示すものではない。次に 時間変化を考えよう

3 光度の時間変化

(11), (3), (8) 式から

$$X = \frac{S}{r_0} = \frac{f}{4r_0} = \frac{a - v^2 \sec^2 Z}{4r_0} \rho_0 e^{-\frac{h}{a}} = P \rho_0 e^{-\frac{h}{a}} = P \rho \quad \dots (13)$$

定数で P とおく

{ 流星半径の減少割合は 大気密度に 比例する
消滅点の大気密度は はじめの半径に 比例する

消滅点では $X = 1$ であるから

$$P \rho_0 e^{-\frac{h_0}{a}} = 1 \quad \dots (14)$$

(15) の関係をつかって X を t の関数に書き直すと

$$X = P \rho_0 e^{-\frac{1}{a} \{ h_0 + v(t_e - t) \cos Z \}} = \underbrace{P \rho_0 e^{-\frac{h_0}{a}}}_1 \cdot e^{-\frac{v \cos Z}{a} (t_e - t)}$$

$$= e^{-\frac{v \cos Z}{a} (t_e - t)}$$

$$= e^{-\alpha (t_e - t)} \quad (15) \quad \left(\alpha = \frac{v \cos Z}{a} \right)$$

$(t_e - t)$ は 消滅より 何秒前であることを示すもので、これを t かつ (2) は

$$\underline{\underline{-\frac{dm}{dt} = Q \{ 1 - e^{-\alpha(t_e - t)} \}^2 e^{-\alpha(t_e - t)}}} \quad \dots (16)$$

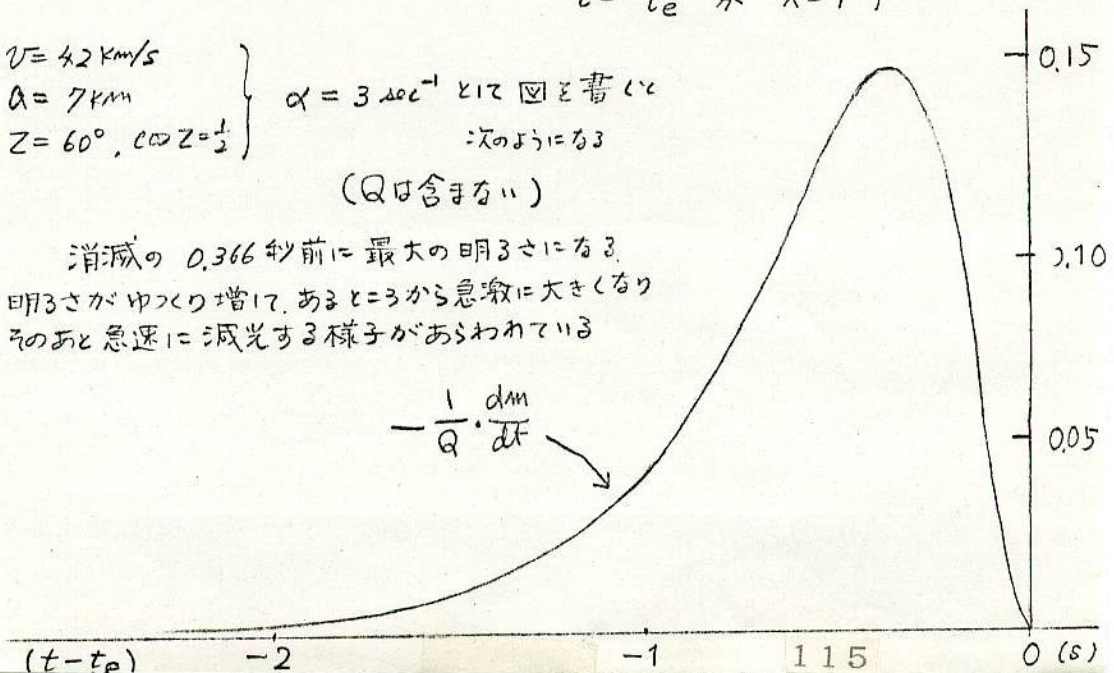
これが 光度の時間変化を示す式である

$$\left. \begin{aligned} t = -\infty & \text{ が } X = 0 \\ t = t_e - \frac{2h_0}{\alpha} & \text{ が } X = \frac{1}{3} \\ t = t_e & \text{ が } X = 1 \end{aligned} \right\} \text{に 対応}$$

$v = 42 \text{ km/s}$
 $a = 7 \text{ km}$
 $Z = 60^\circ, \cos Z = \frac{1}{2}$

$\alpha = 3 \text{ sec}^{-1}$ とて 図を書くと
: 矢のようになる
(Q は含まない)

消滅の 0.366 秒前に 最大の明るさになる。
明るさが やつくり 増して、あるとこから 急激に 大きくなる。
そのあと 急速に 減光する 様子があるわわっている



4 絶対等級への換算

質量減少 $-\frac{dm}{dt}$ と 単位時間の発光エネルギー I との関係は 光力係数 τ を
 使って

$$I = -\frac{v^2}{2} \tau \frac{dm}{dt} \quad \dots (17)$$

と書くことができる。この決定には、いろいろ問題があるが 例は v の函数として
 $\tau = kv \quad \dots (18)$

という形などによく書かれる ($k \sim 10^{-5} \text{sec/km}$)

さらにこの I は 絶対等級 M と次の関係で結びつけられる。

$$M = 24.30 - 2.5 \log I \quad \dots (19)$$

実視等級 m に直すためには、観測点までの距離、大気の吸収などによる影響の
 補正が必要である。

球でない形の流星体の計算をする場合には、質量 m 、平均密度 ρ_m に対して

$$m = \frac{4}{3} \pi r_e^3 \rho_m$$

で定義される等価半径 r_e を考え、これを球の半径 r と同じように扱うことにより
 考えをすすめていくことができる。この場合には形状因数も式の中に入ってくる。

いずれの場合も $\frac{r}{r_0} = X$ を考えると

$1-X \propto$ 半径
 $(1-X)^2 \propto$ 表面積、断面積
 $(1-X)^3 \propto$ 体積、質量
 } となり、取扱いに便利である。

- note
- ここで示した関係は、なめらかな光度変化をする場合に限られる。爆発的に
 flare up する場合は、一応の理論はあるが流星体の剛性率や流星体がこわれた
 ときの大きさなど未知の量が複雑にからみ合い、現実への適用が困難である。
 - 大気の静力学的平衡の仮定による関係 $\rho = \rho_0 e^{-\frac{h}{H}}$ は、現実の大気では成立つ
 てはいない。数値計算をするなら、現実の大気密度構造に合わせて光度変化を求め
 ることは容易である。
 - ここでは流星速度一定の仮定をした。隕石落下のときのように流星体が低空まで達する
 場合には、速度が変化するほか、前面に圧縮された空気層ができるので、条件が異なり
 別の取扱いをしなければならない。群流星でも末端で減速するから、厳密には、理
 論を少し修正する必要がある。
 - 肉眼、写真観測によって得られる光度曲線は、観測者と流星との距離の変化、
 見かけの角速度の変化、などの影響を含むので、ここで示した理論曲線と同じの
 ではない。理論曲線と比較するとき、補正によって、各点での光エネルギー量
 に換算してから比べるべきである。

★★★★★★★★★★★★

隕石落下の力学

東大地震研究所
長沢 工



●長井隕石(山形県)

●はじめに

記憶されている方も多きことであろうが、7月には、空飛ぶ宇宙実験室「スカイラブ」の落下が世の中を騒がせた。落下の直前になるまで、どこに落ちるのかわからず、人びとをはらはらさせたが、結局、インド洋からオーストラリアにかけての地域で落ちて、被害もなく、一件着落したようである。

スカイラブは、もともと人間が打上げたものであるから、落ちるといっても、人間に責任があるのは明らかである。人工衛星の打上げは、いわば、「天に向って唾する」ようなものである。しかし、人間が打上げなくても、天空から地上に落下して人間を驚かせるものがある。それは、いうまでもなく、「隕石」である。

科学博物館の村山定男氏などの研究によると、南極地域での発見を別にして、日本では、今までに、確実なものとして、30個余りの隕石が発見されているという。落下直後に発見されたものもあれば、永い時間が経ってから発見されたものもあり、いつ落ちたかわからないものもある。

科学的な立場からいうと、隕石は、落下後なるべく早く回収して研究することが望ましい。たとえば、隕石の年齢や空間における宇宙線の影響を知るために、そこに含まれる放射性同位元素の量を調べることが行なわれるが、半減期の短い元素は、時間が経つとすぐになくなってしまふので、なるべく早い分析が必要なのである。また、隕石中に含まれる有機物、アミノ酸を調べること

は、生物の発生、地球外生物について考える上で重要なことであるが、このような物質はもともと非常にわずかにしか存在しないため、隕石を永く放置すると、地球上の物質によって汚染され、検出された物質がはじめから隕石に含まれていたかどうか、はっきりしなくなってしまう。研究者が隕石を少しでも早く発見したいと願うのは、このような理由によるものである。

●隕石発見、回収のシステム

落下後、なるべく早く隕石を発見、回収するためには、隕石の落下を監視し、落下地点をなるべく早くつきとめて捜索するシステムが必要である。その目的で、アメリカでは、カメラによる火球監視システムとして、プレーリー・ネットワーク(大平原計画)が組織され、1963年から活動をはじめた。7年後、初めての隕石が1970年1月に発見された。これがロスト・シティ隕石4個で、最初の発見は落下後6日目であった。

プレーリー・ネットワークは、火球観測では多くの成果を挙げたが、隕石発見は上記の1回だけで、1975年に活動を終えた。

一方、カナダでは、少しおくれて1968年から、モーブ(MORP)といわれる火球観測網がつくられ、いまなお観測が続けられている。ここでは、1977年2月に、初めて、イニスフリー隕石を発見している。これは落下後12日目の発見であった。

このほか、チェコスロバキア、東独を中心にした、ヨーロッパ・ネットワークといわれる火球監視システムがあり、イギリス、ソビエトにも独自の火球観測網があるが、いずれもまだ隕石発見には結びついていない。ただ、チェコスロバキアでは、1959年に、流星観測中に得られた写真から、プリブラム隕石を発見した実績をもっている。このときは、落下後13日目に最初の1個を発見している。

隕石落下の経路を写真で観測し、それによって隕石を発見した例は、いまのところこの3例だけであるが、カメラによる火球監視は、隕石発見のためだけでなく、火球の太陽系中の軌道を正確に決め、火球物質の起源を追求する手がかりをも与えるので、その点からの期待も大きい。

残念ながら、日本には、このような常設の火球監視ネットワークはない。しかし、アマチュアの方の写真による天体観測がたいへん盛んであり、中にはかなり組織的に流星の共同観測を実施しているところもあるので、晴夜に、隕石落下を伴うような大火球が出現したとすれば、誰かの観測にかかって、経路写真の撮影される可能性はかなり高いと思われる。これは、1977年5月の小国火球が2か所で写真撮影された例からもわかることであ

る。

日本では、1958年の岡部隕石以来、落下が観測され、発見、回収された隕石はない。この次は、ぜひ、写真観測で経路をとらえ、それにもとづいて落下地点を推定し、発見に結びつけたいものである。

●隕石に働く力

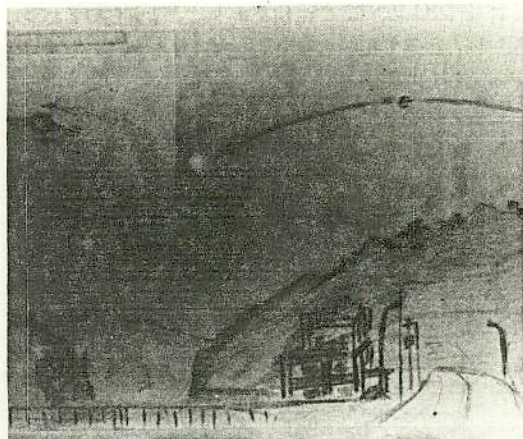
では、現実には大火球が2か所以上で写真撮影されたものでしょう。この場合、隕石の落下地点はすぐに計算できるであろうか。実は、これはそう簡単な問題ではない。そこで、隕石落下の力学についての多少の説明も加えて、落下地点の計算をする概略の筋道をここで述べることにしよう。この方法によると、条件がよければ、35ミリカメラで撮影した火球経路をもとにして、1~2kmぐらいの精度で、落下地点の推定ができるのではないかと思われる。

まず、火球の経路が少なくとも2か所の地点で写真撮影され、その写真のどちらか一方では、回転シャッターによって像が切断されていることを、計算の前提条件にしておこう。

隕石が地表に近づくと、大気抵抗が大きくなって急激に速度が落ち、発光も弱くなって、光跡が写真に写りにくくなる。これには、見かけの高度が低くなり、厚い大気層に光が妨げられることの影響もある。写真で経路がはっきりわかるのは、普通、地上から20kmぐらいの高さまでであろう。それ以下のところが、いわゆるダーク・フライトで、経路のわからない部分である。隕石の落下地点の推定は、要するに、このダーク・フライト部分の実経路を求めていくことにほかならない。

撮影した火球経路がほとんど直線であったとしても、その直線を延長して、地表に達する点を落下地点とすることはできない。高空では、隕石に働く力の大部分が、進行を妨げる向きだけに作用する大気抵抗であり、経路を曲げる力は格段に小さいため、ほぼ直線状の経路となる。しかし、落下の末端部になると、経路を曲げるいろいろな力が大きく作用するようになるので、隕石のコースは大きく曲がりだす。こういうことをいろいろ考え合わせると、落下の道筋を決めるには、隕石に作用する力をなるべく正確に見積り、それによって運動方程式を立て、それを解いていくという学的方法が、遠まわりのようであっても、いちばん確実なのである。

そこで、大気中を通過する隕石に、どんな力が作用するかをまず考えてみよう。この種の力で誰にでもすぐ思いつくものは、「地球の引力」があり、さらに「大気抵抗」がある。この2つの力が隕石に働く力のうちでもっとも大きいものである。そのほか、「風」に影響されることも多くの方は気がつかれるにちがいない。これら



▲小国火球末端の飛行スケッチ（1977年5月10日新潟県荒川町花立駅前で佐藤達雄さんが描く）

の力は説明の必要もあるまい。

そのほか、あまり気づかないかもしれないが、原理的には、「大気の浮力」も隕石には作用する。しかし、この影響は小さいので、無視しても大したことはない。このほか、流体力学で取り扱われている各種の力も隕石に作用するはずである。たとえば、隕石が回転していれば、野球のボールと同じことで、カーブをするように力が働く。平たい形をしていけば、飛行機の翼のように、揚力が生じるかもしれない。このように、隕石の形、進行の向き、回転状態などによって生じる力を総称して、ここでは「流体力学的な力」ということにする。隕石の形も回転も観測ではよくわからないので、この種の力が実際にどのように作用しているかを推測することは、ほとんど不可能である。

隕石に直接作用する外力はほぼこのくらいであるが、このほかにまだ考えなければならない力がある。火球の写真は、通常、大地に固定したカメラで撮影される。そして、その対地経路は、地球に固定した座標系によって計算されることが多い。ところが、地球の自転のため、この座標系は1日に1回の割合で回転している。このように回転する座標系から見ると、運動する物体に対しては、見かけ上の力として、「転向力（コリオリ力）」と「遠心力」が作用することが知られている。したがって、地球に固定した座標系で計算するときには、この2つの力も含めて考えなければならない。もっとも、この力の影響も、そう大きいものではない。

●隕石落下の基礎方程式

こうしたことを頭に入れてから、ここで、隕石落下の運動方程式を作ってみよう。はじめは、わかりやすいように、浮力、風の力は無視し、また、転向力、遠心力も考えないことにする。よくわからない流体力学的な力の

影響も考慮しないことにしよう。地球は重心のまわりに球対称の質量分布があって、引力は重心からの距離だけで決まるものとする。

地球の重心を原点とする直交座標系で、

隕石の位置を (x, y, z)

隕石の速度を (v_x, v_y, v_z)

であらわすことにする、また、

$$\left. \begin{aligned} r^2 &= x^2 + y^2 + z^2 \\ v^2 &= v_x^2 + v_y^2 + v_z^2 \end{aligned} \right\} \dots\dots\dots(1)$$

で、 r, v を定義しておく。さらに隕石の質量を m とする。これで、隕石の運動方程式は次のように書くことができる。

$$\left. \begin{aligned} \dot{v}_x &= -\frac{x}{r^3} GM - \frac{C_D}{2m} S \rho v v_x \\ \dot{v}_y &= -\frac{y}{r^3} GM - \frac{C_D}{2m} S \rho v v_y \\ \dot{v}_z &= -\frac{z}{r^3} GM - \frac{C_D}{2m} S \rho v v_z \\ \dot{x} &= v_x \\ \dot{y} &= v_y \\ \dot{z} &= v_z \end{aligned} \right\} \dots\dots\dots(2)$$

左辺のドットは時間による微分を示している。はじめの3つの式で、右辺の第1項は地球引力による項、第2項は大気抵抗の項である。また、 GM は地心引力定数、 C_D は抵抗係数、 S は進行方向から見た隕石の断面積、 ρ は大気密度である。抵抗係数、地心引力定数の具体的な数値として、 C_D は0.5~1ぐらいであり、また GM は次に示す値である。

$$GM = 3.986005 \times 10^{14} \text{ m}^3 \text{ s}^{-2}$$

隕石が摩擦することなくとんでいくのなら、仮定した質量 m に対して、 C_D と S に適当な値を与え、観測された経路末端付近の任意の位置、速度を初期条件として、上記6個の微分方程式を解けば、隕石落下の経路が得られる。しかし、隕石は途中で摩擦し、質量を減らしながら進行するのが通常であるので、その関係を与える方程式がもうひとつ必要である。これは普通次の形に書かれる。

$$\dot{m} = -\frac{A S \rho V^3}{2 c} \dots\dots\dots(3)$$

c は単位質量の隕石を気化させるのに必要な気化熱、 A は隕石が失っていく運動エネルギーのうち、隕石物質の気化に使われた割合で、熱輸達係数という。

c, A などの値を見積るのはむずかしいが、ごく大きっぱな値をあげると、石質隕石で、

$$c = 10^{10} \sim 10^{11} \text{ ergs. g}^{-1}$$

$$A = 0.02 \sim 0.05$$

ぐらいである。

この、(2)、(3)の7個の微分方程式を、火球経路末端の

初期条件を入れて同時に解くことにより、そのあとの時々刻々の隕石の位置、速度、質量がきまり、そのコースの地表との交点として隕石の落下位置が決まる。これらの方程式を解析的に解くことは困難なので、数値的に解くのが普通である。たとえば、ルンゲ・クッタ法とか、ミルン法などを使って、適当な時間間隔で積分していけばよい。コンピュータを使えば、この計算はそうでもない。微分方程式の数値解法については、ここでは説明しきれないので、他の適当な書物を参考にしてもらうことにしよう。

●基礎方程式の精密化

前節で述べた基礎方程式に小さい力の項を加えて、もう少し精密化することを考えよう。

(2)、(3)式には、隕石の断面積 S が含まれているが、この実際の値はよくわからない。ただ、隕石の質量が小さくなるにつれて S も小さくなることは推定できる。そこで、計算の便宜から、次の置き替えをする。

$$S = A m^{\frac{2}{3}} \rho_m^{-\frac{2}{3}} \dots\dots\dots(4)$$

この ρ_m は隕石の密度である。この式は、断面積は体積の $\frac{2}{3}$ 乗に比例するという単純な関係を示したもので、この比例係数 A を形状因数という。

形状因数 A は隕石の形によって多少変わるが、全体の大きさが相似的に変化しても変わらず、通常の隕石では、だいたい1~2前後の値なので、これを一定値として扱うことが多い。

転向力、遠心力を考えに入れるためには、地球の重心を原点とし、自转轴を z 軸とする地心直交座標系をとると都合がよい。ここでは、赤道平面を xy 面上とし、経度0度の向きに x 軸、東経90度の向きに y 軸をとり、また北極方向に z 軸をとることにしよう。これはもちろん地球に固定した座標系である。この座標系によると、転向力の x, y 成分は、

$$x \text{ 成分: } 2 \omega v_y$$

$$y \text{ 成分: } -2 \omega v_x$$

という形に、また遠心力の x, y 成分は、

$$x \text{ 成分: } \omega^2 x$$

$$y \text{ 成分: } \omega^2 y$$

という形に書くことができる。 ω は地球自転の角速度で

$$\omega = 7.292115 \times 10^{-5} / \text{s}$$

である。

(2)式に(4)式を代入し、転向力、遠心力の項を加え、さらに地球ポテンシャルの2次項 J_2 も加え、浮力、風の影響も考慮に入れることにする。

まず、風速を、地心座標系の x, y, z 成分に分解して、 w_x, w_y, w_z とし、これから次の量を定義する。

$$\left. \begin{aligned} u_x &= v_x - w_x \\ u_y &= v_y - w_y \\ u_z &= v_z - w_z \\ u &= \sqrt{u_x^2 + u_y^2 + u_z^2} \end{aligned} \right\} \dots\dots\dots(5)$$

これは、風の影響をさしひいた、大気に対する隕石の速さを示す量である。これをも使うことによって、基礎方程式は、より精密な次の形に書き直すことができる。

$$\left. \begin{aligned} \dot{v}_x &= -\frac{x}{r^3} GM \left(1 - \frac{3J_2 a^2}{2r^2} (5\sin^2\beta - 1) \right) \left(1 - \frac{\rho}{\rho_m} \right) \\ &\quad - \frac{C_D A}{2} m^{-1} \rho m^{-1} \rho u u_x + 2\omega v_y + \omega^2 x \\ \dot{v}_y &= -\frac{y}{r^3} GM \left(1 - \frac{3J_2 a^2}{2r^2} (5\sin^2\beta - 1) \right) \left(1 - \frac{\rho}{\rho_m} \right) \\ &\quad - \frac{C_D A}{2} m^{-1} \rho m^{-1} \rho u u_y - 2\omega v_x + \omega^2 y \\ \dot{v}_z &= -\frac{z}{r^3} GM \left(1 - \frac{3J_2 a^2}{2r^2} (5\sin^2\beta - 3) \right) \left(1 - \frac{\rho}{\rho_m} \right) \\ &\quad - \frac{C_D A}{2} m^{-1} \rho m^{-1} \rho u u_z \\ \dot{x} &= v_x \\ \dot{y} &= v_y \\ \dot{z} &= v_z \\ \dot{m} &= -\frac{1}{2} \sigma C_D A m^{\frac{1}{2}} \rho m^{-1} \rho u^2 \end{aligned} \right\} \dots\dots\dots(6)$$

ここで J_2 は地球の形の2次の力学係数、 a は地球の赤道半径で、

$$\begin{aligned} J_2 &= 0.00108263 \\ a &= 6378140\text{m} \end{aligned}$$

を使うとよい。また、 β は隕石の地心緯度、 σ は摩耗係数といわれる量で、それぞれ、

$$\left. \begin{aligned} \sin\beta &= z/r \\ \sigma &= A/2 C_D \zeta \end{aligned} \right\} \dots\dots\dots(7)$$

で定義される。(6)式中の因数 $(1 - \frac{\rho}{\rho_m})$ は、浮力の影響の補正である。(6)式を数値積分していけば、より精密な隕石の経路が求められる。この式のうち、 GM 、 J_2 、 a 、 ρ_m 、 C_D 、 A 、 ω 、 σ は定数、または近似的に定数として扱う数値、その他の文字は隕石の位置によって値の変るものである。

●計算の初期値

微分方程式(6)を数値的に解くためには、隕石の位置、速度、質量に対して、適当な初期値を与えなければならない。

この計算は、回転シャッターで像の切断されている火球経路の写真が得られているという前提であるから、火球経路上の位置、速度を決定することは、原理上少しの困難もない。これは、流星の写真観測を整約する上では、決まりきった手法であるので、その手順についてここで述べることは省略する。経路末端付近で、適当な一

点を選んで、その位置、速度を積分の初期値としてとればよい。ここで問題となるのは質量の初期値である。これはどのようにして決めたらよいであろうか。

通常、地上に落下する隕石は、数百g～数kgのものが非常に多いので、その辺の値をいくつか適当にとりて計算してみるのもひとつの方法である。現に、イニスフリー隕石の場合は、10kg、4kg、0.5kgの3つの値を仮定して計算したということである。しかし、隕石落下の場合は、一般に相当に長い経路写真が得られ、回転シャッターによる像の切断で減速の状況がはっきりわかることが多いので、だいたいの質量の推定計算をするのは、それほどむずかしいことではない。

火球経路がほぼ直線のところでは、その減速は、ほとんど大気抵抗が原因である。その場合の火球の運動方程式は、進行方向を座標軸の向きにとって、概略、次の形に書ける。

$$m \dot{v} = -C_D S \rho v^2 \dots\dots\dots(8)$$

記号の意味は前と同じである。少しこの式の意味を説明すると、断面積 S の物体が単位時間に通過する空間の体積が Sv 、その中に含まれる大気の質量が $S\rho v$ であり、隕石がこの大気に衝突して、すべてを v の速度に加速するとすれば、その運動量は $S\rho v^2$ となる。逆にいえば、隕石は $S\rho v^2$ の運動量を失ったということになる。現実には、そのすべての大気を v の速度に加速するわけではないので、その割合を示すのが抵抗係数 C_D である。運動量の変化が力であるから(8)式が成り立つことになる。

ここで、(4)式を使って、断面積 S を形状因数 A で置き直し、少し形を書き直すと、質量 m に関する式、

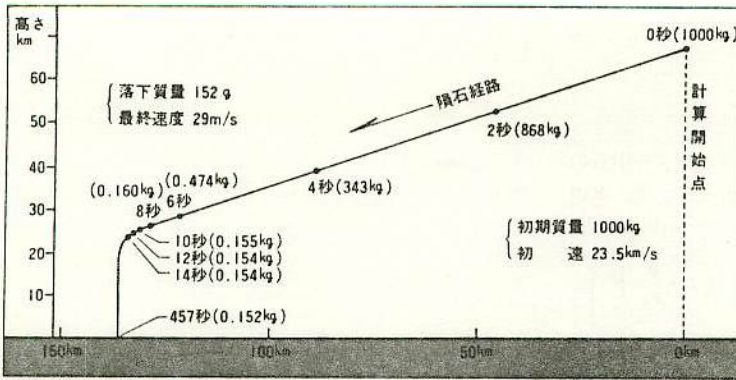
$$m \dot{v} = \frac{C_D A \rho v^2}{-2\rho m^{1/2}} \dots\dots\dots(9)$$

が得られる。回転シャッターで切断された火球像から、火球の速度 v 、加速度 \dot{v} が経路上の点に対して得られ、大気密度 ρ は、火球の高さに応じて、標準大気表などから知ることができる。その他の量の C_D 、 A は概略はわかっている値である。石質隕石を仮定すれば $\rho_m = 3.7\text{g/cm}^3$ ぐらいの値をとればよいであろう。(9)式によって、大略の火球の質量を計算することができるので、それを計算の初期値として使うことができる。

●小国火球による計算例

こうして、いろいろ説明してきたが、実をいうと、日本では、こうした計算を適用することができた隕石落下の例はない。したがって、この計算法がどのぐらいうまくいくのか、実際のテストはされていないのである。

1977年5月10日の小国火球は、2か所で写真撮影がされてはいるが、消滅点の部分までは撮影できず、回転シャッターによる像の切断もなかった。そのため、落下地



隕石落下経路の一例 (側面図)

図 1

隕石密度 $\rho = 3.73\text{g/cm}^3$
 形状因数 $A = 2$
 摩擦係数 $\sigma = 3.18 \times 10^{-12}\text{s}^2/\text{cm}^2$
 抵抗係数 $C_D = 1.2$
 この計算によって得られた結果のいくつかを、個条書きにすると、次のようになる。

(1) 高度30km付近まで落下すると、隕石の速度は急激に小さくなり、それまでほとんど直線だった経路が曲がり始める (図1)。

点の推定計算をするためには、火球の速度、加速度がよくわからないということに加えて、非常に長い距離にわたって微分方程式の積分計算をしなければならないという悪条件が重なっていた。その上、地表と火球経路とのつくる突入角が小さいため、位置決定の小さなズレが隕石落下位置の大きな誤差になるという、これまた都合の悪い状態であった。

それでも、とにかく写真があることだし、隕石さがしも熱心に行なわれているというので、筆者は、隕石の質量、速度などの条件をいろいろと仮定して、全部で50回ほどの計算をしてみた。その結果を整理して、かなりいろいろのことがわかってきたので、それをここで一応まとめて紹介しておこう。

積分は、写真経路の末端に近い1点の、($\varphi = 36^\circ.964\text{N}$, $\lambda = 140^\circ.299\text{E}$, $h = 67.442\text{km}$)を出発点として行なった。また、高層の風は、当日午後9時の、茨城県の館野高層気象台のラジオゾンデによる観測値を、高度25kmまでそのまま採用した。隕石の初期質量は、3kgから10tまでの間のいろいろの値をとり、その他の定数の値としては、ロスト・シティ隕石の結果を参照して、次の値をとった。

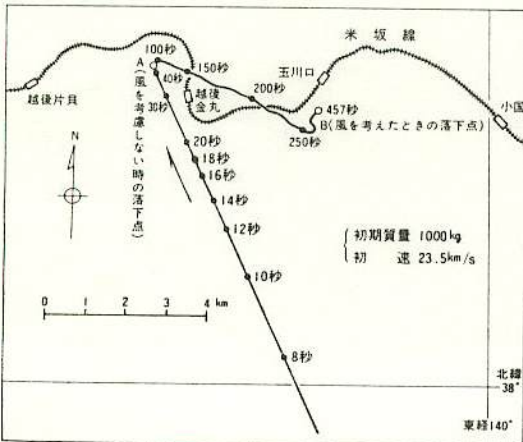
(2) 高度20km以下のところでは、風による吹き流しを別にすると、ほとんど鉛直に落下する (図1)。ただし、これは小国火球の眼視による落下観測とは一致していない。

(3) 初期質量が大きいほど落下地点は先になる。この場合、高速で濃密な大気中を通過する距離が長くなるため、途中の摩擦が激しく、最終落下質量はかえって小さくなるという、逆説的な結果となった。

(4) 初期質量を1000kgと仮定すると、初速を23.5km/sとした場合がもっとも眼視観測とよく合う。この場合の落下経路の側面図を図1に、落下点付近の平面図を図2に示した。風を考慮に入れると、隕石は東南東の方向に約4km吹き流されてB点に落下する。

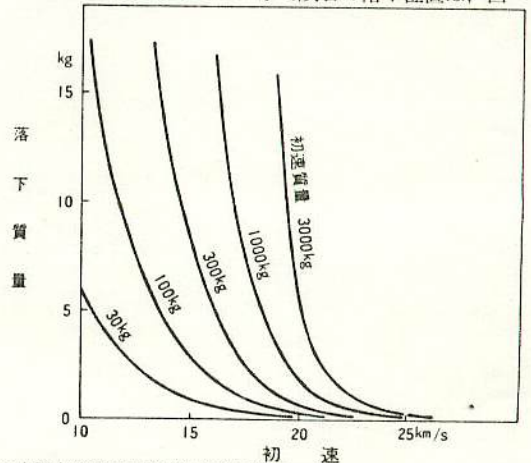
(5) 初速が20km/sを超すと、隕石の摩擦は非常に激しくなり、大きな隕石の落下する可能性は急に小さくなる。図3に小国火球の場合の初速と落下質量の関係を示した。この火球の速度は、本誌で筆者がすでに述べたように、地震計の記録から、約21.7km/sであることがわかっているので、この図からも、小国隕石を期待する可能性の小さいことが想像できる。

(6) 地球自転による転向力や遠心力がないとして計算すると、ごく大ざっぱに言って隕石の落下位置は、西へ



隕石落下点の計算例

図 2



▲小国火球の落下質量と初速の関係

図 3

130m, 南へ60m程度ずれるだけである。地球自転の影響はそう大きなものではないことがここからもわかる。

一般にいて、隕石落下を期待するには、突入角度が、たとえば、45度以上ぐらいあり、速さがもっとゆっくり(15km/s以下)であることが望ましい。そういう意味で、この計算例はむしろ特殊なものであるといえるかもしれない。

●計算の問題点と注意点

ここで示した計算法には、まだいくつかの問題点があるので、一応それについても述べておこう。まず問題となるのは、前に一応の値を与えておいた近似的な定数が、どの程度正しいかということである。

中でも、特に影響が大きいものは、抵抗係数 C_D であろう。隕石の落下角度が水平に近く、あるいは末端に近いところの経路が写真に撮影できず、長い落下コースを積分計算で求めていかなければならないときなどは、 C_D の値を少し変えただけで、隕石落下の位置はかなり大きく変わってしまう。 C_D の値は実は一定ではなく、いろいろな条件で少しずつ変わるので、実際の計算にはどのような値を与えるか、まだ検討の余地が多い。

摩擦係数 σ の値も、かなり問題を含んでいる。しかし、消滅点付近まで経路の写真撮影がされている場合は、その後のダーク・フライトの部分の質量減少はそう大きなものではないので、隕石の落下位置に対しては、大きな影響はない。現実には、そう気にしなくてもいいであろう。

実際の隕石落下では、しばしば、隕石が途中で破砕して、飛び散る現象が見られる。この場合には、ここで述べた議論は適用できない。写真でその現象が撮影されていれば、それぞれの経路について、今までの方法を適用できるが、ダーク・フライト中に分裂がある場合には、落下位置にかなり大きいずれが生じることと思われる。

計算の過程では、隕石の位置は、地心直交座標(x, y, z)を、緯度、経度、高さによる座標(φ, λ, h)に変換しなければならない。日本における経緯度は、通常、日本測地系による値で示されているので、この2つの座標値は次の関係であらわされる。

$$\left. \begin{aligned} x &= (N+h)\cos\varphi\cos\lambda + Dx \\ y &= (N+h)\cos\varphi\sin\lambda + Dy \\ z &= \{N(1-e^2)+h\}\sin\varphi + Dz \end{aligned} \right\} \dots\dots\dots(10)$$

$$N = a_e / \sqrt{1 - e^2 \sin^2 \varphi}$$

経度 λ は東経を正、緯度 φ は北緯を正としている。 N は東西線曲率半径といわれる量、 a_e 、 e は日本測地系で採用している地球楕円体の赤道半径と離心率で、

$$a_e = 6377397.15\text{m}$$

$$e^2 = 0.0066743721$$

である。また、 Dx, Dy, Dz は、その地球楕円体と地球重心とのずれである。このずれの量に対しては、いろいろの値が求められているが、ここでは、ひとつの例として、

$$Dx = -136\text{m}$$

$$Dy = +521\text{m}$$

$$Dz = +681\text{m}$$

を挙げておこう。より厳密には、高さ h に、ジオイド高の補正も必要である。(10)式の関係で、(x, y, z)から(φ, λ, h)を求めるためには、逐次近似などの手段が必要であるが、具体的な方法はここでは省略する。

最後に、フィルム上での位置計算について、ひとつだけ述べておく。火球経路は、背景の恒星と比較して求めるのであるが、その赤経、赤緯は、その時の視位置を使ってあらわさなくてはならない。これは非常に重要なことである。もし、1950.0の位置を使って実経路の計算をしたりすると、場合にもよるが、隕石落下位置の数kmの誤差につながることもあると考えられる。

●おわりに

前にも述べたように、ここで紹介した計算方法は、実際の隕石落下に適用してみたことがない。いってみれば、テストがすんでいないわけであり、まだ、いろいろと不備の点を含んでいるかもしれない。たとえば、落下したのが隕鉄であった場合には、どうしてそれを判断し、各種の定数をどのようにすればよいかは、筆者もまだ検討をしていない。もし、この計算を実行しようという方がいるなら、この計算法のそういう弱点を十分考えたうえで適用していただきたい。

仮りに、好条件で写真撮影された隕石落下があったとしても、日本には山地が多いので、落下位置が山地になれば、捜索は非常に困難となることを覚悟しなくてはならない。こういうことを考えると、隕石発見を目的として観測のネットワークをつくるとすれば、なるべく平野部に目標を置いた方がよいように思われる。しかし、もし関東平野に隕石が落下したような場合には、人口密度も高く、目撃者も多いことであろうから、写真の測定をしているぐらいの間に、もう誰かが隕石を発見してしまうかもしれない。とにかく、隕石とは、そうやたらに落ちるものではないので、隕石発見だけが目的なら、隕石落下の力学を考えることは、いつ適用できるか、あてのない努力であるかもしれない。

しかし、とにかく、準備をしておかなければ、必要が生じたときに役立たない。隕石落下が推定されてから、あわてて計算プログラムを組むといった泥鰌式の事態にならぬよう、できるだけ準備はしておくにこしたことはない。筆者は考えている。

太陽系

25 隕石落下の条件

小笠原 雅弘・長谷川 均

隕石の落下は大変まれな現象である。地球大気に入ってきた物体の質量のうちどれ位が隕石として落下できるのだろうか。隕石落下を記述する微分方程式を4次ルンゲ・クッタ法を用いて数値実験を行なった。

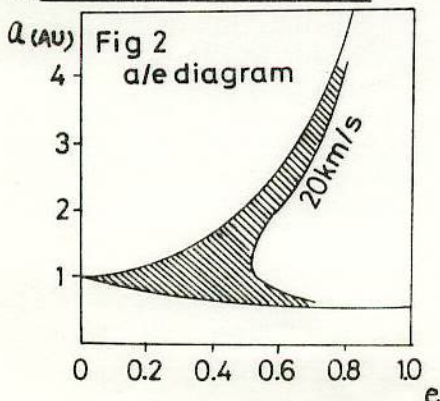
方程式中には未知のパラメータがあるので、Smithsonian の McCrosky らが落下を精密に写真観測した (O-Chondrite) Lost City Meteorite と、大気外質量は 3.5×10^4 kg と推定されたが、途中で消滅してしまつた C-Chondrite と考えられる PN40503 の結果を用いて決めてみた。特に問題になる σ (ablation coefficient) を $1 \sim 10 \times 10^{-12} \text{ S}^2/\text{cm}^2$ の範囲で変えて計算した結果が Table 1 である。発見された隕石の全質量は 17kg であつた。そこで O-Chondrite では $\sigma \sim 3.2 \times 10^{-12} \text{ S}^2/\text{cm}^2$ を用いた。

図1は O-Chondrite で大気外質量を $10^2 \sim 10^5$ kg とした場合、速度によつて落下質量がどう変わるかを示している。速度が 20km/s をこえると隕石となつて残存する割合が極端に小さくなることわかる。C-Chondrite は 20km/s の速度で質量が $10^2 \sim 10^5$ kg の範囲では隕石として落下できない (燃えつきる) ことがわかつた。地球上で発見される C-Chondrite が極端に少ないのはこのためではないだろうか。図2は a/e ダイアグラムである。 $i=0^\circ$ のときの地球への突入速度が 20km/s 以下の領域をハッチで示した。地球上で発見される隕石は、この範囲に含まれるものが多いと考えられる。

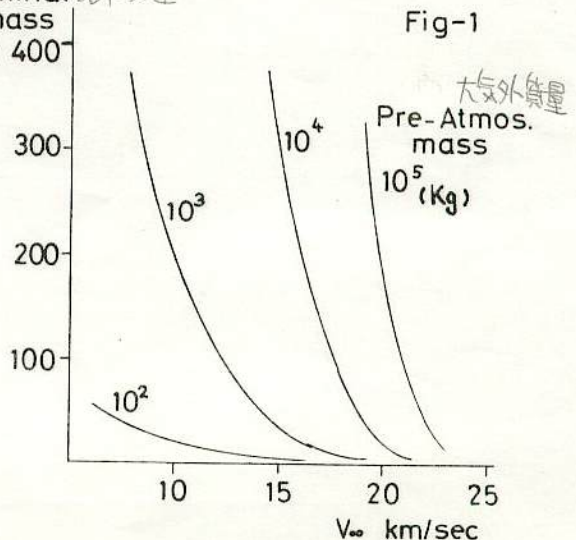
Table-1

$\sigma \times 10^{-12}$	1	3	5	10
Ter. mass	177	19	3	Lost

落下質量



Terminal 落下質量
mass (Kg)



Atmospheric Ablation in Meteorites

— 隕石の大気中での摩耗 —

小笠原 雅弘
Masahiro Ogasahara

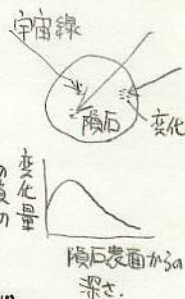
Bhandari らは、多くの隕石で宇宙線の粒子トラックと宇宙線生成
 ^{21}Ne の測定にもとづいて、大気外質量を調べた。(Bhandari et al. 1980)
 その中で、大気外速度が測定されたり、推定されたりにわかっている
 ものを Table II にまとめている。残存率 ρ は以下の式であらわされるといふ。

$$\rho = (0.8 \pm 0.1) \exp[-(0.50 \pm 0.15) \times 10^{-12} v_{\infty}^2]$$

隕石落下の力学から $\sigma \times 10^{11}$, 3×10^{12} と置いたときの残存率を
 図示して Bhandari らの結果と比較してみた。
 $\rho = \exp(-\frac{\sigma}{2} v_{\infty}^2)$
 $\rho \approx 1.0 \pm 0.3 \times 10^{-12}$
 L (Lost City), P (Pribram), I (Innisfree) である。

これらの3例は他のもの比べて残存率が小さい。

他のものは大気外速度の推定値が大きすぎるのではないだろうか。



248

N. BHANDARI et al.

Table II. Meteorites for which accurate or approximate atmospheric velocities are known

Name	v_{∞} (kms $^{-1}$)	摩耗率 Ablation %	Ablation class	Reference on	
				Velocity	Ablation
Archie	17.7 \pm 2.0	94.4	III	Millman (1969)	Present work
Bruderheim	15 \pm 1.5	62.6 (M)	X	Millman (1969)	Present work
Dhajala	21.5 \pm 3	86.7	II (III)	Ballabh et al. (1978)	Bagolia et al. (1977)
Innisfree	14-54	99 (M)	III (IV)	Halliday et al. (1978)	Goswami et al. (1978)
Kunashak	18 \pm 3	63.4 (MT)	X	Millman (1969)	Present work
Lost City	14.2	84.9 (M)	II (III)	McCrosky et al. (1971)	Present work
Nikolskoe	18 \pm 2	91.6 (MT)	X	Millman (1969)	Present work
Norton County	16 \pm 2	69	II	Millman (1969)	Present work
Paragould	19.2 \pm 1.5	59.2 (M)	X	Millman (1969)	Present work
Pasamonte	20 \pm 4	> 69 (M)	X	Millman (1969)	Present work
Peace River	20 \pm 4	66 (MT)	X	Millman (1969)	Present work
Pesyanoc	20 \pm 3	> 91	X	Millman (1969)	Present work
Pribram	20.9 \pm 0.1	> 97.2	X	Ceplecha (1961)	Present work
Sioux County	20 \pm 4	> 89	X	Millman (1969)	Present work
St. Severin	14 \pm 1.4	27 \pm 3	I	Nordemann et al. (1970)	Cantelaube et al. (1969)
Washougal	55 \pm 3	99.97 \pm 0.01	X	Millman (1969)	Carver and Anders (1975)

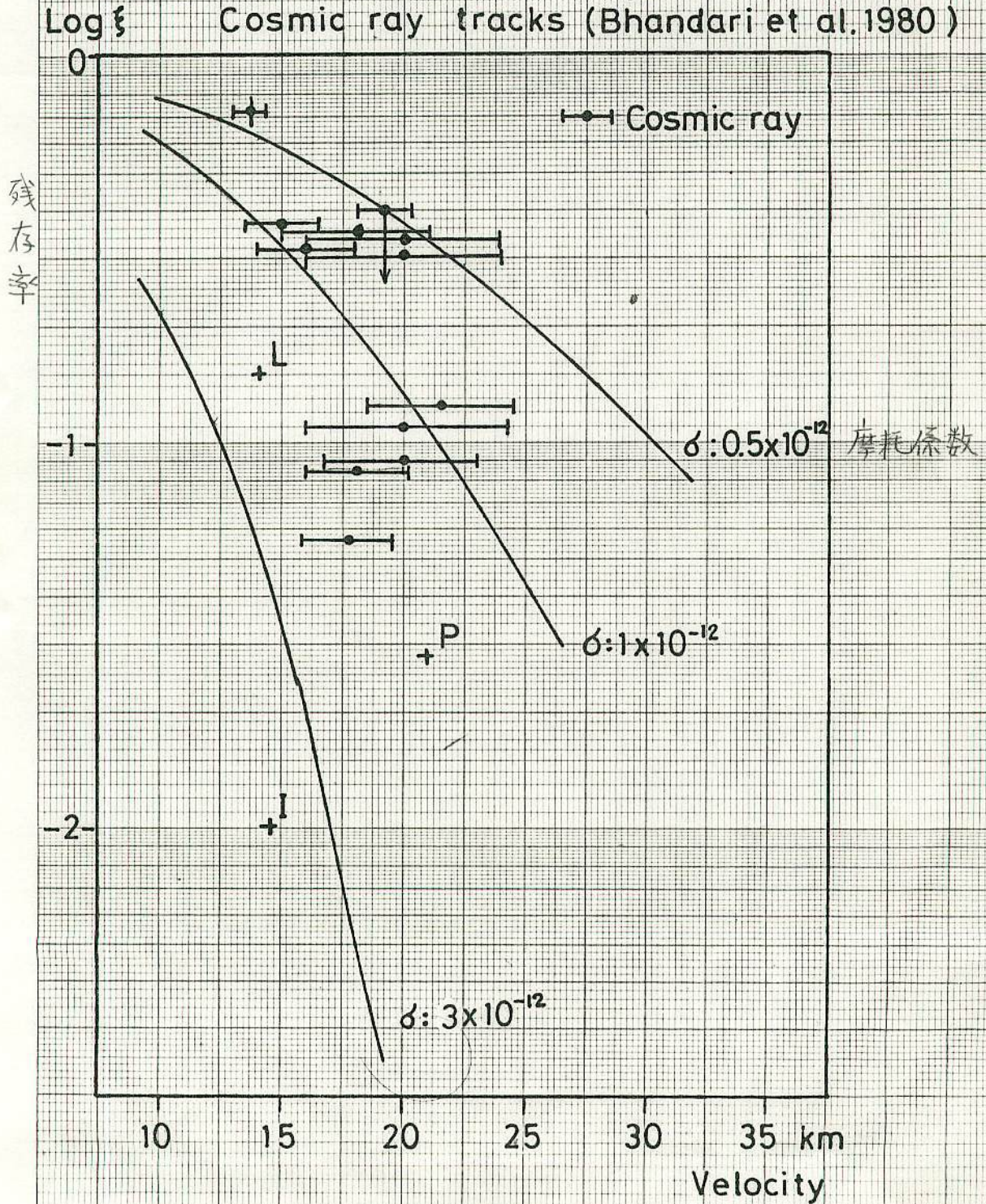
M = Model estimates; MT = Tentative assignment based on "model" method.

ミルマンの速度は推定値

Atmospheric Ablation in Meteorite

Model calculation (Ogasahara 1981)

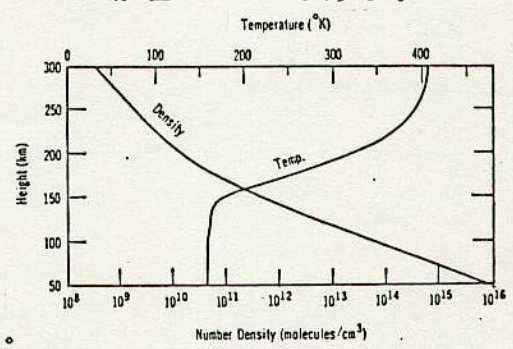
Cosmic ray tracks (Bhandari et al. 1980)



火星で流星はみえるか
1987.1.11 流星物理セミナー第41回会合
渡辺美和 (江東区木場6-6-G303)

§ 1 はじめに
流星という現象が起るためには次のような条件が必要であろう。
すなわち ①惑星軌道付近での流星物質の存在
②惑星上での大気存在
③大気中での発光メカニズムの存在 である。

§ 2 火星の大気モデルと発光モデル
火星の大気圧は地表で約6ミリ
パール、その組成は二酸化炭素が
約95%をしめる。布は右図のよう
に推測されている。火星の公転速度は24 km/s
であり、これは地球のそれと比べ
やや小さい。



すなわち 基礎数字を設定する。
大気分子の質量 = 44 (地球の場合 29)
流星物質の大気への突入速度 = 55 km/s
流星現象のモデルとしては長沢モデル (*1) を用い、地表に対し
て 45° の角度で突入するものとする。尚流星物質の大きさは直径 1
cm、密度 0.3 g/cm³ とする。
これらから表 1 の値を得る。
ここで n は 1 cm³ 当りの分子数、N は地表と 45° の角度で直径 1 cm
のパイプを置いた時の高さ h km 以上のところでのパイプに含まれる
分子数を示し、E は分子質量 44 の大気分子 N 個が流星物質と衝突した
ときその半分が流星物質を加熱するとした時の高さ h km まで使用さ
れたエネルギー (J)、m は直径 1 cm (質量 0.157g) の流星物質のう
ち衝突により気化 (長沢モデルにより 1g を気化させるためのエネル
ギー 7730 J を使用) される質量を示す。m が 0.157 に達した時この物
質は消滅する。

§ 3 まとめ
火星では流星が見られそうである。そして約 100 km で消滅する。
多少経路が長いこを除外せば地球のそれとあまり変わり無さそうであ
る。大気の組成の差は公転速度の差でほぼ相殺されている。高層での大
気分子の密度が最も影響しているがこの薄さのレベルも大差がないよ
うである。
もちろんこの計算はラフなものであり、実際にはもっと複雑である
ところをかなり無視している。大気分布についてもマリナーの古い
値である。
地球では見られない流星群が火星で人知れず乱舞していることがあ
るのかもしれない。

1964年 4号

高さ(km)	N	E	m	m(e)
160	3.679×10^{17}	2.03×10^1	0.003	
155	5.829×10^{17}	3.26×10^1	0.004	
150	9.389×10^{17}	5.19×10^1	0.007	
150	1.494×10^{18}	8.26×10^1	0.011	
145	2.374×10^{18}	1.31×10^2	0.017	
140	3.764×10^{18}	2.08×10^2	0.027	
135	5.974×10^{18}	3.30×10^2	0.043	
130	9.474×10^{18}	5.24×10^2	0.068	
125	1.502×10^{19}	8.31×10^2	0.108	
120	2.382×10^{19}	1.32×10^3	0.171	0.002 g
115	3.772×10^{19}	2.085×10^3	0.270	0.003 g
110	5.982×10^{19}	3.31×10^3	0.428	0.006
105				0.014
100				0.031
95				0.072
90				0.166
85				0.381
80				

* m (e) は長沢モデルによる地球流星の質量消失の値である。(突入速度 60 km/s)

* 1 流星発光の機構 (長沢工 1983.12 東京近郊地区流星観測者会 第21回集会)

参考

地球以外の惑星に流星現象はあるか (1) 渡辺美和
(1984.3 東京近郊地区流星観測者会 第22回集会)

地球以外の惑星に流星現象はあるか (2) 渡辺美和
(1985.3 東京近郊地区流星観測者会 第25回集会)

HANDBOOK OF PHYSICAL PROPERTIES OF PLANET MARS
(NASA SP 3030)

地球軌 経路が長く、発光点 - 消滅点 は高い。

火星と 0.05 AU に近い 彗星 . 174 .

0.0016 AU 1975 コホーク

0.0153 AU テンペル II

測光

この分野は、小笠原氏を中心に研究・発表がおこなわれた。

写真撮影された流星のネガの「黒み」から実際の流星各点の明るさを求め、さらに発光前、発光中の光学的質量を求めることが行われた。

また、PerseidsとGeminidsの最大光度から、群流星を構成する流星物質の質量分布を求める研究も行われた。

5th MSS Meeting 1979 Sp.

流星写真測光 - 1

小、笠原 雅弘

写真測光の実際についてあまり詳しくまとめたものが少ないよ
うなので、できるだけ詳しく実際にそくしてまとめてみたい。

・ 写真測光の基礎

透過率 (Transparency)

$$T = \frac{F}{F_0} \quad \text{--- ①}$$

F_0 : 入射光束
 F : 透過光束

として定められる。

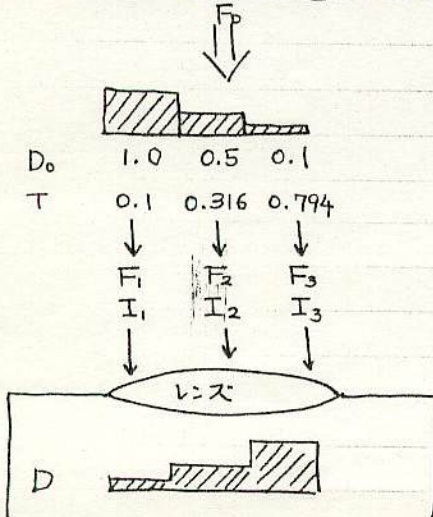
マイクロフォトメータで測定できる *平行光濃度 (Density) D は

$$D = \log_{10} \frac{1}{T} \quad \text{--- ②}$$

である。

* 平行光濃度は入射・透過光とも film に垂直な平行光束
としたときの黒み。

D と (Intensity) I は一般に H-D 特性曲線であらわされる。
Wedge を焼き込んだ film を測光するさいには、はじめに写し込む Wedge
の濃度を測定しておく。--- D_0 とする。



①で $T = \frac{F}{F_0}$ $F_0 = 1$ とおくと $T = F$ となり

F が光強度 I として film に写し込まれる
おみをお々は測定するわけである。

したがって、

$$\log T = \log F = \log I = \log 10^{-D_0}$$

$$\therefore I = 10^{-D_0} = T$$

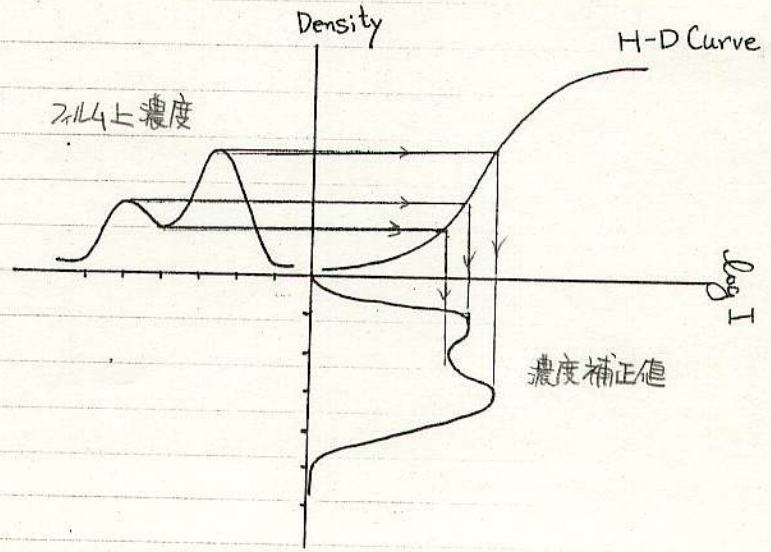
ちなみに Nihon Univ. Wedge No. 1 の Data を Table-1 に示す。

Table - 1

Step No.	Density	Trans.
1	0.02	0.955
2	0.08	0.832
3	0.19	0.646
4	0.28	0.525
5	0.44	0.363
6	0.69	0.204
7	0.85	0.143
8	1.00	0.100
9	1.16	0.0692
10	1.31	0.0490
11	1.53	0.0295

この値を横軸に、film上の wedge の Density を縦軸に目盛れば H-D Curve が完成する。
その $D \rightarrow I$ 変換も Fig-1 に示す。

Fig-1



こうして相対強度 I_1 がわかる。つぎに back-ground, film の分光感度, 大気の吸収, 分光器の特性などを補正して真の相対強度を求めなければならぬ。

以上の補正を一つの式にまとめると

$$\log I = \log I_2 - \log S - \log \text{Ext.} \quad \text{--- ③}$$

まず background をさしひく

$$\log I_2 = \log I_1 - \log I_B \quad \text{--- ④} \rightarrow I_2 = I_1 - I_B$$

つぎに film の分光感度 (spectral sensitivity) の補正を行う。これには
メーカ発表値 (High Speed Infrared) については Kodak Infrared
Films p.4) を用いる。

$$\log S = 1 - (\log S_{(3750)} - \log S_\lambda) \quad \text{--- ⑤}$$

$S_{(3750)}$: 3750Å における spectral sensitivity
 S_λ : ある波長 λ , " " "

地上においては大気吸収によって青色光ほど強く吸収されるので
その補正を行う。

$$\begin{aligned} \log \text{Ext.} &= \log_{10} 10^{-0.4 \Delta m} \\ &= -0.4 \Delta m \quad \text{--- ⑥} \end{aligned}$$

Δm (Atmospheric Extinction) 大気減光

$$\Delta m = a F(z) \quad \text{--- ⑦}$$

a : extinction coefficient 減光係数
 $F(z)$: air mass 空気量

a は波長により異なる。大気の状態によっても大きく異なるが、ここでは
透明度が良好な場合として Allen の値を近似計算した

$$a = 0.01007 \text{EXP}(1.5769 \cdot \lambda^{-1}) \quad \text{--- ⑧}$$

$(\lambda^{-1} = \mu^{-1})$

(Allen, 1963)

$F(z)$ は光が大気外から地表に到達するまでの経路に沿う
空気量で

$$F(z) = \sec z - 0.001867 (\sec z - 1) - 0.002875 (\sec z - 1)^2 \quad \text{--- ③}$$

(Hardie, 1961)

z : zenith distance 天頂距離



$z < 60^\circ$ では $F(z) = \sec z$ で良い

$\sec z$ は (α, δ) , 観測値の緯度 φ , 恒星時 θ を用いて計算できるのはよく知られている.

$$\sec z = \left\{ \sin \varphi \sin \delta + \cos \varphi \cos \delta \cos (\theta - \alpha) \right\}^{-1} \quad \text{--- ④}$$

④ ~ ⑩ を ③ に代入することによって補正ができる.

grating を用いるときは分光系の特性が大きく影響してくるが、prism では 4000 ~ 9000 Å 域ではそれほど大きくはないと考えられる.

1979 Sep. 9 5th-MSS

13th MSS 1981 Jan. 18

流星写真測光 — II.

小笠原 雅弘

(I は 1979 Sep. 9 5th MSS Refs. を参照)

計算式は長沢工氏の17th流星会議発表を参考にした。

今回は実際の流星の写真測光の手順を追ってみる。

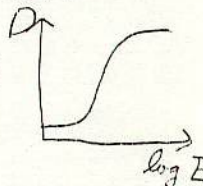
(1) H-D特性曲線

Honeycutt, Chaldu (1970) によると. H-D特性曲線は次式で与えられるという。

$$E = a + bD + c \log(1 - 10^{-D}) + d(10^D) \quad (1)$$

A.A.S. Phot. No.2 p.14

I: Intensity D: Density



Step Wedge を用いて. a, b, c, d の値を定める. 最小自乗法を用いて定数は決定すればよい。

測定された流星像の Intensity を E_m , Background E_{bg} とし.

$$E = E_m - E_{bg} \quad (2)$$

(2) 見かけの等級

固定撮影法の場合について述べる. 恒星と流星では角速度が異なっているために補正をしなければならない. ガイド撮影では恒星の移動量が0になるので補正がむずかしい。

恒星は δ の値による角速度がちがうので. すべて $\delta = 0^\circ$ にあると換算する. その時の光度を m_0 とすると.

$$m_0 = m_c - (2.5 p) \log(\cos \delta) \quad (3)$$

m_c : mag. of comp. Stars

p : 相反則不規定数

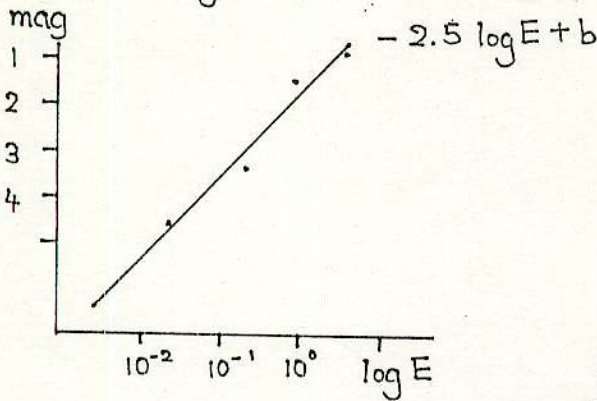
δ : 赤緯

$$E = I t^p, \quad p = 0.8$$

Iriarte et al., (1965) の Five Color Photometry of Bright Stars から A type stars をとって V mag. を用いる. この表では暗い星が無いので. Yale Catalogue of Bright Stars (1964) で補うこともある。

~~Oh Beautiful~~ A Fine Girl Kiss Me!

Fig. 0



m_0 と. この恒星の Intensity を用いて. Fig - 0 のような mag - Intensity の関係を導く.

$$\text{mag.} = -2.5 \log E + b \quad (4)$$

N の Comp. Stars を使って b を定める.

$$\therefore b = \frac{\sum m_{0i} + \sum 2.5 \log E_i}{N} \quad (5)$$

流星の角速度 v_m は. 発光点の方向余弦 (l_A, m_A, n_A) 消滅点の方向余弦 (l_B, m_B, n_B). Duration - Dur. sec. とすると.

$$v_m = \cos^{-1} (l_A l_B + m_A m_B + n_A n_B) / \text{Dur.} \quad (6)$$

とあらわされる. (v_m deg. sec⁻¹)

$S = 0^\circ$ における恒星の角速度は $0.004178^\circ \text{ sec}^{-1}$. 流星の角速度 v_m とすると. 角速度を補正した流星の明るさは. (4)式で求めた mag. を用いて.

$$m_1 = \text{mag} - (2.5p) \log (v_m / 0.004178) \quad (7)$$

回転シャッターの開口比を $1/x$ とすると. そのによる補正量は. $(+2.5 \log x)$ となる. したがって流星の見かけの明るさ m は.

$$m = \text{mag} + 2.5 \log x - (2.5p) \log (v_m / 0.004178) \quad (8)$$

p の値は (長沢, 1979) によれば Tri X では 0.821 程度であるという.

(3) 絶対等級

見かけの等級が算出されたので. 絶対等級に換算する.

Observer から d km だけ離れていると. 見かけの等級に $(10 - 5 \log d)$ を加えねばならない.

天頂からは可視域にいたがって大気吸収をうけるが. 比較星も同高度にあるとみれば. この補正は行なわなくともよい.

流星の進行方向による補正をする必要がある。流星中点の方向余弦を (l_c, m_c, n_c) の流星の見かけの輻射点の方向余弦を (l_r, m_r, n_r) とすれば、視線と流星進行方向の成す角 θ は、

$$\theta = \cos^{-1}(l_c l_r + m_c m_r + n_c n_r) \quad (9)$$

であらわされるから、見かけ等級に $-(2.5P) \log(\sin \theta)$ を加えなければならぬ。

輻射点に近い流星ではこの補正はかなり大きい。

したがって流星の絶対等級 M は、

$$M = m + (10 - 5 \log d) - (2.5P) \log(\sin \theta) \quad (10)$$

(4) 測光質量

測光質量 (Photometric Mass) m_p は、

$$m_p = \frac{Z}{\tau} \int_0^{\text{tend}} \frac{M(t)}{(V(t))^2} dt \quad (11)$$

ただし、 $\tau = 10^{-19} \cdot V(\text{cm}^3)$ (Verniani, 1964) とし、各切断点ごとに計算して加えてゆけばよい。

現在、これらの処理は TRS-80 マイクロコンピュータを用いて処理するソフトを開発中である。

(5) 1979 Dec. 14 23h 26m 39s の火球の測光質量

1979年の Gem. は好天に恵まれて各地で盛んに観測が行われた。Dec. 14 23h 26m 39s の火球は近畿地方で何人かにより、同時撮影された。上田昌良氏の協力でこの火球の写真測光を行ない、質量を計算することができたので報告する。

軌道 (KPM 落合孝志氏計算)

(発光点 λ 136°.1413 φ 34°.6312 H 91.9 km
消滅点 135.8543 34.6034 49.4

$$V = 30.68 - 0.5279 \text{ EXP}(1.4387t)$$

R.P. α 114°.23 δ +32°.21

V ∞ 29.96 \pm 0.60 km/s

VH 30.76 \pm 0.32 km/s

日心軌道

A = 1.04 AU φ = 0.17 AU e = 0.837

ω = 324°.93 Ω = 261°.58 i = 18°.91

(A) 測光

NALMI-III マ170.7オトX-7-を用いて流星像を測光した
のFig-1である。ウェッジが入っていないので以下の恒星
を比較星にとり Density-Mag. スケールを作成して等級
を決めた。

α Can 0.35 mag. F5 (δ : 5°)

α Gem 1.58 mag. A (δ : 32°)

ρ Gem 4.99 mag. A4 (δ : 27°)

θ Gem 3.61 mag. A3 (δ : 34°)

(Iriarte et al. 1965 より)

こうして mp を各切断点ごとに計算して求めたのが
質量変化のグラフ (Fig-2a) である。

これによると 流星の大気外での質量は 2.10g ありこれになる。

次回は、このようにして決められた質量と、その流星の最大
等級の関係を Perseids と Geminids についてまとめ
報告する予定である。

1981 Jan. 15.

3th MSS

Fig-1

(Microphoto Scan)

Geminid

Ueda 1979 Dec.14

23h26m39s

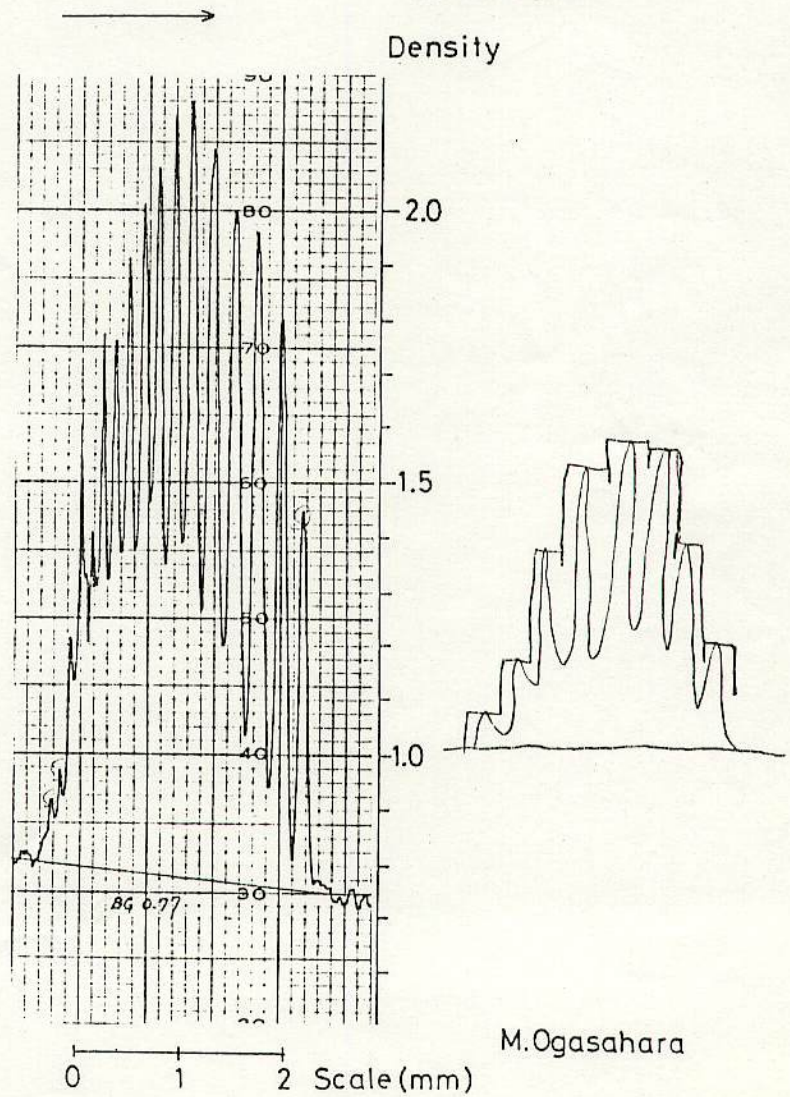


Fig. 2a

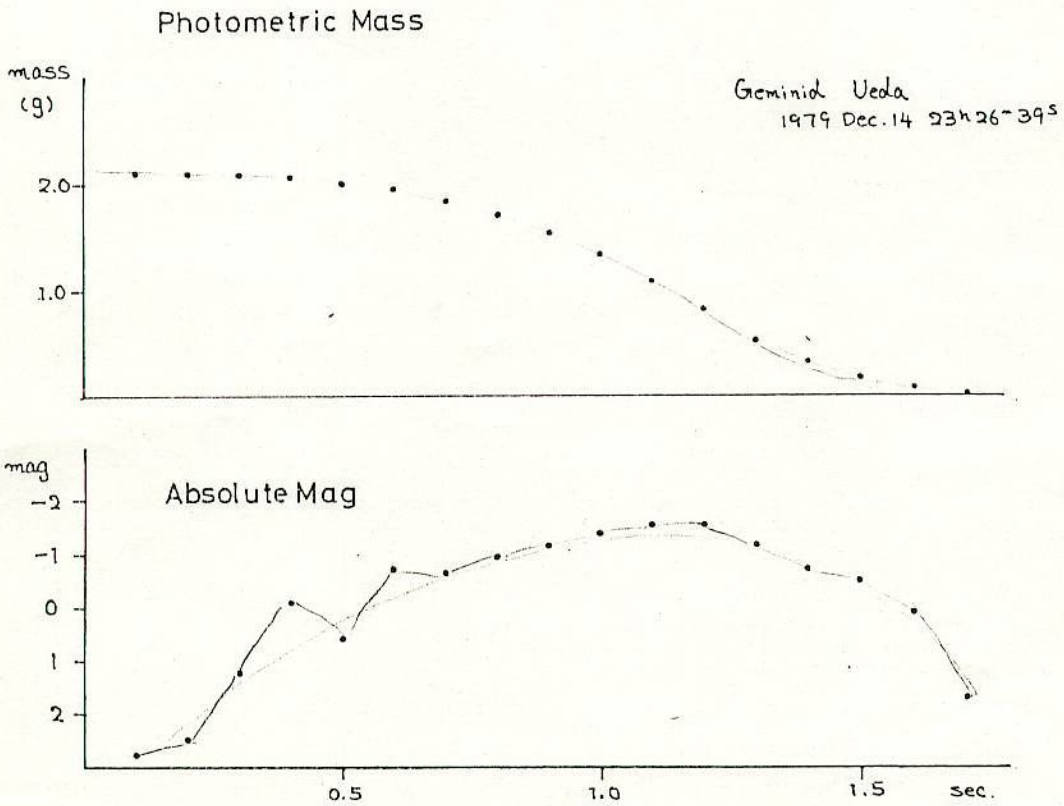
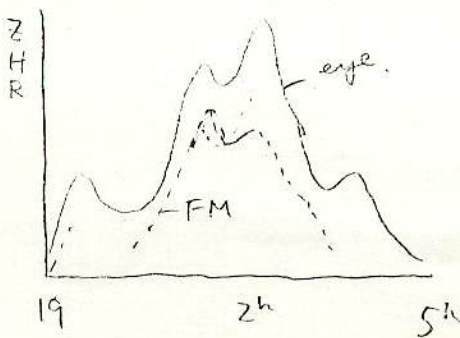


Fig 2b



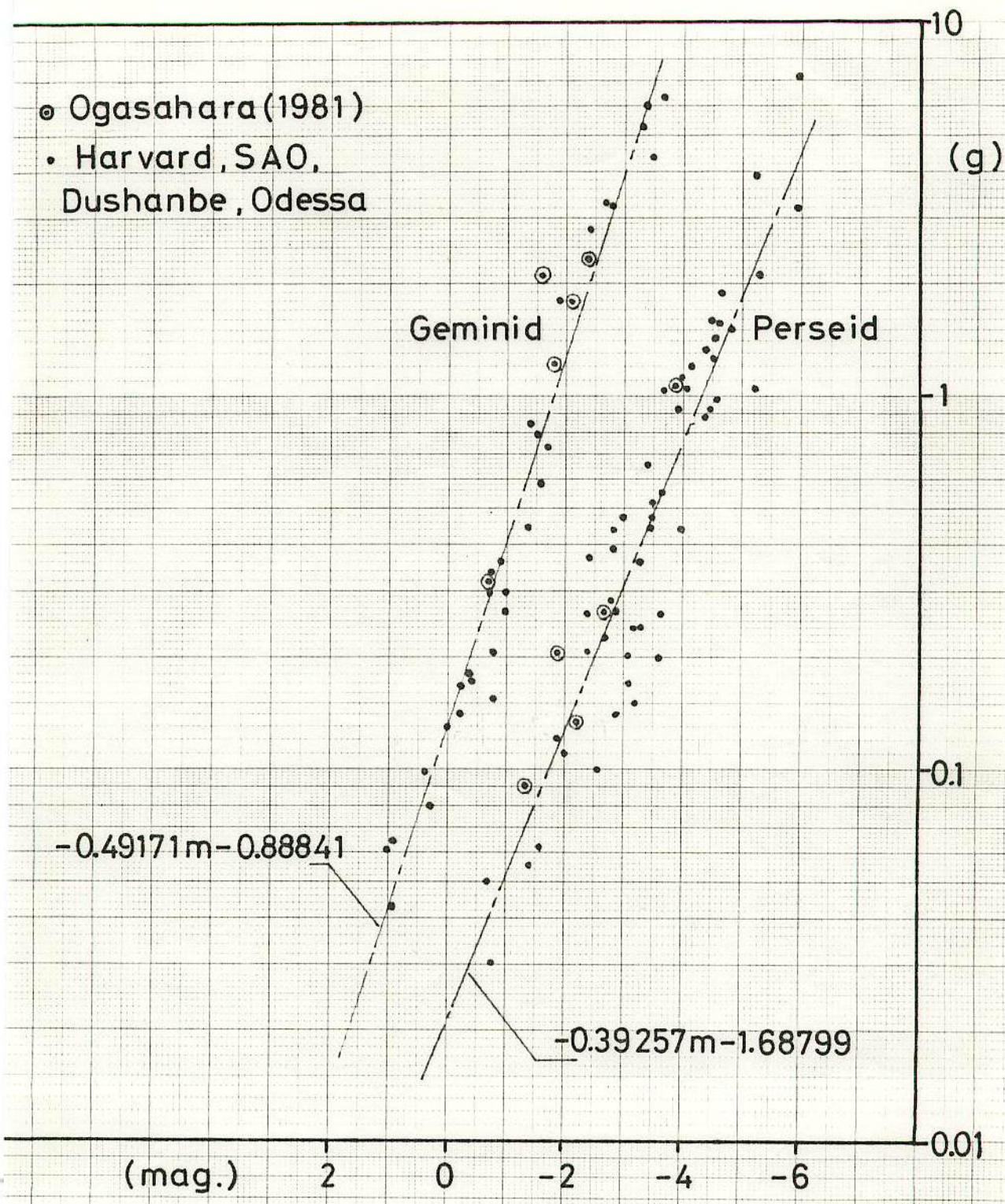


Table-3 Perseids

mag	mass (g)
- 6	4.65
- 4	0.763
- 2	0.125
0	0.021
+ 2	0.003
+ 4	5×10^{-4}

Table-4 Geminids

mag	mass (g)
-	-
- 4	11.98
- 2	1.24
0	0.129
+ 2	0.013
+ 4	0.001

同じ最大等級であっても mass は 1桁ちがう。流星の測光質量 M_p は、

$$z = 10^{-19} \cdot V \text{ とし、}$$

$$M_p = \frac{z}{2} \int_0^t \frac{I(t)}{\{V(t)\}^2} dt \text{ ——— (3)}$$

があらわされる。Perseidsでは、 $V = 6 \times 10^6 \text{ cm/sec}$ 。Geminidsの
 $V = 3.5 \times 10^6 \text{ cm/sec}$ 。と比べ約2倍となり、 M_p の式で V が2乗でま
 いてくる。すなわち全体としては $2^3 = \text{約} 10$ で M_p は Perseidsの方が1桁
 小さくなる。同じ -2 mag の流星でも Perseidsでは約 0.1 g 、Geminids
 では約 1 g となる。

Hawkins (1964) によると、質量 M は、

$$M = \frac{10^{(26.92 - 0.4 m_v)}}{6.84 v^4 \cos \xi} \text{ ——— (4)}$$

$$\xi \approx 45^\circ$$

があらわされるといふ。C.I (color index) を -1.9 とし $m_v = m_p + 1.9$

$$\therefore M = \frac{10^{(25.96 - 0.4 m_p)}}{6.84 v^4 \cos \xi}$$

$$M = 0.20679 v^{-4} \times 10^{(25.96 - 0.4 m_p)}$$

for Perseids $v^4 = 1.296 \times 10^{27}$

$$\therefore \text{Log } M = -0.4 m_p - 1.8377$$

for Geminids $v^4 = 0.1501 \times 10^{27}$

$$\therefore \text{Log } M = -0.4 m_p - 0.90075$$

(5)

データをまとめた結果(1), (2)とほぼ一致する。

Geminids については、^視 Vis. Mag. と 写真の最大 Mag. が一致するが、Perseids
については写真の最大 Mag. が Vis. Mag. より明るくなる傾向がある。

(1), (2)式を用いて Geminids の光度関数を質量の関数におきかえるのは
問題ないだろうか。Perseids については問題がある。

次回は(1), (2)式を用いて各流星群の光度関数を質量の関数におきかえ
たものを報告する。

M. G.

References.

- Harvard <144> F.L. Whipple (1954) Photographic Meteor Orbits and their
Distribution in Space
- SAO <413> L.G. Jacchia, F.L. Whipple (1961) Precision Orbits of
413 Photographic Meteors
- SAO <2529> R.E. McCrosky, A. Posen (1961) Orbital Elements of
Photographic Meteors
- SAO — L.G. Jacchia et. al. (1967) An analysis of the
Atmospheric Trajectories of 413 Precisely
reduced Photographic Meteors
- Russian <164> P.B. Bobadzhanov, E.N. Kramer (1967) Orbits of
Bright Photographic Meteors
- Prairie <336> R.E. McCrosky et. al. (1976) Prairie Network
Fireball Data
- Prairie — R.E. McCrosky et. al. (1977) ———
II. Trajectories and Light Curves
-
- Japan <187> T. Ochiai — Preprint

豆まき現象

豆まき現象に関しては、MSS発足当初活発な議論が行われ、特に11回には4件の発表があり、一応終息しました。

結論としては、ランダムな出現であっても人間がそれを観測した場合、なんらかの傾向を感じとってしまうということです。パソコン画面にランダム出現の流星を飛ばして見せる実演が行われ。確かに豆まきっぽい現象を出席者一同感じました。

私の流星観測 その8

— 流星の豆まき現象について (第1報) —

重野好彦

《 χ^2 (カイ2乗) 検定》

今月から何回かに分けて流星の豆まき現象について書いてみたいと思います。この問題については流星観測者の間でかなり以前より話題になっていたようです。とくに流星観測をしたことのある人でしたらたれでもか感じる事なので当然のことのように考えられていました。とここでこの問題をアマチュアの間で研究・発表されたのは1977年ごろからです。今から5年程前より観測の主体が眼視から写真へ移り、眼視観測データの新しい利用法として考え出されたのがこの問題の解析なのです。

1. はじめに

流星の出現の様子は一般に一樣でないと言われている。群流星に於ても散在流星に於ても、時々固まった多くの出現が見られるようだ。また続いて何個も出現することがある。……つまり単位時間あたりの流星出現数は増減があり、それが観測者を通して一樣でない出現であると思わせている。これがいわゆる流星の豆まき現象と呼ばれるものである。

この現象については、様々な解析手法が考えられるが、本報では統計的手法の一つである χ^2 検定を行った。

2. χ^2 検定

χ^2 検定で分析することの出来る例題として次のようなことがある。「何回かの実験で得られた結果がある程度ばらついているようだ、それぞれの結果は同一の現象なのか、違った現象なのか」これを流星の場合で置き換えると、「流星の出現が多くなったり少なくなったりする様だが、それは偶然そうなるのか、偶然ではないのか」となる。具体的に分析手法を述べると、観測した時間とある時間間隔で区切ったそれぞれの区間内の流星個数を n_i 、その平均値を \bar{n} とすると $n_i - \bar{n}$ は正規分布すると思われる。また $\chi^2 = \sum_{i=1}^n (n_i - \bar{n})^2 / \bar{n}$ で求められる χ^2 値は、確率的にどの様な値をとるか分かっている。したがって観測で得られた χ^2 値を確率値と比較することによって、観測結果の出現確率を知ることが出来る。つまり確率が小さい程珍しい現象であり、統計的には5%以下だと特異な現象だと考えられる。

3. 例題

5回の観測でいずれも流星数は4個であった。観測時間を10に分けてみたところ表1の様な出現をしていた。このときの χ^2 値より求めた出現不均一の様子の確率%を示した。

結果は表1より観測NO, 1と2が確率5%以下で特異な出現の様子であると見える。

表1 流星出現の様子とその確率

観測NO\時間	1	2	3	4	5	6	7	8	9	10	確率
1	個										0.1%
2	0	0	0	3	0	0	1	0	0	0	2
3	0	0	2	0	0	0	0	0	0	2	6
4	1	0	0	2	0	0	0	0	1	0	25
5	1	0	1	0	0	1	0	0	0	1	75

4. 観測結果及び結論

前述の χ^2 検定を流星観測に当てはめて得られた結果が表3である。

- 1) 表3より区切り時間の長いものは、観測の初めと終りころで空の状態が変化したり、流星出現数が変化したりしたことによる影響が出る。観測者の目によって短周期の出現の不均一として見られるのは10分以下の区切り時間である。
- 2) 観測No.1,3,4,6,7,9は全ての区切り時間に於てランダムな出現である。
- 3) 観測No.2は5時間に渡るPer群の観測で、時間の経過とともに輻射点高度が高くなり流星数が増加してくる。よって区切り時間が長いものはランダムな出現でないとの結果が出ているのは当然のことである。
- 4) 観測No.5,8で出現確率4%という結果が出ている。つまりこの観測のこの区切り時間では25回に1回しか起こらない現象が見られたわけである。しかし9回の観測で6つ又は9つの区切り時間で調べたのだから、全部で60回の結果が出ている。よって $\frac{1}{25}$ の現象が出たとしても何も不思議でないことになる。

結論として群、散在に限らず多少特異な出現をしている観測もあるが、ランダムな出現ではないと断定するまでには至っていない。

表3 流星観測の χ^2 検定結果

観測NO、観測日、群、観測時間、流星数

1. 1972-8-12/13, Per群のみ, 1 ^h 10 ^m , 141コ	5. 1971-12-12/13, Gem群のみ, 4 ^h , 127コ
2. 1974-8-12/13, " , 5 ^h , 466コ	6. 1972-12-12/13, " , 2 ^h 20 ^m , 218コ
3. 1975-8-9/10, " , 2 ^h , 32コ	7. 1974-12-14/15, " , 4 ^h , 298コ
4. 1975-8-12/13, " , 2 ^h , 77コ	8. 1975-8-9/10, 散在のみ, 2 ^h , 59コ
	9. 1975-8-12/13, " , 2 ^h , 29コ

χ^2 検定により求められた流星観測の出現確率

区切り時間 \ 観測NO	1	2	3	4	5	6	7	8	9
10秒	25<				25<				
20	"				"				
30	"				"				
1分	"	25<	25<	25<	20	25<	25<	4	25<
2	"	9	"	"	4	"	"	25<	"
5	"	3	"	"	25<	20	"	10	"
10	"	1	"	"	"	6	"	25	"
20	"	"	"	"	"	25<	"	5	"
30	"	"	"	20	"	"	"	10	"

1980.1.5 抄〜ん

私の流星観測 その9

— 流星の互まき現象について (第2報の1) —

重野好考

《 周期性の検定 》

1. はじめに 前報に於て流星出現の不均一性を統計的に調べたが、ほぼランダムな出現であるとの結論が得られた。本報ではフーリエスペクトルを用いて、流星出現の周期性について検定を行なったので報告する。

2. 計数データのスペクトル解析について 一般にスペクトル解析がよく用いられている現象には、太陽黒点の増減周期や地震波の卓越振動数の検出などがあげられる。これらの現象は時間に対する計量的な変化(振幅など)をデータとして持ち、このデータの連続をフーリエ変換することによって、振動数成分の検出が行なえるものである。ところで流星の出現やある現象の起こる周期などは、あるかないか、1か0かといったデータであり、単位時間あたりの数として扱う計数データである。よって本報では計数データを計量データに変換して、フーリエ変換することにする。

3. 計数データの計量データへの変換

A法: 時間を一定間隔で区切り、その中で現象の起きた数(度数)を求め、その値を計量データとする。(図1-a)

B法: 現象の出現時刻を t_i ($i=1, 2, \dots, N$) とするとき、 $t_{i+1} - t_i$ は隣合った出現時刻の差(時間すれ)であって、計数データの場合これを一つの周期と考えることが出来る。同様に $t_{i+2} - t_i$, $t_{i+3} - t_i$, \dots , $t_{i+N} - t_i$ などもそれぞれ周期と考えることが出来る。ここで $t_{i+j} - t_i$ に於て ($j=1, 2, \dots, N$), $i=1, 2, \dots, N$) …… (1)式 $t_{i,j}$ を変化させることにより N^2 個だけ時間すれの値が得られる。いま観測時間をLONGとすると、時間すれは $0 \sim \text{LONG}$ の値をとる。そこで $0 \sim \text{LONG}$ の間を一定間隔で区切り、それぞれの間隔内にある時間すれの値の数(度数)を求め、その値を計量データとする。(図1-b) ただしこの場合、時間軸は時刻歴ではなく時間すれとなる。また時間すれの値は実際にはLONGまでは求めず、 $\text{LONG}/2$ まで求めればよい。(1)式で $i+j$ が N の範囲からはみ出す場合は、すなわち $i+j > N$ の場合は、 $t_{i+j} \rightarrow t_{i+j-N} + \text{LONG}$ とし、もとにもどって最初から t_i の値を巡回的に用いるものとする。

4. 計数データの例題のスペクトル解析 例題は、1978年11月28日火曜に野田街道西生田に於て得られたもので、17時5分より16分間166台の自動車か通過した時刻を測定し、そのデータを流星の出現時刻に見たてている。なお観測点の100m程手前には周期110秒の信号があり、現象の出現に周期性を持たせている。

図1-aは、A法によりデータを数一量変換した結果得られた度数分布である。図1-bは、同様にB法により数一量変換した度数分布である。ただしこの場合度数の値が条件によって大きく異なるので、その最大値を100として相対的な値とした。

例題波のフーリエ・スペクトルを描いてみると、図2となる。図で縦軸は、フーリエ振幅とその最大値を

100として相対的な値で表わした。また横軸は周期である。

図2で、特にB法によるグラフから107秒と53秒に卓越した周期のあることが分かる。ここで特に強い107秒は信号の周期の110秒に近い。また次に強い53秒は、このちょうど半分の周期であり、曲がって来た自動車によるものと考えられる。A法によるグラフからもそれに近い様子が窺われる。しかしB法のものに比べるときざぎざが大きい。

5. 数-量変換法の選択 A,B法を比較した場合、A法は精度が低いものと考えられる。つまり有効桁数が非常に小さい。例えば群衆星がデータの場合区切る間隔を1分にするに、A法の度数は0~5程度となってしまふ。しかしB法では桁建いに大きな度数を持つことが出来る。また度数の平均に対して、そのまわりの分布を考えるとき、A法では明らかに偏りがある。一方B法では偏りは少ない。ところでデータがランダム波ならば、振幅の分布は正規分布になることが知られているので、この点から見てもB法を用いることが適当である。よって本報ではB法を用いて話を進めることにする。(つづく)

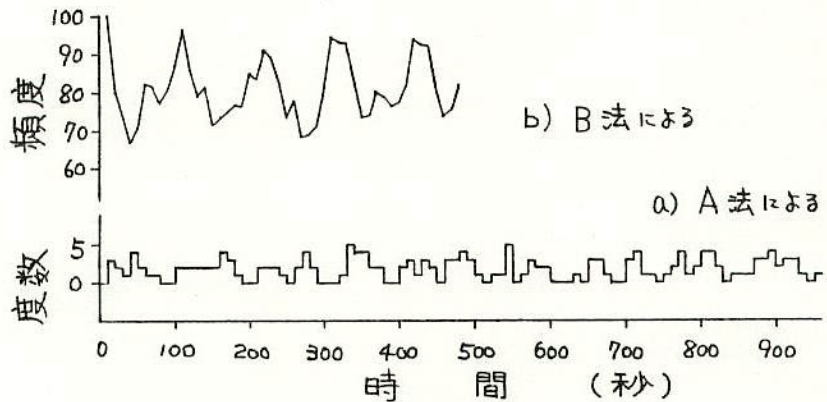


図1 町田街道 自動車通過時刻の度数分布

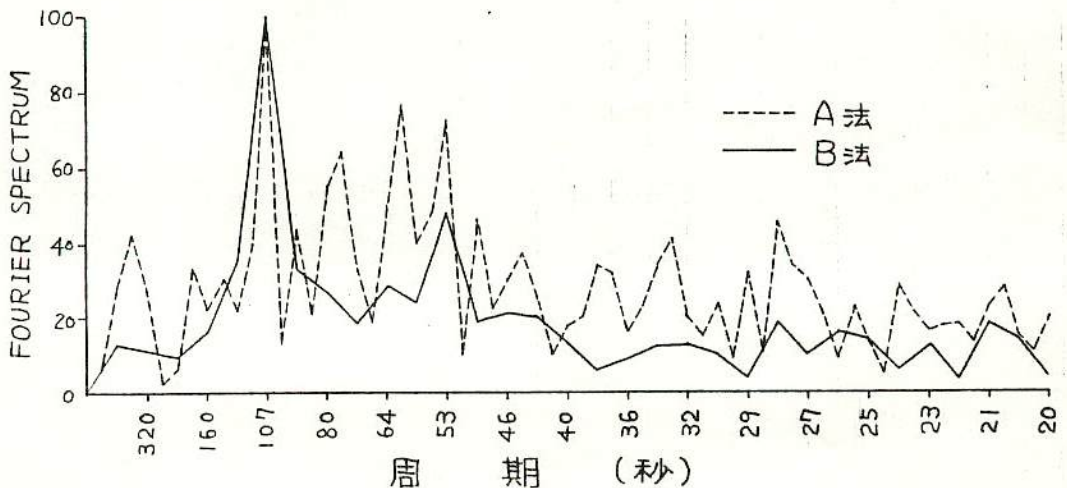


図2 町田街道 自動車通過時刻のフーリエスペクトル

1980.3.7.金 町田

《 周期性の検定 》

6. 流星観測データの計算結果

図3は Per 群流星のフーリエ・スペクトルである。a. のグラフには明らかに640秒に卓越した周期が見られる。そして他の周期には高いフーリエ振幅は見られない。よってこの場合640秒付近の周期にして流星が出現したと考えてもよさそうである。次にb, c. のグラフを見るとこの場合はいくつかのピークが現われている。そこでこの様なグラフについては、後で他とまとめて考えることにする。

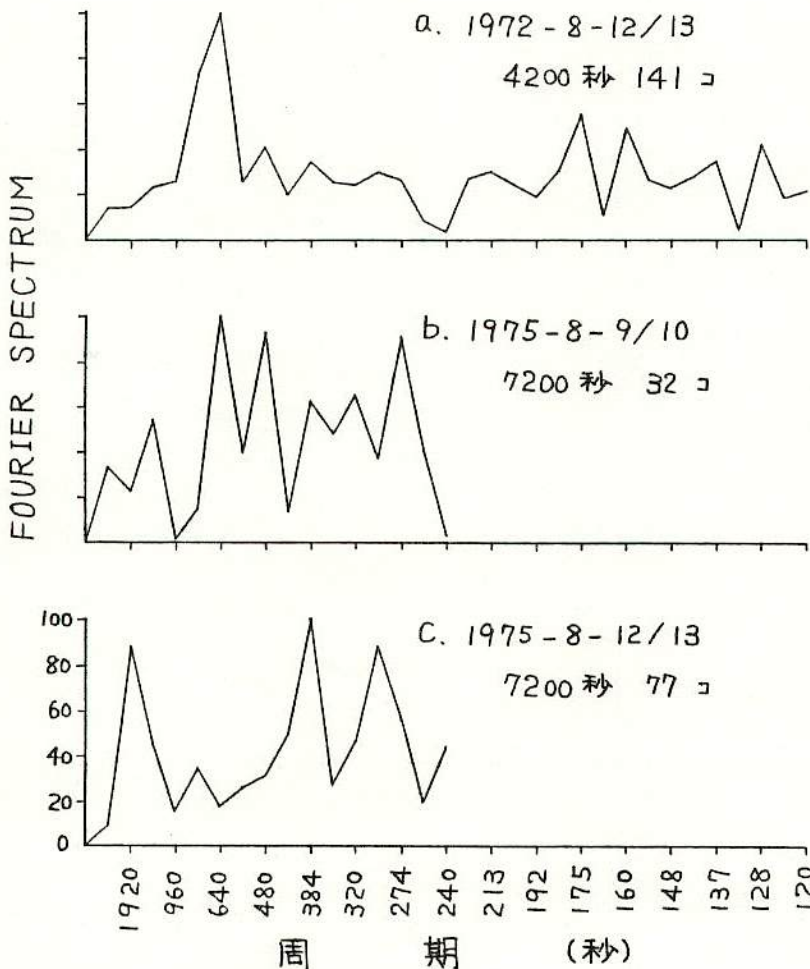


図3 Per 群 流星出現時刻のフーリエ・スペクトル

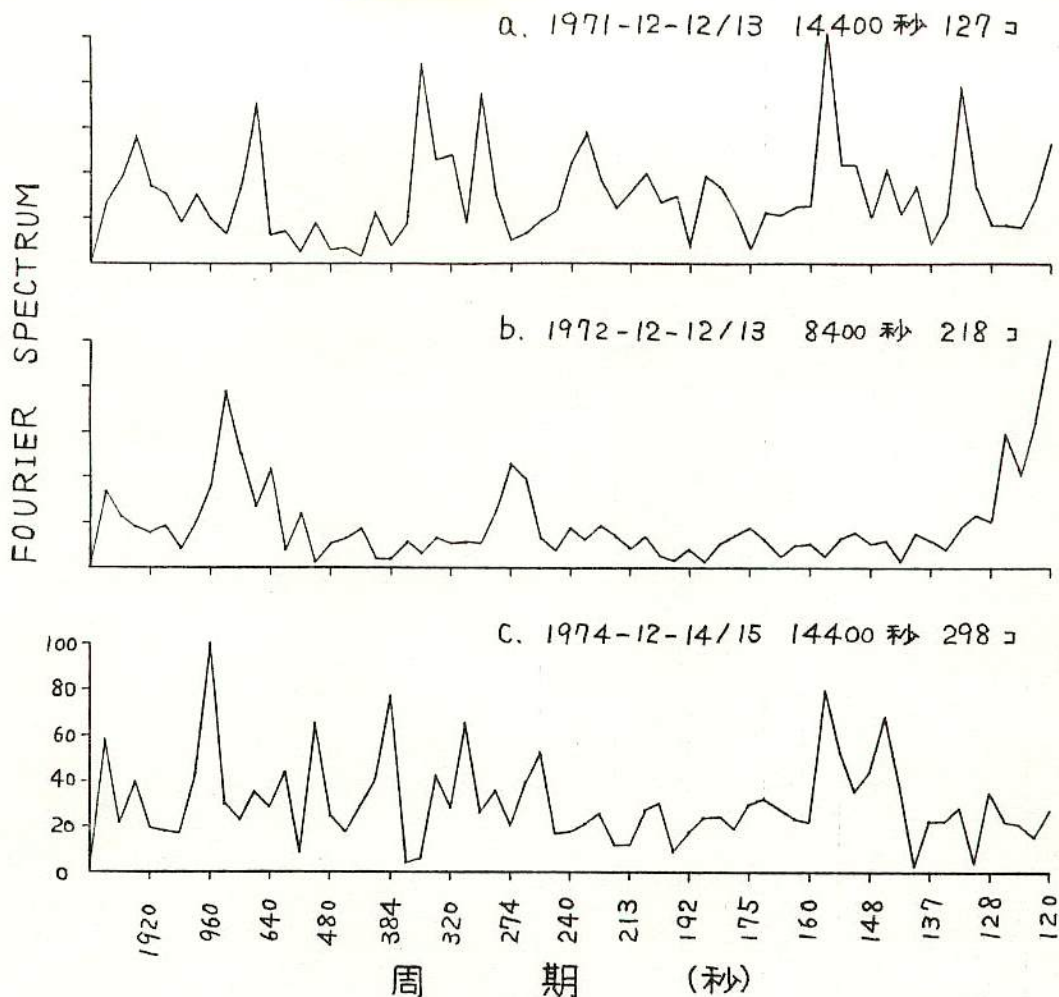


図4 Gem群 流星出現時刻のフーリエ・スペクトル

図4はGem群流星のフーリエ・スペクトルである。それぞれのグラフでいくつかのピークが見られる。これも後でまとめて考える。

図5は散在流星及びランダム・データのフーリエ・スペクトルである。ここでランダム・データとは計算機に一樣乱数を発生させ、それを観測時間内(この場合7200秒間)に適当にばらまいたものである。さてグラフにいくつものピークが現われたことについて考えてみる。もしデータ波がランダムな波(ホワイト・ノイズ)であれば、フーリエ・スペクトルのグラフは平坦なものとなることが期待される。しかし実際には、ランダム・データのグラフを見ても分かるようにかなりのざざざが現われている。これはデータ個数がまだ十分でないことが原因となっている。とすると、図3.4.にも同様のことが当てはまる。図3-aを除けば、他のグラフは何れも数多くのピークを持ちランダム・データのものと様子がよく似ている。一般にこのような場合は確率的に考えて有意差検定などを行なうのであるが、ここでは普通この種のグラフに於て行なわれている手法で考えてみる。

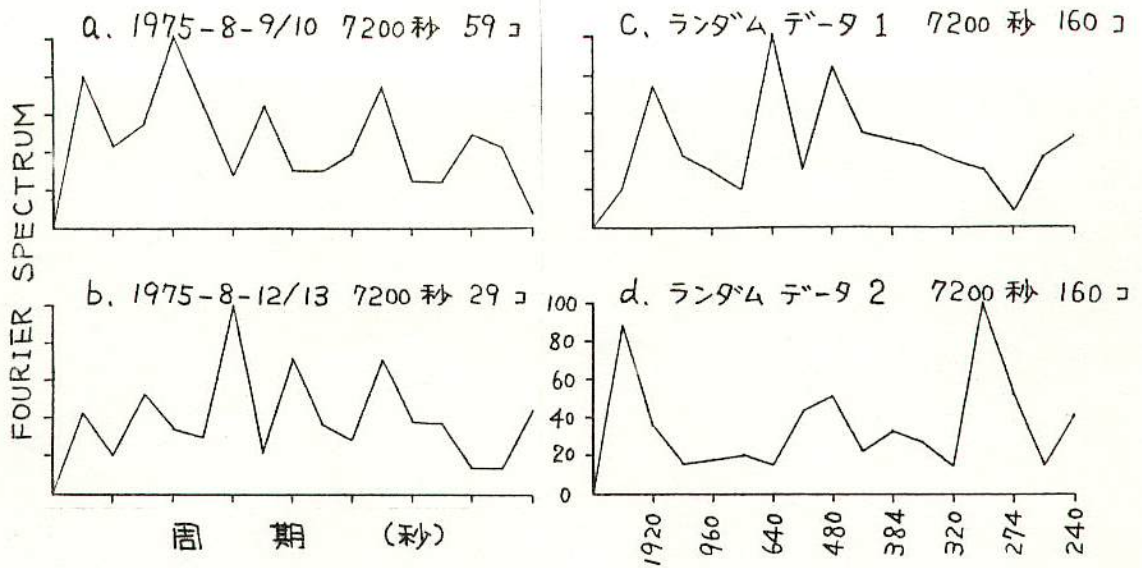


図5 散在流星・ランダムデータ 出現時刻のフーリエ・スペクトル

スペクトルの平滑化：移動平均法的に考えて、グラフをなめらかにすることにより、波のもっている本質的なものを浮かび出させることが出来る。本報には平滑化したグラフは載せていないが、人間の目による平滑化もまた計算より信頼がかけられるので試していただきたい。要点は大きな山の連なるところは平滑後も高い丘になるということである。

卓越周期の再現性：平滑をしないぎざぎざのグラフであっても、その時々、観測に於ては存在した状態なのであって、決してなおごりには出来ない。いくつかの同じ群のグラフを並べてみると卓越周期の再現性のあるなしが分かる。何時の観測データでも見られる周期であれば、正しくそれは有意な周期となる。

7. 結論

以上が流星の出現の周期性についての結果である。結論として言えることは、どの観測データについてもいくつかの周期でピークがあり、その時々、観測に於てはこれらの周期性を持っていたということである。ただ最終的にはその再現性をもって議論すべきであるから、本報の結果を見る限りではこれといった周期性はないとの結論になるだろう。

8. おわりに

これまでの報告では、全て流星の出現がランダムであるとの結論を得て来た。しかし実際には弱い相互関係や周期性などは存在するかも知れない。もしそうであったとしても観測者はあくまでも確率的にしか議論出来ないのだから、結局流星の出現や分布に関する問題をまたかかすることはかなり難しいということになるだろう。

1980.3.7. 金 ミーン

《ランダム・データの豆まき現象の論証》

1. はじめに

第1~2報では、豆まき現象についての解釈が間違っていた可能性がある。本報では豆まき現象を次の様に考えたい。つまり単位時間あたりの出現個数の変化ではなく、次の出現までの待ち時間の増減であると。よって本報では待ち時間の確率の問題について述べることにする。

2. ランダム・データの待ち時間

時 分 秒				
0, 1, 49	0, 1, 53	0, 2, 7	0, 2, 7	0, 3, 37
0, 4, 20	0, 5, 36	0, 5, 51	0, 5, 55	0, 5, 56
0, 8, 3	0, 8, 20	0, 8, 21	0, 9, 34	0, 9, 45
0, 10, 11	0, 10, 49	0, 11, 50	0, 12, 12	0, 13, 33
0, 14, 12	0, 14, 24	0, 15, 0	0, 15, 10	0, 16, 6
0, 16, 9	0, 17, 55	0, 18, 15	0, 19, 52	0, 20, 3
0, 20, 20	0, 20, 24	0, 20, 46	0, 20, 56	0, 20, 59
0, 22, 48	0, 22, 51	0, 22, 54	0, 23, 8	0, 23, 20
0, 23, 34	0, 23, 57	0, 24, 7	0, 24, 48	0, 26, 15
0, 28, 26	0, 28, 26	0, 29, 24	0, 29, 26	0, 29, 33

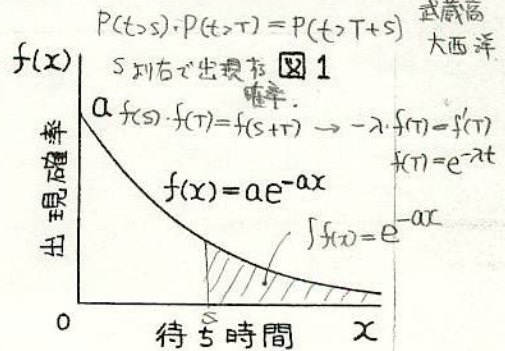
上の表は第2報のランダム・データ2の一部である。7200秒間に160コであるから、平均的には45秒に1コの割合になるのであるがどうだろう。初めの10分間の15コを見てみる。4秒以内に次の出現のあるものを数えると、5回9コもの流星がその仲間に入っている。また最長待ち時間は127秒である。10分台、20分台などはどれ程ではないか。とにかくこの様なデータによって観測者は時々固まった出現があると感じるのである。

1980.9.28
武蔵高
大西洋

ここでこのことを確率的に考えてみる。一般に待ち時間の出現確率 $f(x)$ は以下の式に従うことが知られている。

$f(x) = ae^{-ax}$ (1) 指数分布

上式はグラフでは図1のようになる。この図から次の2つのことを読みとることが出来る。まず、次の出現は今の出現のすぐ直後の確率が高い。そして、今の出現の後ある程度時間が経過したならば、次の出現の確率の単位時間あたりの減少量は少ない。よって次のような結論となる。



3. ランダム・データの豆まき現象の論証

流星観測者は、はたして観測中に単位時間あたりの流星数を認識しているのだろうか。もしこれらと認識しているならば、豆まき現象の存在などは問題にならなかつたかも知れない。観測者はこの

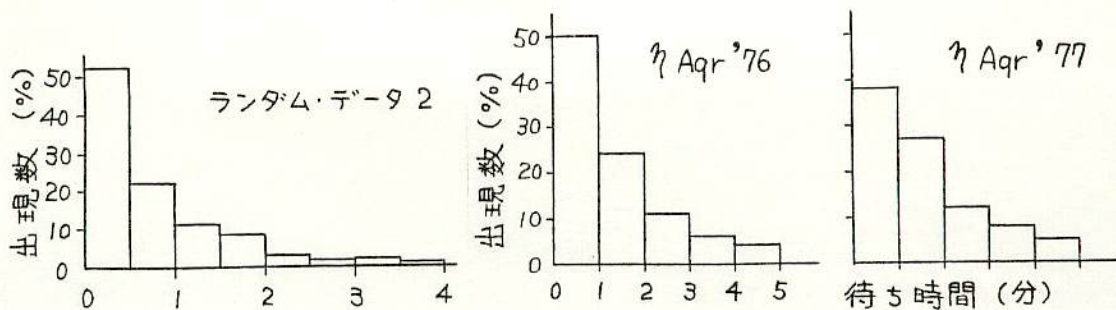


図2 待ち時間と出現数の関係のグラフ

場合流星数よりも待ち時間をより強く認識しているに違いない。つまり観測者はランダム・データ2の例で言うならば、次の出現は約45秒後であって欲しいのであり、45秒後を極大にした正規分布か頭の中に浮かんでいるのである。ところが実際には図1のような指数分布をしているのであって、この間には大きな溝があるわけである。よってこの溝を埋めるために人間は、豆まき現象なる言葉を発明したものと考えられる。つまりランダム出現であっても人間にとっては豆まき現象は見られるのである。(図3参照)

4. おわりに

論証に於て、多少偏見のあるような述べかたをしましたが、これは多分に意図的のところがあります。つまり豆まき現象を観測したことを話題にすることはかまわないが、だからと言って流星物質の分布についてとやかく言うことは少し早計ではないかと思われるからです。

ところで、ランダムな出現であっても豆まき現象が見られるのなら、豆まきが見られるのは流星の出現に限ったことではないでしょう。たとえば、客の到着時刻とか、電話の通話時間などがその例となります。この問題については、次の第4報で報告したいと考えています。

ともあれとかく我々が問題にすべきは、その確率を避けて通りがちなのは、想像との食い違ひの大きいことが原因になっているのかも知れません。

参考文献 (第1~3報)

1. 大崎 順彦：地震動のスペクトル解析入門，鹿島出版会(1977.4.)
2. 森口 繁一：日科技連数値表(A)，日科技連出版社(1976)。
3. 暮合 孝志(日大天文研)：FM電波観測の研究，連星32号(大天連)(1977.12.4.)。

この研究を行なうに当たって、須貝則朗君(明大天文部)に協力していただきました。

1980.3.8.土. 中〜人

《生活現象への当てはめ》

1. はじめに 豆まき現象について、第1〜3報を4回に渡って連載してまいりました。これまでの感想はいかがでしょうか。考えてみますとどうでもよいようなことをかくもここまで長々と(3年以上も)研究してきたものだとつくづく思っております。しかしおかげで副産物もいろいろと得ることができました。振動の運動方程式、フーリエ・スワクトル、計数データの計量データ化、そして待ち時間の確率の問題など、それぞれどれも初歩的なことですが、なんとか話ぐらいはできるようなりました。

さてその中で少し特異なものに待ち時間の確率の問題があります。今回は豆まき現象についての第4報として流星に限らずものごと全てに当てはまるこの現象についての話を、本研究のまとめとすることにします。

2. 生活現象への当てはめ 第3報で述べました通り、ランダムな出現をする現象はことごとく豆まき現象を引き起こすのですから、当てはめるべき現象は次の真砂ほどもあるということになるでしょう。そこでその中でも生活に密着したよくありそうなことについて当てはめたいと思います。

3. 出合い頭 図1を見て下さい。これは田舎の道路だとします。

自分は今自動車でA道を通っており、十字路を通過しようとしています。

するとB道を1台の自動車が行き過ぎて行きました。こゝろへんは交通量の少ないところですから、十字路を横切るのにB道の車に注意する必要はないでしょう。——これは果して安全でありましょうか。——否、待ち

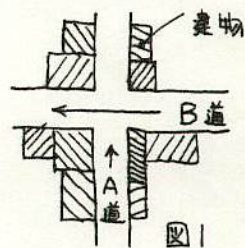


図1

時間の確率から考えると最も危険なことです。今通り過ぎた後、次の車が通り過ぎるまでの待ち時間は、図2の様な指数分布となります。よって次の車がやってくるのは今の車が通り過ぎたすぐ直後の確率が高いということになります。ところが一般に我々は図2の破線で示した様な曲線を想像しがちであります。よってこのギャップを豆まき現象と呼んでいるわけです。

ところで、道路に踏み切りがある場合はどうでしょう。——この場合こそ電車が通り過ぎた直後に渡ることが最も安全と言えるでしょう。ただし単線の場合ですか。

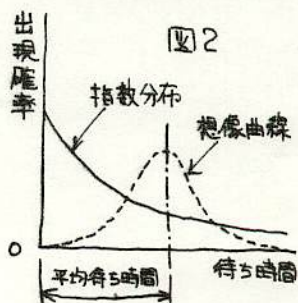


図2

4. 忙しい時に限ってまた仕事が舞い込む 私の今年の2月8日(金)の1日を紹介します。

「論文発表の原稿を書き4時に寝る。朝8時に起き、P型望遠鏡と100%レンズと三脚を持って友人宅を尋ねる。12時友人と新宿のカメラ屋へ接写リンクなどを買いに行く。12時30分セミの後輩と待ち合わせていたが会うことができない。14時ごろ大学に着く。論文のコピーをやるか、コピー

の機械が途中で故障となる。16^hから論文発表用のスライドの撮影をする。18^hごろ天文部の後輩が暗室を借りて来たので、無断で一夜貸す。18^h30^m スライド・フィルムを写真屋に出しに行く。19^hセミの後輩の下宿でスキヤキ・パーティーをする。」となっています。つまりこの日は一泊んに数多くの仕事を重ねてしまったのですが、これには2つの理由が考えられます。一つは仕事を1日で片付けてしまおうと考えたため重なったもの。そしてもう一つは待ち時間の確率により予期せぬ仕事を重ねて無い込んだためです。一つの仕事の後にまた他の仕事が無駄に待ち時間は0秒後の確率が最も高いので、運が悪いと次々と仕事が無駄に待ち時間になります。その代り一日中何もやる事がなく「ポケー」っとしている日などというもあるわけです。そう考えますとただでさえ一日中忙しい某国首相などは、確率の大当りの日には死ぬほど忙しかったことと心中察する次第であります。

5. お話し中 電話をかけます。するとお話し中でした。一たん切つてもう一度電話をかけます。するとまたお話し中でした。さて、その次また続けて電話をかけますか、それともしばらく待ちますか。この問題は、待ち時間の確率の問題の他に通話時間の長さの分布に関係があります。電話屋さんの統計によりますと通話時間の分布は、やはり指数分布になるのだそうです。つまり短い通話時間の人が多くの中にあって、長い通話をする人は人数は少ないけれどその通話時間ときたら限度知らず、ということになります。一方短い方では通話時間0秒というのは無いわけですから、0秒付近に於ては多少違った分布をしていますが、通話時間の分布が指数分布をしているならば今の問題はどうなるでしょう。1度目にかけた時お話し中だった。これだけではいつからお話し中なのか分かりません。2度目にかけた時やはりお話し中だった。こうなると少なくとも何秒間以上お話し中であるかということになります。ここで次のことが言える様になります。先方が短い通話で終らせるつもりであるなら、2度目に電話をかけた時にはもうすでに通話は終わっているはずですから、つまりつながるはず。ところが2度目にやはりお話し中だったとしたら、短い通話で終るのか、長話になるのか、どちらとも言えなくなって来ます。一般にはここでしばらく待つのが良いかと思われまふ。そして今一度かけてみて、もしお話し中だったとしたら、もう長話の末期的症状ですからしばらくは電話のことを忘れた方がよさそうです。その他にもいつも長電話である人に電話をかけて、もしお話し中であつたとしたら、やはり同様の処置をとることが必要です。

6. おわりに 「いい気持で風局につかると決つて電話がかかってくる」「人が傘を持たないで外出したときに限つて雨が降る」そして、「無断駐車をしたときに限つて駐車違反でつかまる」これらは全て、確率的に言えば偶然の、人間に言わせれば奇妙な一致によるいたずらです。このような奇妙な一致を人間が観測すると、その人間はダグウッド・バムステッド症候群という症状を引き起こします。この症状が悪化してくると、「魔がさした」「運が悪い」などという事になってきます。私たちの経験の中にもこれらの症状はまだ数多くあると思います。こんな症状(現象)を見つけて行くことは、けつこうおもしろいことです。なにか新しい発見があるかも知れません。皆さんもちょっと気になつてみてはいかがでしょう。

1990.7.27.日 ミニ

* 追加報告 (個人計数観測でのデータ記録の見逃し補正)

流星の計数観測を個人で行なったとき、記録をとるために観測のできない時間が生じます。そこでこの見逃し時間の補正について考えてみましょう。

h	m	s					
0	1	49	0, 1, 53X	0, 2, 7X	0, 2, 7X	0, 3, 37	
0	4	20	0, 5, 36	0, 5, 51X	0, 5, 55X	0, 5, 56X	
0	8	3	0, 8, 20X	0, 8, 21X	0, 9, 34	0, 9, 45X	
0	10	11	0, 10, 49	0, 11, 50	0, 12, 12	0, 13, 33	
0	14	12	0, 14, 24X	0, 15, 0	0, 15, 10X	0, 16, 6	
0	16	9X	0, 17, 55	0, 18, 15X	0, 19, 52	0, 20, 3X	
0	20	20	0, 20, 24X	0, 20, 46	0, 20, 56X	0, 20, 59X	
0	22	48	0, 22, 51X	0, 22, 54X	0, 23, 8X	0, 23, 20	
0	23	34X	0, 23, 57	0, 24, 7X	0, 24, 48	0, 26, 15	
0	28	26	0, 28, 26	0, 29, 24	0, 29, 26X	0, 29, 33X	

上の表は第2~3報に出てきたランダム・データの一部です。表の通り30分間で50個の流星が出現しています。今この出現の計数観測を個人で行ない、流星1個の記録に20秒を要したとします。上表にはそれによって見逃した流星にX印を付けてあり、それ観測できた流星数は26個となります。見逃し時間を考えて補正流星数は以下の通りです。

$$\text{全観測可能時間} = 1800^s, \text{見逃し時間} = 20^s \times 26^{\text{個}} = 520^s$$

$$\text{補正流星数} = \frac{1800^s}{1800^s - 520^s} \times 26^{\text{個}} = 36.6^{\text{個}}$$

補正流星数: $36.6^{\text{個}}$ に対して実際の流星数は $50^{\text{個}}$ であり、 $36.6^{\text{個}} / 50^{\text{個}} \times 100 = 73\%$ とずれが生じました。これは次の理由によるものです。つまり見逃し時間は全て流星が出現した直後に発生します。よって待ち時間の確率から考えて一番出現しやすい時間はかり見逃していたわけです。(同様に見逃し時間: 15, 25, 30秒 のときの補正流星数は 43.6, 40.7, 42.9^個)

この様な見逃し時間の補正は正確に行なうことは困難で、見逃し時間のない観測をする必要があります。さもないと記録をとっているときに限って流星が多く出現するとほやくことになるでしょう。

発行 ©1980.9.28.(日) 50部

発行者 重野好寿 211 川崎市中原区木月住吉町 2024 044-411-2291

** 本報は天文セミナー(戸田雅之発行)の1980年2月号~8月号に連載したものです。

輻射点

単一流星（同時流星にならなかった流星）からの輻射点決定法は、長沢工による「多数の流星写真による流星群輻射点の高精度決定法（1978）」（東京天文台報）により確定されました。

最近話題となったのは、ジャコビニ流星群の輻射点を写真及びTV観測で求めたことです。

また同時流星で求めた輻射点の精度に関して、誤差楕円の求め方が話題となっています。

1977年 オリオン座流星群の輻射点とその広がり 木村直人

< 計算方法 >

発光点と消滅点を結ぶ径路大円の極を用いて計算する。

多数のデータなので、最小自乗法によって最もよい解を得る。

輻射点の広がりとは、輻射点と径路大円の角距離を出し、その標準偏差を広がりとする。

< 天頂引力補正 >

観測地の λ, ϕ 及び流星出現時刻(地方恒星時)がわかっているので、流星速度 V_{∞} を仮定して補正を行う。

< フィルム測定 >

理想的には、XYコンパレーターを用いて測定すればいいが、時間がかかった。

そこで、引を伸し投影において、拡大した像から標準座標法によって位置を決定。

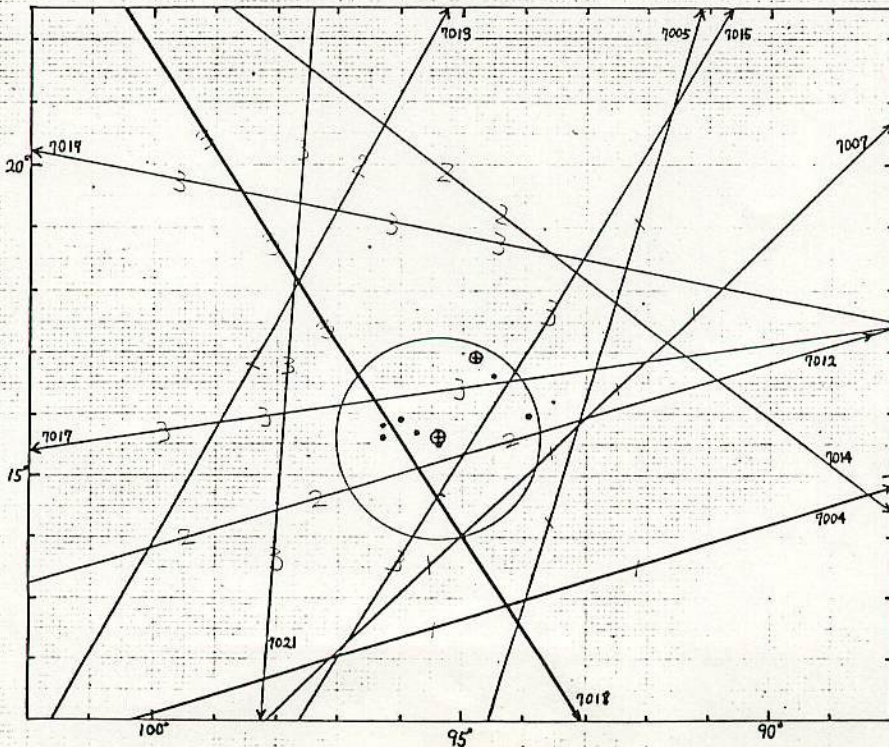
測定精度は 40" 前後。

< 重み計算 >

径路の長さ、輻射点からの距離により求める。

$$W \propto \frac{\sin^2(S_2 - S_1)}{\sin^2 S_1 + \sin^2 S_2} \quad W \text{ の値は合計が流星の個数になるように調整。}$$

天頂引力補正後の流星径路図



1979.6.24 4回M.S.S.

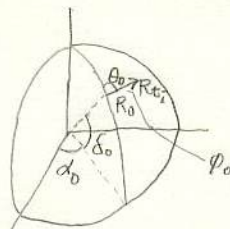
流星群の輻射点移動

日大天文研OB

木村直人

時刻 t_0 において輻射点 $R_{t_0}(\alpha_0, \delta_0)$ が、 θ_0 方向に速度 φ_0 で移動しているものとする。その時、時刻 t_i において輻射点 R_{t_i} の位置は

$$R_{t_i} = \begin{pmatrix} \cos \delta_i \cos \alpha_i \\ \cos \delta_i \sin \alpha_i \\ \sin \delta_i \end{pmatrix} = \begin{pmatrix} X_i \\ Y_i \\ Z_i \end{pmatrix}$$



$$= \begin{pmatrix} \cos \alpha_0 & -\sin \alpha_0 & 0 \\ \sin \alpha_0 & \cos \alpha_0 & 0 \\ 0 & 0 & 1 \end{pmatrix} \begin{pmatrix} \cos \delta_0 & 0 & -\sin \delta_0 \\ 0 & 1 & 0 \\ \sin \delta_0 & 0 & \cos \delta_0 \end{pmatrix} \begin{pmatrix} 1 & 0 & 0 \\ 0 & \cos \theta_0 & \sin \theta_0 \\ 0 & -\sin \theta_0 & \cos \theta_0 \end{pmatrix} \begin{pmatrix} \cos \{\varphi_0(t_i - t_0)\} \\ 0 \\ \sin \{\varphi_0(t_i - t_0)\} \end{pmatrix} \dots (1)$$

$$= \begin{pmatrix} (\cos \{\varphi_0(t_i - t_0)\} \cos \delta_0 - \sin \{\varphi_0(t_i - t_0)\} \cos \theta_0 \sin \delta_0) \cos \alpha_0 - \sin \{\varphi_0(t_i - t_0)\} \sin \theta_0 \sin \alpha_0 \\ (\cos \{\varphi_0(t_i - t_0)\} \cos \delta_0 - \sin \{\varphi_0(t_i - t_0)\} \cos \theta_0 \sin \delta_0) \sin \alpha_0 + \sin \{\varphi_0(t_i - t_0)\} \sin \theta_0 \cos \alpha_0 \\ \cos \{\varphi_0(t_i - t_0)\} \sin \delta_0 + \sin \{\varphi_0(t_i - t_0)\} \cos \theta_0 \cos \delta_0 \end{pmatrix} \dots (2)$$

で与えられる。

輻射点の移動とは、位置 (α_0, δ_0) と速度 (θ_0, φ_0) を求めることにより、移動を知ることができるところである。

今、4つの未知数に対して次のように式の変形を試みる。

$$\left. \begin{aligned} \alpha_0 &= \alpha + \Delta\alpha \\ \delta_0 &= \delta + \Delta\delta \\ \theta_0 &= \theta + \Delta\theta \\ \varphi_0 &= \varphi + \Delta\varphi \end{aligned} \right\} \dots (3)$$

そして、 α_0 の近似値として α を、 δ_0 の近似値を δ とし、... といふように、それぞれの近似値を与えて、その補正量 $\Delta\alpha, \Delta\delta, \dots$ を求めるようにしてみる。

ここで、補正量は小さな量で、次の近似が成り立つとする。

$$\begin{aligned} \sin(\alpha + \Delta\alpha) &= \sin \alpha \cos \Delta\alpha + \cos \alpha \sin \Delta\alpha \\ &\approx \sin \alpha + \Delta\alpha \cdot \cos \alpha \end{aligned} \dots (4)$$

(3) を (2) に代入すると、

$$\begin{aligned}
 X_i = & (\cos\{\} \cos\delta - \sin\{\} \cos\theta \sin\delta) \cos\alpha - \sin\{\} \sin\theta \sin\alpha \\
 & - \Delta\varphi (t_i - t_0) [(\sin\{\} \cos\delta + \cos\{\} \cos\theta \sin\delta) \cos\alpha + \cos\{\} \sin\theta \sin\alpha] \\
 & + \Delta\theta (\sin\{\} \sin\theta \sin\delta \cos\alpha - \sin\{\} \cos\theta \sin\alpha) \\
 & - \Delta\delta (\cos\{\} \sin\delta + \sin\{\} \cos\theta \cos\delta) \cos\alpha \\
 & - \Delta\alpha [(\cos\{\} \cos\delta - \sin\{\} \cos\theta \sin\delta) \sin\alpha + \sin\{\} \sin\theta \cos\alpha]
 \end{aligned}$$

$$\begin{aligned}
 Y_i = & (\cos\{\} \cos\delta - \sin\{\} \cos\theta \sin\delta) \sin\alpha + \sin\{\} \sin\theta \cos\alpha \\
 & - \Delta\varphi (t_i - t_0) [(\sin\{\} \cos\delta + \cos\{\} \cos\theta \sin\delta) \sin\alpha - \cos\{\} \sin\theta \cos\alpha] \\
 & + \Delta\theta (\sin\{\} \sin\theta \sin\delta \sin\alpha + \sin\{\} \cos\theta \cos\alpha) \\
 & - \Delta\delta (\cos\{\} \sin\delta + \sin\{\} \cos\theta \cos\delta) \sin\alpha \\
 & + \Delta\alpha [(\cos\{\} \cos\delta - \sin\{\} \cos\theta \sin\delta) \cos\alpha - \sin\{\} \sin\theta \sin\alpha]
 \end{aligned}$$

$$\begin{aligned}
 Z_i = & \cos\{\} \sin\delta + \sin\{\} \cos\theta \cos\delta \\
 & - \Delta\varphi (t_i - t_0) (\sin\{\} \sin\delta - \cos\{\} \cos\theta \cos\delta) \\
 & - \Delta\theta \sin\{\} \sin\theta \cos\delta \\
 & + \Delta\delta (\cos\{\} \cos\delta - \sin\{\} \cos\theta \sin\delta)
 \end{aligned}$$

--- (4) ✓

ここで $\sin\{\}$ は $\sin\{\varphi(t_i - t_0)\}$ を意味する。

(4) 式を見やすくするために、定数項を定数 R_{ij} で置き換えると、

$$\begin{aligned}
 X_i = & R_{11} + \Delta\varphi \cdot R_{12} + \Delta\theta \cdot R_{13} + \Delta\delta \cdot R_{14} + \Delta\alpha \cdot R_{15} \\
 Y_i = & R_{21} + \Delta\varphi R_{22} + \Delta\theta R_{23} + \Delta\delta \cdot R_{24} + \Delta\alpha R_{25} \\
 Z_i = & R_{31} + \Delta\varphi R_{32} + \Delta\theta R_{33} + \Delta\delta R_{34}
 \end{aligned}$$

----- (5)

となる。

時刻 t_i に流星 $M_i (L_i, M_i, N_i)$ が出現したとすると、

$$\begin{aligned}
 R_{ti} \cdot M_i = & X_i L_i + Y_i M_i + Z_i N_i \\
 = & A_i + \Delta\varphi B_i + \Delta\theta C_i + \Delta\delta D_i + \Delta\alpha E_i \\
 = & \varepsilon_i \\
 \doteq & 0
 \end{aligned}$$

----- (6)

となる。

但し、(6)式において、 A_i, B_i, C_i, D_i, E_i は次を意味する。

$$\left. \begin{aligned} A_i &= R_{11} \cdot L_i + R_{21} \cdot M_i + R_{31} \cdot N_i \\ B_i &= R_{12} \cdot L_i + R_{22} \cdot M_i + R_{32} \cdot N_i \\ C_i &= R_{13} \cdot L_i + R_{23} \cdot M_i + R_{33} \cdot N_i \\ D_i &= R_{14} \cdot L_i + R_{24} \cdot M_i + R_{34} \cdot N_i \\ E_i &= R_{15} \cdot L_i + R_{25} \cdot M_i \end{aligned} \right\} \text{--- (7)}$$

(6)式を観測方程式として、最小自乗法により補正量を計算してみる。

$$\left. \begin{aligned} \frac{1}{2} \frac{\partial E_i^2}{\partial \Delta \varphi} &= \Delta \varphi [B^2] + \Delta \theta [BC] + [AB] \\ \frac{1}{2} \frac{\partial E_i^2}{\partial \Delta \theta} &= \Delta \theta [C^2] + \Delta \varphi [BC] + \Delta \delta [CD] \\ \frac{1}{2} \frac{\partial E_i^2}{\partial \Delta \delta} &= \Delta \delta [D^2] + \Delta \theta [CD] + \Delta \alpha [DE] \\ \frac{1}{2} \frac{\partial E_i^2}{\partial \Delta \alpha} &= \Delta \alpha [E^2] + \Delta \delta [DE] + [AE] \end{aligned} \right\} \text{--- (8)}$$

したがって、正規方程式は、

$$\left\{ \begin{aligned} [B^2] \Delta \varphi + [BC] \Delta \theta &= -[AB] \\ [BC] \Delta \varphi + [C^2] \Delta \theta + [CD] \Delta \delta &= 0 \\ [CD] \Delta \theta + [D^2] \Delta \delta + [DE] \Delta \alpha &= 0 \\ [DE] \Delta \delta + [E^2] \Delta \alpha &= -[AE] \end{aligned} \right\} \text{--- (9)}$$

となる。

求まった補正量を(3)式により代入して未知数を知る事ができる。精度を上げるために、求まったものを新に近似値として、その補正量を求めるという事を数回繰り返すと良い。

[計算例]

1977年12月のGem群について計算してみた。その結果

視輻射点, (113.78, 31.06)
その広がり 0.604

真輻射点, (113.83, 31.53)
広がり 0.416

となった。流星数は19個で、すべて出現時刻のわかっているものを用いた

同じデータを用いて輻射点移動を計算

12月11日 (113.68, 31.14)

12日 (113.79, 31.22)

13日 (113.91, 31.30)

14日 (114.03, 31.38)

引伸しグラフ用紙
標準座標

時刻は J.S.T. 0時. 広がりは、0.52 ?

この計算は、初期値をうまく取らないと解が収束しなく発散してしまう。
また、データも長期間のものでないと、やはりうまく解が出ない。
今回用いたデータも、あまり良いものではなく、輻射点の移動を考えるには、少し無利な感じがする。

主要流星群の真輻射点リスト (速報)

KPM ネットワーク

しじんぎ、ペルセウス、ふたごの各群について
KPM リストより真輻射点をぬきだしてプロット
した。

	データ数	年
Quadrantids	25	1955-1979
Perseids	41	1964-1980
Geminids	52	1969-1979

投影法は、ステレオネット作成と同じ平射図法を用
いた。

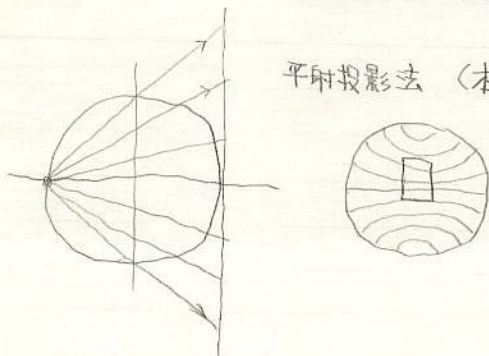
しじんぎ、ふたごとも輻射点の集中は良いが、
ペルセウスでは、赤経にして 70° 近い範囲にちぎら
れている。群自体の老齢化による拡散であろうが。

作図は、TRS-80 + マイプロットで行なった。

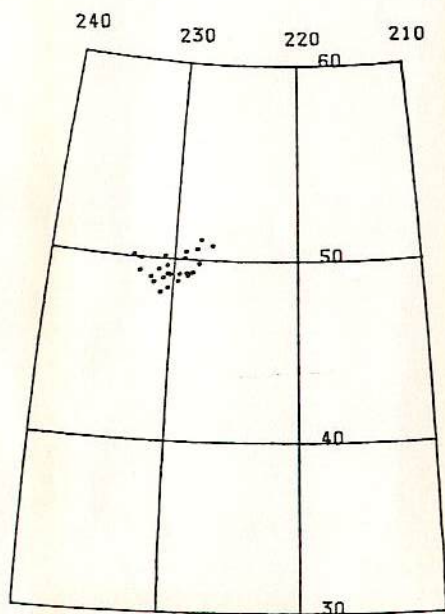
製作 MSS - J. 笠原 雅弘

1981 Oct. 15

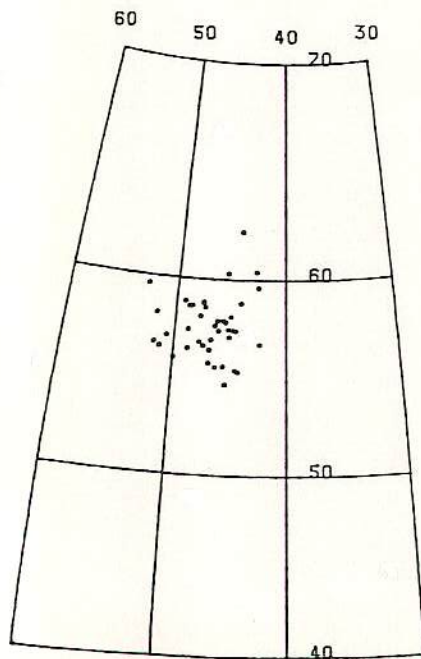
平射投影法 (本報はこれ)



QUADRANTIDS

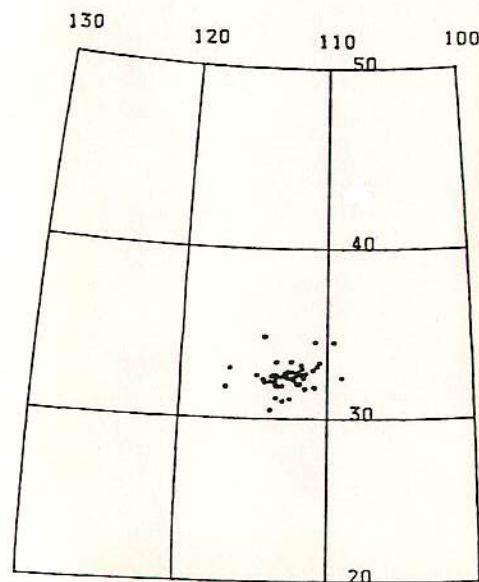


PERSEIDS (KPM)



3日間の真輻射点

GEMINIDS (KPM)



3日間の真輻射点

KPMリストにおける Gem 群の真放射点の分布

KPM. 佐々木 道治.

KPM.DMS によって処理された 154 個の同時流星のうち、Gem 群の流星は、1976~82年の7年間で53個である。全このなかの測定精度の平均は、44.9秒である。

1. 出現時刻を、1950.0分点の太陽黄経に变换
2. 太陽黄経(X軸).真放射点の赤経 α (Y軸)をとり、プロットし直線近似をする。
3. 同様に、太陽黄経(X軸).真放射点の δ (Y軸)についても行う。(1次).

1~3.により、Gem 群の放射点の移動量を求めた。

$$\begin{aligned} \alpha &= 112.99 + 1.20 * (L_0 - 261.1252) \text{ 分散 } 0.61 \\ \delta &= +32.86 - 0.68 * (L_0 - 261.1252) \text{ 分散 } 0.54 \end{aligned} \quad \left\{ \begin{array}{l} \text{観測年表} \\ \alpha \approx 113 + 1.1 * (L_0 - 261.3) \\ \delta \approx 32 - 0.1 * (L_0 - 261.3) \end{array} \right.$$

また、ここで Gem 群の平均放射点と平均太陽黄経は、

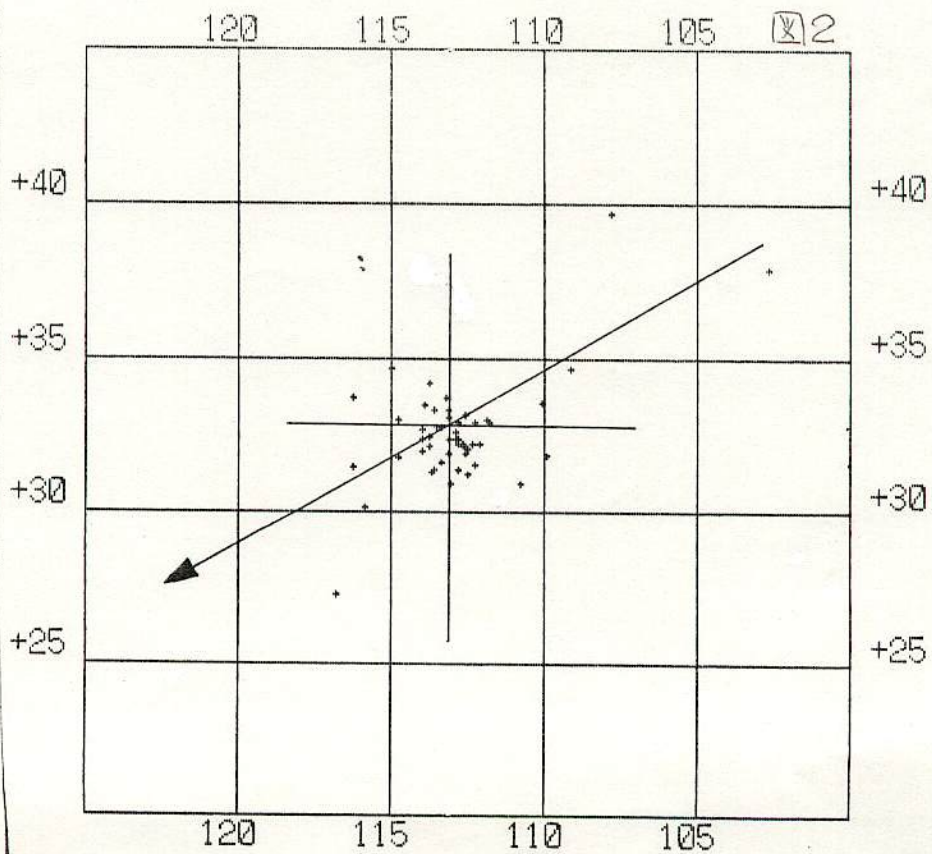
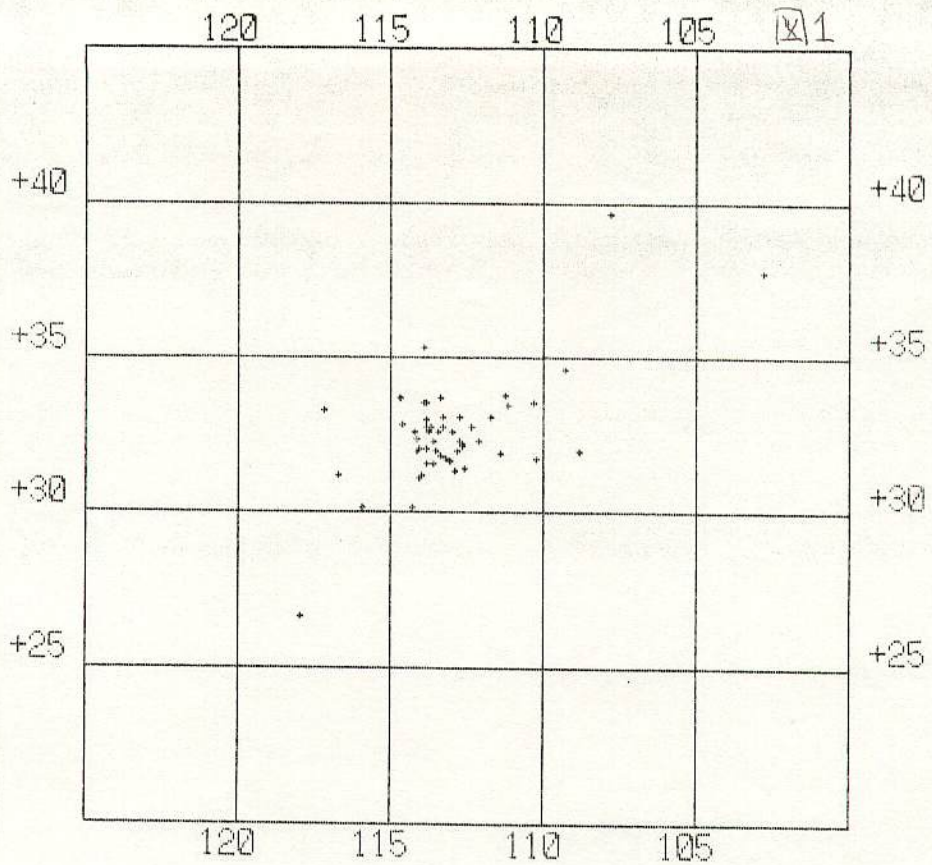
$$\begin{cases} \alpha = 112.99 \\ \delta = +32.86 \end{cases} \quad L_0 = 261.1252 \text{ (1950.0)} \quad \left\{ \begin{array}{l} \text{観測年表} \\ \alpha = 113 \\ \delta = +32. \end{array} \right.$$

であった。

以上をもとにして、 $L_0 = 261.1252$ における補正した放射点をプロットしたものが図2であり、補正前の放射点のプロットが図1である。さらに、図2には、放射点の移動方向を書き加えた。

結果、
 ◦ 観測年表の放射点の移動量に比べ、 δ の移動量はだいぶ大きい。
 ◦ 放射点の広がりも、と大きい。(2~3deg)

12月10~15日の観測



写真観測より求めたみずがめ群の輻射点について
 on the Radiant Point of the η Aquarids by photographic meteors

大塚勝仁

1986年5月4/5日にモロングに25個のみずがめ群流星を撮影する事ができ輻射点を精度よく求める事ができた。

撮影地: モロング Molong $\lambda - 148^{\circ} 53' 44".3$
 (site) $\varphi - 33^{\circ} 05' 08".9$
 H 598 m

撮影機材その他の事については別紙参照。

流星の事-7: Fig. 1, 2 参照

出現時刻 (JST)	発光点 1950.0	消滅点 1950.0	比較星 S.D	W.I.E
1. 3 ^h 26 ^m 20 ^s	17 ^h 57 ^m 57. ^s 9 - 19° 30' 17"	17 ^h 24 ^m 16. ^s 7 - 20° 10' 18"	44".9	0.68
2. 3 33 23	17 21 06.5 + 5 46 04	17 05 09.2 + 5 59 50	19.0	0.88
3. 3 46 56	17 13 42.2 - 17 40 59	16 53 36.3 - 17 46 59	38.0	0.32
4. 4 31 38	21 36 30.8 - 24 09 39	21 28 26.5 - 27 11 36	20.6	± 2.78
5. 4 33 25	20 00 15.0 + 15 01 37	19 47 43.1 + 16 14 33	37.2	0.34

以上5個の流星より求めた輻射点の結果は以下の通り

1986-5-4.79 UT @ 43.51 1950.0

α 1950.0	δ 1950.0	σ	
336.45	- 1.97	0.19	視輻射点 (WT 存)
336.61	- 1.99	0.07	視輻射点 (WT 考慮)
336.91	- 1.64	0.06	修正輻射点 (WT 考慮) †

†: V_G は 65.5 km/s と仮定。(H3-11862のDATAを採入)

Reference

長沢工 (1978) "多数の流星写真による流星群輻射点の高精度決定法"
 東京天文台報 第18巻第3冊

	α	δ	σ
H3-11862	335.57	-1.88	42.4
KPM82	336.57	-1.67	43.5

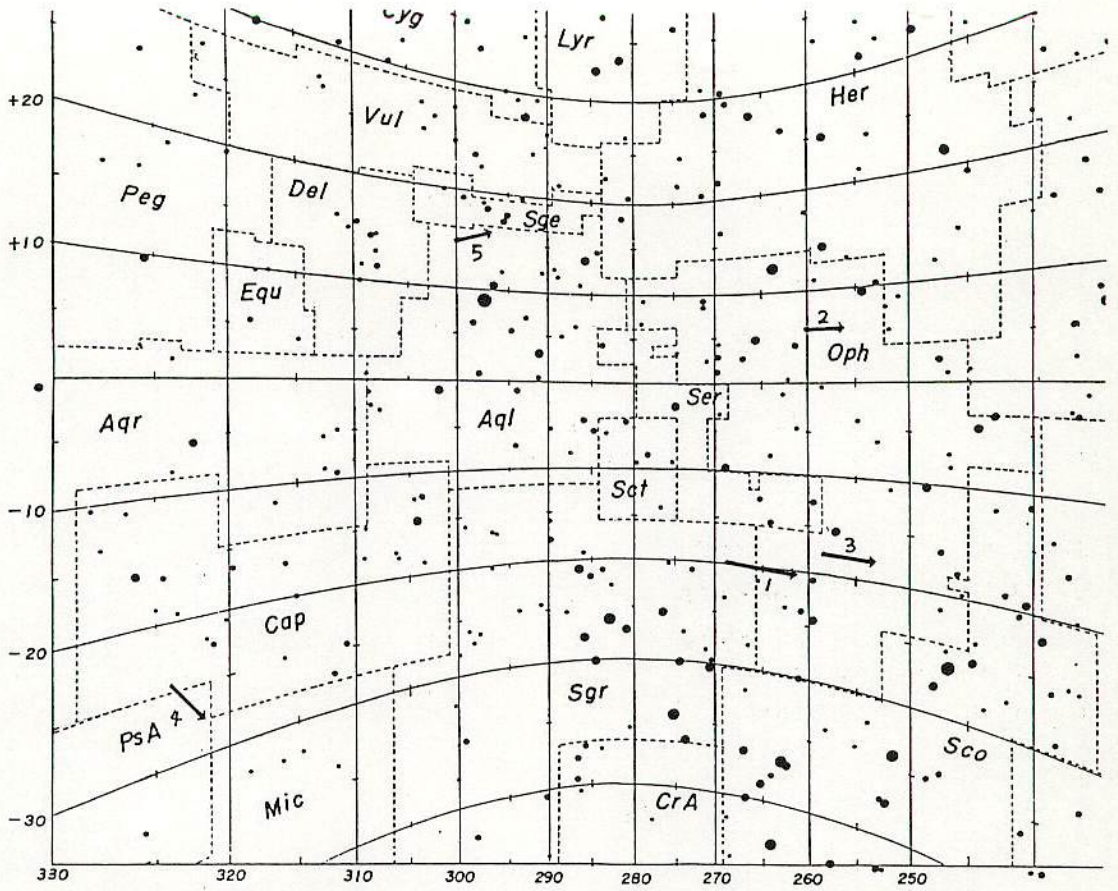


Fig 1: みまの群星の経路図

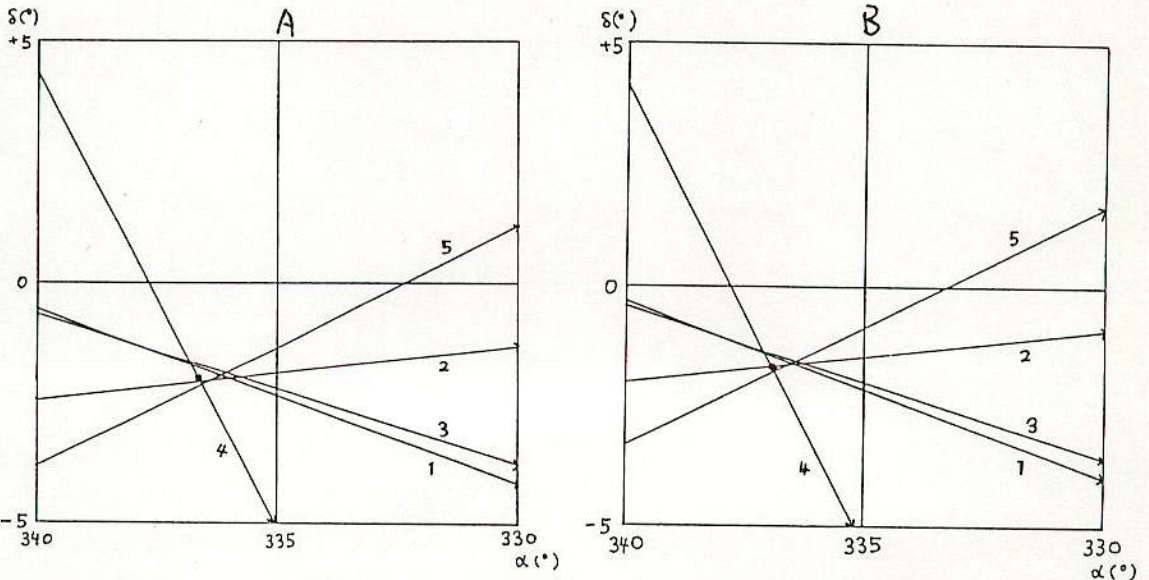


Fig 2: 縮射点付近の経路延長図 ● 縮射点
 A 視縮射点付近
 B 修正縮射点付近 (天体引力補正した経路図)

電波

F M放送を利用した流星の電波観測は肉眼やカメラでは見えない微光流星をとらえることができます。しかし、電波反射の機構については分からないことが多く、何回も議論した記憶があります。電波観測の短所は、流星の出現位置が決められないことで、これをなんとかするためにレーダーをはじめいろいろな提案があります。

流星の電波散乱

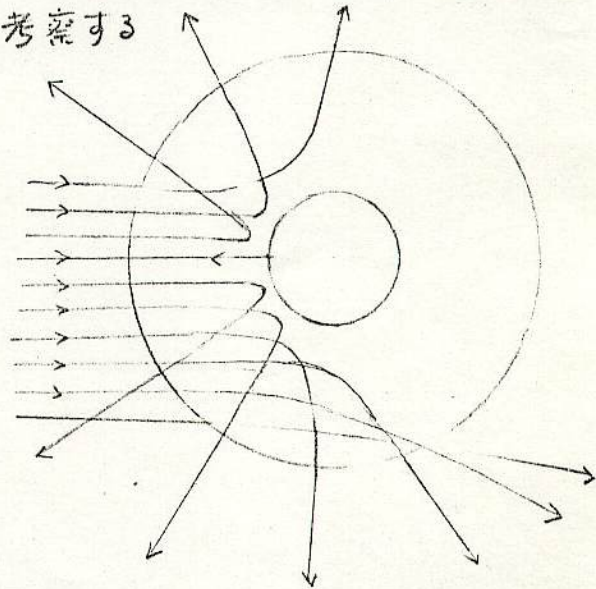
長沢工

(1) 流星が通過したあとにはその径路に沿って大気などが電離したくさんの電子が生じる。これを流星電離柱という。ここでは、電離柱が流星径路を中心として軸対称で、時間がたつにつれて電子が次第に拡散していくというモデルを考える。このモデルでは

- 中心位置は不動(風によつての吹き流しはない)
- 長さ方向には一様の構造をもつ
- 再結合による電子の減少は考えない

ものとする。このモデルによつて地上から発射された電波がどのように散乱し、どのようにFMエコーが生じるかを考察する

(2) 電離柱を軸方向から見たものを考える。一般に軸に近いほど電子密度が大きく、外側ほど電子密度が小さいから、この紙面に沿つて入射した電波を考えるなら、その電波は概略右図のように屈折する(軸に近く入射するほど屈折は大きい。屈折した電波は広い範囲に分散するのであつて、決して鏡面反射をするわけではない)



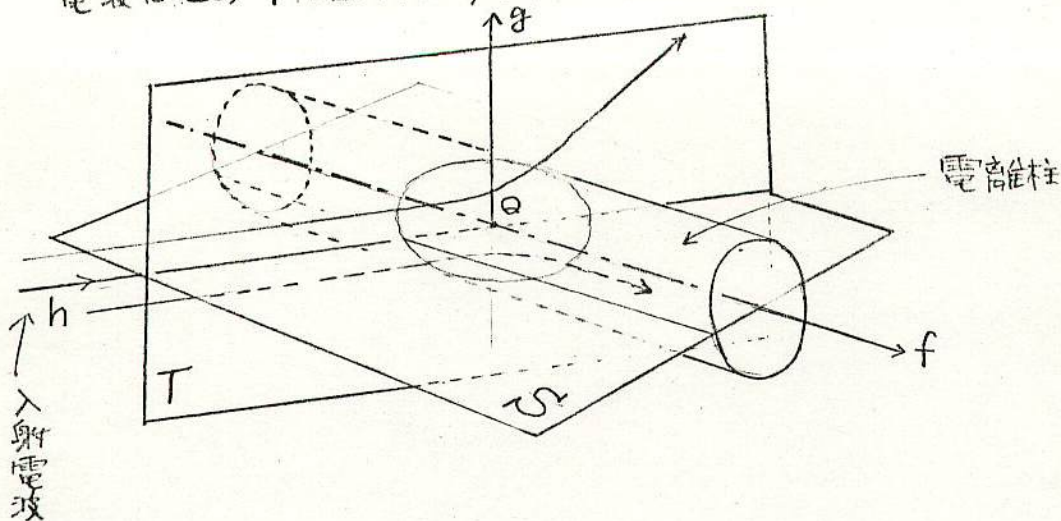
(3) 斜に入射した場合には、電波の進行方向のうち、軸に平行な成分には変化がなく、軸に直交する成分だけが上の図のように屈折する。この関係をわかりやすく示すと(次の図参照)

電離柱の軸の向きを示すベクトル f
 電波のはじめの進行方向を示すベクトル h } とすると

h, f を含む平面を S , S に直交するベクトル (f, h の両方に直交)

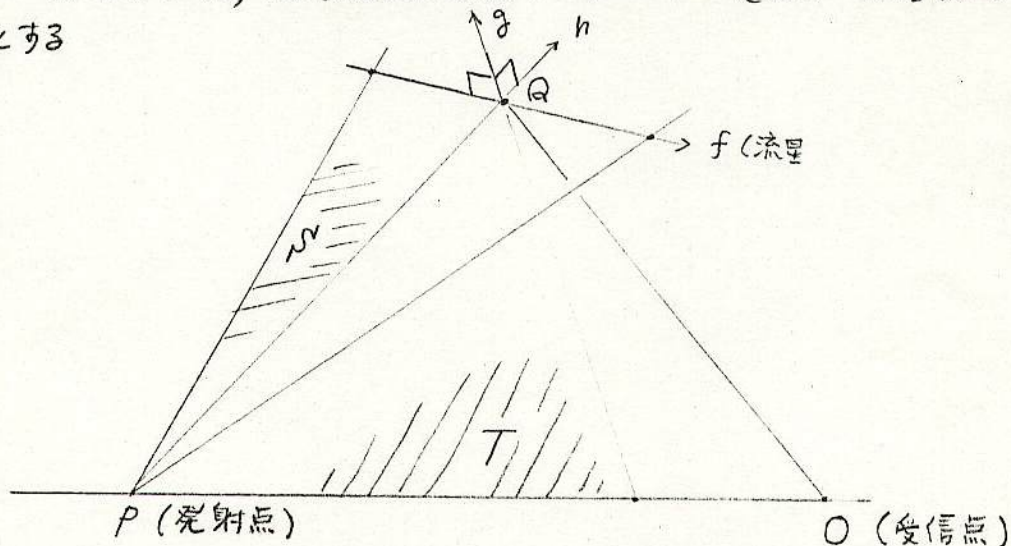
g を決めることができる。すなわち、 g, h を含む平面を T が決まる

電波はこのTの面内だけで屈折する



(3) これを現実の空間で考える

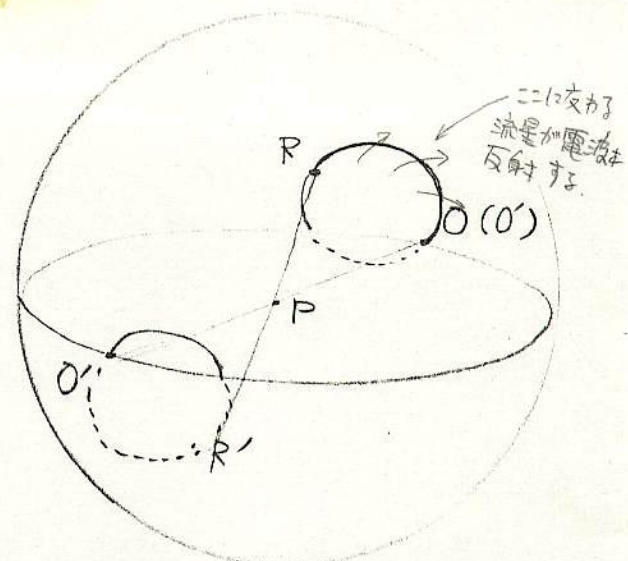
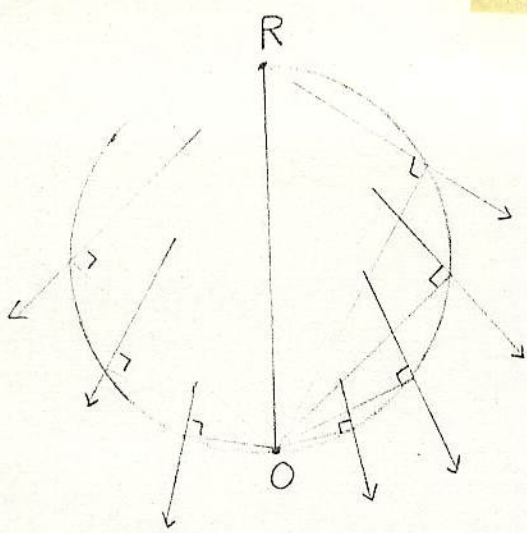
Pで電波を発射, 流星径路上の点Qで屈折した電波が受信点Oにとどくものとする



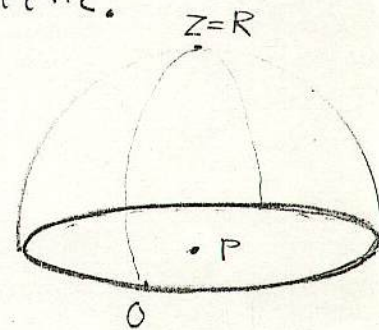
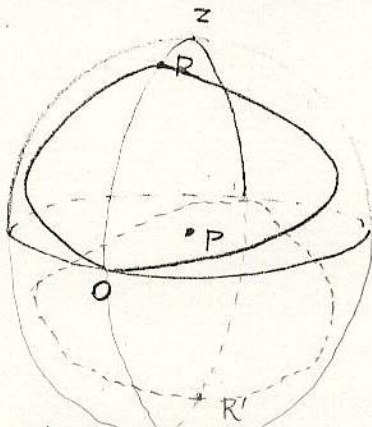
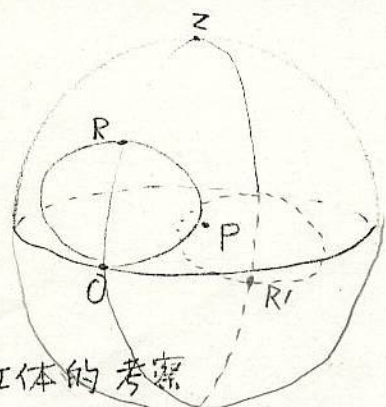
電波がOにとどくにはOが平面Tに含まれるなければならない。このときPからみると、平面Tは見かけ上流星径路fと直交する。つまり、エコーがOにとどく場合には、Pからみて、天球上で流星径路上にとつた点Qに対して、OQと流星径路は直交する。(流星径路上にこのような点Qがとれるければ、エコーはOにはとどかるい)。

(4) 輻射点との関係

Pからみて、天球上に受信点O, 輻射点Rを考える。流星はRから放射状にでるから、ORが小さいとき、Oにとどく電波は、ほぼORを直径とする天球上の小円の上でおこる(Rの代りに流星進行点R'を考えても同じである)

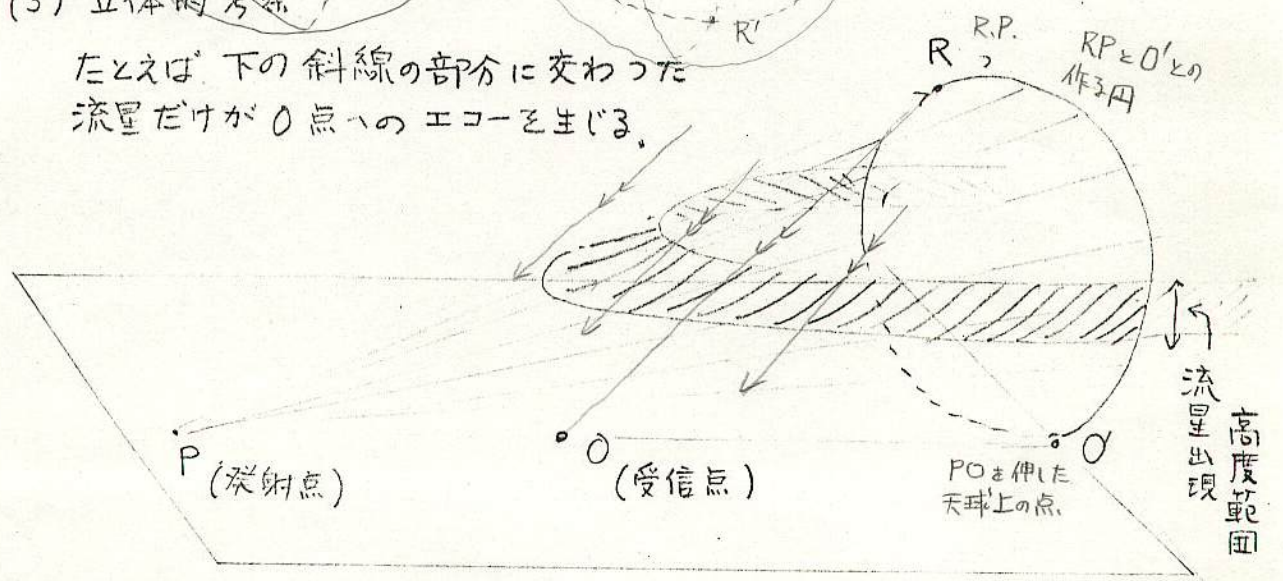


ORの間隔が大きくなると、形は円からだんだんずれていく。



(5) 立体的考察

たとえば、下の斜線の部分に交わった流星だけがO点へのエコーを生じる。



(6) 理論的考察 (要点のみ)

(80~110km)

電離柱内の電子密度 ρ (軸からの距離: r)

$$\rho = \frac{\rho_0}{4\pi Dt} \exp\left(-\frac{r^2}{4Dt}\right) \quad \text{拡散方程式から得られる}$$

ただし、 ρ_0 : 電子の線密度

D : 拡散係数

t : 出現後の経過時間

たとえば M_r は絶対等級 (電波) として

$$M_r = 39.4 - 2.5 \log \rho_0 \quad (\rho_0: m^{-1})$$

$$\text{また } \log D = 0.067 H - 5.6 \quad (D: m^2/s) \\ (H: km \text{ 地上高度})$$

電離柱の電波屈折率 m

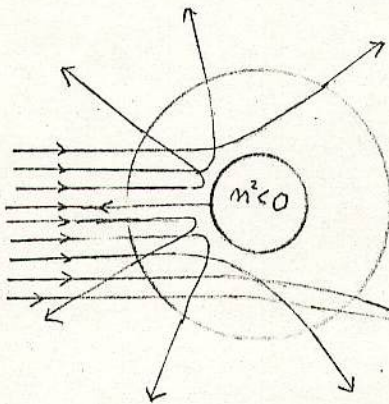
$$m^2 = 1 - A \exp\left(-\frac{r^2}{4Dt}\right)$$

$$= 1 - 80.62 \frac{P}{f^2} \quad \left\{ \begin{array}{l} f: \text{周波数 } s^{-1} \\ P: \text{電子密度 } m^{-3} \end{array} \right.$$

時間がたつにつれて A は小さくなるので $\left(A = \frac{e^2}{m\epsilon\omega^2} \frac{\rho_0}{4\pi Dt} \right)$

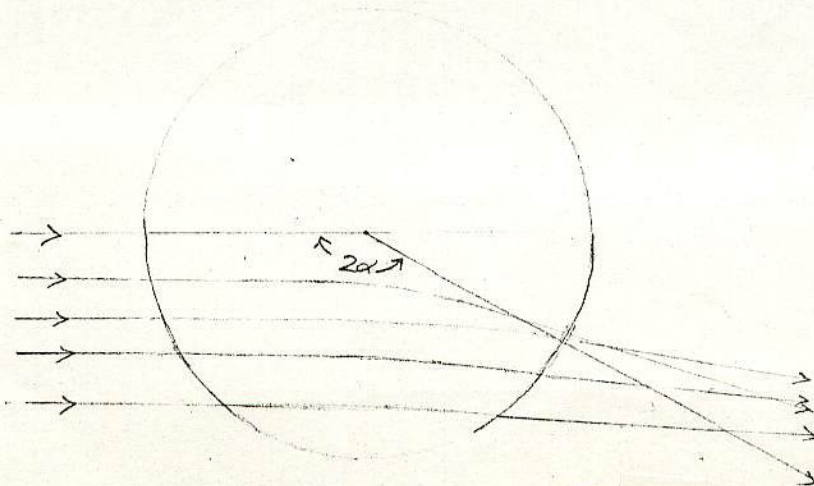
$A > 1$ では $m^2 < 0$ の部分がある (こゝは電波は進入できない)

$A < 1$ では 全ての部分で $m^2 > 0$



後方散乱

(電波発射点から 250 km 以内
で受信できるエコーは全部
後方散乱によるもの)



前方散乱

最大屈折角

$$2\alpha = 109.4^\circ$$

(中心で $m^2 = 0$)

FM電波観測による流星の位置決定 (I)

渡辺美和 (江東区平塚6-6-6303)

§1. はじめに.

FM電波観測により、流星の位置を知りたい、という欲を所々に満たす。「それは位置を知って何になるのか」とか「地味でも長くデータを累積させることがアマチュアの役目であってエタ」とか「他の手段で精度よく求めらるるものを今さらFMでやることもない、FMはそれらしい故のカウントという面での利点を追求めた方がよいのではないか」というような意見もある。なるほどいちは納得もできるが、儂がものたりない。

という事で、この議論はひとまず棚上げとして「可能性の开拓」という意味あいで、表題の件をとりこんでみることにした。

§2. システムの模索

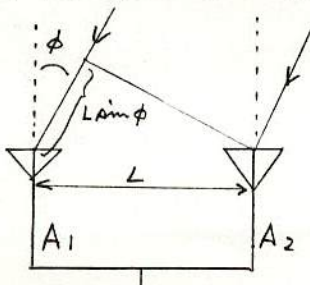
FMという領域、それもパッシブな方法で、というと限定的で、かつまたややゆずかしい方法だしが(あまりスマートではない)手段がない。参考になるのはレーダー技術のうちの方向探知というシステムだ。

たとえば、この頃話題になるイージス艦の三次元レーダーなど。このレーダーではビームをスキャンしている。そこでまず考えらるるのは、(昔日の飛行機グループアンテナを回していたような)①アンテナを回転、もしくは振動させる方法である。しかし機械的にこのような形でビームを振って最も受信電界強度の高い方向を決めることは機械的に感じ取れないし、かつまた現実的でもなく、何よりもスマートでない。

このような検討をすすめていくうちに、うまい資料がみつかった(*)長いこと机の中に眠っていたのである。

それは②干渉計による受信速度が電波到来方向を決るシステム案である。

§3. 干渉計の理論と製作



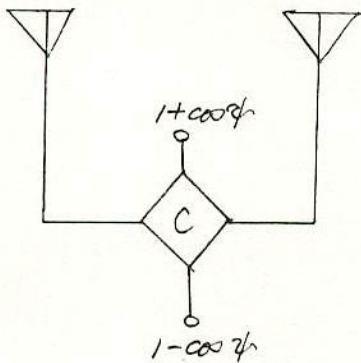
右図のよう、 A_1 と A_2 の2つのアンテナに電波が来た時、もしこれが正面($\phi=0$)の方向からの場合、 A_1 、 A_2 の出力は足す。ところが ϕ が大きくなるにつれ $L \sin \phi$ の位相差のため A_1 、 A_2 を足しても受信速度は低下する。 $L \sin \phi = \lambda/2$ ではこれはちょうど打ち消しあうような位相差となり出力がなくなる。

この干渉計の原理であり、今度は逆に、例えばA₂のアンテナに光路差を生じるような回路を付加することにより、その出力の比から方向を推定する。

あらかじめ的にまとめると

P_1 : A₁の出力 P_2 : A₂の出力 ψ : 位相差 L : アンテナ間の距離 とした時

$$P_1/P_2 = (1 + \cos \psi) / (1 - \cos \psi) \quad \text{ただし } \psi = \frac{2\pi L}{\lambda} \sin \phi$$



実際には右のような形の回路から $1 + \cos \psi$ の出力と $1 - \cos \psi$ の出力を係数の形でとり出し、これを P_1/P_2 の式にあてはめてみればよい。ただしCの部分の回路はハイブリットな物にして、使用ケーブルのインピーダンスマッチングをうまくとらなければならぬ、

出力としては $mV \sim$ 数 mV が得られるのでペンコタリに入れてあげて、とり

だせるようにする。S-Mターミナルをいかに、2つの出力を同時によみとるのは少々しんどいのだがこれはアナログ計算回路がA-D入力可能なパソコンで処理する。

§4. 準備

ここで必要とするのはアンテナ、ケーブル、ハイブリット回路、測定メータ類などである。E-W, N-Sをくまなく1隻で高い、方位角と知ることはできただが、実際には2地点で高さのみを決める、という方法がよさそうである。

現在器具の準備をすすめているので、この方もわかるのやとどうか次回までには何らかの実験の結果が本てくると思う。

(この、終)

* 干渉計によるFM流屋の測定 名大空電研 渡田孝氏 (P.P.)

構造

ほとんどの流星物質は、はかなく燃えつきてしまうので、その正体はなかなかとらえられませんでした。ところが、写真流星の経路を精密に解析するとその密度を知ることができます。実際に調べてみると群流星の多くは密度1以下で、きわめてがさがさした、あなだらけの、こわれやすい代物であることがわかってきました。最近では、これらの知見にもとずいて手にとることができるモデルを作ってしまう人も現われています。

180 May. 13

太陽系

(10^h30^m~)

9th MSS

II 流星の密度

小笠原雅弘、寺田 充(東京理科大)

近年、彗星とアポロ天体との関連がとりざたされ、流星体の密度に大きな関心が集まっている。そこで我々はPhotometric Mass (測光質量)と Dynamic Mass (力学質量)との比較から密度を算出することにした。この手法で求めたO-Chondrite状物質と考えられる高密度(3.7 g/cm³)流星については昨年の年会で発表した。

今回はこの手法で、さらに多くの流星について計算した。その結果、流星体はかなり高密度(2.1~3.7 g/cm³)のグループと、低密度(0.6 g/cm³)グループに分けられることがわかった。高密度グループは隕石状物質(C-Chondrite, O-Chondrite)。低密度グループは彗星状物質と考えられる。

彗星を母天体とする流星群のなかで最も短周期の「ふたご群」(a = 1.36 AU, e = 0.896)は、密度が0.6~1.0 g/cm³と彗星状物質としては最も大きいことがわかった。Cook (1973)は表層を失なった彗星内部核物質ではないか、と考えている。一方、「おうし群」「ペルセウス群」などの流星体密度は0.2 g/cm³位と小さく、彗星核表層から分離した物質であると考えられる。

問題点として、Single bodyを仮定したDynamic Mass: Md を求める式は

$$Md^{\frac{1}{3}} = -\frac{1}{2} \Gamma A \rho_m^{-\frac{2}{3}} \cdot \rho_a \cdot V^2 \cdot \dot{V}^{-1}$$

低密度で流星体がfrangibleな場合にはそのまま適用できない。このような場合、求めた密度は下限値の性質を帯びてくる。しかし密度が1 g/cm³をこえるような流星体ではSingle bodyと考えてもよいであろう。

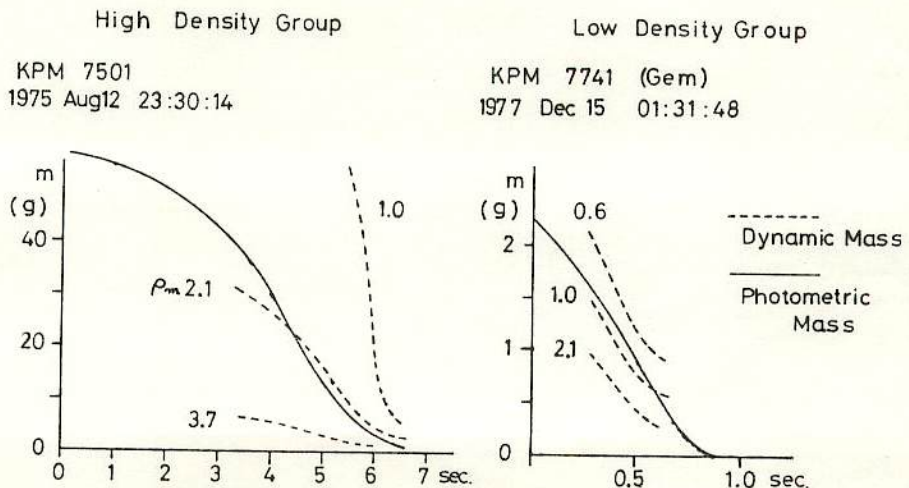
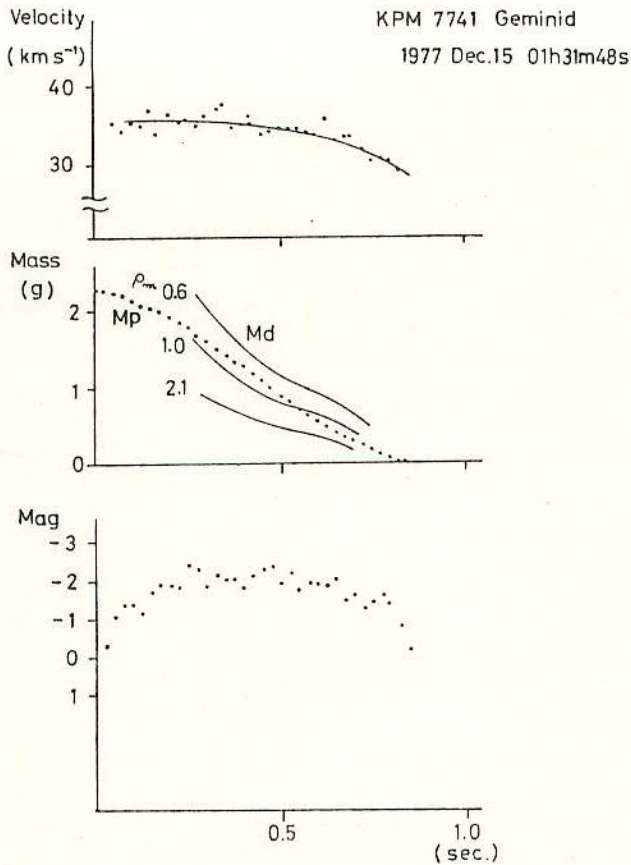
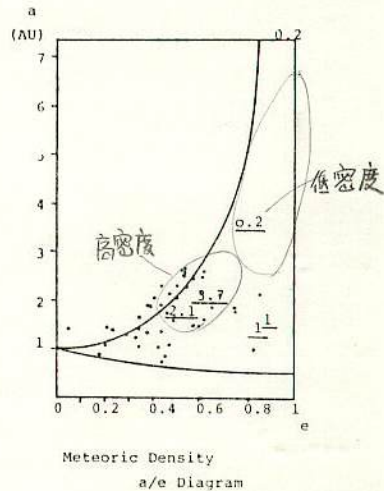


Fig-1



NO.
DATE

Fig-3



KPM 7501

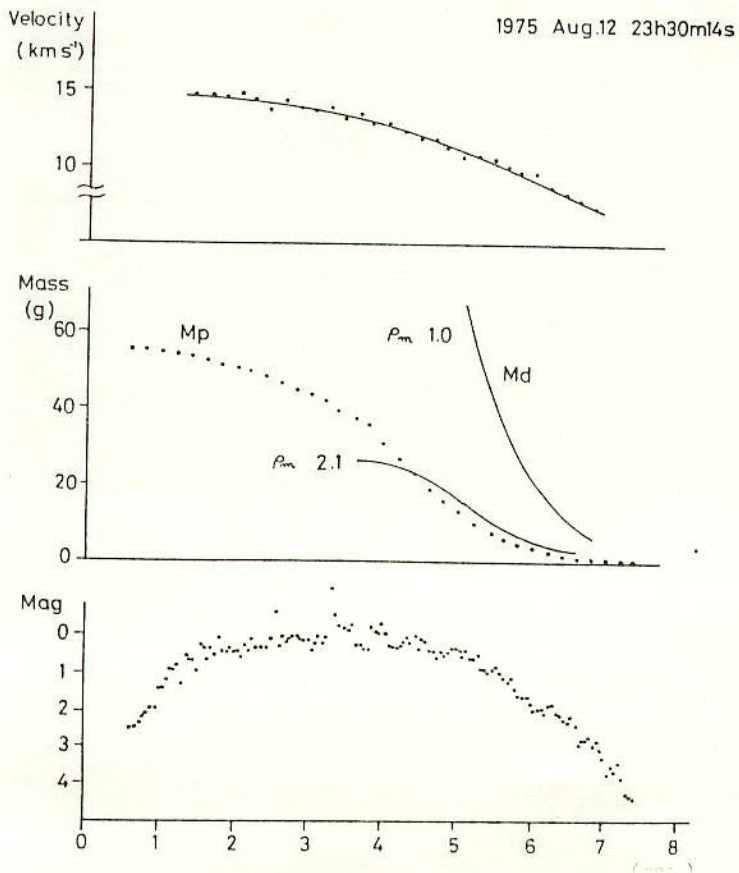


Fig-2

10th MSS
'80 May. 18

流星物質モデルの製作(1)

渡辺美和(江東区木場6-6-G303)

§1 はじめに

いったいどのような物が地球大気に突入することによってあのような“流星”という現象として生ずるのか?この疑問に対する情報は現在徐々に集まってきている。しかし、それはあくまでも観測から得られたデータをもとにしての推察であり、実体ではない。大気突入以前の物質はどのようなものなのだろうか、それを手にとってみたいものである。今回のモデル製作のきっかけはこのような願望からであった。しかし実際にモデル(模型)を作ろうとしてみると、そこには更に疑問が生じてくる。このモデル製作を通して流星物質の構造についても考えてみたいと思う。

§2 モデルに関する情報集め

流星物質そのものの構造については現在次のようなことが一般的であろう。

大きさ	1 mm~数cm
密度	0.2 g/cm ³ ~1 g/cm ³
質量	0.001 g~10 g
形態	がさがさした多孔質のもの
組成	Fe, Mg, Siなどの金属+揮発性元素 (類似物 すず、つちくれ)

また、流星物質のミクロ構造としてはHawkes & Jones のDust Ball Model があり、そこで類推されている構造は

10⁴程度の大きさの鉄、石などの粒子+接着分

である。

更にダイレクトな情報としては、U2機でとらえられた高層大気中の流星塵がある。これらの情報をもとにして(いわばごっちゃにしつつ)模型を作りたいのだが、手作り模型という制約から比熱etcの物理的特性については今回は省略する。いわば外観モデルを作ってみようと思う。



”流星2”より

§ 3 MM-1Wの製作

もっともらしくこの模型にMM-1W という形式名をつけてみた。MM-1W とはMeteoroid Model Type 1 (by Watanabe) の略である。模型のスケールとしては、その取扱い費用などから数10倍とした。このスケールだと約10cm位になる。

*用意したもの

球形発泡スチロール、発泡スチロール（パッキング用）、接着剤（酢酸ビニル系）
ラッカー（スプレー式）

*作り方

- 1 球形発泡スチロールの表面をはさみなどでデコボコにする（110φ）
（本来このような“核”のようなものがあるかどうか不明だが、模型製作上、手を抜く。なおこのデコボコはなるべく形を不定形にするため）
- 2 パッキング用発泡スチロール（なんでもよい）を細かくほぐす。この一粒一粒をDust Modelでいうところの鉄、石などの粒子とみなすのである。スケールから逆算するとこの模型ではこの粒子の大きさは1mm以下となるのだが、ここまで細かくするとあとあと大変なので今回は適当に数mm～1cm位にとどめた。
- 3 “核”発泡スチロールに接着剤をまんべんなく塗り、その上に“粒子”発泡スチロールをまぶす。このときなるべく多くの“粒子”を作っておき“核”表層が見えなくなるようにする。
- 4 乾燥を待って着色する。（色は何色か？全く不明であるが、おそらく無彩色系統の色と推測し茶色を用意した）スプレーで吹付けるが、溶剤のためにベツリとつくようにすると発泡スチロールが溶けてしまう。やや遠くからほんの少しの量を着色するようにスプレーすると表面の発泡スチロールが適度に溶け、もっともらしくなりそうである。
- 5 完成

§ 4 まとめ

一応外観モデルとしてのMM-1W を作ってみた。更に意見など拾いながら次なるMM-2以降に取組んでみたい。また、これを通じて単に外観にとどまらず、より本物に近いと思われるモデルとその構造について考えて行きたい。（了）

Reference

流星2（長沢 et al）

Non. Not. R. Astro. Soc. (1975) (Hawkes, R. and Jonnes, J.)

発光

流星の発光原理などについての分野である。流星質量と明るさの関係、流星プラズマの拡散速度などについて発表がおこなわれた。

星との比較との問題点

- 星 --- 一定の位置でほぼ一定の光を出しつづける (連続スペクトル)
- 流星 --- 高速で移動しながら一瞬だけ光る (輝線スペクトル)

この比較はむずかしい。

眼視による光度 --- 最大光度をとる?

写真による光度 --- /点における光を 発光から消滅まで合計して

記録 --- 流星の進行方向に關係 相互別不規

全光度 --- 経路全体にわたっての光のエネルギーの総量 (全質量に比例)

絶対等級

流星を天頂 100 Km のところにわたってきた場合の明るさ

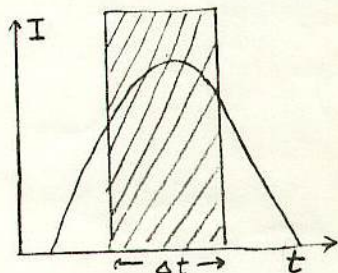
写真等級 (B) と写真等級 (V) は右の図のように異なる波長域で流星を見ることになる (写真撮影の波長は B とは一致しないので厳密に明るさを決めるには補正が必要)

写真を測定して決めた等級 --- 流星の経路上の一点が発光しはじめから最大光度に達し、減光して消滅するまでの光エネルギーの総量を合計してそれが一定の光エネルギーを一定時間出したものと考え

$$\text{一定時間 } \Delta t = \frac{\text{比較星の角速度}}{\text{流星の角速度}} \times T_0$$

T_0 : 1個の感光粒子と比較星の像が通過する時間

発光部分の構造、時間的变化を研究する必要あり

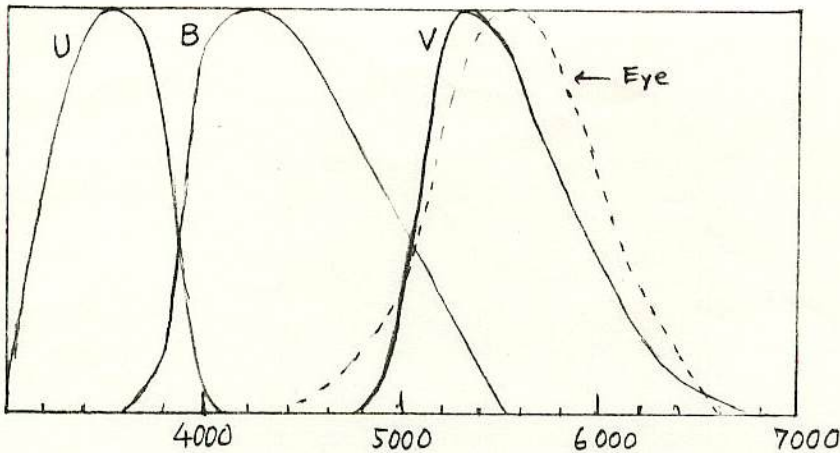


$$\left\{ \begin{array}{l} M_V = 24.30 - 2.5 \log I_V \quad (\text{c.g.s}) \\ M_P = 24.40 - 2.5 \log I_P \quad (") \\ M_g = \end{array} \right.$$

$$\left\{ \begin{array}{l} M_b = 26.0 - 1.8 \log z \quad (-2 < M_b < +1.5) \quad (\text{c.g.s}) \\ M_p = 34.4 - 2.5 \log z \quad (") \\ M_g = 34.4 - 2.5 \log z \quad (") \end{array} \right.$$

$$z = \beta \frac{\Gamma A}{25 \mu} \left(\frac{m_d}{P_m} \right)^{\frac{2}{3}} P_a V^2 \quad 10^{12} - 10^{16} / \text{cm}$$

U, B, V の波長域



一般 $I = -\frac{1}{2} \tau v^2 \frac{dm}{dt}$

眼視 $I_v = -\frac{1}{2} \tau_v v^2 \frac{dm}{dt}$

写真 $I_p = -\frac{1}{2} \tau_p v^2 \frac{dm}{dt}$

電波 $I_g = -\frac{1}{2} \tau_g v^2 \frac{dm}{dt}$

I は 1秒あたりのエネルギー

τ : 光力係数、エネルギーの光への
変換割合

I_g は 流星原子を電離させるために使われる 1秒あたりのエネルギー

$$\tau_g = \frac{2E}{\mu v^2} \beta$$

E : 1個の原子を電離させるための平均エネルギー
(電離ポテンシャル) $\sim 7\text{eV} \sim 1 \times 10^{-18} \text{erg}$

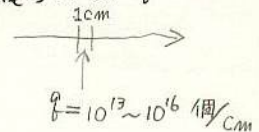
μ : 流星原子1個あたりの質量

平均原子量 23 $\rightarrow 3.82 \times 10^{-23} \text{g}$

β : 電離確率

これによる 流星径路 1cm 当り = 電離されて生ずる電子の数 z は

$$z = -\frac{\beta}{\mu v} \frac{dm}{dt} \quad (I_g = z v \mu)$$



β は 非常に小さい値であるが 最近では

$$\beta = 10^{-28} v^4 \quad (\text{cgs})$$

$$\tau_v = 10^{-10} v \quad (")$$

$$\tau_p = 5.25 \times 10^{-10} v \quad (")$$

$$\tau_g = 6 \times 10^{-17} v^2 \quad (")$$

$$v = 40 \text{ km/s}$$

$$\beta = 0.256$$

$$\tau_v = 4 \times 10^{-3}$$

$$\tau_p = 2.1 \times 10^{-3}$$

$$\tau_g = 2.6 \times 10^{-4}$$

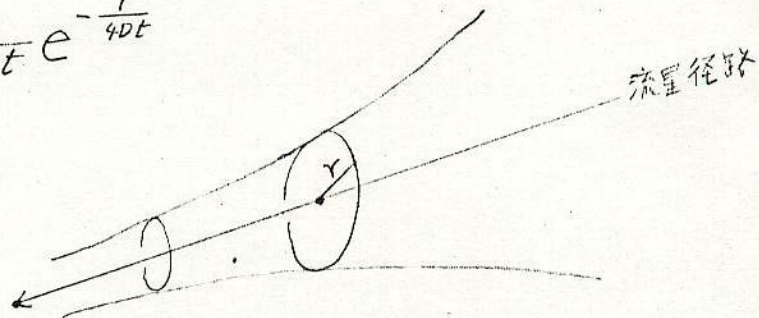
流星プラズマの拡散

流星物質が分解して流星プラズマを形成して光り、それが拡散・冷却していく過程を知ることは、流星現象を理解する上で本質的に重要である。しかし、それは非常に複雑な問題で、解決は困難である。

拡散の問題は、拡散係数 D を一定としてあつかわれることが多いが、これは等温で希薄なガスの場合にだけ成立し、流星プラズマの初期の拡散には適用できない。しかし、ある一定時間が経過したあとは、近似的に成立つと考えよう。ここでは D を一定とした場合を考えてみる。

流星物質が線密度 (1cmあたりの質量) ρ_0 で分解、放出されたとき、放出から時間 t がたったとき、流星径路から r の距離の密度 ρ は

$$\rho(r, t) = \frac{\rho_0}{4\pi D t} e^{-\frac{r^2}{4Dt}}$$



この平均半径は

2乗平均半径 $R = 2\sqrt{Dt}$

平均半径 $\bar{r} = \sqrt{\pi Dt}$

いずれにしても半径は時間の平方根に比例して大きくなっていく。 R を使って書き直すと

$$\rho = \frac{\rho_0}{\pi R^2} e^{-\frac{r^2}{R^2}} \quad (\text{Opik などではこの式を使っている})$$

D は本来、温度 T 、密度 ρ などによって変化する

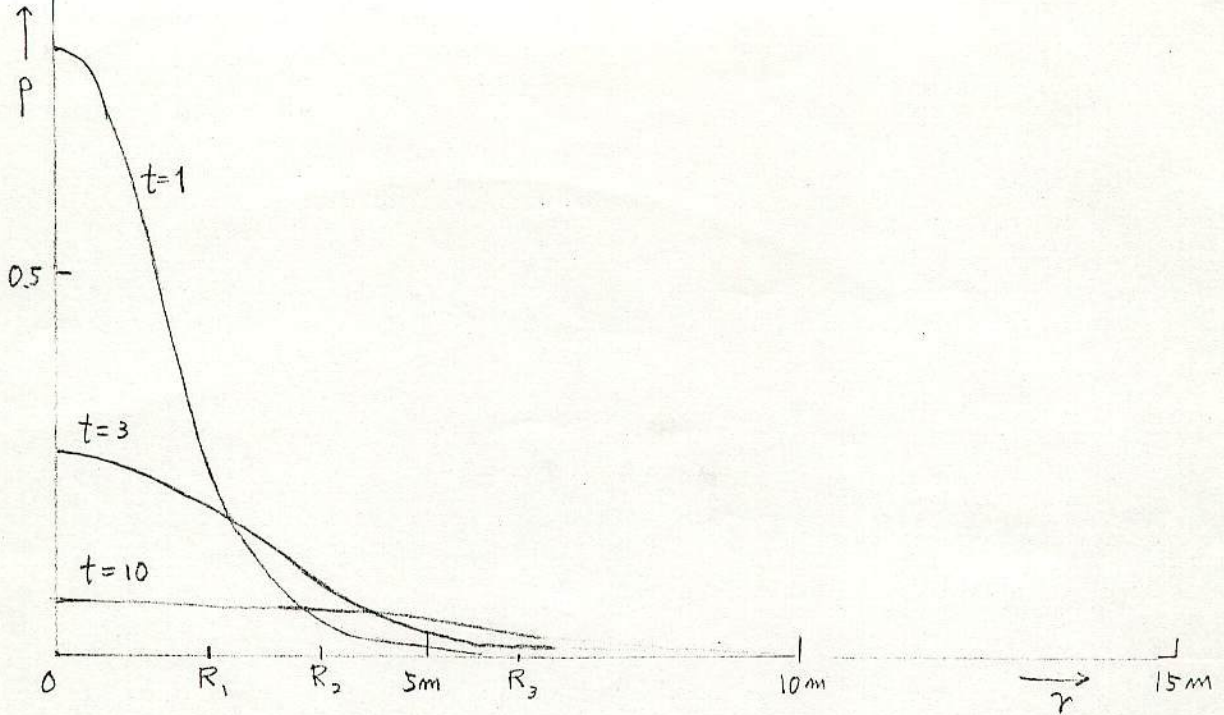
$$D \propto \sqrt{T}, \quad D \propto \frac{1}{\rho}$$

しかし、拡散があるていど進行すると、ほとんど一定値になる

電波観測などから、80~90 km の高さで $D = 10^4 \sim 3 \times 10^4 \text{ cm}^2/\text{s}$ くらい。

1×10^{-5} 仮に $D = 10^4 \text{ cm}^2/\text{sec}$ と計算すると (83km ぐらいの高さ)

密度分布は次の図のようになる ($P_0 = 1 \times 10^{-2}$)



現実の密度はどのぐらいになるか

$$\begin{cases} M_v = 24.3 - 2.5 \log I_v \\ I_v = -\frac{1}{2} \tau_v v^2 \frac{dm}{dt} \\ \tau_v = 8.925 \times 10^{-11} \cdot v \\ P_0 = -\frac{dm}{dt} \cdot \frac{1}{v} \end{cases}$$

M_v : 実視絶対等級

I_v : 1秒あたりの実視放射エネルギー

$-\frac{dm}{dt}$: 質量減少 (g/s) (ergs/s)

v : 流星速度 (cm/s)

τ_v : 実視光度係数 (次元なし)

P_0 : 放射物質の線密度 (g/cm)

上の関係式を用いて

$$M_v = -3.2 \quad v = 60 \text{ km/s} \text{ とすると}$$

$$I_v = 10^{10} \text{ erg/s}$$

$$\tau_v = 53.55 \times 10^{-5}$$

$$-\frac{dm}{dt} = 10.4 \text{ g/s}$$

$$P_0 = 1.73 \times 10^{-6} \text{ g/cm}$$

したがって 1秒以上たつと、流星物質の密度は 10^{-11} g/cm^3 のオーダーになるであろう。

83km 付近の大気密度は 10^{-8} g/cm^3 だから、大気より薄くなるに希薄になる。

大気より密度が大いのは、はじめの ミリ秒単位の短い時間であることが想像される。

流星物理セミナー資料集 ～第50回記念～

発行者 : 流星物理セミナー(担当:重野好彦)
協力 : 寺田充、大西洋、戸田雅之
表紙 : 繭山浩司
発行部数 : 150部
発行日 : 1989年7月16日

